# HOLOGRAPHIE

М. Франсон

раг

# ГОЛОГРАФИЯ

M. Françon

Перевод с французского С. И. БАЛАШОВОЙ

Professeur à l'Institut d'Oplique

Под редакцией

et à la Faculté des Sciences de Paris

Ю. И. ОСТРОВСКОГО

Masson et C<sup>le</sup>, Éditeurs

120, Boulevard Saint-Germain, Paris VI<sup>®</sup>
1969

ИЗДАТЕЛЬСТВО «МИР» МОСКВА 1972 Попытайтесь, разглядывая обычную фотографию, заслянуть за предметы, находящиеся на переднем цлаце. Вам это, конечно, це удастся. Ведь фотография — это влоское изображение объемной сцены, полученное из определенной точки зрешяя.

And the second second

Голография же поаволяст это сделать. Световые возны, зацисинные и восстановленые голограммой, создают полиую иллюзию реальности наблюдаемых предметов — объемность, цвет, возможность изменения ракурса.

Голография — это способ регистрация и цоследующего восстановления световых воли, получивший в последние годы цирокое развитие благодаря наобретению лазеров.

Книга знакомит с основами солографии. Дво первые гланы ее доступны студентам и икольяцкам старших классов. Последние же главы рассчитацы на более подготовленного читателя и могут служить введением в теорию голографии.

Редакция литературы по физике

Имя известного французского ситика проф. М. Фрацсона хорошо знакомо в нашей стране. Клига «Голография», перевод которой мы с удовольствием представляем советскому читателю, уже четвертая его монография, переводения на русский язык (ранее были выпущены в русском переводе книги [208, 12\*, 13\*1));

Перевод настоящей книги осущестнден с французского издаиии, вышедшего в 1969 г. Однако автор любезно прислал нам доцолнения и изменения сцениально для русского издания. В частности, им заново написана глава 4, посвященная синтетическим голограммам, расширен параграф об акустической голографии, изменен и дополнен текст ряда других параграфов. Кроме того, по просьбе автора мы значительно дополнили список литературы, голяным образом работами советских авторов, а также статьями и книгами, опубликованцыми после выхода в свет французского издания.

Книга не относится к разриду всеобъемлющих монографий и не рассчитана на специалистов в области голографии. С эгой точки зреция правильнее быщо бы назвить се «Начала голографии» им «Введение в голографию». Приложениям голографии и экспериментыльной гехнике в ней уделено мало внимания, по этот недистаток в значительной стецени комценсируется общирнов библиографией.

Здесь і далес звездочкой (\*) отмечена литература, добавленная редактором перевода. — Прим. ред.

Книга Франсона построена весьма своеобразно, практически весь материал рассматривается в ней дважды: свачала (в главах 1 ц 2) с большим педагогическим искусством объясняется физический смысл явлений почти без математики; а затем (в славих 3 и 5) те же вопросы обсуждаются более строго, с привлечением обычного для когерентцой оптики математического аппарата — автор вводит здесь читателя в круг идей и методов современной гологиафии.

Первые две главы и добавленияя при переводе глава 4 доступны для студентов и старцих школьников. Для понимания же главы 3 в особение главы 5 требуются не только более глубокие познания в области физики, но и сведения из некоторых разделов математики, выходящих за пределы обычных курсов, читаемых в технических вузах. Недостаточно подготовленный читатель может их опустить.

Мы сочди целесообразным снабдить книгу рядом подстрочных примечаний, либо уточняющих авторский текст, либо облегцаюших его повимание.

Из соображений удобства дополнительный список литературы разбит на тематические рубрики. К сожалению, такое разделение условно и неоднозначно, поскольку многие работы могут быть одновременно отнесены к нескольким назделам. Заметим, что дополнительный список, как и основной, ви в крей мере не претендует на полноту.

Синтаем своим приятным долгом поблагодарить проф.М. Франсоня за активное участие в подготовке русского издания.

В редактировании главы 5 большую исмощь оказал В. К. Соколов, которому мы также приносим свою благодариссть.

Ю. И. Островский

Возможности применения голографии сделали ее одной из важнейших областей современной оптики. Она цозволяет поставить простые, элегантные и церспективные эксперименты. Восстановление цветных трехмерцых изображений, дающих подное ощущение объемности, -- одна из самых ярких и впечатляющих ее возможностей. Не следует забывать о замечательных результатах, достигнутых с помощью голографии во многих друсих областях, особенно в интерфорометрии, где она позволяет наблюдать нитерференцию воли, зарегистрированных в разные моменты времени. Естественцо, что фундаментальные законы оптики при этом не затрягиваются, так как при каждой регистрации на фотопластиику цадает свет, прошедший сквозь объект, и когерентцая опорная Волна. Амплитуда света, процедщего сквозь цегатив, динейно зависит от первоначальной освещенности, которая связана с произведением комплексной амплитуды света, процедшего сквозь объект, на амплитуду когерентного фона. Если сделать несколько последовательных снимков с одним и тем же когерентным фоном и одинаковым временем экспозиции, амплитуда света, прошедшего сквозь негатив, будет пропорциональна сумме амплитуд, соответствующих разным снимкам. Таким образом волим, зарегистрированные в раздые моменты времени, при восстановлении могут интерферировать.

Голография впервые дала возможность интерфорометрически исследовать объекты, диффузно рассенвающие свет, и это, может быть, одца из самых интересных се возможцостей. Трехмерная голограмма диффузно рассенвающего объекта восстанавливает изображение, которое можно совместить с самим объектом. Объект и голограмма освещаются так же, как в момент регистрации. Изображение интерферирует с объектом, и если объект деформировался, то объект и изображение не совпадают. Это изменяет разность хода лучей и приводит к появлению интерференционных полос, характеризующих деформацию.

Голография имест очень важное применение в микросконин. Пусть длина волны света, используемого для регистрации голограммы  $\lambda$ , а для восстановления  $\lambda'$ . Моображение будет увеличено в отношении  $\lambda'/\lambda$ . Если зарегистрировать голограмму в рентгеповских лучах, а восстанавливать ес в видимом свете, то можно получить такое же увеличение, как в электронном микросконе. Но такой микроскон пока еще область булущего.

Возможности применения голографии не ограничиваются оптикой. Уснехи акустической голографии открывают широкие перспективы ее использования в медицине, гоофизике и даже в археологии.

Излагая настоящее введение в голографию, мы считали подезным папомнить сначала некоторые элементарные поиятия, в особенности каслющиеся пространственной и временной когерентности свста. Новое издание в основном следует тому же плану, что и предылуниее.

Во второй главе мы описываем прияципы голографии и ее применения без математических выкладок. Мы налеемся, что это облегчит понимание физического механизма голографии.

Параграф, посвященный акустической голографии, изложен более подробно, чем в прежнем издании.

В третьей главе мы возвращаемся к основным принципам голографии, привлекая теорию изтерференния и дифракции.

Добавлена новая глава (гл. 4) о применении электронновычислительных машин п голографии. В ней наложены основы получения искусственных голограмм.

Наконец, последнюю главу, посвященную вопросам онтической фильтрации и распознавания образов, мы переделали и упростили, не затрагивая существа рассматриваемых вопросов.

Количество оригинальных работ во голографии так велико, что мы не смогли процитировать их все и просим авторов извинить нас. Приведенные ссылки не исчернывают всей литературы по вопросам, к которым они относится. Эти ссылки имеют целью помочь читателям ориевтироваться.

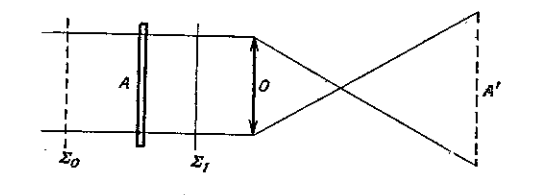
М. Франсон

### Глава 1

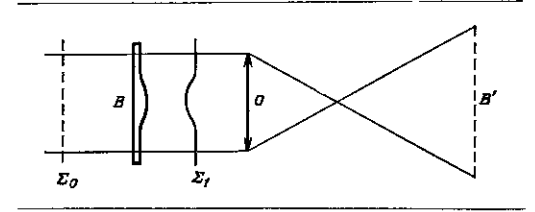
### основные понятия

#### § 1. ИЗМЕНЕНИЕ АМПЛИТУДЫ И ФАЗЫ СВЕТОВОЙ ВОЛНЫ

Рассмотрим объект A, освещенный параллельным пучком света (фиг. 1. 1). Объект A представляет собой тонкую стеклянную пластинку, толщина которой везде одинакова, а прозрачность отдельных участков различна. Это может быть, например, фотопластинка с взображением пейзажа. Амплитуда падающей плоской световой волны одинакова во всех точках плоскості  $\Sigma_0$ . В плоскости же  $\Sigma_1$  амплитуда волны, прошедшей сквозь объект A, меняется от точки к точке соответственно прозрачности отдельных участков объе



екта. Построим с помощью идеального объектива O изображение A' объекта A. Амплитуда световой волны в некоторой точке изображения A' определяется прозрачностью соответствующего участка объекта A. Объект A, называемый амплитудным объектом, воз-



 $\Phi$  и г. 1.2. Волна  $\Sigma_1$  проходит сквозь фазовый объект B.

действует на амплитуду проходящей сквозь него волны. Поместим в плоскости изображения А' какойнибудь чувствительный элемент, например фотопластинку, или воспроизведем А на сстчатке глаза с помощью оптической системы, не показанной на фиг. 1.1. Во всех случаях реакция прибора, будь то сетчатка глаза, фотопластинка или фотоумножитель, определяется интенсивностью света, т. е. квадратом амплитуды световой волны.

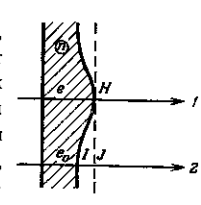
Заменим амилитудный объект A объектом B (фиг. 1.2). Пусть это будет абсолютно прозрачная тонкая стеклянная пластинка переменной толщины с постоянным показателем преломления n. Для простоты предположим, что одна из ее сторон плоская, а другая искривлена. Если в некоторой точке пластинка имеет толщину e (фиг. 1.3), то ее оптическая толщина в этой точке (равная произведению геометриче-

ской толщины на показатель преломления) равна ne. Луч I проходит в пластинке оптический путь ne. Пусть плоскость HJ параллельна плоской поверхности пластинки. Луч 2, пересекающий пластинку в точке, где ее толщина равна  $e_0$ , проходит оптический путь  $ne_0$  в пластинке и путь  $1J-e-e_0$  в воздухе. Разность оптических путей лучей I и 2, которую называют также разностью хода лучей I и 2, равна

$$\delta = ne - (ne_0 + e - e_0) - (n-1)(e - e_0).$$
 (1.1)

Если парадлельный пучок света монохроматичен и имеет длину волны λ, то изменению разности хода δ, возпикающему за счет неоднородности толщины пластипки, соответствует изменение

фазы  $\phi = 2\pi\delta \lambda$ . Амплитуда волны, прошедшей сквозь объект B, не меняется, так как объект абсолютно прозрачен, тогда как фронт волны  $\Sigma_1$  деформируется вследствие изменения ее фазы (фиг. 1. 2). На участках плоскости, соответствующих малой оптической толщине, фаза волны больше, чем на участках, соответствующих большой оптической толщине. Объект B, называемый фазовым объектом, воздействует



Фиг. 1.3. Разпость оптических путей лучей I и 2 равна (n-I)  $(e-e_0)$ .

на фазу проходящей сквозь него волны, не изменяя ее амплитуды.

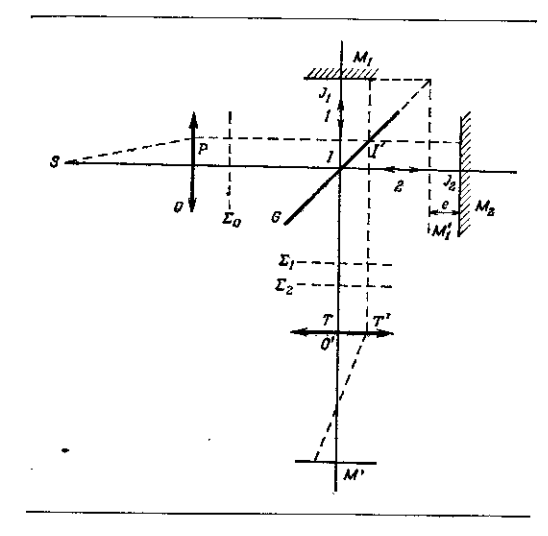
Построим с помощью объектива O изображение B' объекта B. Амплитуда световой волны (или интенсивность, пропорциональная квадрату амплитуды) одинакова во всех точках B', а фаза меняется от точки к точке. Так как любой приемник (глаз, фотопластинка,

фотоумножитель и т. д.) пезависимо от способа наблюдения нечувствителен к изменениям фазы, изображение B' будет казаться однородным.

### § 2. МОЖНО ЛИ ОБНАРУЖИТЬ ИЗМЕНЕНИЕ ФАЗЫ ВОЛНЫ, ПРОШЕДШЕЙ СКВОЗЬ ПРОЗРАЧНЫЙ ОБЪЕКТ?!)

Уже очень давно научились регистрировать и делать видимыми изменения фазы световой волны, прошедшей, например, сквозь прозрачную стеклянную пластинку, показатель преломления которой или толщина различны в разных точках. Мы укажем два наиболее важных метода: интерференционный метод и метод фазового контраста.

"Рассмотрим интерферометр Майкельсона (фиг. 1.4). Он состоит из полупрозрачной пластинки G, наклоненной под углом 45° к падающему световому пучку, и двух плоских зеркал  $M_1$  и  $M_2$ . Установим зеркала  $M_1$  и  $M_2$  таким образом, чтобы они были перпендикулярны друг другу и составляли угол 45° с пластинкой Источником света в интерферометре Майкельсона служит точечный источник S, помещенный в фокусе объектива О. Источник S дает монохроматический свет с длицой волны А. Для простоты рассмотрим только луч, распространяющийся вдоль оптической оси объектива O и перпендикулярный  $M_{\mathbf{z}}$ . В точке I этот луч разделяется на два луча. Один из них отражается сначала от G, затем от  $M_1$  и, пройдя сквозь G в точке I, распространяется вдоль IT. Это путь I. Другой луч. пройдя сквозь G в точке I, отражается сначала от  $M_2$ , затем в точке I от G и распространяется в дальнейшем опять-таки вдоль ІТ. Это путь 2. Таким образом, плоская волна  $\Sigma_{\mathfrak{g}}$ , получениая на выходе объектива O, разделяется в точке I пластинки G на две плоские волны. Одна из этих волн,  $\Sigma_{\mathfrak{f}}$ , проходит путь I,



Фиг. 1.4. Принцип устройства интерферометра Майкельсона.

другая  $\Sigma_{\mathfrak{g}}$ — путь 2. Если зеркала  $M_1$  и  $M_{\mathfrak{g}}$  симметричны относительно G, то  $\Sigma_1$  и  $\Sigma_2$  совпадают. Если же зеркало  $M_{\mathfrak{g}}$  находится на расстоянии e от плоскости  $M'_1$ , симметричной плоскости зеркала  $M_{\mathfrak{g}}$ , то фронт волны  $\Sigma_1$  отстает от  $\Sigma_2$  на 2e. Разность хода лучей, прошедших путь I и путь 2, равна  $\delta$ =2e.

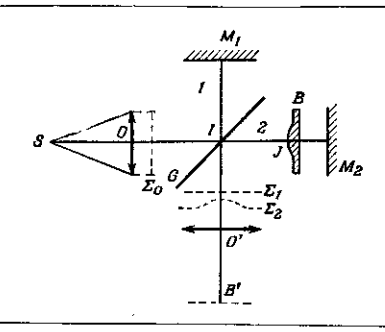
Волны  $\Sigma_1$  и  $\Sigma_2$  будут интерферировать друг с другом. По элементарным законам интерференции ин-

<sup>&</sup>lt;sup>1</sup>) Cm. [348, 12\*].

тенсивность в произвольной точке ІТ пропорциональна cos<sup>2</sup>(πδ/λ). Такие же результаты получаются для любого другого луча PI'. В точке I' этот луч разделяется на два луча. После того как один из них пройдет путь типа І, а другой — путь типа 2, оба они распространяются вдоль I'T'. Разность их хода также равна  $\delta = 2e$ . Какой бы участок зеркала  $M_1$  или  $M_2$  мы ни рассматривали, разность хода лучей будет постоянной. С помощью объектива О' построим изображение M' зеркала  $M_1$  (или  $M_2$ ). Пусть, как обычно, расстояние е очень мало, и можно считать, что изображения М, и М, практически совпадают в плоскости изображения М'. Так как разность хода в остается постоянной для всех лучей, освещенность во всех точках изображения М' одинакова и пропорциональна  $\cos^2(\pi \delta/\lambda)$ . Имеем изображение с постоянной освещенностью. Перемещая зеркало  $M_1$  (или  $M_2$ ) нараллельно самому себе, мы изменяем разность хода δ, или, иначе говоря, освещенность изображения М'. Но при каждом заданном значении δ освещенность одинакова во всех точках М'. Другими словами, мы имеем однородное изображение, во всех точках которого интенсивность изменяется при изменении расстояния е одновременно и одинаковым образом.

Поместим теперь в интерферометр какой-нибудь объект, воздействующий на фазу волны. Пусть это будет, например, прозрачная стеклянная пластинка B с постоянным показателем преломления, но переменной толщины. Объект B может быть расположен на пути лучей I или 2. B случае, изображенном на фиг. 1.5, он помещен между G и  $M_2$ . Волна  $\Sigma_1$  проходит путь I. Волна  $\Sigma_2$ , распространяясь по пути 2, дважды проходит сквозь объект B. Фазовый объект B деформирует фронт волны  $\Sigma_2$ , как мы показали это в § 1.

Рассмотрим, например, луч SO, распространяющийся вдоль оптической осн объектива O. Пусть этот луч проходит сквозь объект B в точке J. Толщина объекта B в этой точке равна e. Если зеркала  $M_1$  и  $M_2$ 



Фиг. 1.5. Наблюдение изменения фазы волны при ее прохождения сквозь фазовый объект В, помещенный в интерферометр Майкельсона.

расположены симметрично относительно G, то разность хода лучей, проходящих лути 1 и 2, равна

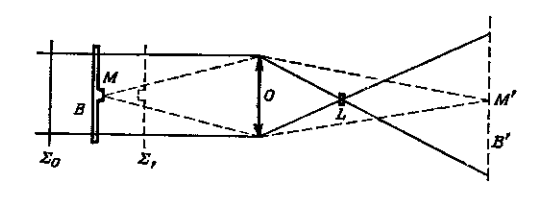
$$\delta = 2 (n-1) e. \tag{1.1a}$$

Множитель 2 появляется из-за того, что луч типа 2 проходит сквозь объект B дважды. Разность хода  $\delta$  и соответствующее ей расстояние между фронтами волн  $\Sigma_1$  и  $\Sigma_2$  завнсят от того, сквозь какой участок объекта B проходят лучи, распространяющиеся вдоль пути 2. Интенсивность в разных точках B'— изображения объекта B, полученного с помощью объектива O',— изменяется пропорционально  $\cos^2$   $(\pi\delta/\lambda)$ . Изменение

16

фазы волны  $\Sigma_2$ , возникшее в результате ее взаимодействия с объектом B, становится видимым.

Другой метод, позволяющий преобразовать изменение фазы в изменение интенсивности, это метод фазового контраста. Напомним его вкратце (фиг. 1.6).



 $\Phi$  и г. 1.6. Визуализация изменений фазы волны при ее прохождении сквозь фазовый объект B методом фазового контраста.

Фазовый объект В представляет собой плоскопараллельную пластинку с небольшим выступом М. Свет, рассеянный на неоднородности М, пройдя сквозь объектив О, собирается па участке М' изображения B'. Так как объект B абсолютно прозрачен, освещенность его изображения В' всюду одинакова. Изображение участка М не отличается от изображения других точек В. Для того чтобы сделать его видимым, необходимо преобразовать изменение фазы, возникающее при прохождении световой волны сквозь М, в изменение интенсивности на изображении М'. Для этого номещают фазовую пластинку L достаточно малого диаметра в фокусе объектива O, там, где находится изображение точечного источника. Пучок света, падающий параллельно оптической оси системы, проходит сквозь фазовую пластинку L, тогда как свет, дифрагированный неоднородностью M, почти полностью минует ее.

Пусть m — амплитуда дифрагированной волны, а b — амплитуда волны, прошедшей по первоначальному направлению. Предположим, что оптическая толщина выступа M мала. Тогда отклопяется от первоначального направления лишь небольшая часть падающего света, и амплитуда m мала по сравнению с b. Допустим, что величина  $m^2$  пренебрежимо мала.

Из теории следует, что при малой оптической толщине неоднородности M для лучей, прошедших сквозь объект B параллельно оптической оси системы, присутствие M несущественно. Структура изображения B', следовательно, такова:

- а) равномерный фон, создаваемый параллельным световым пучком;
- $\delta$ ) участок M', на котором сфокусирован свет, рассеянный выступом M.

Из теории также следует, что фаза волны, дифрагированной выступом M, сдвинута на  $90^\circ$  относительно фазы волны, прошедшей сквозь B без изменения направления.

По элементарным законам интерференции в отсутствие фазовой пластинки складываются интенсивности волны, дифрагированной выступом M, и волны, прошедшей без отклонения. Таким образом, интенсивность в точке M' равна  $m^2 \cdot b^2$ , т. е. практически совпадает с  $b^2$ , так как величина  $m^2$  пренебрежимо мала. На других участках изображения B' интенсивность также равна  $b^2$ , т. е. изображение M' фазового объекта M остается невидимым.

Если подобрать толщину фазовой пластинки L так, чтобы фазы волчы, прошедшей без отклонения, и волны, отклоненной выступом M, совпали, то интен-

сивность на участке M' будет равна квадрату суммы амплитуд  $(m+b)^2$ , а не сумме квадратов амплитуд, как раньше. Если снова пренебречь величиной  $m^2$ , то получим

$$(m + b)^2 \approx b^2 + 2mb,$$
 (1.2)

т.е. интенсивность света в M' будет отличаться от ицтенсивности в остальных точках изображения B'. Изображение M' фазового объекта M становится видимым. С помощью фазовой пластинки L измененне фазы на неоднородности M мы преобразуем в изменение интенсивности на участке M'.

В интерференционном методе (фиг. 1.5) можно обпаружить изменение фазы, заставив интерферировать невозмущенную волну  $\Sigma_1$  с волной  $\Sigma_2$ , проциедшей сквозь объект B. При этом говорят, что волна  $\Sigma_1$  создает когерентный фон.

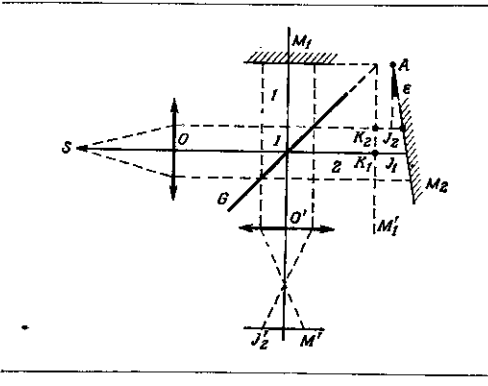
Точно так же в методе фазового контраста (фиг. 1.6) изменение фазы на неоднородности M становится видимым за счет интерференции волны, прошедщей сквозь фазовую пластинку, с волной, дифрагированной участком M. Волна, падающая на B' через фазовую пластинку, также образует когерентный фон. Из всего сказанного можно сделать следующий важный вывод: наблюдать изменение фазы волны можно только в результате интерференции данной волны с другой, когерентной ей волной.

# § 3. ПРОСТРАНСТВЕННАЯ КОГЕРЕНТНОСТЬ $^{1}$ )

В предыдущих опытах мы рассматривали точечный монохроматический источник. Очевидно, что в действительности не существует ни точечных, ни моно-

хроматических источников, и эти понятия необходимо уточнить.

Вернемся к интерферометру Майкельсона (фиг. 1.7), освещенному идеальным источником S, точечным и монохроматическим. Повернем зеркало  $M_2$  так, чтобы оно составляло очень малый угол  $\varepsilon$  с плоскостью  $M_1'$  (плоскость  $M_1'$  симметрична плоскости  $M_1$ ).



Ф н г. 1.7. Наблюдение линий равной толщины воздушного клина в в интерферометре Майкельсона.

Предположим, что изображенные на фиг. 1.7 плоские зеркала  $M_1$  и  $M_2$  перпендикулярны плоскости чертежа.

Рассмотрим луч SO, распространиющийся вдоль оптической оси объектива O. Он отражается в точке  $J_1$  от зеркала  $M_2$  и пересекает плоскость  $M'_1$  в точке  $K_1$ . Так как утол  $\varepsilon$  очень мал, можно принять, что луч, отраженный в точке  $J_1$ , практически совпадает

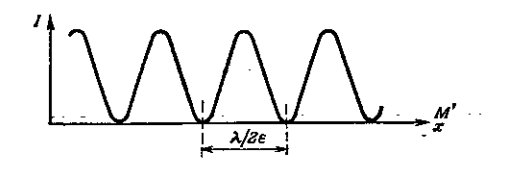
<sup>&</sup>lt;sup>1</sup>) Cm. [14, 13\*].

20

с падающим. Следовательно, разность хода луча, который отражается в точке  $J_{1}$ , и соответствующего луча, который проходит путь I, равна  $\delta = 2\overline{K_1}\overline{J_1}$ . Разность хода для луча, отразивµегося в точке  $J_{z}$ , и соответствующего луча, прошедшего по пути 1, равна  $\delta = 2\overline{K_2J_2}$ . Если  $\overline{K_2J_2} = e$ , то разность хода  $\delta$  равна 2e. Построим с помощью объектива O' изображение M'зеркала М, (или М1). Предположим, что у обоих зеркал одинаковый коэффициент отражения. Интенсивность I в точке изображения  $J_z$ , соответствующей точке  ${J}_{2}$ , с точностью до постоянного множителя, выражается следующим образом:

$$I = \cos^2 \frac{\pi \delta}{\lambda} = \cos^2 \frac{2\pi e}{\lambda}. \tag{1.3}$$

Вдоль М' в направлении, параллельном плоскости чертежа, питенсивность меняется как cos<sup>3</sup>c (фиг. 1.8).

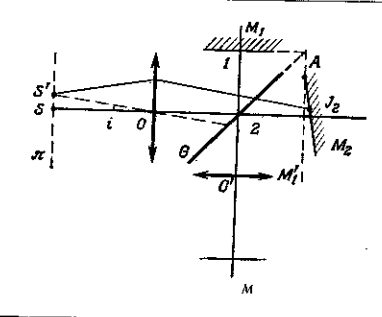


Ф и г. 1.8. Структура линий равцой толщины воздущного клина є при нормальном падении света.

Интенсивность, разумеется, не меняется в направленин, перпендикулярном плоскости чертежа, так как величина  $\overline{K_2J}_2$  в этом направлении всюду имеет постоянное значение. Мы имеем, следовательно, систему интерференционных полос. В плоскости, перпендикулярной фиг. 1.7, закон изменения интенсивности полос дается формулой (1.3) и представлен графически на фиг. 1.8.

Выбрав точку A в качестве начала отсчета, положим  $\overline{J_2A}-x$ . Тогда  $epprox \varepsilon x$ , и из формулы (1.3) следует, что расстояние между двумя соседними максимумами (или минимумами) равно λ 2ε. Все происходит так. как если бы световые лучи отражались от плоскостей M'1 и M2, т. е. от воздушного клина с углом при вершине в.

Что будет с этими интерференционными полосами, если точечный источинк поместить не в S, а в S'



 $\Phi$  и г. 1.9. Наклопное падение лучей точечного источника S'на интерферометр Майкельсопа.

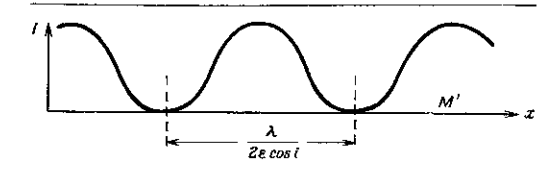
(фиг. 1.9)? Луч, приходящий из S' в  $J_2$ , падает на плоскость  $M_1^*$  под углом i. Элементарный расчет показывает, что разность хода будет теперь не  $\delta = 2e$ , а  $\delta' = 2 \ e \ \cos i$ . Разпость хода уменьшается, и выражение для интенсивности в плоскости изображения М'

принимает вид

$$I = \cos^2\left(\frac{\pi\delta}{\lambda}\right) = \cos^2\left(\frac{2\pi\epsilon\cos t}{\lambda}\right). \tag{1.4}$$

Источник S' дает систему интерференционных полос, аналогичную той, которую дает источник S, но с большим расстоянием между полосами. Действительно, из формулы (1.4) видно, что (фиг. 1.10)

$$\frac{\lambda}{2\varepsilon\cos i} > \frac{\lambda}{2\varepsilon}$$
.



Ф и г. 1.10. Структура линий равной толщины воздушного клина  $\epsilon$  при падении светового пучка под углом i.

Пусть источники S и S' включены одновременно. Это два независимых (некогерентных) источника. При нахождении результирующей освещенности, создаваемой этими источниками в плоскости M', необходимо суммировать интенсивности световых колебаний, испускаемых обоими источниками. Распределения интенсивностей в плоскости M' представлены на фиг. 1.8 и 1.10. Так как расстояние между интерференционными полосами, создаваемыми источниками S и S', неодинаково, максимумы и минимумы двух интерференционных картин не совпадают друг с другом, т. е. интерференционная картина при включении двух источников оказывается менее четкой, чем при включении лишь одного из них.

Рассмотрим протяженный источник, расположен-

ный в плоскостил и состоящий из большого количества точечных источников, подобных S и S' (фиг. 1.9). Такими источниками могут быть атомы источника конечных размеров. Если его размеры достаточно малы, то для всех атомов источника  $\cos i \approx 1$ . Тогда формула (1.4) не отличается от формулы (1.3). Все атомы источника дают одну и ту же систему интерференционных полос. Общая картина имеет такой же вид, как и картина для отдельного атома, но гораздо ярче. Полосы в плоскости M' будут совершенно четкими. В таком случае говорят, что источник пространственно когерентен. При увеличении диаметра источника, начиная с некоторого момента, нельзя утверждать, что  $\cos i = 1$  и что все атомы дают совершенно одинаковые интерференционные картины. Полосы становятся более размытыми, картина менее четкой. В таком случае говорят, что источник частично пространственно когерентен. При дальнейшем увеличении диаметра источника получим в конце концов очень большое число совершенно разных интерференционных картин. Общая картина станет полностью размытой, полосы исчезнут, а изображение M' будет однородным. Источник становится пространственно некогерентным.

Итак, когерентность монохроматического источника зависит от его размеров.

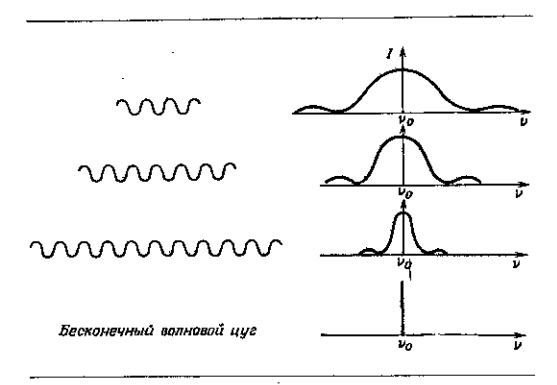
Источник называется когерентным, если его протяженность так мала, что создаваемая им интерференционная картина совершенно четкая.

При увеличении размеров источника полосы видны менее отчетливо, источник становится частично коеерентным.

Наконец, когда размеры источника так великн, что полосы становятся неразличимыми, источник оказывается некогерентным.

## § 4. ВРЕМЕННАЯ КОГЕРЕНТНОСТЬ 1)

Согласно электромагнитной теории, колебания, испускаемые атомами светового источника, не продолжаются неограниченно во времени. Атомы излучают «цуги» волн, причем длина волнового цуга и

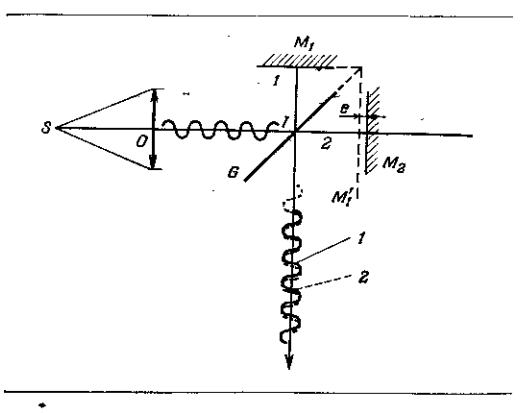


Фиг. 1.11. Связь между длиной цуга воли и спектральным составом излучения.

спектральный состав излучаемого света связаны между собой. Чем длиниее волновой цуг, тем уже спектр (фиг. 1.11). Цуги волн изображают в виде отрезков синусоид. Кривые в правой части фиг. 1.11 дают спектральный состав различных цугов волн; у,-спедняя частота испускаемого света. В предельном случае бесконечный водновой цуг дал бы цам моцохроматическое излучение с частотой ув.

Рассмотрим интерферометр Майкельсона (фиг. 1.12), освещенный настолько малым источником, что его можно считать пространственно когерентным. Источник S излучает немонохроматический свет, изображенный на фиг. 1.12 в виде волнового пуга между

основные понятия



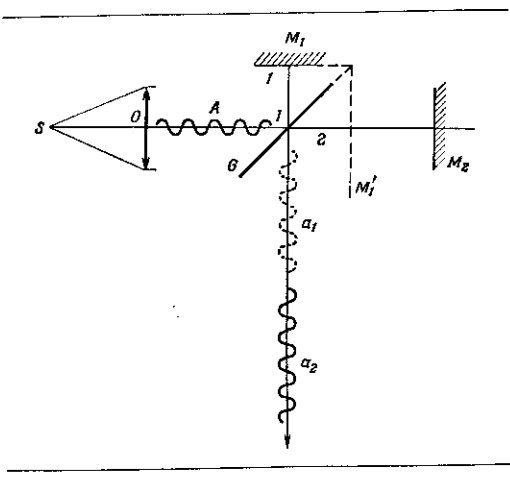
 $\Phi$  и г. 1.12. Если разность хода  $\delta = 2e$  меньше, чем длина дугов воли, испускаемых источником S, то два цуга, прошедшие пути 1 и 2. перекрываются.

Можно наблюдать интерференционную картану.

точками O и I. В точке I он разделяется на два волновых цуга, один из которых проходит путь I, а другой — путь 2. Если зеркало  $M_2$  занимает такое положение, как на фиг. 1.12, то цуг волн, следующий цо пути  $\tilde{2}$ , проходит несколько большее расстояние, чем дуг волн, следующий по пути 1. На выходе ин**те**рферометра цут волн, прошедший путь I, изображен сплошной линией, а прошедший путь 2 — пунктир-

<sup>&</sup>lt;sup>1</sup>) Cm. [14, 13\*].

ной. Один пут волн отстает от другого на  $\delta=2e$ , где  $\delta$  — разность хода, вносимая интерферометром. Если  $\delta$  намного мельше, чем длина каждого из цугов волн, то они практически совпадают друг с другом и

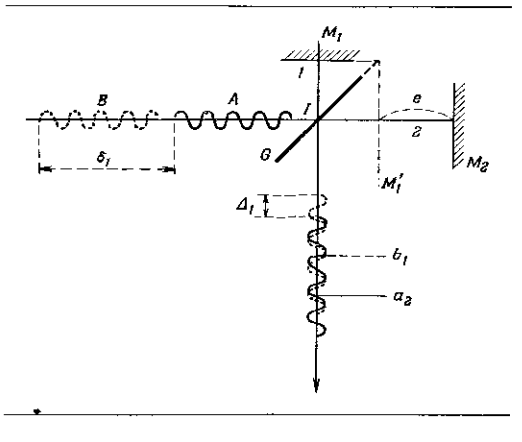


 $\Phi$  и г. 1.13. Если разность хода  $\delta=2e$  больше, чем длина волновых цугов, го два цуга, прошедшие пути I и 2, не перекрываются. Интерферевционную картину наблюдать нельзя.

могут интерферировать. Интерференционные полосы очень четкие, и в таком случае говорят, что существует временная когерентность.

Будем увеличивать разность хода, удаляя  $M_2$  от плоскости  $M'_1$ . Два волновых пута на выходе интерферометра будут перекрываться все меньше и меньше, вследствие чего интерференционные полосы будут становиться все менее четкими.

На фиг. 1.13 изображен момент, когда разность хода  $\delta = 2e$  стала больше длины самих волновых цугов. На выходе интерферометра два цуга волн  $a_1$  и  $a_4$ , образовавшиеся из одного и того же исходного цуга



Ф и г. 1.14. Два цуга волн, перекрывающиеся на выходе интерферометра, образовались из двух развых исходимх волновых пакетон.

волн A, больше не перекрываются. Следовательно, они не могут интерферировать. Тем не менее на выходе интерферометра могут перекрыть друг друга цуги волн, которые образовались из разных исходных цугов. Это показано на фиг. 1.14. Два цуга волн A и B были испущены источником в разпые моменты времени, причем B отстает от A в пространстве на  $\delta_1$ . Пусть разность хода  $\delta=2e$ , вносимая интерферометром, такова, что два волновых цуга

 $a_1$  и  $a_2$  ( $a_1$  не показан), образовавшихся из A, не перекрываются. Волновые пуги  $b_1$  и  $b_2$  ( $b_2$  не показан), образовавшиеся из B, тоже не перекрываются. Однако легко может оказаться, что цуг волн  $b_1$ , который проходит в интерферометре менее длинцый путь (путь I), перекрывает цуг волн  $a_2$ , проходящий более длинный путь 2. Разность хода  $\delta = 2e$ , вносимая интерферометром, может компенсировать первоначальное отставание ( $\delta_1$ ) цуга B от цуга A. Разность хода  $\Delta_1$  двух цугов волн  $a_1$  и  $b_2$  на выходе интерферометра равна

$$\Delta_1 = \delta_1 - \delta \quad \delta_1 - 2e. \tag{1.5}$$

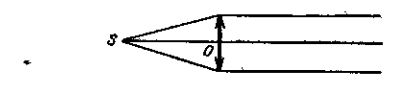
Если бы мы имели возможность произвести наблюдение за время, равное продолжительности этих волновых цугов, мы могли бы наблюдать интерференционную картину, поскольку цуги волн перекрываются. В действительности это невозможно, так как время испускания цуга волн обычным источником очень мало, и за время, необходимое для наблюдения, приемник воспринимает огромное количество воли. Что процсходит в этом случае? Так как излучение волнового цуга атомом — явление случайное, разности хода исходных дугов волн  $\delta_1$ ,  $\delta_2$ ,  $\delta_3$  и т. д. меняются во времени совершенно произвольным образом. Точно так же разности хода волновых цугов на выходе интерферометра  $\Delta_1$ ,  $\Delta_2$ ,  $\Delta_3$  и т. д. принимают произвольные значения. За время наблюдения получается огромное количество мгловенных интерференционных картин, накладывающихся друг на друга. Различить их невозможно, и тогда говорят, что существует временная некогерентность. Длина волновых цугов называется длиной когерентности. Если т — продолжительность каждого цуга воли, а  $\varepsilon$  — скорость света, то длина когерентности l равна  $c\tau$ . Время  $\tau$  называется временем когерентности.

Из вышензложенного можно сделать следующие выводы:

- а) для наблюдения интерференционной картины с помощью обычного источника света необходимо, чтобы разность хода, вносимая интерферометром, была меньше длины когерентности источника;
- б) интерференционная картина тем отчетливей, чем меньше разность хода по сравнению с длиной когерентности.

#### § 5. ҚОГЕРЕНТНОСТЬ ЛАЗЕРОВ

Лазеры представляют собой источники света, замечательные с точки зрения пространственной и временной когерентности. Что касается пространствен-



Ф и г. 1.15. Пространственно когерентный пучок, создавяемый точечным источником, помещенным в фокусе объектива.

ной когерентности, то луч, выходящий из лазера, ведет себя как луч, вспускаемый интенсивным и очень маленьким источником S, помещенным в фокусе объектива O, апертура которого очень велика (фиг. 1.15). Лазер сочетает пространственную когерентность с больщой интенсивностью излучения. Кроме того, длина волновых цугов лазера заметно больше, чем у обычных источников. Следовательно, лазер обладает большой временной когерентностью.

Если мы в схеме, изображенной на фиг. 1.14, возьмем в качестве источника лазер, то получим возможность наблюдать интерференционную картину даже тогда, когда разность хода волновых пугов больше, чем длина когерентности. Действительно, время когерентности лазера может быть достаточно большим, т. е. можно успеть рассмотреть интерференционную картину за время существования одного цуга волн. Так как два цуга волн А и В (фиг. 1.14) излучаются в разные моменты времени, несущественно, испускает их один или два разных атома. Это означает, что можно паблюдать интерференционную картипу, создаваемую двумя разными источниками, лишь бы это были два лазера. Это практически невозможно осуществить с обычными источниками света.

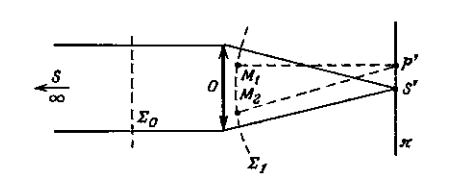
гЛАВА 1

# § 6. ДИФРАКЦИЯ НА БЕСКОНЕЧНОСТИ И НА КОНЕЧНОМ РАССТОЯНИИ ()

Пусть на идеальный объектив O падает параллельный нучок лучей, приходящий от точечного монохроматического источника S, расположенного на бесконечности (слева на фиг. 1.16). Плоская падающая волна  $\Sigma_0$  преобразуется в сферическую волну  $\Sigma_{\rm t}$ , центр которой S' представляет собой геометрическое изображение бесконечно удаленного точечного источника. Изображение S' точечного источника S не является геометрической точкой, его структуру определяет явление дифракции.

По принципу Гюйгенса — Френеля каждая точка  $M_1$  поверхности волнового фронта  $\Sigma_1$  может рассматриваться как вторичный источник, излучающий «дифрагированные колебания». Разные точки одного

и того же волнового фровта  $\Sigma_{\bf t}$  ведут себя как когерентные синхронные вибраторы, и испускаемые ими волны могут интерферировать. В некоторую точку P' плоскости  $\pi$ , проходящей через геометрическое изображение S' источника, придут колебания, дифрагированные всеми точками волновой поверхности  $\Sigma_{\bf t}$ .



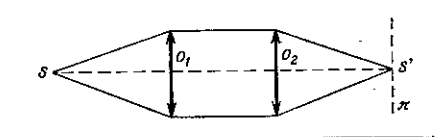
 $\Phi$  и г. 1.16. Произвольные точки  $M_1$  и  $M_2$  поверхности волнового фронта  $\Sigma_1$  ведут себя как источники, излучающие в фазе.

На фиг. 1.16 показацы два луча, дифрагированных точками  $M_1$  и  $M_2$ . Интенсивность света в P' представляет собой результат интерференции колебаний, дифрагированных всеми точками волновой поверхности  $\Sigma_1$ . Рассчитав освещенность в различных точках плоскости  $\pi$  в окрестности S', мы можем получить структуру изображения точечного источника S. Это небольшое световое пятно, представляющее собой изображение источника S, называют дифракционной картиной. Ее вид зависит от формы оправы объектива O. Исследовать структуру этой дифракционной картины — значит изучить явление дифракции в параллельных лучах, вли дифракцию Фраунгофера.

Можно поставить эксперимент так, как показано на фиг. 1.17. Источник S помещен в фокусе объектива  $O_1$ , а объектив  $O_2$  освещен параллельным пучком света.

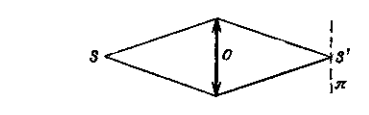
<sup>&</sup>lt;sup>1</sup>) Cm. [14, 107, 208].

как и объектив O на фиг. 1.16. Дифракционная картина S' характеризует форму оправы объектива  $O_2$ , если его поверхность полностью покрыта падающим пучком.



 $\Phi$  и г. 1.17, Изображение S' точечного источнака S представляет собой картину дифракции Фраунгофера.

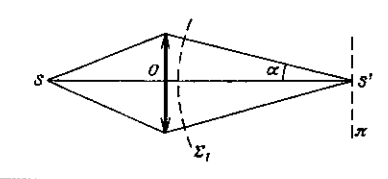
Можно заменить объективы  $O_1$  и  $O_2$  на фиг. 1.17 одням, как показано на фиг. 1.18. Изображение S' источника S представляет собой картину дифракции,



Ф и г. 1.18. Изображение S' точечного источника S также определяется явлением дифракции Фраунгофера (дифракция в параллельных лучах).

характерную для формы оправы объектива О. Вообще изображение точечного источника, даваемое оптическим прибором, называют дифракционной картиной в параллельных лучах или фраунгоферовой дифракционной картиной. Взяв поверхность волнового фронта за исходную (фиг. 1.19), можно, применяя принцип Гюйгенса — Френеля, рассчитать структуру диф

ракционной картины изображения точечного источника S. Если рассматривать слабо сходящийся пучок ( $\alpha$  мало), то можно показать, что принцип Гюйгенса — Френеля идентичен тому, что в математике называют

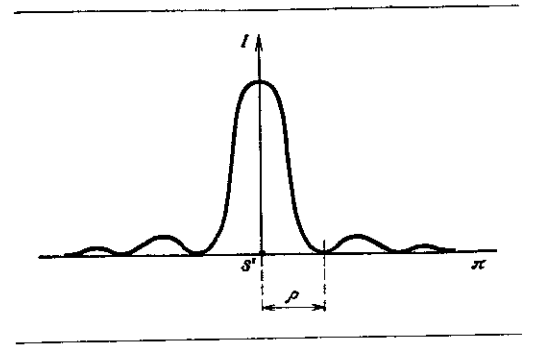


Ф и г. 1.19. Распределение амылитул на наображении S\*, являющееся результатом дифракции, представляет собой прообразование Фурье распределения амплитуд на поверхности Σ.

преобразованием Фурье. Следовательно, мы можем называть дифракционную картину S' преобразованием Фурье распределения амплитуд и фаз на поверхности фронта волны  $\Sigma_1$ . Соответственно можно рассчитать распределение амплитуд и фаз на поверхности волнового фронта  $\Sigma_1$ , если известно распределение амплитуд и фаз на дифракционной картине S'. Распределение амплитуд и фаз на поверхности волнового фронта является обратным преобразованием Фурье распределения амплитуд и фаз в плоскости дифракционной картины.

Предположим, например, что объектив O круглый. Дифракционная картина будет иметь круговую симметрию. Ее структура иллюстрируется графически на фиг. 1.20. Светящееся пятно в центре картипы окружено системой темных и светлых колец. Освещенность светлых колец убывает по мере удаления от геометрического центра S' дифракционной картины. Так как

интенсивность колед очень мала по сравнению с интенсивностью центрального пятна, последнее, собственно говоря, и играет роль изображения точечного источника. Если угловая апертура объектива O равна



Ф и г. 1.20. Профиль диска Эйри.

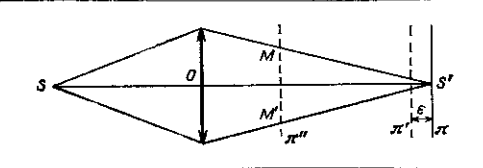
2α, то раднус р центрального пятна дифракционной картины находится по формуле

$$p = \frac{1,22\lambda}{2\alpha}, \qquad (1.6)$$

где  $\lambda$  — длина волны света, испускаемого источником S. Например, для объектива сацертурой  $2\alpha=^{1}/_{4}$  и длины волны  $\lambda$ =0,6 мкм (желтый свет) получим  $\rho$  —3 мкм. Если увеличить диаметр объектива, не изменяя расстояния OS', апертура  $2\alpha$  увеличится, а диаметр дифракционного пятна уменьшится. Если, наоборот, уменьшить диаметр объектива O, не изменяя OS', то апертура OS', а уменьшится, а диаметр пятна увеличится. Образованную точечным источником диф-

ракционную картину от идеального оптического прибора (фиг. 1.20) часто называют диском Эйри. Вместо того чтобы рассматривать дифракционную картину в плоскости п, проходящей через геометрическое изображение источника S' (фиг. 1.21), можно изучать ее в плоскости п', очень близкой к п, в которой изображение источника немного расфокусировано. До тех пор пока расстояние в между этими плоскостями мало, исследуемое явление можно по-прежпему считать дифракцией Фраунгофера

35

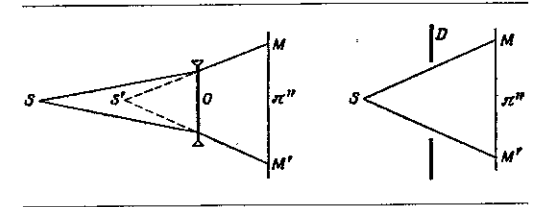


Ф н г. [.2]. Если плоскость т находится очень близко от плоскости т, в которой сфокусировано изображение, то результат дифракции в плоскости т следует по-прежиему считать картиной дифракции Фраунгофера.

В плоскоста л" наблюдается дифракция Френеля.

(дифракция в паравлельных лучах), но если рассматривать дифракционную картину в плоскости  $\pi'$ , удаленной от плоскости  $\pi$ , то это уже не так. Практически дифракционная картипа наблюдается только по краям M и M' пучка,  $\tau$ . е. у границ геометрической тени. Так как плоскость  $\pi''$  находится далеко от изображения S', это все равно, что наблюдать дифракционную картину мнимого изображения (фиг. 1.22). Можно лаже убрать линзу (фиг. 1.23), заменив ее экраном D, ограничивающим пучок. Мы рассматриваем в этом случае  $\partial u \phi p \alpha \kappa \mu \nu \sigma$ 

расстоянии, или дифракцию Френеля. Явления этого класса можно наблюдать с помощью схемы, изображенной на фиг. 1.23. Для этого поместим экран D,



Фиг. 1.22. В плоскости п'' наблюдается дифракция Френели.

Ф в г. 1.23. Экран, помещенный между то-ченным источником S и илоскостью наблюдення л", позводяет наблюдать дифракцию Фрецеля.

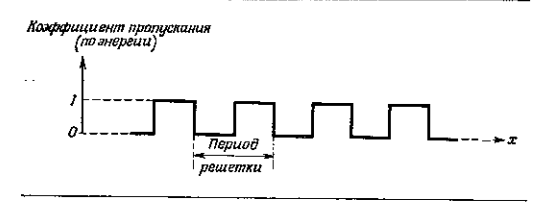
на котором мы хотим наблюдать дифракцию  $\Phi$ ренсяя, между источником S и экраном наблюдения  $\pi''$ .

Как и в случае дифракции Фраунгофера, здесь тоже существует математическое выражение, называемое преобразованием Френеля, которое позволяет рассчитать амилитуду и фазу волны в плоскости  $\pi''$ , если они известны в плоскости экрана D. С помощью обратного преобразования можно вычислить амилитуду и фазу в плоскости D, если они известны в плоскости  $\pi''$ .

## § 7. ДИФРАКЦИЯ НА АМПЛИТУДНОЙ РЕШЕТКЕ

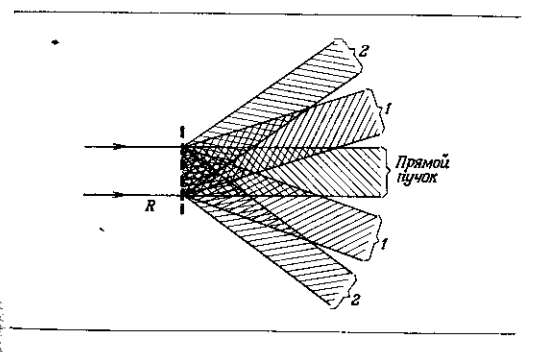
Плоской дифракционной решеткой называют экран с большим количеством тонких параллельных щелей, расположенных в одной плоскости, Щели имеют

одинаковую ширину и равные расстояния между ними. Решетка такого типа называется прозрачной амплитудчой решеткой. Расстояние между двумя соот-



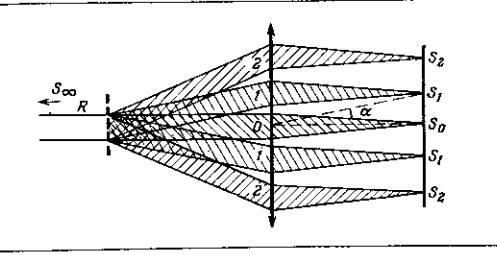
Ф и г. 1.24. Профиль двумерной решетки.

ветственными точками соседних щелей называется периодом или шагом решетки. Изменение коэффициента пропускания по энергии вдоль решетки показано графически на фиг. 1.24.



Фиг. 1.25. Дифракция на решетке,

Рассмотрим решетку R, освещенную параллельным монохроматическим пучком света с длиной волны  $\lambda$ , нормальным к плоскости решетки (фиг. 1.25). В результате дифракции решетка R посылает пучки света в разных паправлениях, как показано на фиг. 1.25. Прежде всего это прямой пучок, который проходит



 $\Phi$  в г. 1,26. Наблюдение максимумов решетки в фокусе объектива 0.

так, как если бы решетки не было. Затем следуют два дифрагированных пучка I, симметричных относительно прямого, за пими — два дифрагированных пучка 2, тоже симметричных отпосительно прямого пучка, по более отклоненных от пего, и т. д. Каждый дифрагированный пучок света будет, как и падающий пучок, параллельным. Можно собрать дифрагированные пучки в фокальной плоскости объектива O (фиг. 1.26). Эти пучки дают разные изображения точечного источника — объекта S. Пятно  $S_0$  есть прямое изображение или максимум нулевого порядка; два изображения  $S_1$ , расположенные по бокам от изображения  $S_0$ , называются максимумами второго порядка, изображения  $S_2$ — максимумами второго норядка, изображения  $S_2$ — максимумами второго но-

рядка и т. д. Изображение  $S_0$  наиболее интенсивнос; интенсивность изображений  $S_1$ ,  $S_2$  и т. д. убывает по мере того, как увеличивается их порядок. Чтобы определить положения  $S_1$ ,  $S_2$  и т. д., достаточно применить элементарные законы геометрической оптики. Направление  $\overline{OS}_1$  составляет с  $\overline{OS}_0$  угол, равный углу между прямым пучком лучей и одним из двух дифрагированных пучков I до их прохождения сквозь объектив O.

Из теории дифракционных решеток следует, что  $y_{\text{год}}\alpha$ , определяющий положение максимума порядка p, равен

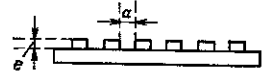
$$a = p \frac{\lambda}{a}$$
, (1.7)

где a — нериод решетки (предполагается, что угод  $\alpha$  мал).

Для решетки, содержащей 100 щелей на миллиметр,  $a=\frac{1}{100}$  мм, так что максимум первого порядка расположен под углом  $\alpha{\approx}3^{'}$ , если  $\lambda{=}0.6$  мкм.

### § 8. ДИФРАКЦИЯ НА ФАЗОВОЙ РЕШЕТКЕ

Рассмотрим решетку в виде илоскопараллельной пластинки, на которой имеется ряд небольших прямоугольных прозрачных выступов, параллельных друг другу и разделенных воздушными промежутками



Ф и г. 1.27, Фазовая решетка,

41

(фиг. 1.27). Выступы, которых может быть очень много, имеют показатель предомления n и толицину  $\ell$ . Их длина гораздо больше ширины. Заменим решетку на фиг. 1.25 решеткой, изображенной на фиг. 1.27. Она называется фазовой решеткой. Мы будем наблюдать явление, аналогичное предыдущему. Фокусируя дифрагированный пучок с помощью объектива, как показано на фиг. 1.26, мы увидим прямое изображение  $S_0$  н ряд максимумов  $S_1$ ,  $S_2$  и т. д., положение которых по-прежнему определяется формулой (1.7). Но интенсивность прямого изображения У, и максимумов  $S_1$ ,  $S_2$  и т. д. зависит от оптической толщины прозрачных выступов. Интенсивности максимумов тем меньше, по сравнению с интенсивностью прямого изображения  $S_0$ , чем меньше оптическая толицина neпрозрачных выступов. Очевидно, что в пределе, когда e=0, получим только прямой пучок.

### § 9. ДИФРАКЦИЯ НА СИНУСОИДАЛЬНОЙ РЕШЕТКЕ

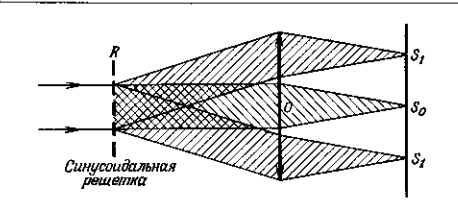
Представим себе рещетку, прозрачность которой по амплитуде меняется с координатой х как соз²х (фиг. 1. 28). Назовем такую решетку синусопдальной. Опыт показывает, что при дифракции на такой решетке



Фиг. 1.28. Коэффициент пропускания синусоидальной рещетки по амплитуде.

образуются, помимо прямого изображения  $S_0$ , только максимумы первого порядка (фиг. 1.29). Этот результат легко получить, вычислив преобразование Фурье функции  $\cos^2 x$ , дающей распределение амплитуд. Это — дифракция в паралледьных дучах на синусондальной решетке. Надо отметить, что если изме-

основные понятия



Фиг. 1.29. Синусоидальная ампацтудная решстка дает голько центральное изображение и два максимума первого порядка.

нение прозрачности хоть немного отступает от закона  $\cos^2 x$ , то немедленно появляются и другие максимумы. Раепределение интенсивности в этих максимумах можно исследовать, произведя гармонический анализ профиля решетки.

... Можно заменить решетку, изменяющую амплитуду по закону соз<sup>3</sup>х, на рещетку, изменяющую фазу по тому же закону. Если вариации фазы малы, то в этом случае снова получим прямое изображение и два максимума по бокам от него.

### § 10. ФОТОГРАФИЯ АМПЛИТУДНОЙ СИНУСОИДАЛЬНОЙ РЕШЕТКИ

Рассмотрим решетку, коэффициент пропускания которой (по энергии) следует закону вида  $\cos^2 x$ .

Пусть для реализации эксперимента по схеме фиг. 1.29 мы сфотографировали эту решетку и получили негатив, прозрачность которого по амплитуде следовала бы закону  $\cos^2 x$  (фиг. 1.28). Напомини несколько определений, касающихся фотоэмульсии. Пусть E — освещенность фотопластинки в момент фотографирования. После проявления осветим полученный негатив. Пусть  $I_0$ — интенсивность падающего света, а I — интенсивность света, процедшего сквозь негатив. Коэффициентом пропускания негатива называют отношение

$$T = \frac{l}{I_u} \,. \tag{1.8}$$

Он всегда меньше единицы. Логарифм величины  $1 \cdot T$  называют оптической плотиостью D негатива или почернением:

$$D = \lg \frac{1}{T} \,. \tag{1.9}$$

Обозначая коэффициент пропускания по амплитуде символом t, получаем

$$T = t^2$$
,  $D = \lg \frac{1}{t^2}$ . (1.10)

Если т — время выдержки, на пластнику падает энергия  $W\!=\!E\tau$  (экспозиция).

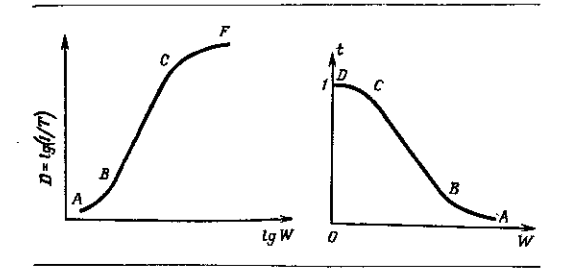
Кривой почернения, или характеристической кривой эмульсии, называют кривую, дающую изменение оптической плотностп D (негатива) в зависимости от логарифма энергин W, падающей на пластинку (фиг. 1.30). Эта кривая имеет примолинейный участок BC, соответствующий нормальной экспозиции, и два участка, AB и CF, соответствующие недодержке и передержке. Если  $\gamma$  — наклон прямолинейного участ-

ка, то на этом участке имеем

$$D = j + \gamma \lg \frac{W}{W_0}, \qquad (1.11)$$

где j и  $W_0$ — константы.

В данном случае нас интересует соотношение между амплитудой света, прошедшего сквозь негатив, и энергией W, падающей на пластинку. Кривая



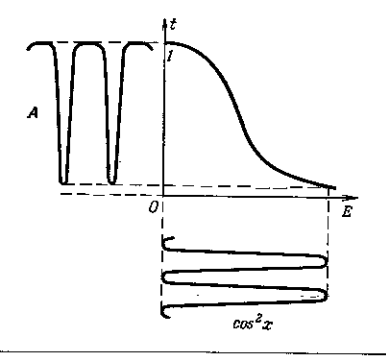
Фиг. 1.30. Характеристическая кривая фотоэмульсии.

Ф и г. 1.31. Кривая, связывающая амклитуду света, процедшего сквозь петатив с энергией, падающей на фотопластинку.

функции t=f(W) представлена на фиг. 1.31. Она также имеет прямолинейный участок BC, который играет очень важную роль. Заметим, что прямолинейный участок кривой t-f(W) соответствует участку недодержки AB на фиг. 1.30. Если время выдержки постоянно, то можно рассматривать зависимость амплитудного коэффициента пропускания только от освещенности, т. е. воспользоваться кривой t=f(E).

Сделаем контактный фотоснимок синусоидальной решетки, коэффициент пропускания которой (по энер-

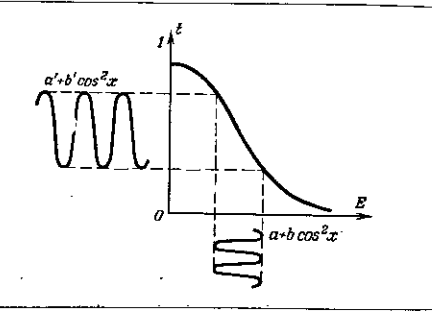
гии) следует закопу  $\cos^2 x$ . Освещенность пластинки E изменяется по тому же закону. Зависимость амплитуды t света, прощедшего сквозь негатив, от E изображена на  $\phi$ иг. 1.32. Освещенность пластицки, ме-



Ф и г. 1.32. Если изменения освещенности фотопластинки очень велики, то закон изменения амплитуды света, прошедшего сквозь вегатив, не воспроизводит закона изменения освещенности.

няющаяся как  $\cos^2 x$ , схематически представлена кривой, расположенной ниже оси E. Кривая A дает амплитуду света, прошедшего сквозь негатив. Можно видеть, что эта кривая не подчипяется закону  $\cos^2 x$ . Поэтому с помощью фотоснимка решетки мы не сможем получить прямое изображение только с двумя максимумами, как на фиг. 1.29, поскольку всякое отступление профиля амплитудного пропускавия решетки от закона  $\cos^2 x$  приводит к появлению дополнительных максимумов. Можно, тем не менее, добиться желаемого результата несколько иным способом.

Возьмем решетку, коэффициент пропускания которой по энергии изменяется как  $a-b\cos^2 x$ , где a и b — константы. Тогда освещенность фотопластицки булет следовать закону  $a+b\cos^2 x$ . Нам нужно, чтобы амплитуда света, прошедшего сквозь негатив, следовала тому же закону. Пусть максимальное значение



Фиг. 1.33. Если изменения освещенности фотопластинки певелики, то распределение амплитуды света, процедшего сквозь негатив, подчивяется тому же закону, что и освещенность.

амплитуды падающего на пластинку света есть a+b, причем ее минимальное значение a находится в пределах прямолинейного участка CB кривой t-f(E) (фиг. 1.31). Тогда амплитуда света, прошедшего сквозь негатив, будет изменяться как  $a'+b'\cos^2 x$ , где a' и b'— константы (фиг. 1.33). По сравнению с решеткой, показанной на фиг. 1.28, эта решетка менее контрастна, так как ее пропускание нигде не равно нулю. Если осветить такую решетку параллельным пучком света, то получится прямое изображение, сопровождающееся только двумя максимумами. Этот

результат легко получить, выполнив преобразование  $\Phi$ урье распределения амплитуды  $a' + b' \cos^2 x$ .

### § 11. ОТБЕЛЕННЫЕ ФОТОГРАФИИ

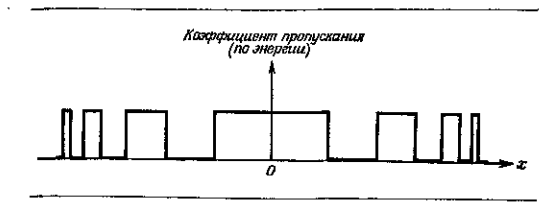
Поместим негатив с изображением синусоидальной решетки в подходящий раствор. Металлическое серебро растворится, и толщина эмульсии в тех местах, где было металлическое серебро, уменьшится. Слой эмульсии будет тем тоньше, чем толще был слой металлического серебра, т. е. чем плотнее был негатив. Получаем таким образом настоящую фазовую решетку. Впадяны и выступы эмульсии своим расположением и глубиной воспроизводят закон  $a - b \cos^2 x$ , Фотография называется отбеленной. Если изменения фазы малы, то при освещении ее параллельным пучком света, получится прямое изображение и два максимума \*.

# § 12. ДИФРАКЦИЯ НА КРУГЛОЙ РЕШЕТКЕ. ФОТОГРАФИЯ КРУГЛОЙ РЕШЕТКИ

Рассмотрим круглую решетку, полученную следующим способом. Начертим на белой бумаге серию окружностей, радиусы которых меняются как квадратные корни из последовательных целых чисел. Зачерним через один интервалы между двумя окружностями, затем сфотографируем полученный чертеж (зонную решетку).

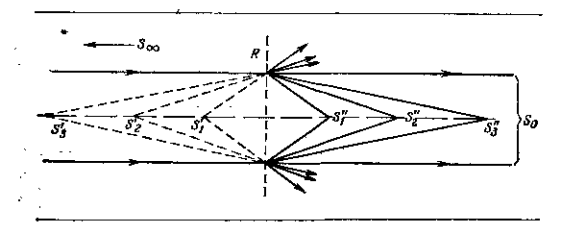
Кривая изменения коэффициента пропускания такой решетки (по энергии) приведена на фиг. 1.34. Осветим такую круглую решетку параллельным мопохроматическим пучком света (фиг. 1.35). Будет на-

**блюдаться** следующее. Во-первых, через решетку R проходит прямой пучок  $S_0$ . Кроме того, имеется ряд мнимых изображений  $S'_{11}$ ,  $S'_{22}$ ,  $S'_{31}$  и т. д., точечного источника S, расположенного в бесконечности, и ряд



Фиг, 1.34. Профиль круглой решетки (решетка Сорэ, или зонная пластивка Френеля).

его действительных изображений  $S''_1$ ,  $S''_2$  и т. д. Все эти изображения расположены на оси решетки, как и сам источник S. Мы получили, таким образом,

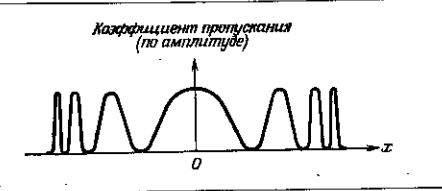


Ф в г. 1.35. Максимумы решетки Сорэ,

как бы линэу с множеством фокусов. Изображения  $S'_1$  и  $S''_1$ ,  $S'_2$  и  $S''_2$ , и т. д. яграют ту же роль, что и максимумы на фяг. 1.26. Эти изображения, или мак-

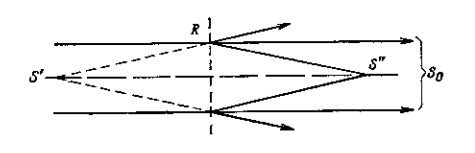
Здесь и везде ниже звездочками отмечены места текста, к которым имеются примечания редактора перевода (см. стр. 188— 194). — Прим. ред.

симумы, используются в голографии, и, как мы увидим дальше, лучше уменьшить их число до минимума, т. е. до двух.



Фиг, 1.36. Профиль круглой «синусондальной» решетки, коэффициент пропускания которой меняется как  $\cos^2 x^2$ .

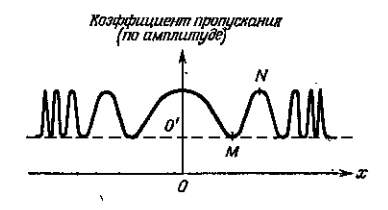
Рассмотрим теперь аналогичную решетку, в которой переход от минимума к максимуму происходит постепенно (фиг. 1.36). Коэффициент пропускания



ф и г. 1.37. Круглая синусоидальная решетка, коэффициент пропускация которой меняется как  $\cos^2 x^2$ , дает солько прямой пучок и два максимума,

такой решетки может изменяться, например, как ços² x². Решетка на фиг. 1.36 (сивусоидальная зонная решетка) играет по отношению к решетке на фиг. 1.34 ту же роль, что решетка на фиг. 1.28 по отношению к

решетке на фиг. 1.24. Допустим, нам удалось сфотографировать решетку, изображенную на фиг. 1.36 так, чтобы изменение амплитуды света, прошедшего сквозь пегатив, следовало закону соя 2 х2. Осветим фотографию паралледьным цучком света. Вместо ряда изображений на оси решетки получим только два; одно мнимос S' и одно действительное S" плюс прямой пучок  $S_0$  (фиг. 1.37). В действительности, как можно поиять из того, что говорилось выше, коэффициеит пропускания негатива по амплитуде не следует



и г. 1.38. Профиль круглой сипусоидальной решетки типа

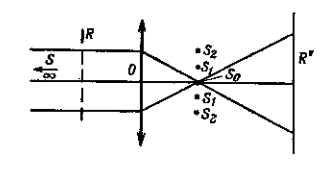
точно закону  $\cos^2 x^2$ . Кроме изображений S' и S", получим также другие, расположенные на оси решетки. Интенсивность и расположение этих изображений зависят от профиля пропускания полученной решетки.

Чтобы получить только два изображения S' и S" (фиг. 1.37), можно поступить, как раньше (\$10). Сделаем решетку такого же профиля, как на фиг. 1.36, ио менее контрастную (фиг. 1.38), Теперь минимумы М и максимумы N попадут на прямодинейный участок амплитудной кривой t = f(E) фотоэмульсии, и закон изменения амплитуды будет воспроизводиться точно. Если осветить фотографию решетки фиг. 1.38 параллельным пучком света, то получится прямое изображение  $S_0$  и только два изображения S' и S''.

Можно отбелить фотографию и превратить амплитудную зонную решетку в фазовую.

## § 13. ФИЛЬТРАЦИЯ ПРОСТРАНСТВЕННЫХ ЧАСТОТ 1)

Рассмотрим в качестве объекта амплитулную решетку R (фиг. 1.39), аналогичную той, которая была описана в § 7 (щели, разделенные непрозрачными ип-



Ф н с. 1.39. Схема оптической фильтрации.

тервалами). Решетка освещена монохроматическим параллельным пучком света, падающим нормально к плоскости решетки (освещение когерентно). Расстояние между решеткой R и объективом O таково, что объектив образует изображение R в плоскости R'. Для простоты на фиг. 1.39 показан только прямой пучок, который дает в  $S_{\theta}$  прямое изображение точечного источника S, расположенного на бескопечности. Как было сказано в § 7, в фокальной плоскости объективости объективости.

**чива** O получаются прямое изображение  $S_0$  и изображения  $S_1$ ,  $S_2$ ,  $S_3$  и т. д. — теоретически бесконечное количество изображений, если профиль решетки таков, как на фиг. 1.24, и апертура объектива O бесконечна.

Можно сказать, что изображение R' образуется в результате интерференции воли, испускаемых  $S_0$  и -всеми максимумами  $S_1$ ,  $S_2$ ,  $S_3$  и т. д., которые ведут себя как источники, освещающие плоскость R'. По--местим в фокальной плоскости объектива О экран с отверстием, которое пропускает только лучи, образующие прямое изображение (эксперимент Аббе), -Тогда плоскость R' будет освещена равномерно, и изображения решетки не возникнет. Увеличим отверстие так, чтобы оно пропускало также пучки лумей, образующие два максимума S<sub>1</sub>, расположенные (по бокам от  $S_2$ . Тогда все сведется к случаю, описанному в § 9, и мы будем паблюдать изображение, подобное изображению синусоидальной решетки типа изображенной на фиг. 1.28. Если продолжать увеличивать отверстие в экране, то оно будет пропускать все больше максимумов и изображение будет все более походить на объект. В пределе (если объектив О имеет бесконечную апертуру) структура изображения будет идентична структуре объекта, изображенного на фиг. 1.24. Возьмем теперь экран, который задерживает максимумы  $S_1$ , а пропускает только пучок  $S_n$ «н два максимума S<sub>2</sub>. Опять получим случай, описанный в § 9, с той лишь разницей, что максимумы  $S_2$ будут более удалены друг от друга. Из формулы (1.7) следует, что это соответствует меньшему периоду синусондальной решетки-изображения. Если пропускать только  $S_a$  и два максимума  $S_a$ , то период решетки изображения станет еще меньше,

<sup>1)</sup> Cm. [14, 107, 208].

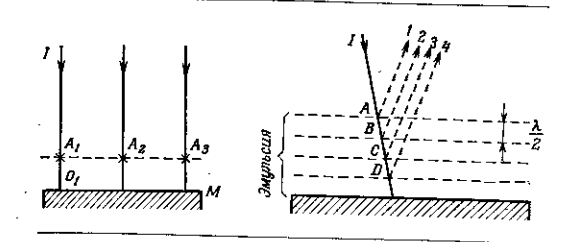
Все происходит так, как если бы решетка-объект R(профиль ее показан на фиг. 1,24), представляла собой суперпозицию бесконечного числа синусоидальных решеток с разными периодами. Величину, обратную периоду решетки, называют пространственной частотой. Если период мал, то пространственная частота велика, и наоборот. Из только что сказанного следует, что для лучшего воспроизведения изображения объекта объектив должен пропускать возможно большее число максимумов, соответствующих высоким частотам.

Можно заменить решетку R каким-нибудь непернодическим объектом. Тогда мы будем иметь не максимумы, а дифрагированный свет, непрерывно распределенный в фокальной плоскости объектива О. Крупные детали объекта, которым соответствуют низкие частоты, дают дифрагированные лучи, которые мало отклоняются от направления прямого пучка  $S_{\rm o}$ . Мелкие детали, которым соответствуют высокие частоты, дают дифрагированные лучи, сильно отклоненные от So.

Если поместить в фокальной плоскости объектива О экран с небольшим отверстием в центре, то он пропустит только свет, дифрагированный большими деталями объекта, т. е. соответствующий низким частотам, Если же, напротив, экранировать центральный участок фокальной плоскости, то дифрагированный свет, соответствующий крупным деталям, будет задерживаться, а свет, дифрагированный мелкими деталями. что соответствует более высоким пространственным частотам, будет проходить. С номощью экрана, помещенного в фокальной плоскости объектива О, осуществляется фильтрация пространственных частот объекта.

# эсновные понятия § 14. ФОТОГРАФИРОВАНИЕ СТОЯЧИХ ВОЛН Ч

Пусть на плоское зеркало М нормально падает парадлельный монохроматический пучок (фиг. 1.40.), Отраженные лучи могут интерферировать с падающими. Например, луч  $IA_1O_1A_1$ , отражаясь



Фиг. 1.40, Стоячне волны, возникающие в результате интерференции падающей и отраженной волн,

Фиг. 1.41. Выделивнееся серебро образует полупрозрачные отражающие слои на расстояции  $\lambda/2$  друг от друга,

в точке  $O_1$ , интерферирует в точке  $A_1$  с падающим лучом  $IA_{\mathbf{i}}$ . Разность хода падающего и отраженного лучей  $\delta = 2\overline{\mathcal{O}}_{\mathbf{i}}A_{\mathbf{i}}$ . Если  $\delta$  содержит четное число полуволн  $\lambda$  2, то в точке  $A_1$  будем иметь максимум освещенности\*. То же самое можно сказать о точках  $A_{\rm s}$ .  $A_3$  и т. д. Все эти максимумы расположены в плоскости, параддельной плоскости зеркала М. Плоскость. содержащая максимумы освещенности, называется плоскостью пучностей. Если же δ содержит нечетное число полуводи, то наблюдается минимум освещенности. Плоскость, парадлельная М и содержащая все

<sup>&</sup>lt;sup>1</sup>) C<sub>M</sub>, [182].

эти точки, называется плоскостью узлов. Расстояние между двумя соседними плоскостями пучностей (или двумя соседними плоскостями узлов) равно λ 2; расстояние же между плоскостью пучностей и соседней плоскостью узлов равно λ/4. Покроем зеркало М достаточно толстым слоем фотоэмульсии (хлористого серебра) с очень мелкими зернами. Осветим полученную фотопластинку нормально к ее поверхности параллельным монохроматическим пучком света с длиной волны х, затем проявим ее. Во всех плоскостях пучностей, где интенсивность максимальна, выделится серебро, и мы получим ряд полупрозрачных отражающих слоев серебра на равных расстояниях λ 2 друг от друга\*. Осветим нашу фотопластинку белым светом. Присутствующие в падающем свете лучи с длиной волны а, отразившись от всех слоев серебра, окажутся в фазе (фиг. 1.41). Действительно, разность хода луча I, отраженного в точке A, и луча 2, отраженного в точке B, равна  $2\overline{AB}$ . Для длины волны  $\lambda$ расстояние  $\overline{AB} = \lambda/2$ . Это относится и ко всем остальным слоям серебра.

Следовательно, мы получим в отраженном свете максимум интенсивности для длины волны λ'и только для нее. Для некоторой другой длины волны  $\lambda'$  расстояние  $\overline{AB}$  отличается от  $\lambda'/2$ . Следовательно, от полупрозрачных слоев серебра отразится множество лучей, разность хода которых принимает всевозможные значения. В конце концов, в результате интерференции они гасят друг друга, и пластинка, освещенная белым светом, отражнет практически только монохроматический свет с длиной волны  $\lambda$ , которым она первоначально была освещена. Этот принцип был использован Липпманом в цветной фотографии. Если сфотографировать пейзаж на фотопластинку вышеописанного типа, то в каждой точке пластинки возникиет система полупрозрачных слоев серебра, характерная для длин волн света, понавшего в эту точку.

основные понятия

Рассматривая отражение от пластинки в нормально падающем белом свете, мы увидим в каждой точке отражение света тех длин воли, которые попали в нее при фотографировации, т. е. подучим воспроизведение цвета. Это явление лежит и в основе цветной голографии \*.

# основы голографии и возможности ее применения

### § 1. КРАТКАЯ ИСТОРИЯ 1)

Голография была создана в 1948 г., когда Д. Габор описал новый метод, позволяющий получать изображение объекта с помощью дифракционной картины, даваемой объектом \*. Результат достигается в два приема.

- а) Фотографируют дифракционную картипу Френеля, даваемую объектом, вместе с когерентным фоном. Это голограмма. Она не похожа на объект, но содержит всю информацию распределение амплитуды и фазы, необходимую для восстановления его изображения.
- б) Освещают голограмму параллельным монох роматическим пучком света. Так как плотность эмульсии фотопластинки, на когорой зарегистрирована голограмма, мецяется от точки к точке, происходит дифракция. Вследствие явления дифракции света на голограмме образуются изображения объекта.

В схеме Габора изображения, даваемые голограммой, перекрывались. Кроме того, получить когерент-

ный фон в 1948 г. было очень трудно, так как известные в то время источники света были не очень монохроматичны. Действительно, в голографии один и тот же источник служит как для освещения объекта, так и создания когерентного фона. Если объект велик, длина когерентного фона. Если объект велик, длина когерентности используемого света должна быть тоже достаточно велика. Когда Габор ставил свои первые опыты, источники света не удовлетворяли этому условию \*. Физики Мичиганского университета, в особенности Э. Лейт и Ю. Упатниекс, в 1962 г. внесли окончательные усовершенствования в метол Габора. Проблемы были решены следующим образом:

- а) пучок света, образующий когерентный фон, направляют на пластинку так, что он составляет довольно большой угол с пучком света, дифрагированным объектом. Это позволяет получать изображения, которые при наблюдении не перекрываются\*\*.
- б) В качестве источников света используются дазеры, высокая интенсивность излучения и большая длина когерептности когорых упрощают осуществление экспериментальных схем.

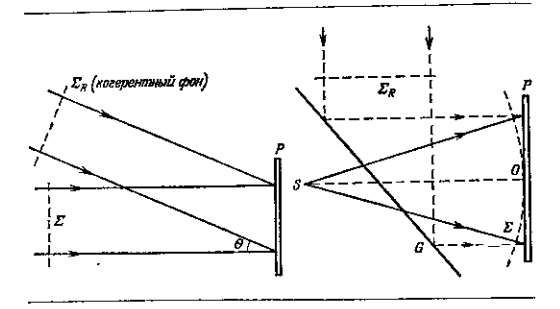
#### § 2. ВОССТАНОВЛЕНИЕ ИЗОБРАЖЕНИЯ СВЕТЯЩЕЙСЯ ТОЧКИ

Задача состоит в следующем: фотопластинка освещается точечным монохроматическим источником, и мы хотим (после проявления) с помощью негатива получить изображение источника.

Рассмотрим сначала следующий простой эксперимент (фиг. 2.1): на фотопластинку P падают два паральельных монохроматических пучка света, т. е. две плоских волны  $\Sigma$  ң  $\Sigma_R$ . Волны  $\Sigma$  и  $\Sigma_R$  когерентны,  $\Sigma_R$  будем называть опорной волной. В плоскости фото-

<sup>&</sup>lt;sup>1</sup>) Cm. [86—91].

пластинки P волны  $\Sigma_R$  и  $\Sigma$  интерферируют и дают систему прямолинейных, параллельных и находящихся на равных расстояниях друг от друга интерференционных полос. Полосы лежат в илоскости, параллельной ребру двугранного угла  $\theta$ , образованного волнами  $\Sigma$ 



фиг, 2.1. Фотографию синусоидальной решетки получают, заставив интерферировать в плоскости фотопластинки две плоские волим  $\Sigma$  и  $\Sigma_R$ .

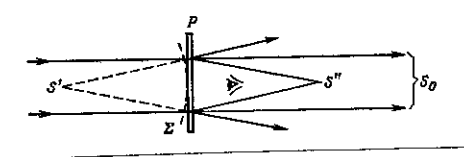
Ф и г. 2.2, фотографию круглой синусоидальной решетки получают в результате витерфененции в плоскости пластияки сферической волны Σи плоской волны  $\Sigma_{R}$ .

и  $\Sigma_{B}$ . В плоскости P мы получим изображение синусоилальной решетки. Освещенность изображения меняется по закону cos2 x. Сделаем снимок и проявим пластинку. Полученный результат описан в гл. 1, § 10. Если осветить негатив параллельным монохроматическим пучком света, падающим нормально на поверхность пластинки, то появится несколько максимумов, так как коэффициент пропускания негатива по амплитуде не может следовать закону сов- х. Если мы хотим получить только два дифрагированных пуч-

ка, то можно использовать метод, описанный в гл. 1, 🕻 10. Увеличим амплитуду опорной волны  $\Sigma_{_{B}}$  по сравнению с амплитудой волны Σ. Из элементарной теории интерференции следует, что при этом расположение интерференционных полос на пластинке Р не изменится, уменьшится только их контрастность. Именно такой случай изображен на фиг. 1.33. Коэффициент пропускания пегатива по амплитуде измеa няется как  $a' - b' \cos^2 x$ . Негатив дает, помимо прямого изображения, только два максимума.

Воспользуемся тем же методом в случае, когда волна  $\Sigma$  сферическая (фиг. 2.2). Волна  $\Sigma$  излучается то**учечным** монохроматическим источником S, помещенйым на конечном расстоянии от пластинки P. Плоская онорная волна  $\Sigma_R$ , создающая когерентный фон, падает на пластинку Р, отразившись от полупрозрачной отражающей пластинки G. Волны  $\Sigma$  и  $\Sigma_R$  интерферируют сюду, где они перекрываются, в частности в плоскости пластинки Р. Какова будет в этом случае интерференпионная картина? Если направление SO перпендимулярно плоскости P, то возникнет круговая интерреренционная картина с осью вращения 50. Струкра колец будет такой же, как и на фиг. 1.36, если Мплитуды обенх волн одинаковы в плоскости P. Если осветить негатив после проявления фотоплатинки параддельным монохроматическим пучком **жет**а, то мы получим несколько изображений, расоложенных на одной липии, так как пропускание егатива по амилитуде не может подчиняться закону s<sup>2</sup> x<sup>2</sup>. Число и интенсивность изображений зависят амплитудного профиля негатива. Чтобы получить Улько два изображения, как это показано на фиг. 1.37, **М**плитуда опорной волны  $\Sigma_R$  (когерентного фона) **юл**жна быть больше амплитуды волиы  $\Sigma$ , Выполнив

это условие, сделаем снимок, проявим его, затем осветим негатив параллельным пучком лучей той же длины волны, падающим нормально на пластинку. Мы получим, как и в случае фиг. 1.37, прямой пучкок и два изображения— действительное и мнимое (фиг. 2.3). Сквозь негатив P можно хорошо рассмо-



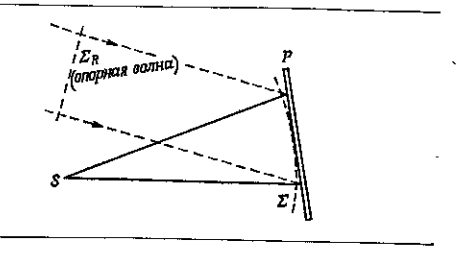
Фиг. 2.3. Восстановление нзображений S' и S' источника с помощью фотографии круглой решетки.

треть мнимое изображение S' источника S, который первоначально освещал пластинку P и был расположен на том же самом месте. Мы восстановили сферическую волну  $\Sigma$  и, следовательно, получили мнимое изображение точечного источника.

Регистрация амплитуды и фазы волцы  $\Sigma$  на пластинке P (фаза регистрируется благодаря когерентному фону) позволяет восстановить сферическую волну  $\Sigma$ . Таким образом мы восстанавливаем испускающий эту волну точечный объект. Негатив, полученный таким способом, называется голограммой.

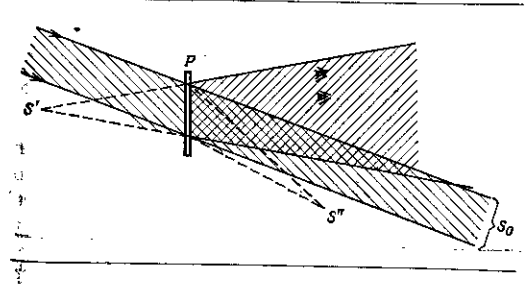
Отметим, что пучки, соответствующие S', S" и S<sub>0</sub>, перекрываются, и это затрудняет наблюдение изображения S'. Чтобы избежать этого, используют эффект углового разделения лучей на синусоидальной решетке (фиг. 1.29) в схеме, изображенной па фяг. 2.2. Пощлем опорный пучок на пластинку наклонно

(фиг. 2.4). Как и раньше, сфотографируем, увеличив амплитуду когерентного фона по сравнению с амплитудой волны  $\Sigma$  в плоскости P. После проявления пла-



 ф и г. 2.4. Случай наклодного падеция плоской опорной волны на фотопластинку при регистрации.

етинки осветим ее парадлельным пучком света под тем же углом, под каким падал на нее опорный пучок во время фотографирования. Результаты схематический



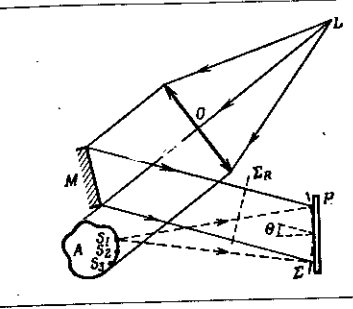
 и г. 2.5. Благодаря наклонному надению опорной волны при регистрации восстановленные изоброжения хорошо разделены в пространстве.

выблюдатель без помех видит сквозь голограмму минмое изображение S'.

показаны на фиг. 2.5, которая апалогична фиг. 2.3, только дифрагированные пучки отклонены вследствие взаимодействия с решеткой (см. фиг. 1.29). Возникают мнимое изображение S' и действительное изображение S'. Мнимое изображение S' расположено по отношению к голограмме там же, где был расположен источник S по отношению к фотопластинке. Благодаря угловому разделению пучков глаз может рассматривать мнимое изображение S' без помех со стороны других пучков.

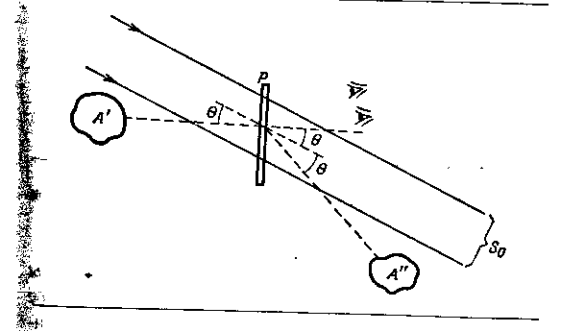
# § 3. ВОССТАНОВЛЕНИЕ ИЗОБРАЖЕНИЯ ОБЪЕКТА В ТРЕХ ИЗМЕРЕНИЯХ. ГОЛОГРАММА ФРЕНЕЛЯ 1)

Рассмотрим диффузно рассеивающий объект A (фиг. 2.6). Он освещен точечным источником L, временная когерентность которого достаточна для того, чтобы волны, дифрагированные, или рассеянные всеми



Фиг. 2.6. Регистрация голограммы произвольного объекта, диффузно рассеивнющего свет.

Произвольная точка  $S_1$  объекта A, освещенного лазером, служит источником рассеянной сферической



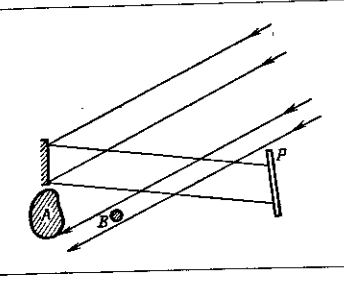
и г. 2.7. Восстановление и наблюдение мнимого изображения A' с измощью голограммы  $P_+$ 

олны  $\Sigma$ , которая, распространяясь во всех направленях, лопадает также на фотопластинку P. Волна  $\Sigma$  итерферирует с когерентной волной  $\Sigma_R$ , и возникает итуапия, аналогичная описанной в предыдущем парарафе, если амплитула  $\Sigma_R$  больше амплитулы дифратрованной волны (кстати, осуществить это соотночение легче, чем обратное). Мы можем провести тане же рассуждения для всех точек  $S_1$ ,  $S_2$ ,  $S_3$  и т. д. бъекта A, свет от которых падает на фотопластинку P.

<sup>1)</sup> CM. [65, 107, 162—171, 282, 300, 337, 1\*, 4\*, 8\*, 11\*, 14\*].

65

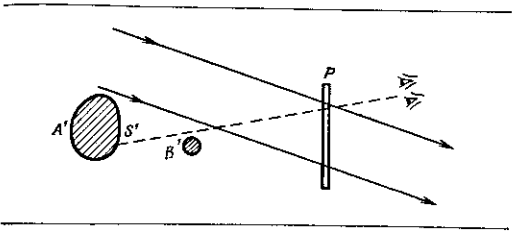
Осветим полученную таким образом голограмму параллельным пучком света, падающим под тем же углом, под каким падала на фотопластинку плоская волна  $\Sigma_R$  в момент фотографирования (фиг. 2.7). Восстановление происходит по схеме, описанной в гл. 2,



 $\Phi$ н г.  $2.8_{\circ}$ Регистрация голограммы двух рассеивающих объектов A и  $B_{\circ}$ 

§ 2. Мнимые изображения  $S'_{1}$ ,  $S'_{2}$  и т. д. восстановлены  $\mathit{mam}$ , где находились точки  $S_1$  ,  $S_2$ , и т. д. То же самое мы можем сказать обо всем изображении A'. Оно идентично объекту A и расположено там, где находился объект. Восстановленное изображение трехмерно. Кроме мнимого изображения  $A^\prime$ , получается действительное изображение А", которое можно непосредственно сфотографировать \*. Ниже (гл. 2, § 12) мы увидим, что в том случае, когда толщиной эмульсии нельзя пренебречь, голограмму следует освещать по-разному в зависимости от того, действительное или мнимое изображение объекта мы хотим наблюдать. Пусть  $\theta$  средний угол между опорным пучком и пучком, падающим на пластинку от объекта А в момент фотогра-

фирования (фиг. 2.6). Допустим, что угол в мал. При восстановлении изображения среднее направление каждого из пучков, образующих изображения  $A^\prime$ и A'' (фиг. 2.7), составляет угол  $\theta$  с направлением опорного пучка. Если рассматривать изображение А' двумя глазами, то создается впечатление, что мы видим сам объект. Создается полное ощущение объемности.



Ф и г. 2.9. При восстановлении изображения участок S' изображения A' при определенном положении глаз может быть закрыт изображением  $B^*$ ,

Представим себе голограмму двух рассеивающих объектов A и B, причем B помещен между фотопластинкой и объектом А (фиг. 2.8). При восстановлении (фиг. 2.9), если мы смотрим на B', изображение A'будет не в фокусе, и наоборот. Перемещая глаза, можно увидеть точку S' изображения A', которая при другом положении глаз может быть скрыта изображением В'. Все это, как известно, невозможно проделать с обычной фотографией.

Итак, для того чтобы восстановить изображение какого-нибудь рассеивающего свет объекта, нужно ъвыполнить следующие операции:

а) сделать снимок в монохроматическом свете; іпри этом пластинка должна быть освещена одновре-

33 No 2560

менно светом, падающим от рассеивающего объекта, и светом, создающим когерентный фон (опорная волна) соответствующей амплитуды;

б) проявить пластинку, которая по определению называется голограммой  $\Phi$ ренеля;

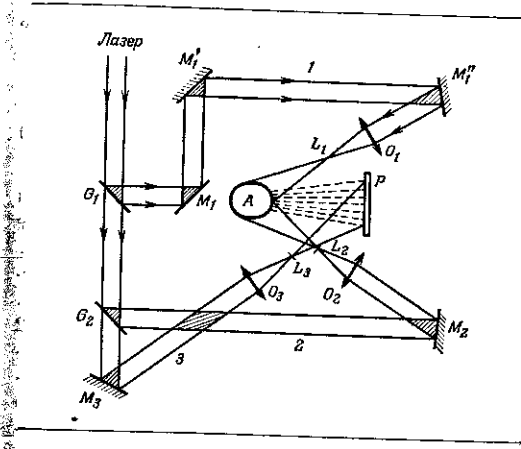
 в) осветить голограмму под тем же углом, под каким падал на фотопластинку опорный пучок света.

Голограмма восстанавливает два изображения объекта, мнимое и действительное. Сквозь голограмму хорошо видно мнимое изображение.

Теперь понятно, почему мы особо остановились на решетках, дающих минимальное количество максимумов. Каждый максимум даст свое изображение объекта, и очевидно, что чем меньше у нас будет изображений, тем меньше риск, что они будут заметно перекрывать друг друга.

Нужно, следовательно, добиться, чтобы условия получения голограммы соответствовали условиям фиг. 1,33. В противном случае голограмма не будет точно воспроизводить результат интерференции воли, дифрагированных различными точками объекта, с когерентным фоном. Появятся дополнительные изображения объекта, мещающие наблюдению. Амплитуда колебаний когерентного фона в плоскости пластинки P должна быть больще, чем амплитуда света, рассеянного объектом. На фиг. 2.10 изображено одно из возможных устройств, позволяющих освещать объект А под разными углами с номощью одного и того же лазера. Все происходит так, как если бы объект A был освещен двумя точечными источниками  $L_{\rm t}$ и L., а когерентный фон, освещающий непосредственно фотопластинку Р, создавался точечным источником  $L_3$ . Полупрозрачные отражающие пластинки  $G_1$  и  $G_2$ , зеркала  $M_1, M'_1, M''_1, M_2$  в  $M_3$  расположены так.

что пути прохождения света в различных пучках не очень отличаются друг от друга. Их разность хода не должна превосходить длину когерентности используемого лазера.



и г. 2.10. Пример эксперимецтальной установки для регистрации годограммы расссивающего свет объекта.

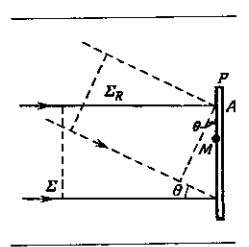
# § 4. ЗНАЧЕНИЕ РАЗРЕШАЮЩЕЙ СПОСОБНОСТИ ФОТОЭМУЛЬСИИ ДЛЯ РЕГИСТРАЦИИ ГОЛОГРАММ

Для того, чтобы изображения не перекрывались, как показано на фиг. 2.7, необходимо, чтобы пучок, коздающий когерентный фон, падал на фотопластинку вод достаточно большим углом. Рассмотрим простой эример, показанный на фиг. 2.1. В некоторой точке М фиг. 2.11) разность хода между волнами  $\Sigma$  и  $\Sigma_R$  в

плоскости фотопластинки Р равна

$$\delta = \theta \cdot \overline{AM}. \tag{2.1}$$

Пусть  $a_0$ — амплитуда когерентного фона и a — амплитуда волны  $\Sigma$ . Классическая формула Френеля



Ф н г. 2.11. Влияние угла падения в когерентной волны на требуемую разрешающую способность фотослоя, служащего для получения голограммы.

для интенсивности в точке M имеет вид

$$I = a_{\rm u}^2 + a^2 + 2a_0 a \cos \frac{2\pi \delta}{\lambda}.$$
 (2.2)

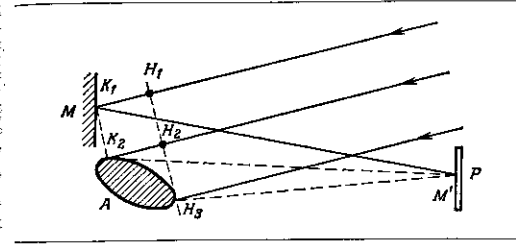
Светлые полосы соответствуют значениям разности хода  $\delta = K\lambda$ , где K — целое число. Расстояние между светлыми полосами на фотопластинке равно\*  $\lambda/\theta$ . Для  $\theta = 20^\circ$  имеем  $\lambda/\theta \approx 2$  мкм, т. е. 500 полос на миллиметр. Если нужно сфотографировать столь близко

расположенные полосы, пеобходимо, чтобы разрешающая способность эмульсии была велика. В настоящее время используют эмульсии, разрешающая способность которых достигает 2000 ... 3000 штрихов на миллиметр \*\*.

# § 5. ДЛИНА КОГЕРЕНТНОСТИ ИСПОЛЬЗУЕМОГО ИСТОЧНИКА

Опорная волна, падающая непосредственно на пластинку, должна быть когерентна со светом, рассеянным всеми точками объекта. Для большого объекта это условие будет выполнено, если источник имеет достаточную длипу когерентности\*\*\*. Рассмотрим уп-

рощенный пример (фиг. 2.12). Если точки  $H_1$ ,  $H_2$  и  $H_3$  лежат в плоскости, перпендикулярной падающему пучку, то оптические пути лучей от бесконечно удаленного источника до точек  $H_1$ ,  $H_2$  и  $H_3$  равны. Луч опорного пучка, проходящий через точку  $H_1$ ,

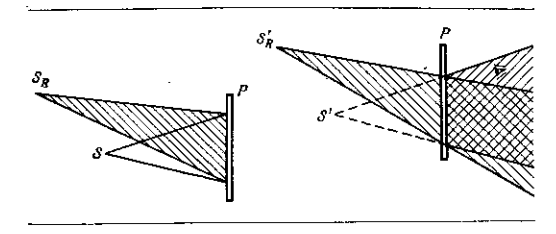


 $\Phi$  и г. 2.12. Влияние длины когерентности лазерного света на регистрацию голограммы объекта A.

должен пройти затем нуть  $H_1K_1 - K_1M'$ , а луч, попавший в точку  $H_3$ , — только путь  $H_3M'$ . Следовательно, если нужно, чтобы лучи  $K_1M'$  и  $H_3M'$  интерферировали, длина когерентности должна быть больше, чем разпость их путей  $H_1K_1 - K_1M' - H_3M'$ . Вообще, максимальное значение разности хода между опорной волной и волной, дифрагированной некоторой точкой объекта, должна быть меньше, чем длина когерентности используемого источника.

### § 6. КОГЕРЕНТНЫЙ ФОН, СОЗДАВАЕМЫЙ СФЕРИЧЕСКОЙ ВОЛНОЙ

 Выше мы рассматривали только когерентный фон, создаваемый пучком парачлельных лучей (плоская ролна). Это совсем не обязательно. Если опорный точечный источник  $S_B$  находится на конечном расстоянии от фотопластинки (фиг. 2.13), оп излучает сферическую волну, которая в плоскости пластипки P интерферирует с волной, рассеянной некоторой точкой S объекта. Мы снова получим голограмму Френеля

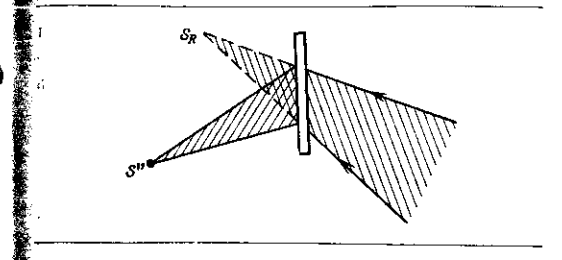


ф и г. 2.13. Регистрация со ф и г. 2.14. Наблюдение мнямосферической опорной волной. го изображения S'.

во всех случаях, кроме того, когла кривизна фронта опориой волны равна кривизне фронта волны, рассеянной точечным объектом S, т. е. когда  $S_R$  и S находятся на одинаковом расстоянии от P. В этом случае мы получим голограмму Фурье, свойства которой описаны в гл. 2, § 10. Если объект трехмерный, голограмма Фурье получится тогда, когда кривизна фронта опорной волны равна средней кривизне фронта волн, рассеянных всеми точками объекта.

Вернемся к фиг. 2.13, на которой рассматривается точечный объект S. Как мы уже говорили, если толщина эмульски существениа, то нельзя, используя одно и то же освещение, увидеть и действительное и мнимое изображения. На фиг. 2.14 показано, каким образом можно увидеть стигматичное и наиболее яркое мнимое изображение, а на фиг. 2.15 — действи-

ельное. Для паблюдения минмого изображения в битимальных условиях нужно, чтобы источпик  $S_R$ , которым мы пользуемся для восстановления мнимого взображения S', был расположен там же, где был то-



Ф и г. 2.15. Паблюдение действительного изображения S".

чечный источник, служивший опорным при регистрации голограммы. Для наблюдения действительного изображения (фиг. 2.15) голограмма должна быть освещена пучком, сходлицимся в точке  $S_R$ , в которой находился опорный источник при получении голограммы. В случаях показанных на фиг. 2.14 и 2.15, изображения образуются там же, где находился объект при получении голограммы.

# § 7. СООТВЕТСТВИЕ ТОЧЕК ОБЪЕКТА ТОЧКАМ ГОЛОГРАММЫ

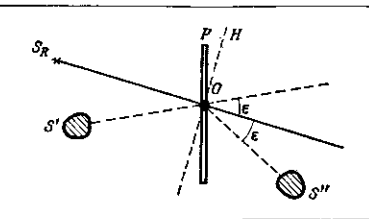
В обычной фотографии точка изображения на фотовластинке соответствует некоторой точке объекта. В голографии это не так, если голографирусмый объект диффузно рассеивает свет. Каждая точка объекта инускает рассеянную волну, которая падает на всю поверхность голограммы. В результате любая точка объекта соответствует всей поверхности голограммы \*. Следовательно, если разбить фотопластинку, на которой зарегистрирована голограмма, любой ее частн достаточно для того, чтобы восстановить изображение рассеивающего объекта в трех измерениях. Это несколько напоминает ситуацию, когда разбивается объектив. С помощью любого из его осколков можно получить изображение предмета. Впрочем, разбивать объективы, конечно, не рекомендуется.

## **§ 8. ГЕОМЕТРИЧЕСКАЯ ОПТИКА ВОССТАНОВЛЕНИЯ**

Задача состоит в следующем: дан пекоторый точечный объект, известны положения опорного источника при регистрации и при восстановлении. Требуется определить положение двух восстановленных изображений точечного объекта. В первом приближении задача решается с помощью формул сопряжения, аналогичных соответствующим формулам для линз (см. гл. 3, § 5). Возьмем за начало отсчета углов ось  $S_RO$ , т, е. направление опорного пучка при восстановлении (фиг. 2.16). Направления пучков, образующих изображения S' и S", симметричны относительно осн восстановления (фиг. 2.16). Если пучок, используемый для восстановления, повернуть на угод в, направления пучков, образующих оба изображения, повернутся на тот же угол. Если повернуть голограмму, изображения остаются на месте. Если опорная волна и волна восстановления плоские, изображения симметричны относительно оси ОН, церцендикулярной  $S_{r}O_{r}$ 

Важный вывод из формул сопряжения касается увеличения изображения, Пусть p — расстояние от некоторого объекта до фотопластинки. Если  $\lambda$  и  $\lambda'$ — длины волн пучков, используемых соответственно для регистрации и восстацовления голограммы, то размеры изображения отличаются от размеров объек-

ОСНОВЫ ГОЛОГРАФИИ И ЕЕ ПРИМЕНЕНИЯ



Ф и г. 2.16. Положение изображений,

та. Полученцое увеличение равно

$$G = \frac{\lambda'}{\lambda} \frac{p'}{p} , \qquad (2.3)$$

где р'- расстояние от изображения до годограм-Мы.

Можно, следовательно, получить существенное цвеличение, если длина водны свста, используемого при воспроизведения, много больше, чем длина волны света, используемого при регистрации,

### § 9. АБЕРРАЦИИ ГОЛОГРАММ 1)

Формулы сопряжения (см. гл. 3, § 5) являются приближенными, их можно сравнить с приближением Гаусса для обычных оптических систем. Преобразовав 🕽 и формулы, мы получим выражения для классиче-

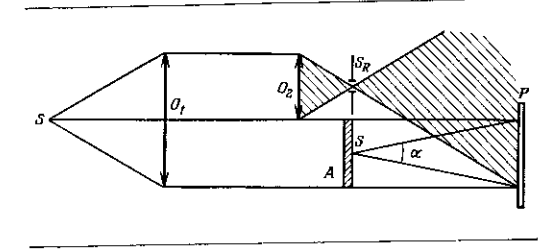
<sup>1)</sup> Cm. [39, 201, 212].

ских случаев аберрации; комы, астигматизма, дисторсии и, наконец, в том случае, когда при регистрации и восстановлении используются разные длины воли,— для хроматизма. Астигматизм отсутствует только тогда, когда фронт волны, служащей для восстановления, по форме совершенно идентичен фронту опорной волны, использованной при регистрации.

Если для регистрации использовался точечный источник, то условие стигматизма требует, чтобы точечный источник восстановления находился там же, где находился опорный источник.

#### § 10. ГОЛОГРАММЫ ФУРЬЕ 1)

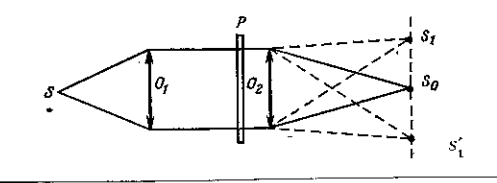
Пусть на схеме фиг. 2.17 опорный точечный источнык  $S_R$  находится в одной илоскости с объектом A.



Ф и г. 2.17. Регистрация голограммы Фурье.

В этом частном случае фронт волны, дифрагированной какой нибудь точкой S объекта, и фронт опорной волны от источичка  $S_R$  имеют в плоскости фотопластицки P

одинаковую кривизну. Между этими волцами существует только боковое расхождение. В результате интерференции колебаний, пришедцих от точек S и  $S_R$ , на пластинке P возникает система полос Юнга\*. Расстояние между двумя соседними светлыми (или темными) полосами равно  $\lambda$  D/d, гле D — расстояние от  $S_R$  и S до плоскости P, а d — расстояние между  $S_R$  и S. Каждой точке объекта соответствует на пластинке P синусоидальная решетка, период которой зависит от d. Как получить изображение с помощью такой голограммы, показано на фиг. 2.18. Голограмму P освещают параллельным пучком света, который, пройдя сквозь голограмму, попадает на объектив  $O_2$ . Предположим, что голограмма была получена от единственного точечного объекта S. После проявления мы получим па

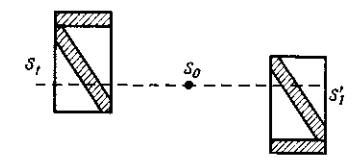


Фиг. 2.18. Наблюдение изображений, даваемых голстраммой Фурье.

негативе синусоидальную решетку (здесь, как и прежде, предполагается, что мы не выходим за пределы линейного участка амилитудной кривой фотсэмульсии). В фокальной плоскости объектива  $O_{\rm o}$  можно наблюдать прамое пзображение источника  $S_{\rm o}$  и два максимума  $S_{\rm i}$  и  $S'_{\rm i}$ . Эти два максимума и есть восстановленные изображения точечного объекта  $S_{\rm i}$ 

D CM. 1[07, 191, 289, 300].

В случае протяженного объекта механизм образования изображений остается прежним, и мы получим два восстановленных изображения объекта по бокам от изображения источника  $S_{\scriptscriptstyle 0}$ . Изображения  $S_{\scriptscriptstyle 1}$  и  $S'_{\scriptscriptstyle 1}$  симметричны относительно  $S_{\scriptscriptstyle 0}$ . Это показано на фиг. 2.19. Для этого типа голограмм, называемых голограммами Фурье, разрешающая способность фотоэмульсии не имеет такого значения, как для случая голограмм Френеля, когда опорная волна илоская

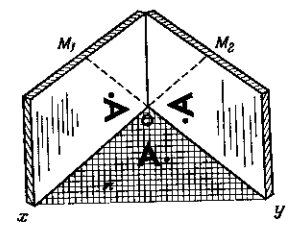


Фиг. 2.19. Расположение изображений, восстановленных годограммой Фурье,

или поверхность ее фронта имеет кривизну, отличающуюся в плоскости голограммы от средней кривизны волн, пришедших от разных точек объекта. Действительно, сипусоидальные полосы, соответствующие точек S объекта, тем более сжаты, чем больше расстояние  $d-SS_B$ . Если период этой сипусоидальной решетки меньше предела разрешения эмульсии, то точку S мы не увидим. Разрешающая способность эмульсии ограничивает поле зрения, но не влияет на различимость мелких деталей. Последняя зависит только от угла  $\alpha$  (см. фиг. 2.17). Следовательно, голограммы Фурье могут давать изображения плоских объектов с очень большим разрешением \*.

## § 11. ГОЛОГРАФИРОВАНИЕ ОБЪЕКТА, РАЗЛИЧНЫЕ ТОЧКИ КОТОРОГО НЕКОГЕРЕНТНЫ ¹)

Принцип голографии при пространственно некогерентном освещении таков: от каждой точки объекта получают два когерентных изображения, дающих на голограмме систему синусондальных полос. Каждая такая решетка заключает в себе информацию о поло-



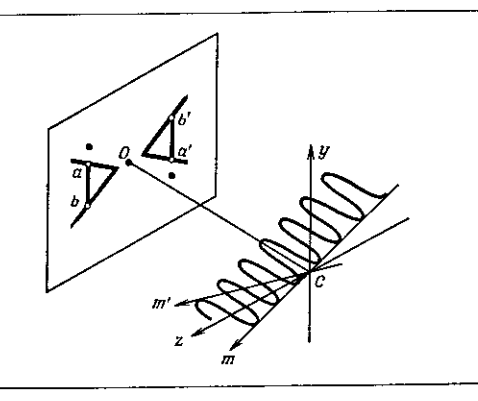
 Фиг. 2.20. Схема установки для регистрации голограммы при пространственно некогерептном освещения.

жении в пространстве соответствующей точки объекта. Если при восстановлении осветить голограмму когерентным светом, то каждая система полое, соответствующая некоторой точке объекта, даст два точечных изображения. Мы будем наблюдать, таким образом, изображение точечного источника и два изображения объекта, симмстричных относительно изображения источника.

Пусть мы хотим получить голограмму какого-вибудь плоского объекта, например буквы A, при про-

<sup>&</sup>lt;sup>1</sup>) C<sub>M</sub>, [107, 183, 193, 215, 288].

странственно некогерентном освещении (фиг. 2.20). Поместим эту букву в горизовтальную плоскость  $\pi$ , а два плоских зеркала  $M_1$  и  $M_2$  расположим перпендикулярно плоскости  $\pi$  и перпендикулярно друг другу вблизи буквы A. Если буква A занимает такое положение, что биссектриса угла xOy является для нее осью симметрии, то мы будем наблюдать в зеркалах



Ф и г. 2.21. Каждой точке объекта соответствуют два ее когерентных изображения, которые могут образовать на фотопластинке систему полос, характерных для положения данной точки объекта.

 $M_1$  и  $M_2$  два отраженных изображения, симметричных относительно точки O. Если около A поставить черную точку, то станет ясно, что изображения перевернуты относительно друг друга. Каждой точке буквы-объекта A соответствуют две точки букв-изображений, расположенные симметрично относительно точки O. Интерференция воли, испускаемых этими

двумя изображениями одной точки объекта  $A_{\bullet}$  приведет к появлению на некотором экране B (в плоскости голограммы) системы полос Юнга. Причем система полос Юнга от любой другой точки объекта будет отличаться от нее либо расстоянием между полосами. либо направлением полос. Это показано на фиг. 2.21. Точки a и b одного изображения соответствуют точкам а' и b' другого изображения. В некоторой идоскости суг (плоскость голограммы) две когерентные точки в и в образуют систему полос Юнга, расположенных вдоль лиции ст, параллельцой bb'. Две точки а и а' находятся на таком же расстоянии друг от друга, но паправление aa' отличается от направления bb'. Две когерентные точки а и а' дают систему полос Юнга, расположенных вдоль цаправления ст, парадлель-HOLO aa'.

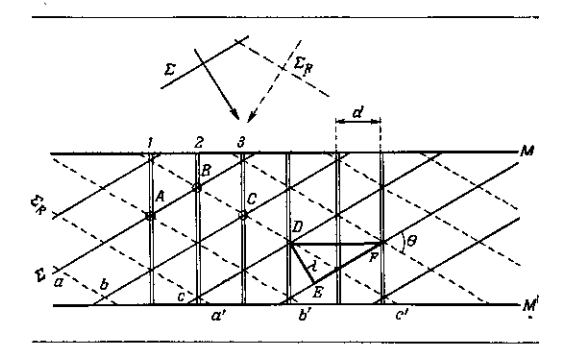
#### § 12. ВЛИЯНИЕ ТОЛЩИНЫ ФОТОЭМУЛЬСИИ 1)

Во всех вышеизложенных случаях мы пренебрегали толщиной фотоэмульсии. В действительности этого делать нельзя, и мы рассмотрим теперь влияние толшины фотоэмульсии на регистрацию и наблюдение голограмм. На фиг. 2.22 представлен разрез эмульсии илоскостью (плоскость фиг. 2.22), перпендикулярной ее поверхности. Слой эмульсии ограничен двумя параллелыными плоскими поверхностями Милоскость илоскость и илоскость илоскость илоскость илоскость илоскость и илоскость илос

 $\Sigma$  Рассмотрим плоскую волну  $\Sigma$  (пазовем ее «волнаобъект»), проходящую сквозь эмульсию. Пусть в нежоторый данный момент времени максимумы этой волны расположены на сплоцных линиях a, b, cи r. д. Плоская опорная волна  $\Sigma_R$  тоже проходит

<sup>&#</sup>x27;) См. [60—62, 83, 107, 298, 325, 326].

сквозь эмульсию, и пунктирные линии a', b', c' и т. д. указывают положение ее максимумов в тот же момент времени. Предположим, что волны  $\Sigma$  и  $\Sigma_R$  падают симметрично относительно нормали к плоскостям M и M'. В таких точках, как A, B, C и т. д., эти волны синфазны и их амплитуды складывают-



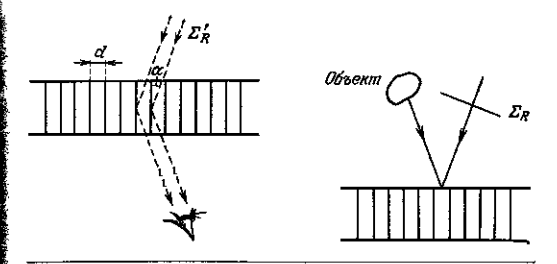
Ф и г. 2.22. Стоячие волны в толще фотрэмульсич.

ся. По мере распространения воли точки A, B, C и т. д. перемещаются вдоль направлений, перпендикулярных M и M'. Эти направления показаны двойными линиями 1, 2, 3 и т. д. Если рассматривать картину в трех измерениях, эти линии представляют собой следы плоскостей, перпендикулярных плоскости чертежа. После проявления эти плоскости ведут себя, как полупрозрачные отражающие зеркала. Расстоние между двумя соседними максимумами для длины волиы  $\lambda$  равно  $\lambda$  2, так что если угол, который образуют фронты обеих воли, равен  $\theta$ , то расстояние d

между двумя полупрозрачными зеркалами находится из треугольника *DEF* по формуле

$$d = \frac{\lambda}{2\sin\left(\theta/2\right)}.\tag{2.4}$$

Попытаемся теперь восстановить плоскую волнуобъект  $\Sigma$ , освещая голограмму, как обычно, плоской волной  $\Sigma'_R$ . Пусть направление распространения волны  $\Sigma'_R$  не такое, как во время регистрации. Лучи,



 $\Phi$  и г.\* 2.23. Падающая волна  $\Sigma_R^*$  отражается только в топ случае, если для нее удовлетворяется условие Брэгга.

Фиг. 2.24. Регистрация голограммы объекта и образование стоячих воли.

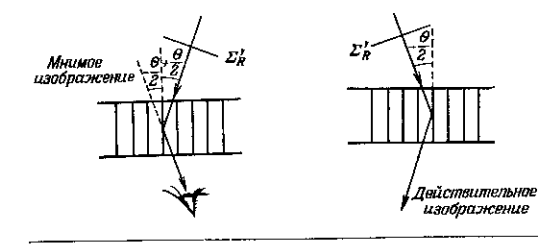
соответствующие волне  $\Sigma'_R$  (фиг. 2.23), составляют угол  $\alpha$  с полупрозрачными отражающими зеркалами (премомлением пренебрегаем)\*. Для того, чтобы глаз мог видеть восстановленное изображение плоской волны-предмета  $\Sigma$ , нужно, чтобы после отражения от полупрозрачных зеркал все лучи были в фазе. Угол  $\alpha$  должен удовлетворять условию

$$\sin\alpha = \pm \frac{\lambda}{2d} , \qquad (2.5)$$

которое представляет собой не что иное, как условие Брэгга, хорошо известное в кристаллографии. Из сопоставления уравнений (2.4) и (2.5) видно, что максимальную интенсивность получим, когда

$$\alpha = \pm \frac{\theta}{2}$$
 иля  $\alpha = \pm \left(\pi - \frac{\theta}{2}\right)$ . (2.6)

Значение  $\alpha=\pm \theta/2$  соответствует тому, что волна  $\Sigma'_R$ , освещающая голограмму, идентична первоначальной опорной волне  $\Sigma_R$ . Волна-объект  $\Sigma$  восстановлена в



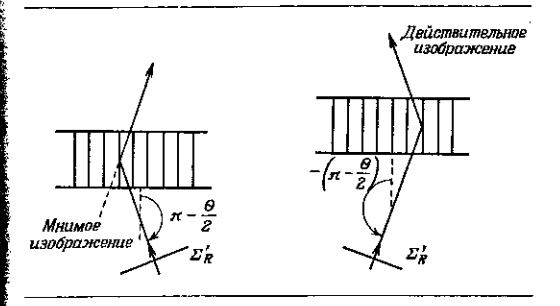
Ф и г. 2.25. Наблюдение мнимого изображения.

Ф и г. 2.26. Действительное изображение не наблюдается.

прежнем виде. Если  $\alpha$ -= $-\theta$  2, то по отношению к голограмме волна  $\Sigma'_R$  имеет то же направление, что и волна-объект  $\Sigma$ . Плоская волна-объект будет восстановлена в направлении  $+\theta/2$ . Аналогично, при  $\alpha$ -= $-(\pi-\theta/2)$  волна  $\Sigma'_R$  имеет направление, противоположное первоначальной опорной волне, а при  $\alpha$ -= $\pi-\theta/2$  она направлена противоположно волнеобъекту. Все, что здесь было сказано относительно плоской волны, можно обобщить на случай любого объекта (фиг. 2.24). Действительно, произвольную

волну-объект мы можем разложить на плоские волны, затем для каждой плоской волны провести вышеуказанные рассуждения. Итак, делаем важный вывод: если фотоэмульсия имеет конечную толщипу, то голограмма восстанавливает изображение объекта только при освещении ее под определенными углами.

Результаты предыдущего обсуждения иллюстрируются фиг. 2.24 — 2.28.



Ф и г. 2.27, Мнимое изображение не изблюдается.

Ф и г. 2,28. Наблюдение действительного изображения.

- 1) Волна  $\Sigma'_R$ , которая освещает голограмму, идентична первоначальной опорной волне  $\Sigma_R$  (фиг. 2.25). Голограмма восстанавливает мнимое изображение, идентичное объекту, как было рассмотрено ранее (гл. 2, § 6).
- 2) Волна  $\Sigma'_R$  распространяется в том же направлении, что и волна-объект (фиг. 2.26). Мы получим действительное изображение, но так как волна  $\Sigma'_R$  удовлетворяет условию Брэгга не для всех волн, принедших от объекта, то восстанавливается только его часть.

3) Волна  $\Sigma'_R$  распрострацяется в направлении, противоположном направлению распространения волны-объекта (фиг. 2.27). Мы получим мнимое изображение, которое трудно использовать по причинам, указанным выше (случай 2).

4) Волна  $\Sigma'_R$  распространяется противоположно направлению первопачальной опорной волны (фиг. 2.28). Получим действительное изображение.

Во всех этих случаях предполагается, что толщина эмульсии гораздо больше расстояния d, разделяющего полупрозрачные зеркала. Если толщина эмульсии мала по сравнению с d, то эффектом Брэгга можно пренебречь и голограмма всдет себя как двумерная среда, какой мы и считали ее с самого начала.

#### § 13. ЦВЕТНАЯ ГОЛОГРАФИЯ 1)

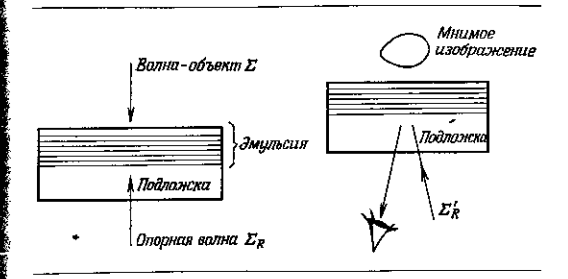
Техника цветной голографии основана:

1) на свойствах фотоэмульсии как трехмерной среды (см. гл. 2, § 12);

2) на методе цветной фотографии Липпмана (см. г.л. 1 ,  $\S$  14).

Мы только что рассмотрели случай, когда в эмульсии имеются полупрозрачные отражающие плоскости, возникшие вследствие интерференции волны-объекта и опорной волны. Вернемся к схеме фиг. 2.25. Голограмма освещается волной  $\Sigma'_R$ , идентичной первоначальной опориой волне, которую мы использовали для регистрации голограммы; в частности, это означает, что длина волны освещения при восстановлении такая же, как и при регистрации. Получаем восстановление волны-объекта  $\Sigma$  с максимальной интеисивностью. Изменим длину волны  $\Sigma'_R$  и осветим го-

лограмму светом с длиной волны  $\lambda'$  вместо длины волны  $\lambda$ , употреблявшейся при регистрации. Так как расстояние d между полупрозрачными плоскостями не изменилось, отраженные волны не могут быть в фазе одновременно для длин волн  $\lambda$  и  $\lambda'$ . Свет с длиной волны  $\lambda'$  практически не отражается. Осветим теперь пластинку белым светом. Только лучи, имеющие длину волны  $\lambda$ , т. е. длину волны света, использованного при регистрации голограммы, будут участвовать в восстановлении голограммы. Голограмма действует подобно интерференционному фильтру.



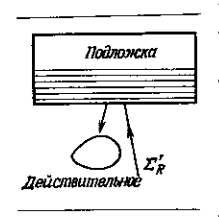
 Ф и г. 2.29. Регистрация голограммы, когда эмульсия освещена с одной стороны светом, дифрагированным объектом, а с другой стороны опорной волной.

Ф f г. 2,30. Паблюдение мнимого изображения.

Наиболее выгодной в этом свете является схема фиг. 2.29, а не фиг. 2.24. Если волна-объект  $\Sigma$  и опорная волна  $\Sigma_R$  направлены в противоположные стороны, то стоячие волны образуют полупрозрачные отражающие плоскости, параллельные поверхностям, ограничивающим слои эмульсии. Это обычная схема Лип-

<sup>1)</sup> Cm. [44, 60, 84, 298].

пмана для получения цветной фотографин\*. Расстояние d, разделяющее две соседние полупрозрачные плоскости, равно  $\lambda/2$ . При восстановлении мы получим мнимое изображение, если осветим пластинку



ф и г. 2.31. Наблюдедейстнительного нзображения.

волной  $\Sigma'_R$ , идентичной  $\Sigma_R$ , и будем рассматривать ее в отраженном свете (фиг. 2.30). Чтобы получить действительное изображение, голограмму освещают волной  $\Sigma_R$ , направленной противоположно волне  $\Sigma_R$  (фиг. 2.31). Во всех случаях, если для освещения голограммы используется белый свет, изображение будет иметь цвет, соответствующий длине волны, ис-

пользованной при регистрации. Свет всех других длин воли не отражается голограммой. Осветим теперь объект светом трех разных длин волн. Как показал Липпман, стоячие волны, соответствующие различным длинам воли, могут быть одновременно зарегистрированы в одной и той же эмульсии, а затем восстановлены в отраженном свете. Следовательно, если зарегистрировать голограмму в свете трех подходящих длин волн, то при восстановлении, осветив голограмму белым светом, мы получим рельефное цветное изображенне.

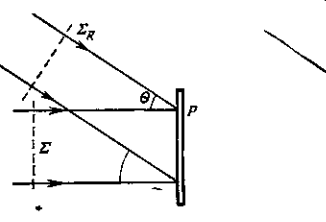
#### § 14. ФАЗОВЫЕ ГОЛОГРАММЫ

Структура рассмотренных нами голограмм характеризуется изменениями почернения. Можно превратить их в фазовые голограммы, погружая в подходящий раствор (отбеленные голограммы). Толщина эмульсии будет тем меньше, чем сильнее было почернение. Голограмма становится совершенно прозрачной, и ее структура характеризуется только изменениями толщины эмульсии\*. Очевидно, что фазовые голограммы пропускают больше света и дают лучшие изображения.

ОСНОВЫ ТОЛОГЬУФИИ И ЕЕ ПЬИМЕНЕНИЯ

#### § 15. ПРИМЕНЕНИЕ ГОЛОГРАФИИ В ИНТЕРФЕРОМЕТРИИ 1)

Во всех классических интерферометрах интерферируют две волны от одного и того же источника, испускаемые одновременно. Обычные, не лазерные источ-



Ф и г. 2.33. Вторая экспозиция

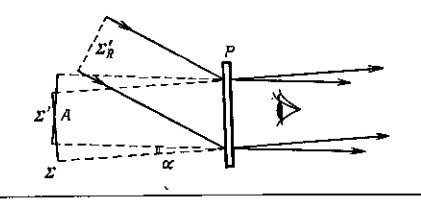
ф и г. 2.32. Первая экспозиция.

 $(\theta' \neq \theta)$ .

ники дают очень короткие цуги воли. Поэтому наблюдать интерференцию волн, излученцых разными источниками, невозможно. Голография позволяет обойти это затрудпение весьма элегантным способом, не затрагивая при этом основные принципы интерферометрии. Все сводится снова к возможности зарегистрировать на голограмме и фазу, и амплитулу световой волны.

<sup>1)</sup> См. (29, 116, 118, 127, 283, 293, 336), а также га. 3, § 6-8.

Рассмотрим плоскую волну  $\Sigma$  (фиг. 2.32). Это волнаобъект. Для того чтобы зарегистрировать голограмму на пластинке P, осветим пластинку волной  $\Sigma$  и плоской когерентной волной  $\Sigma_R$ . Прежде чем проявлять, сделаем еще одип спимок на той же пластинке, немного отклопив волну-объект от первопачального направления. Эта новая волна обозначена на фиг. 2.33 символом  $\Sigma'$ . Теперь проявим пластинку, считая, что мы работали, как обычно, в пределах линейного участка характеристической кривой. Если осветить полученную голограмму волной  $\Sigma'_R$ , идентичной  $\Sigma_R$  (фиг. 2.34), то мы восстановим волны  $\Sigma$  и  $\Sigma'$  по фазе и амплитуде. Так как голограмма освещается единственным точечным источником, восстановленные волны  $\Sigma$  и  $\Sigma'$  когерентны и могут интерферировать. На

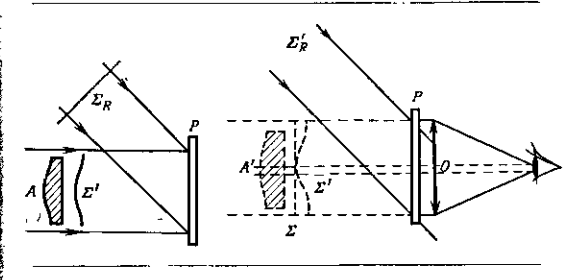


 $\Phi$  и г. 2.34. При восстановления можно наблюдать интерференцию полн  $\Sigma$  и  $\Sigma'$ , зарегистрированных в развые моменты времени.

пскотором участке  $\Lambda$ , где волны перекрываются, мы увидим прямые, параддельные друг другу интерференционные полосы, разделенные равными интервалами. Благодаря свойствам голограмм мы заставили интерферировать волны, зарегистрированные на пластинке в разные моменты времени\*. Разумеется, мы не можем

обойтись при регистрации голограммы без когерентной волны  $\Sigma_B$ .

Вернемся к схеме фиг. 2.33. Сделаем один снимок с плоской волной  $\Sigma$ . Затем в падающий пучок поместим прозрачный объект A (фиг. 2.35). Фронт падающей волны деформируется вследствие изменсния фазы при



Фиг. 2.35. Первый снимок делается с фазовым объектом A, вторюй—без объекта A.

Ф и г. 2.36. При восстановлении видны линии равной разности хода (n-1) e= const, где e- толщина объекта A, а n- показатель предомления.

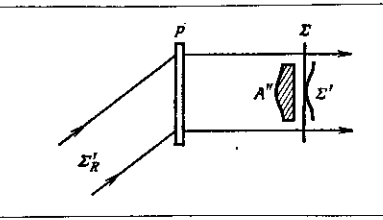
прохождении сквозь прозрачный объект. Теперь это волна  $\Sigma'$ .

Сделаем второй снимок. Проявим голограмму и осветим ее так же, как и при регистрации. Мы будем наблюдать интерференцию плоской волны  $\Sigma$ , зарегистрированной во времи первой экспозиции, с деформированной волной  $\Sigma'$  и получим полосы равной разности хода лучей в объекте A. Если толщина объекта в искоторой точке равна e, а показатель преломления n, то для каждой из интерференционных полос разность хода равна (n-1) e=const. Если показатель преломления объекта A всюду одинаков, полосы представ-

ляют собой линии равной толщины объекта А. Все происходит так, как если бы мы поместили объект Aв классический интерферометр, например в интерферометр Маха — Цендера.

DJIABA 2

Для того чтобы наблюдать интерференционные полосы на минмом изображении, осветим голограмму, как показано на фиг. 2.36. Зрачок глаза находится



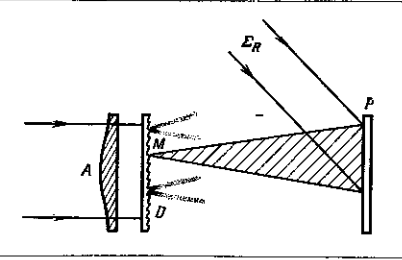
Ф и г. 2.37. Наблюдение интерференционной картивы на действительном изображении.

в фокусе объектива О, соприкасающегося с голограммой. Объектив О служит для того, чтобы направить в глаз свет от всего объекта А. Без него глаз диафрагмирует годограмму, что влечет за собой уменьшение поля зрения (пунктир на фиг. 2.36).

получить действительное изображение Можно объекта с интерференционными полосами, если осветить голограмму параллельным пучком света, симметричным пучку, использованному при реглетрации (фиг. 2.37)\*. Поместив экрап в плоскость изображения A'' (если объект достаточно тонкий), мы увидим полосы, соответствующие линиям равной разности фаз. вносимой объектом.

#### § 16. ИНТЕРФЕРОМЕТРИЯ С РАССЕИВАЮЩИМ ЭКРАНОМ 1)

Пусть диффузор D освещен когерентным светом, а прозрачный объект A придвинут вриотную к D(фиг. 2.38). Как и прежде, мы экспонируем фотопластинку в присутствии когерентной опорной волны  $\Sigma_{R}$ , а затем, ничего не изменяя в схеме, убираем объект



Ф и г. 2.38. Интерференция света, прошедшего сквозь рассенвающий экран D.

А. После этого делаем второй снимок и проявляем пластинку. На полученной таким образом голограмме мы увидим интерференционные полосы, соответствующие линиям (n-1) e—const объекта A. Чтобы показать это, рассмотрим какую-нибудь точку М рассеивающего экрана, расположениую напротив участка объекта А, имеющего толщину е и показатель предомления n. Фаза волны в точке M имеет некоторое определенное значение, которое нам знать не обязательно, Уберем объект А. Оптический путь луча, попадающего

<sup>1)</sup> Cm. [24, 58, 191].



в ту же точку M, изменится при этом на (n-1)e, так как вместо оптического пути ne, который он проходил в объекте A, он теперь проходит путь e в воздухе. Если в объекте A изменяется от точки к точке только толицина e, интерференционные полосы будут соответствовать линиям равной толицины объекта A. Можно заметить, что этот способ получения интерфе

ренционной картины сушественно отличается от способа без рассеивающего экрана (гл. 2, § 15); в схеме фиг. 2.38 свет, рассеянный каждой точкой М диффузора D, попадает на всю поверхность голограммы P. Следовательно, изменение онтического пути на (n-1)eрегистрируется на всей голограмме. Как и в случае диффузно рассеивающего объента (гл. 2, § 3), любой части голограммы достаточно, чтобы восстановить всю картину. Изображение и интерференционные полосы можно наблюдать непосредственно глазом, без оптических приборов.

Объект, воздействующий на фазу, можно также кпоместить между диффувором *D* и голограммой *P*. Делают два снимка: с объектом и без объекта. Для на-



Фиг. 2.40. Конвекционные потоки около нагретой спиради лампы накаливания (по Р. Бруксу и др.).

блюдения около голограммы помещают объектив, а в фокальной плоскости объектива располагают днафрагму с маленьким отверстием в фокусе. Тогда в глаз попадут только лучи от параллельного пучка, падающего от диффузора на голограмму. Перемещая отверстие, можно наблюдать поле интерференции параллельных пучков, проходящих сквозь объект A под разпыми углами.

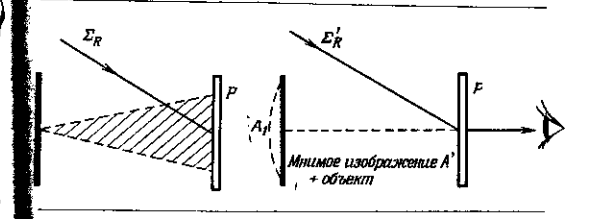
Фиг. 2.39 и 2.40 воспроизводят наглядные результаты применения интерференционной голографии, полученные Р. Бруксом и др. На фиг. 2.39 можно видеть изменение давления воздуха вокруг летящего снаряда (аналогичную картину получают с помощью классического интерферометра). Во время первого экспонирования регистрируют свет, рассеянный диффузором и когерентный фон. Второй снимок делают, пичего не изменив в схеме, в тот момент, когда снаряд пролетает перед диффузором \*.

Фиг. 2.40 демонстрирует конвекционные потоки над спиралью лампы накаливания. Во время первого экспонирования незажженную лампу помещают на фоне диффузора (наличие опорного пучка подразумевается). Во время второго экспонирования схема та же, но лампа уже включена. Так как баллон дампы регистрируется дважды, его оптическая неоднородность никак не влияет на расположение интерференционных полос. В классическом интерферометре это, разумеется, не так.

#### § 17. ИНТЕРФЕРОМЕТРИЯ ОБЪЕКТОВ, ДИФФУЗНО РАССЕИВАЮЩИХ СВЕТ 1)

Голография позволяет производить интерферометрию диффузно рассеивающих объектов. Это, может быть, одна из самых замечательных возможностей ее лрименения, тем более что другие методы такой возможности не дают. Рассмотрим какой-нибудь объект A, например пластинку из рассеивающего материала. Для простоты предположим, что объект A , освещенный источником света, имеет однородную поверхность. Зарегистрируем голограмму объекта А (фиг. 2.41).

кинанамичи за и иифечлогол ывоноо



Ф и г. 2.41. Регистрация голограммы диффузно рассеинающего объекта А.

Ф и г. 2.42. Ивтерференция, паблюдаемая при совмещении самого объекта А с его минмым изображением А', восстановленным голограммой P.

После проявления поместим голограмму на то же место, которое занимала фотопластинка во время регис**т**рании. Объект A тоже занимает прежнее положение. Осветим голограмму пучком  $\Sigma'_{R}$ , идентичным  $\Sigma_{R}$ фиг. 2.42). Световые волны, образующие видимое улазом миимое изображение A', интерферируют со **све**том, рассеянным самим объектом A, если он освещен тем же самым источником, что и прежде (источник, **эс**вещающий A, не показан на фиг. 2.42). Есди объект A**же** был деформирован после регистрации голограммы, **эо** A и A' совпадают и питерференционные полосы не возинкичт. Интерференция воли, образующих изображение A' и рассеянных предметом A, никак не

<sup>1)</sup> C<sub>M</sub>. [334, 5\*, 208\* — 210\*, 216\*].

проявляется, и изображение столь же равномерно освещено, как и объект\*A. Слегка деформируем объект A, например изогнем его так, чтобы он занял положение  $A_1$ . Вследствие интерференции волн, образующих изображение A', и волн, рассеянных объектом  $A_1$ , пемедленно появятся интерференционные полосы, характеризующие деформацию.

Деформацию можно также наблюдать, снимая объект два раза подряд на одну и ту же голограмму. Во время первого экспонирования объект А не деформирован, во время второго — деформирован. При наблюдении голограмма восстанавливает два изображения: одно в положении A (фиг. 2.42), другое в положении  $A_1$ . Волны, восстанавливающие эти изображения, интерферируют, и появляются интерференционные полосы, характеризующие деформацию.

#### § 18. ИНТЕРФЕРОМЕТРИЯ вибрирующих объектов 1)

Рассмотрим снова объект А, подвергающийся деформации. Сделав два последовательных снимка на одну голограмму, мы получили возможность восстановить объект в двух положениях, А и А., и изучить леформацию объекта с помощью интерференции. Допустим теперь, что объект A колеблется и что A, положение объекта А в некоторый фиксированный момент времени. Ничто не мещает нам сделать ряд последовательных моментальных снимков предмета на одну и ту же голограмму. При наблюдении восстановится столько изображений объекта, сколько было сделано моментальных снимков, и все эти изображения будут интерферировать друг с другом. Далее сделаем только один снимок колеблющегося объекта А с продолжительной выдержкой. После проявления будем рассматривать голограмму, как обычно. Можно показать, что интенсивность в каждой точке изобра-

ОСНОВЫ ГОЛОГРАФИИ И ЕЕ ПРИМЕНЕНИЯ



Ф и г. 2.43. Интерференционные полосы, полученцые при исследовании вибрирующей мембраны (по Р. Пауэллу и К. Стет-

жения зависит от амплитуды вибраций. Если вибрации синусоидальны, а рассеивающий объект А, как и раньше, однороден, то интенсивность пропорциональна

$$J_0^2 (2Kp_0),$$
 (2.7)

где  $p_0$ — амплитуда колебаний в рассматриваемой точке,  $J_0$  — функция Бесселя пулевого порядка, а  $K=2\pi\lambda$ . Интенсивность в каждой точке не зависит от частоты колебаний. Пауэлл и Стетсон исследовали

<sup>&</sup>lt;sup>3</sup>) Cm. [246, 247].

No 2560

таким способом различные моды колебаний мембраны, являющейся торцом цилиндра. Они паблюдали линии



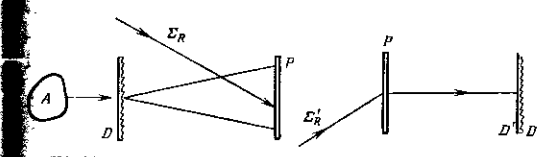
Ф и г. 2.44. То же для другой вибрационный моды (по Р. Пауэллу и К. Стетсону).

постоянной амплитуды, соответствующие нулям функции Бесселя  $J_0$ . На фиг. 2.43 и 2.44 показаны двс моды колебаний\*.

### § 19. ГОЛОГРАММА, ЗАРЕГИСТРИРОВАННАЯ СКВОЗЬ ФАЗОВУЮ НЕОДНОРОДНОСТЬ ()

Зарегистрируем голограмму некоторого объекта A (фиг. 2.45), поместив между объектом и голограммой матовое стекло D. Опорная волна  $\Sigma_B$  показана стрелкой. После проявления осветим голограмму P так,

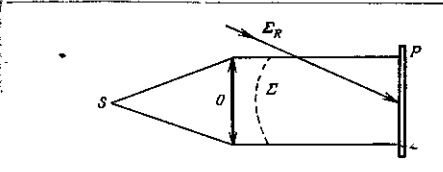
тобы получить действительное изображение D' дифузора\* (фиг. 2.46). Пусть  $\Phi(x,\ y,\ z)$  — фаза волны в



 $oldsymbol{\Phi}$  и г. 2.45. Регистрация голограммы объекта A сквозь фазовую псиднородность D.

Ф и г. 2.46. Совмещение фазового объекта D с его действительным изображением D'

некоторой точке x,y,z диффузора. Комплексную амплитуду представим в виде функции  $e^{i\Phi}$ . В той же точке x,y,z изображения D' диффузора D комплексная ам-



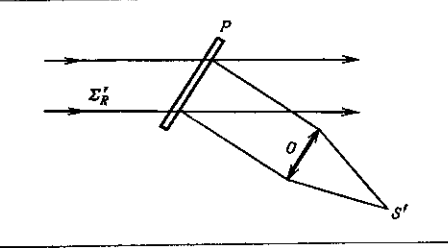
Фиг. 2.47. Регистрация голограммы с помощью объектива, обладающего аберрацией.

плитуда будет  $\exp[-j(\Phi+\phi)]$ , где  $\phi$ — изменение фазы за счет воздействия объекта A. Если совместить диффузор D с его действительным изображением D', то изменения фазы на диффузоре компенсируют ее изменения на изображении. Останется только изме

<sup>1)</sup> Cm. [149, 175, 176].

нение фазы за счет взаимодействия волны с объектом А, и мы увидим изображение объекта как сквозь плоскопараллельную пластинку.

Тот же принцип можно использовать для коррекции аберраций объектива (фиг. 2.47). Точечный источник S помещен в фокусе объектива O, который



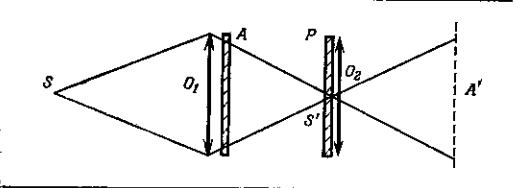
 $\Phi$  и г. 2.48. Коррекция аберрации при освещении объсктива сквозь его голограмму P.

должен давать параллельный пучок света. Если объектив O имеет аберрацию, фронт волны  $\Sigma$  не будет плоским, а его деформация будет характеризовать аберрацию объектива. Амплитуду в некоторой точке волны  $\Sigma$  можно представить в виде  $e'^\Phi$ , где  $\Phi$  — изменение фазы вследствие аберрации. Зарсгистрируем голограмму и осветим тот же самый объектив светом, прошедшим сквозь голограмму, как показано на фиг.  $2.48^*$ . Пучок света от голограммы P, образующий действительное изображение волны  $\Sigma$ , попадает на объектив O. Амплитуду колебаний в некоторой точке действительного изображения можно представить в виде  $e^{-f\Phi}$ . Таким образом, изменение фазы волны за счет аберрации объектива, оказывается скомпенси-

рованным. Получаем изображение точечного источника  $\mathcal{S}'$ , не искаженное аберрацией.

### $\S$ 20. ГОЛОГРАММЫ ФУРЬЕ И ОПТИЧЕСКАЯ ФИЛЬТРАЦИЯ $^1)$

Голограммы Фурье находят цирокое применение в области обработки информации и распознавания образов с помощью оптической фильтрации. Пусть,

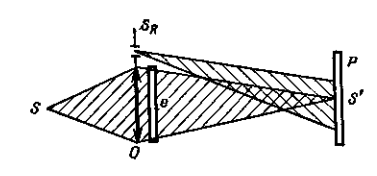


Ф и г. 2.49. Принцип оптической фильтрации.

например, у нас есть текст, состоящий из множества белых букв на черном фоне, и мы хотим узнать число каких-пибудь букв, например e, и их расположение в тексте. На фиг. 2.49 приведена принципиальная схема эксперимента. Исследуемый текст A освещается точеным источником S (сфокусированный в точку свет от лазера). Объектив  $O_1$ , нахолящийся в непосредственном контакте с текстом A, образует изображение B источника B, представляющее собой характерную картину дифракции света на тексте A. Второй объектив  $O_2$ , расположенный вблизи от B, дает изображение B текста B. Если поместить в точку B подходящий ильтр B, то каждой букве B в тексте A будет соответ-

<sup>&</sup>lt;sup>1</sup>) Cm. [3, 4, 191, 192, 300, 322, 330, 332, 15\*].

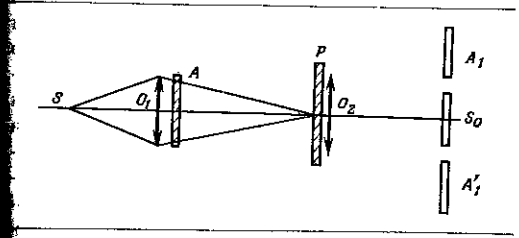
ствовать на изображении A' светящаяся точка на черном фоне. Эти точки будут расположены так же, как буквы e в тексте. Остается выяснить, что из себя представляет и как действует фильтр P. Для того чтобы распознать сигнал, необходимо, разумеется, зарегистрировать максимальное количество касающейся его информации, т. е. амплитуду и фазу световой волны.



Ф н г. 2.50. Регистрация голограммы Фурье сигнала (прозрачной буквы e на черном фоле).

Фильтр P, следовательно, должен быть голограммой. Кроме того, как видно из принципиальной схемы фиг. 2.49, голограмма P должна быть голограммой Фурье. Если мы хотим выделить букву e, нужно получить голограмму Фурье этой буквы в когерентном свете (фиг. 2.50). Фотографию буквы e (диапозитивное изображение белой буквы на черном фоне) помещают вплотную к объективу O, освещенному точечным источником S. Фотопластинку P, которая станет потом голограммой, поместим так, чтобы изображение S' источника S попало на пластинку;  $S_R$ — опорный точечный источник. Разумеется, свет источников S п  $S_R$  получен от одного и того же лазера, который для простоты не показан. В точке S' мы имеем характерную дифракционную картину буквы e, и благодаря ко-

герентному фону, создаваемому источником  $S_R$ , можем зафиксировать на голограмме распределение миллитуд и фаз в плоскости этой картины. Полученная таким образом голограмма и есть фильтр P в схеме фиг. 2.49. Как мы уже говорили (гл. 2, § 10), голограммы Фурьс дают центральное изображение  $S_{\bullet}$  источ-



и г. 2.51. Фильтр (голограмма Фурье буквы  $\epsilon$ ) помещен перед лицзой  $O_2$ 

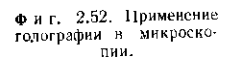
а изображении  $(A_1$  вли  $A_1')$  каждая буква е тексти A представлени сметещейся точкой.

иха и два симмегричных изображения объекта и A', (фиг. 2.51)\*. Центральное изображение  $S_0$  оспроизводит текст. Если голограмма была получена о схеме фиг. 2.50, то можно показать, что для наших длей нужно использовать изображение  $A_i'$  (нижнее фиг. 2.51). На изображении A', имеется светящаяся очка, положение которой соответствует искомому и положение которых определяется расположением букв e, им соответствуют отдельные точки, расположение которых определяется расположением букв e тексте. Очевидно, что если между буквой, которую и хотим распознать, и какой-нибудь другой буквой ть сходство, появятся паразитные сигналы. Такой ск существует, например, для букв I и L.

### § 21. ПРИМЕНЕНИЕ ГОЛОГРАФИИ В МИКРОСКОПИИ 1)

Известно, что чем больше увеличение микроскопа, тем меньше глубина резкости. Здесь применение голографии открывает большие перспективы благодаря возможности получать трех-

мерное изображение. Зарегистрировав голограмму, можно исследовать объект во всем объеме, перемещая только оптическую систему наблюдения. На фиг. 2.52 приведен пример схемы микроскопа, в котором используется принцип голографии. Свет, создающий когерептный фон, попадает непосредственно на фотопластинку Р, отражаясь от полупрозрачных отражающих иластинок  $G_{\mathbf{1}}$  и  $G_{\mathbf{2}}$  и зеркала M<sub>2</sub>. Свет, проходящий сквозь препарат А и микроскоп, интерферирует в плоскости Р с когерентным фоном.



Лазер

Кроме того, как видно из формулы (2.3), если при использовать регистрации свет с длиной волны λ, а

при восстановлении — с длиной волны  $\lambda'$ , то получим увеличение в отношении \(\lambda'/\lambda\). Можно представить себе микроскоп, в котором для регистрации будут использоваться рептгеновские лучи, а для восстановления — волны видимого спектра. Так можно было бы достичь разрешающей способности, сравнимой с разрешающей способностью электронного микроскопа. Но пока это дело будущего.

ОСНОВЫ ГОЛОГРАФИИ И ЕЕ ПРИМЕНЕНИЯ

#### § 22. АКУСТИЧЕСКАЯ ГОЛОГРАФИЯ 1)

Во всем вышесказанном поперечность волн не играет никакой роли, поэтому ничто не мешает получать голограммы, используя продольные, например акустические, волны. Когерентные ультразвуковые волны легко получать, кроме того, ультразвуком можно «освещать» очень большие объекты. Звуковые волны представляют особенный интерес также потому, что могут продикать в оптически непрозрачные предметы. Следовательно, можно получить трехмерное изображение внутренних частей объекта, освещенного такими волнами.

Акустическая голография может найти чрезвычайно интересные примедения в медицине, геофизике, металлургии и даже в археологии. Акустические голограммы позволяют получить трехмерное изображение внутренних органов человеческого тела. Геофизики могут исследовать, например, недра Земли и глубины океана.

Принцип получения акустической голограммы аналогичен принципу получения оптической голограммы. Только вместо изменений интенсивности света мы будем иметь дело с изменениями давления. К сожалению, в акустике мы не располагаем средством для регистрации звуковых воли, эквивалентным фоторегистрации в оптике.

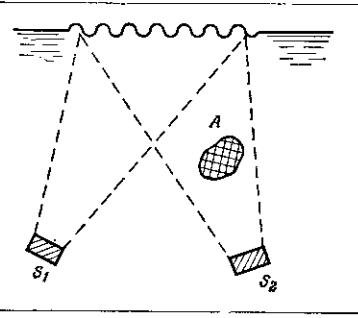
В зависимости от способа записи голограмм различают четыре основных метода акустической голографии:

<sup>1)</sup> Cm. [86-88, 107, 171, 176, 300].

<sup>1)</sup> См. [216, 220, 2\*, 3\*, 283\*].

- 1) Голограмма регистрируется одним приемником, например поверхностью жидкости, которая деформируется под действием звукового давления.
- Регистрация осуществляется матрицей приемников.
- 3) Голограмму получают точка за точкой посредством сканировация.
- 4) Голограммой является сама звуковая водна. Восстановление воднового фронта осуществляется в результате непосредственного взаимодействия света со звуковой водной.

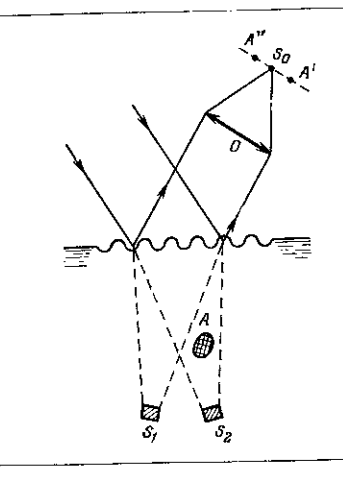
Регистрация голограммы с помощью поверхности жидкости. На фиг. 2.53 приведена принципиальная



Ф и г. 2.53. Регистрация акустической голограммы с помощью поверхностного редьефа жидкости.

схема получения голограмм, использующая деформацию поверхности жидкости. Питание синхронных ультразвуковых излучателей  $S_{\rm t}$  и  $S_{\rm e}$  осуществляется от одного и того же генератора или от двух генераторов,

согласованных по фазе. Объект на фиг. 2.53 обозначен буквой A. Волны от излучателя  $S_{\mathfrak{g}}$ , деформированные объектом A, интерферируют с недеформированными волнами от когерентного источника  $S_{\mathfrak{g}}$ . В результате интерференции на поверхности жидкости появляется рельеф. Можно показать, что деформация поверхности жидкости складывается из постоянной, т. е. не зависящей от времени, деформации и деформации,

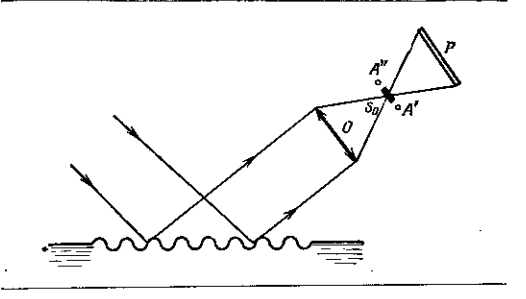


Фиг. 2.54. Наблюдение изображении, восстановлениого с помощью акустической голограммы.

являющейся функцией временц. Этой постедней можно пренебречь, а постоянная деформация и образует акустическую голограмму. Рельеф на поверхности жидкости соответствует изменениям фазы и может быть

зарегистрирован фотографически. Нужно только преобразовать поверхностиую деформацию жидкости в изменения интенсивности света. На фиг. 2.54 изображена схема устройства, позволяющего либо непосредственно наблюдать восстановленные изображения предмета, либо зарегистрировать голограмму. Поверхность жидкости освещается парадлельным монохроматическим пучком света, длина волны которого, естественно. гораздо меньше, чем длина звуковой волны. Длина волны, используемой для восстановления, порядка 0,6 мкм, тогда как звуковые волны частоты 50 МГц. скорость распространения которых 1000 м.с. имеют длину волны порядка 20 мкм. Отсюда следует, что два восстановленных изображения находятся очень далеко от поверхности жидкости (илоскости голограммы) [см. формулы (3.37), (3.38)]. Причем одно изображение располагается над поверхностью жидкости, другое - под ней. Если поместить на пути световых пучков объектив O, то мы нолучим оба восстановленцых изображения, A' и A'', близко от фокальной плоскости объектива O. В  $S_0$  образуется изображение источника. Таким образом можно пепосредственно наблюдать оба изображения, каждое из которых явдяется трехмерным. Мы осуществили устройство, позводяющее производить паблюдения в реальном времени. Чтобы зарегистрировать голограмму, достаточно сфотографировать новерхность жидкости на пластинку P с помощью объектива O (фиг. 2.55). Прикрыв небольшим непрозрачным экраном изображение источника  $S_0$ , мы нолучим преобразование поверхностного рельефа жидкости в изменения интенсивности света. Поверхность жидкости фотографируется только в рассеянном свете, как в теневом методе Фуко.

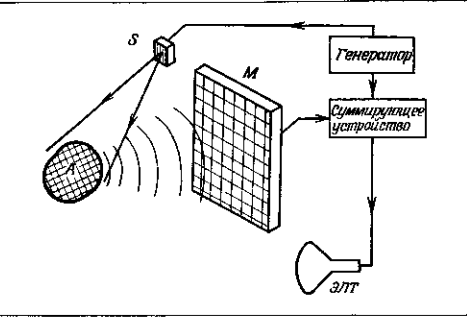
Тот факт, что длина волны света, который был использован для оптического восстановления голограммы, сильно отличается от длины звуковой волны, используемой для регистрация, приводит не только к удаленности изображений, как мы уже отмечали, но в к появлению аберраций. Чтобы избежать этого, следует уменьшить фотографическое изображение голограммы в отношении, по возможности близком к отношению длин волн. Для ультразвука частоты 50 МГц, соответствующего длине волны 20 мкм, нужно



Ф и г. 2.55. Фогографирование акустической голограммы.

уменьшить размеры голограммы в 30 раз. Если частота равна 0,1 МГц, то длина волны будет порядка сантиметра и отношение длин воли становится очень большим. В то же время на новерхности диаметром 20 см мы получаем очень небольщое число акустических интерференционных полос, которое зависит также от угла между интерферврующими пучками и определяет достигаемое разрешение.

Регистрация голограммы с помощью матрицы приемников. Это принцип оптической голографии, перенесенный в область акустической голографии, за исключением того, что приемник представляет матрицу детекторов M (фиг. 2.56)\*. Другое отличие этой схемы от оптической состоит в следующем. Ультразвуковой излучатель возбуждается электрическим сигцалом,



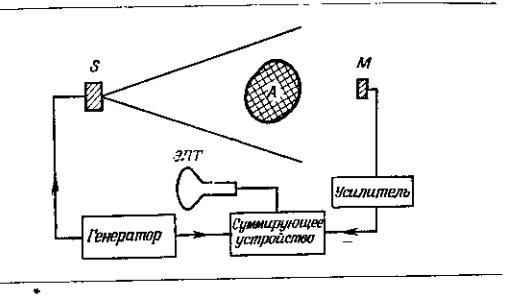
Ф и г. 2.56. Регистрация акустической голограммы с помощью матрицы приемпиков,

ЭЛТ — электровно-лучевая трубка.

что дает возможность моделировать звуковую опорную волну с помощью электрического сигнала. Усилитель суммирует сигнал от матрицы M с электрическим сигналом, даваемым непосредственно генератором. Это электрическое суммирование заменяет интерференцию в плоскости голограммы. Результирующий сигнал модулируст витенсивность электронного пучка электронно-лучевой трубки, на экране которой образуется голограмма. Таким образом, в акустической

голографии можно обойтись без опорной звуковой волны, заменив ее электрическим сигналом.

Регистрация посредством сканирования. В предыдущей схеме можно использовать сканирование, т. е. включать отдельные датчики матришы последовательно. Сканирование можно осуществлять также по схеме фиг. 2.57. Объект A «освещен» ультразвуковым излучателем S, который возбуждается гене-



 $\Phi$  н г. 2.57. Схема получения акустической голограммы объекта A методом скапирования приемником M или излучателем S.

ратором. Датчик M (микрофон) находится в плоскости голограммы. Он сканирует эту плоскость точка за точкой. Электрический сигнал от микрофона Mскладывается с сигналом, полученным непосредственно от генератора (электрическая модель опорной волны). Результирующий сигнал модулирует пучок электронно-лучевой трубки, на экране которой визуализируется голограмма. Она может быть сфотографирована. В схеме фиг. 2.57 ничего не изменится, если поменять местами излучатель и датчик, т. е. акустическую голограмму можно зарстистрировать в некоторой определенной точке пространства, сканпруя предмет с помощью звукового излучателя.

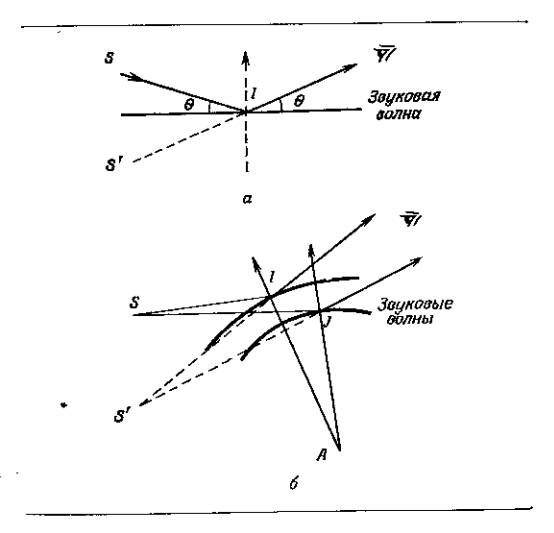
Можно получить довольно быструю развертку, используя телевизионную трубку, экран которой заменен пьезоэлектрической пластинкой (преобразователь Соколова). Кристали находится в плоскости голограммы, и электронный пучок сканирует его. Напряжение на кристалле линейно зависит от амплитуды падающей на него ультразвуковой волны. Это напряжение модулирует интенсивность вторичной эмиссии, вызываемой пучком развертки. Полученный сигнал суммируется с опорным электрическим сигнадом и после усиления поступает на электропно-лучевую трубку, на экране которой появляется оптическое изображение акустической голограммы. Так как в телевизионной трубке --- вакуум, и кристаллическая пластинка должна выдерживать давление порядка одной атмосферы, ее полезная площадь не превышает нескольких сантиметров. Можно использовать мозаику из пьезоэлектрических пластинок, вмонтированных в металлическую решетку.

Непосредственное взаимодействие света со звуковыми волнами. Рассмотрим параждельный пучок световых лучей, распространяющийся в акустическом поле. Световой луч SI (фиг. 2.58) отразится от плоской звуковой волны, если угол 0 удовлетворяет условию Брэгга

#### $2\Lambda \sin \theta = \lambda$ ,

где  $\Lambda$  — длина звуковой волны, а  $\lambda$  — длина волны используемого света. Так как  $\Lambda\gg\lambda$ , угол 0 всегда очень мал. Применим это условие к следующему случаю:

источник A испускает звуковые волны, а источник S — световые. Простое геометрическое построение показывает, что направление световых лучей, отраженных от звуковых волн, таково, что кажется, будто их испускает мнимый источник S'. Изображение



 Фиг. 2.58. Получение изображений путем использования брэгговской дифракции света на акустической волис.

S' можно считать оптически восстановленным изображением акустического объекта A. Изображение S' находится в бесконечности, если звуковые волны плоские. Если A — объект, испускающий звуковые волны, мы получим в окрестности S' оптическое изображение A, уменьшенное в отношении  $\Lambda/\lambda$ . Таким

.14

способом можно наблюдать протекание процесса во времени.

Восстановление изображения с помощью электронной вычислительной машины. Для преобразования акустической голограммы в оптическую ее можио по точкам переводить в цифровой код; это особенно дегко потому, что она переводится на язык электрических сигналов. Сигналы посылаются на вычислительную машину, которан воспроизводит голограмму с помощью печатающего устройства или на экране электронно-лучевой трубки. Эдектроппая вычислительная машина может произвести любую фильтрацию с целью улучшения изображения. Можно также преобразовать акустические годограммы в годограммы типа киноформ (см. гл. 4).

Регистрация голограмм с помощью звуковых волн разной длины. Для регистрации можно использовать звуковые колебания трех разных длин волн. При восстановлении используем видимый свет трех разных длин воли (красный, зеленый и сипий). Полученные таким образом окращенные голограммы позволяют исследовать реакцию объекта на звуковые колебания трех различных длин волн.

Применения акустической голографии. Акустическую голографию можно использовать для подводных исследований. Следует выбирать частоту порядка 250 кГп, чтобы поглощение было минимальным. Используя хорошо проникающие волны низкой частоты, приблизительно от 10 до 100 Гц, можно исследовать земные недра, например, с целью разведки нефти,

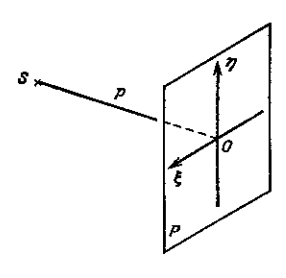
В других областях, таких, как медицина и биология, голография предлагает новые, чрезвычайно интересные решения. Внутренние органы человеческого тела можно голографировать благодаря тому, что акустическая прозрачность тканей различна. Без всякой опасности для больного можно «извлечь» любой орган и исследовать его в трех измерениях. Для этого используются в основном частоты порядка 5 MΓμ\*.

В археологии акустическая голография дает возможность восстанавливать в трех измерениях изображения объектов, замурованных в толще больщих твердых масс, не боясь повредить эти объекты.

#### ОБРАЗОВАНИЕ ИЗОБРАЖЕНИЙ В ГОЛОГРАФИИ

#### § 1. РЕГИСТРАЦИЯ АМПЛИТУДЫ И ФАЗЫ ВОЛНЫ, ИСПУСКАЕМОЙ ТОЧЕЧНЫМ ИСТОЧНИКОМ 1)

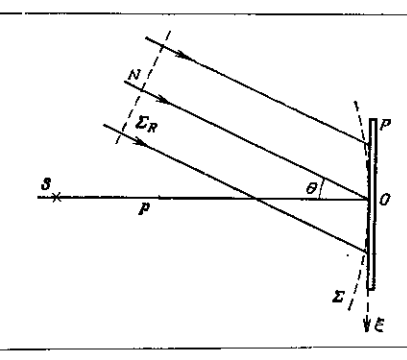
Пусть точечный источник S (фиг. 3.1) освещает плоскость (п, ξ) фотопластинки. Источник S расположен на расстоянии SO=p от фотопластинки. Кроме сфепической водны  $\Sigma$  от источника S, на пластинку падает когерентная опорная волна  $\Sigma_R$  (фиг. 3.2). Предпола-



Ф и г. 3.1. Регистрация голограммы точечного объекта S.

гается, что волна  $\Sigma_R$  плоская. Нормаль NO к поверхности фронта  $\Sigma_R$ , расположенная в плоскости чертежа. составляет угол 0 с направлением SO. В некоторой

ИИФАТТОГОТ В ЙИНЁЖАЧЙОЕЙ ВИНАВОЕАРАЙ



 $\Phi$  и г. 3.2. Қогерентный пучок падает на пластипку под углом  $\theta$ ,

точке плоскости (η, ξ) фотопластинки сферическая волна от источника S имеет комплексную амплитуду  $F(\eta, \xi)$ , а когерентная волна  $\Sigma_R$ — амплитуду  $a(\eta, \xi)$ . Когерентная волна  $\Sigma_R$  создает в плоскости фотопластинки равномерную освещенность с точностью до постоянного множителя, равную |а|э. Можно положить, что

$$a(\eta, \xi) = a_0 e^{-jK\theta\xi}, \qquad (3.1)$$

где  $K{=}2\pi'\lambda$  ( $\lambda$  — длина волиы используемого света) и  $a_0$ — константа.

Амилитуда света в некоторой точке (η, ξ) фотопластинки равна

$$a(\eta, \xi) + F(\eta, \xi),$$
 (3.2)

<sup>&</sup>lt;sup>1</sup>) Cm. [65, 107, 300].

а освещенность --

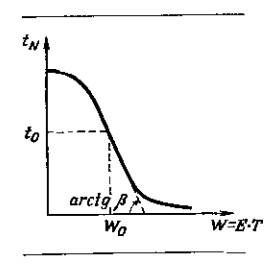
118

$$E = (a+F)(a^*+F^*) = |a|^2 + |F|^2 + a^*F + aF^*.$$
 (3.3)

Изменение освещенности на фотопластинке (η, ξ) происходит в результате питерференции воли  $\Sigma$  и  $\Sigma_R$ . За время экспонированця T на пластинку надает энергия

$$W = ET = T \left[ |a|^2 + |F|^2 + a^*F + aF^* \right]. \tag{3.4}$$

Коэффициент пропускания (но амплитуде) полученного негатива линейно зависит от энергии W, если



Ф и г. 3.3. Зависимость амилитудного пропускания негатива от экспозиции. Экспозиция ранна произведению освещенности Е на время выдер-

при экспонировании мы не выходим за пределы динейного участка характеристической кривой  $t_N = f(W)$ фиг. 3.3). Для этого нужно, чтобы величина произведения W = ET не отличалась сильно от среднего значения W. Необходимо, следовательно, чтобы интери ференционные полосы на фотопластинке были слишком контрастными, т.е. чтобы амплитуды волн Σ и Σв отличались друг от друга. Действительно, если

амплитуды волн  $\Sigma$  и  $\Sigma_R$  равны между собой, то, согдасно теории интерферепции, темпые полосы будут совершенно черными (E=0). В таком случае соответствующая точка находится вне линейного участка кривой (фиг. 3.3). В оптимальных же условиях амплитудное пропускание (коэффициент пропускания по амплитуде) негатива равно

$$t_N = t_0 + \beta \left( W - W_0 \right), \tag{3.5}$$

где  $W_0$ — среднее значение энергии, надающей на фотопластинку. W не должна слишком сильно отличаться от  $W_0$ . Амплитуда  $t_0$  соответствует  $W=W_0$ ;  $\beta$  — наклон (угловой коэффициент) прямодинейного участка кривой  $t_N - f(W)$ . Пусть

$$W_0 = T \mid a \mid^2. \tag{3.6}$$

Учитывая (3.4), получаем

$$t_N = t_0 + \beta T \left[ |F|^2 + a^*F + aF^* \right];$$
 (3.7)

вводим обозначение  $\beta' = \beta T$ :

$$t_N = t_0 - \beta' ||F|^2 + u^*F - aF^*|.$$
 (3.8)

Два последних члена выражения в скобках доказывают, что с помощью когерентного фона  $\Sigma_R$  амилитуда и фаза волны  $\Sigma$ , испускаемой источником S[т. е. информация, содержащаяся в функции  $F(\eta, \xi)$ ], зарегистрированы на фотопластинке.

#### § 2. ВОССТАНОВЛЕНИЕ ИЗОБРАЖЕНИЯ ТОЧЕЧНОГО ИСТОЧНИКА

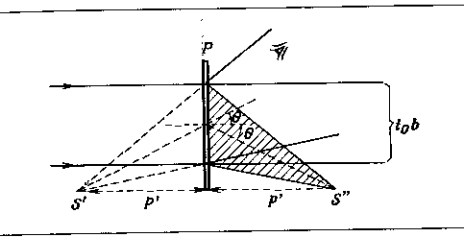
Осветим полученный ператив (голограмму) волной. комплексная амилитуда которой в плоскости (п. Е) описывается функцией  $b(\eta, \xi)$ . Амилитуда света, прощедшего сквозь голограмму, будет равна

$$b(\eta, \xi) t_N(\eta, \xi) = t_0 b - b \beta' [|F|^2 + a^*F \cdot |\cdot aF^*].$$
 (3.9)

Если для восстановления изображения берется идеально плоская волна, фронт которой парадделен плоскости голограммы, то амплитуда b в предыдущем выражении постоянна. Подставив вместо амплитуды  $a(\eta, \xi)$  ее выражение (3.1), получим

$$bt_{N^{+}} = t_0 b - b\beta' |F|^2 - b\beta' a_0 F e^{jK0\xi} - b\beta' a_0 F^* e^{-jK0\xi}$$
. (3.10)

Первый член  $l_0b$  представляет собой с точностью до постоянного множителя плоскую волну, используемую для восстановления (фиг. 3.4). Это плоская волна, прошедшая сквозь негатив без изменения направления. Второй член  $b\beta'|F|^2$  учитывает небольшое изменение амплитудного пропускания за счет  $|F|^2$ . Оп описывает небольшое отклонение плоской



 $\Phi$  н г. 3.4. При восстановлении получаем два изображения: мнимое S' и действительное S''.

падающей волны восстановления вследствие дифракции. Практически можно считать, что оба члена  $t_0 b$  и  $b \beta' |F|^2$  отпосятся к волне, прошедшей сквозь негатив без изменения направления.

Третий член  $b\beta'a_{\theta}Fe^{jK\theta\xi}$  дает с точностью до множителя  $b\beta'a_{\theta}e^{jK\theta\xi}$  амплитуду  $F(\eta_+;\xi)$  волны, испускасмой точечным источником:

$$F(\eta, \xi) = F_0 e^{jK^{1/p^2 + \eta^2 + \frac{\xi}{n^2}}}.$$
 (3.11)

Это — расходящаяся сферическая волна, источником которой служит мнимый источник, расположенный

на расстоянии p' от голограммы. Множитель  $e^{iK0\xi}$  указывает на то, что среднее направление этой волны составляет угол 0 с нормалью к плоскости голограммы.

Четвертый член  $b\beta'a_0F^*e^{-iK^{\Theta_5}}$  пропорционален амилитуде сопряженной волны  $F^*$ :

$$F^*(\eta, \xi) = F_0 e^{-jK\Gamma' \overline{p^2 + \eta^2 + \xi^2}}.$$
 (3.12)

Это — сходящаяся сферическая волна, образующая действительное изображение источника, расположенного на расстоянии p' от голограммы. Множитель  $e^{-iK\theta\xi}$  свидетельствует о том, что среднее направление волны, образующей изображение S'', составляет угол  $\theta$  с нормалью к плоскости голограммы.

#### § 3. ВОССТАНОВЛЕНИЕ ИЗОБРАЖЕНИЯ ОБЪЕКТА ПРОИЗВОЛЬНЫХ РАЗМЕРОВ

Можно считать, что объект произвольных размеров состоит из большого количества точечных источников, испускающих волны определенной амплитуды и фазы. Тогда выражение (3.2) пужно заменить выражением вида

$$a(\eta, \xi) = \sum F; \tag{3.13}$$

 $\Sigma F$  — сумма амилитуд колебаний, пришедших на фотоиластинку, от разных точек объекта, которые действуют как точечные источники. Амплитудное пропускавие  $t_N$  (3.8) голограммы может быть записано в виде

$$t_N = t_0 - \beta' [(\sum F) (\sum F^*) + a^* \sum F + a \sum F^*].$$
 (3.14)

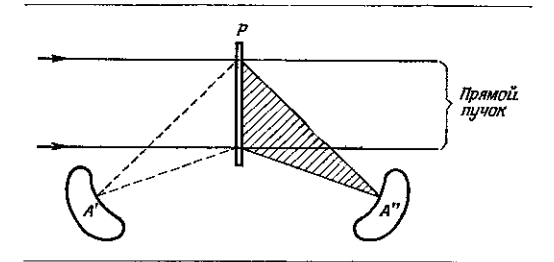
При восстановлении изображения плоской волной, фронт которой параллелен плоскости голограммы,

122

вместо выражения (3.10) получим

$$bt_N = t_v b - b\beta' \left( \sum_{F} F \right) - b\beta' a_v e^{-jK\theta\xi} \sum_{F} F - b\beta' a_v e^{-jK\theta\xi} \sum_{F} F^*.$$
(3.15)

Здесь третье слагаемое соответствует восстановленным миямым изображенням всех точек объекта (фиг. 3.5). Мнимое изображение A' восстанавливает объект в трех измерениях. Четвертое слагаемое соответствует восстановленному действительному изображению A'' объекта. Некоторые свойства действительного изображения делают его, однако, менее интересным, чем мнямое изображение. Например, его глубина резкости так мала, что практически можно получить фотогра-



Ф и г. 3.5. Восстановление изображения объектя, диффузно рассеивающего свет.

фию, используя только очень небольшой участок голограммы. Визуальному наблюдению мнимого изображения этот эффект не мешает, так как диафрагмирование производится в этом случае самим зрачком глаза. Кроме того, эффекты параллакса при наблюдении действительного изображения обращены, а видимый рельеф обратен рельефу исходного предмета.

#### § 4. НЕКОТОРЫЕ ЗАМЕЧАНИЯ ПО ПОВОДУ ИЗОБРАЖЕНИЙ, ДАВАЕМЫХ ГОЛОГРАММОЙ

В предыдущем параграфе мы рассматривали восстановление изображений некоторого предмета с помощью голограммы как восстановление изображений всех его точек. В этом нет необходимости, так как расчет можно произвести непосредственно. Если  $a(\eta, \xi)$  — комплексная амплитуда волны когерентного фона, а  $\mathfrak{F}(\eta, \xi)$  — комплексная амплитуда волны, приходящей от объекта в целом, то освещенность в плоскости фотопластинки будет равна

$$E = (a - \mathcal{F}) (a^* + \mathcal{F}^*), \tag{3.16}$$

а энергия, надающая на пластинку,

$$W = ET - T |a|^2 + T |\mathfrak{F}|^2 + Ta^*\mathfrak{F} + Ta\mathfrak{F}^*, (3.17)$$

где T—время экспонирования. Если условия экспонирования соответствовали прямолинейному участку кривой  $t_X = f(W)$ , то после проявления фотопластинки мы волучим для амплитудного пропускания голограммы выражение

$$t_{N} = t_{0} - \beta' \left( | \mathcal{F}|^{2} \cdot | a^{*} \mathcal{F} \cdot | a \mathcal{F}^{*} \right),$$
 (3.18)

которое, учитывая (3.1), можно переписать в виде

$$t_N = t_0 - \beta' |\mathcal{F}|^2 - \beta' a_0 e^{jK^0 \bar{z}} \mathcal{F} - \beta' a_0 e^{-jK^0 \bar{z}} \mathcal{F}^*.$$
 (3.19)

Если осветить голограмму идеальной плоской волной с амилитудой *b*, фронт которой параллелен плоскости голограммы, то амплитуда света, прошедшего сквозь голограмму, будет равна

$$bt_N = t_q b - b \beta' |\mathcal{F}|^2 - b \beta' a_q e^{jK^{\frac{3}{2}}} \mathcal{F} - b \beta' a_q e^{-jK^{\frac{3}{2}}} \mathcal{F}^*,$$
 (3.20) где  $b$  — константа,

Два первых члена дают амплитуду в пучке, прошедшем практически без отклонения. Третий член восстанавливает с точностью до постоянного множителя амплитуду света, рассеянного объектом. Он восстанавливает, следовательно, мнимое изображение объекта А' (фиг. 3.5). Четвертый член дает амилитуду света в действительном изображении A''. В предыдущих расчетах толщиной эмульсии мы пренебрегали. Как известно (гл. 2, § 12), в этом случае максимально интенсивное мнимое изображение получается, если при восстановлении голограмму осветить волной, совершенно идептичной той, которая была иснользована для освещения при регистрации. Для удобства наблюдения действительного изображения нужно при восстановлении осветить голограмму волной, сопряженной той, которая была использована при регистрации.

### § 5. ГЕОМЕТРИЯ РЕГИСТРАЦИИ ГОЛОГРАММ И ВОССТАНОВЛЕНИЯ ИЗОБРАЖЕНИЙ ¹)

Рассмотрим точечный источник S в точке  $(p, \eta_0, \xi_0)$ , который играет роль точечного объекта (фиг. 3.6). Когерентная опорная волна излучается точечным источником  $S_R$ , расположенным в точке  $(p, \eta_R, \xi_R)$ . Амплитуда колебаний, пришедших в некоторую точку  $(\eta, \xi)$  фотопластинки от точечного объекта S, равна

$$\frac{1}{j\lambda\rho}\exp\left[j\frac{2\pi}{\lambda}\sqrt{p^2+(\eta-\eta_0)^2+(\xi-\xi_0)^2}\right].~(3.21)$$

Можно считать, что\*

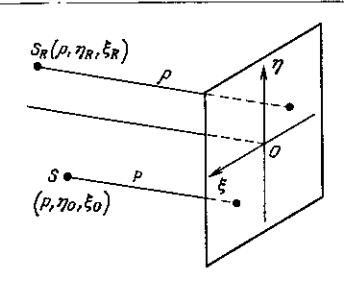
$$\begin{split} V \overline{p^2 + (\eta - \eta_0)^2 + (\xi - \xi_0)^2} \approx p \left[ 1 + \frac{1}{2} \left( \frac{\eta - \eta_0}{\rho} \right)^2 + \right. \\ \left. + \frac{1}{2} \left( \frac{\xi - \xi_0}{\rho} \right)^2 \right], \end{split} \tag{3.22}$$

тогда для амплитуды колебаний, пришедших от объекта S, получим

$$\frac{1}{j\lambda\rho}\exp\left(j\frac{2\pi}{\lambda}p\right)\exp\left\{j\frac{\pi}{\lambda\rho}\left[(\eta-\eta_0)^2+(\xi-\xi_0)^2\right]\right\}. \tag{3.23}$$

Запишем это выражение в виде

$$F_0 \exp \left\{ i \frac{\pi}{\lambda \rho} \left[ (\eta - \eta_0)^2 + (\xi - \xi_0)^2 \right] \right\},$$
 (3.24)



 $\Phi$  и г. 3.6. Расположение точки-объекта S и опорного источника  $S_R$  при регистрации.

где  $F_0$ — постоявный комплексный множитель, учитывающий амплитуду и фазу колебаний, испускаемых точечным объектом S. Точно так же выразим амплитуду колебаний, пришедших в ту же точку  $(\eta, \xi)$  фотопластинки от точечного источника  $S_B$ :

$$a_0 \exp \left\{ i \frac{\pi}{\lambda \rho} \left[ (\eta - \eta_R)^2 - (\xi - \xi_R)^2 \right] \right\},$$
 (3.25)

где  $a_0$ — постоянный комилексный множитель, учитывающий амплитулу и фазу волн, излучаемых источником  $S_R$ . Подная амилитуда световых колебаний в

<sup>&</sup>lt;sup>2</sup>) Cm. [107, 191].

точке (η, ξ) фотопластинки будет равна

$$a_{0} \exp \left\{ i \frac{\pi}{\lambda \rho} \left[ (\eta - \eta_{R})^{2} + (\xi - \xi_{R})^{2} \right] \right\} + F_{0} \exp \left\{ i \frac{\pi}{\lambda \rho} \left[ (\eta - \eta_{0})^{2} + (\xi - \xi_{0})^{2} \right] \right\}, \quad (3.26)$$

а освещенность в этой точке равна

$$E = |a_{0}|^{2} + |F_{0}|^{2} +$$

$$+ a_{0}^{*}F_{0} \exp \left\{ -i\frac{\pi}{\lambda\rho} [(\eta - \eta_{R})^{2} + (\xi - \xi_{R})^{2}] \right\} \times$$

$$\times \exp \left\{ i\frac{\pi}{\lambda\rho} [(\eta - \eta_{0})^{2} + (\xi - \xi_{0})^{2}] \right\} +$$

$$+ a_{0}F_{0}^{*} \exp \left\{ i\frac{\pi}{\lambda\rho} [(\eta - \eta_{R})^{2} + (\xi - \xi_{R})^{2}] \right\} \times$$

$$\times \exp \left\{ -i\frac{\pi}{\lambda\rho} [(\eta - \eta_{0})^{2} + (\xi - \xi_{0})^{2}] \right\}.$$
(3.27)

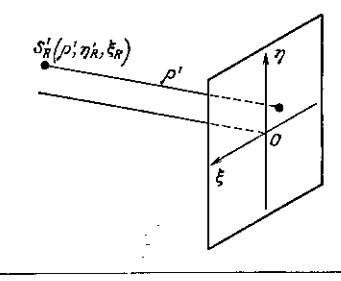
В далыейнем мы будем называть «главным изображением» изображение, соответствующее третьему члену выражения (3.10) [или (3.27)] Іэтот третий член есть амплитуда волны, рассеянной объектом  $F(\eta, \xi)$ ]. «Сопряженным изображением» мы будем называть изображение, соответствующее четвертому члену (3.10) [или (3.27)] [четвертый член — это амплитуда сопряженной волны  $F^*(\eta, \xi)$ ].

Амилитудное пропускание  $t_N$  голограммы, полученной после проявления фотопластинки, дается выражением, аналогичным (3.8). Два интересующих нас члена этого выражения записываются в виде

$$β'a_0^*F_0 \exp \left\{ -i\frac{\pi}{\lambda \rho} \left[ (\eta - \eta_R)^2 + (\xi - \xi_R)^2 \right] \right\} \times \\
\times \exp \left\{ i\frac{\pi}{\lambda \rho} \left[ (\eta - \eta_0)^2 + (\xi - \xi_0)^2 \right] \right\} \text{ (д.павное нзо- } \\
β'a_0F_0^* \exp \left\{ i\frac{\pi}{\lambda \rho} \left[ (\eta - \eta_R)^2 + (\xi - \xi_R)^2 \right] \right\} \times \\
\times \exp \left\{ -i\frac{\pi}{\lambda \rho} \left[ (\eta - \eta_0)^2 + (\xi - \xi_R)^2 \right] \right\} \text{(Conprise Hole нзо-бра- } \\
\text{жение} \right\} (3.29)$$

При восстановлении освещают голограмму сферической волной от точечного источника  $S'_R$ , расположенного в точке  $(p', \eta_R, \xi_R')$  (фиг. 3.7). В общем случае длина волны  $\lambda'$  освещения при восстановлении

образование изображений в голографии



ф и г. 3.7. Положение источника  $\vec{S_R}$  при восстановлении.

отличается от длины волны  $\lambda$  освещения при регистраини. Волну восстановления можно представить в виде

$$b_0 \exp \left\{ i \frac{\pi}{\lambda' \rho'} \left[ (\eta - \eta_R')^2 + (\xi - \xi_R')^2 \right] \right\}.$$
 (3.30)

Два интересующих нас члена, соответствующих двум восстановленным изображениям, можно получить, умножив (3.28) и (3.29) на (3.30):

$$\begin{split} \mathcal{A} &= \beta' a_0^* b_0 F_0 \exp \left\{ -i \frac{\pi}{\lambda \rho} \left[ (\eta - \eta_R)^2 + (\xi - \xi_R)^2 \right] \right\} \times \\ &\times \exp \left\{ i \frac{\pi}{\lambda \rho} \left[ (\eta - \eta_0)^2 + (\xi - \xi_0)^3 \right] \right\} \times \\ &\times \exp \left\{ i \frac{\pi}{\lambda' \rho'} (\eta - \eta'_R)^2 \div (\xi - \xi'_R)^2 \right] \right\} \frac{(\Gamma \Pi B H O E \ M30}{6 \text{ ражение}}. \end{split}$$

$$\begin{split} \mathcal{A}' &= \beta' a_0 b_0 F_0^* \exp \left\{ i \frac{\pi}{\lambda \rho} \left[ (\eta - \eta_R)^2 + (\xi - \xi_R)^2 \right] \right\} \times \\ &\times \exp \left\{ - i \frac{\pi}{\lambda \rho} \left[ (\eta - \eta_0)^2 + (\xi - \xi_0)^2 \right] \right\} \times \\ &\times \exp \left\{ i \frac{\pi}{\lambda' \rho'} \left[ (\eta - \eta_R')^2 + (\xi - \xi_R')^3 \right] \right\} \text{ (сопряжен-100 ное изображене)}. \end{split}$$

Эти два выражения соответствуют двум восстаногленным точечным изображениям и списывают, в приближении (3.22), две сферические волны. Чтобы найти расстояния р' и р" от этих изображений до голограммы, достаточно сравнить (3.31) и (3.32) с общим выражением для сферической волны, испускаемой точечным источником, находящимся на расстоянии р' от голограммы. В том же приближении сферическая волна запишется в виде

$$\exp\left[i\frac{\pi}{\lambda'p'}(\eta^2+\xi^2)\right]. \tag{3.33}$$

где p'— расстояние от главного изображения до голограммы. Выделим в (3.31) и (3.32) сомножители, содержащие в показателе ( $\eta^2 + \xi^2$ ). Соответствующий сомножитель в (3.31) имеет вид

$$\exp\left\{j\pi\left[-\frac{1}{\lambda\rho}+\frac{1}{\lambda\rho}+\frac{1}{\lambda'\rho'}\right]\right\}(\eta^2+\xi^2). \quad (3.34)$$

Сравниван (3.33) и (3.34), получим уравнение для расстояния p' от главного изображения до голограммы

$$\frac{1}{\lambda'\rho'} = -\frac{1}{\lambda\rho} + \frac{1}{\lambda\rho} + \frac{1}{\lambda'\rho'} . \tag{3.35}$$

Для расстояния p'' от сопряженного изображения (3.32) до голограммы аналогичным образом получим уравнение

$$\frac{1}{\lambda'\rho''} = \frac{1}{\lambda\rho} - \frac{1}{\lambda\rho} + \frac{1}{\lambda'\rho'}.$$
 (3.35)

Уравнения (3.35) и (3.36) можно записать в виде

$$\frac{1}{\rho'} = \frac{\lambda'}{\lambda} \left( \frac{1}{\rho} - \frac{1}{\rho} \right) + \frac{1}{\rho'} \text{ (главное изображение), (3.37)}$$

$$\frac{1}{\rho'} - \frac{\lambda'}{\lambda} \left( -\frac{1}{\rho} + \frac{1}{\rho} \right) + \frac{1}{\rho'} \text{ (сопряжение изобра- (3.38)}$$

Чтобы найти две другие координаты изображения, нужно сделать приведение подобных членов, линейных по  $\eta$  и  $\xi$ . Если в показателе выражения (3.24) оставить только линейные члены, то оно примет вид

$$\exp\left[i\frac{2\pi}{\lambda'\rho'}(\eta_n\eta+\xi_n\xi)\right],\tag{3.39}$$

где  $\eta_\pi$  и  $\xi_\pi$ — координаты главного изображения. Оставив в показателе выражения (3.31) только члены, линейные по  $\eta$  и  $\xi_\tau$  имеем

$$\exp \left[ j \frac{2\pi}{\lambda \rho} (\eta \eta_R + \xi \xi_R) \right] \exp \left[ -j \frac{2\pi}{\lambda \rho} (\eta \eta_0 + \xi \xi_0) \right] \times \\ \times \exp \left[ -j \frac{2\pi}{\lambda' \rho'} (\eta \eta'_R + \xi \xi'_R) \right]$$
(3.40)

 $\exp \left[ j2\pi \left( \frac{\eta_R}{\lambda \rho} - \frac{\eta_o}{\lambda \rho} - \frac{\eta_R'}{\lambda' \rho'} \right) \eta \times \right. \\ \left. \times \exp \left[ j2\pi \left( \frac{\xi_R}{\lambda \rho} - \frac{\xi_o}{\lambda \rho} - \frac{\xi_R'}{\lambda' \rho'} \right) \right] \xi \,. \tag{3.41}.$ 

Приравнивая коэффициенты при η и ξ в выражениях (3.39) и (3.41), получаем

$$\eta_n = \frac{\lambda'}{\lambda} \left( \frac{p'}{\rho} \eta_R - \frac{p'}{\rho} \eta_0 \right) - \frac{p'}{\rho'} \eta_R' 
\xi_n = \frac{\lambda'}{\lambda} \left( \frac{p'}{\rho} \xi_R - \frac{p'}{\rho} \xi_0 \right) - \frac{p'}{\rho'} \xi_R 
(главное. (3.42)$$
(3.43)

Точно так же координаты сопряженного выражения  $\eta_c$  и  $\xi_c$  найдем, сравнивая выражение

$$\exp\left[i\frac{2\pi}{\lambda'\rho'}(\eta_e\eta+\xi_e\xi)\right] \qquad (3.44)$$

и выражение (3.32). Для η, и ξ, получим

$$\begin{split} & \mathbf{\eta}_{c} = \frac{\lambda'}{\lambda} \left( -\frac{\rho'}{\rho} \, \mathbf{\eta}_{R} + \frac{\rho'}{\rho} \, \mathbf{\eta}_{0} \right) - \frac{\rho'}{\rho'} \, \mathbf{\eta}_{R}' \\ & \boldsymbol{\xi}_{c} = \frac{\lambda'}{\lambda} \left( -\frac{\rho'}{\rho} \, \boldsymbol{\xi}_{R} + \frac{\rho'}{\rho} \, \boldsymbol{\xi}_{0} \right) - \frac{\rho'}{\rho'} \, \boldsymbol{\xi}_{R}' \\ \end{split} \right. \begin{cases} \text{(сопряжен- (3.45)} \\ \text{ное изоб- ражение).} \end{cases}$$

Определим по формулам (3.42) смещение главного изображения ( $\Delta \eta_n$ ,  $\Delta \xi_n$ ) при изменении положения объекта ( $\Delta \eta_n$ ,  $\Delta \xi_n$ ):

$$\Delta \eta_n = -\frac{\lambda'}{\lambda} \frac{\rho'}{\rho} \Delta \eta_0$$
 (3.47) 
$$\Delta \xi_n = -\frac{\lambda'}{\lambda} \frac{\rho'}{\rho} \Delta \xi_0$$
 (7.48) (3.48)

Коэффициент линейного увеличения G восстановлениого главного изображения (по сравнению с самим объектом) с точностью до знака запишется в виде

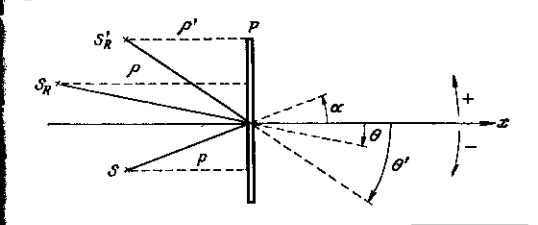
$$G = \frac{\Delta \eta_n}{\Delta \eta_0} = \frac{\Delta \xi_n}{\Delta \xi_0} = \frac{\lambda'}{\lambda} \frac{\rho'}{\rho} . \tag{3.49}$$

Учитывая (3.37), получаем

$$G = \left(1 - \frac{p}{\rho} + \frac{\lambda}{\lambda'} \frac{\rho}{\rho'}\right)^{-1}.$$
 (3.50)

Для сопряженного изображения изменится только знак последнего слагаемого в скобках. Из формулы (3.50) видно, что увеличение равно 1, если опорный источник  $S_R$ , используемый при регистрации, и источник  $S_R$ , используемый при восстановлении, расположены в бесконечности ( $\rho=\rho'=\infty$ )\*. Оно равно 1 также в случае, когда  $\lambda=\lambda'$ , причем для главного изображения  $\rho=\rho'$ , а для сопряженного изображения  $\rho=\rho'$ \*. Формула (3.50), как мы уже говорили (см. стр. 104), очень важна. Из нее следует, что можно получить большое увеличение, если использовать при восстановленни свет гораздо большей длины волны, чем при регистрации.

Пусть углы  $\alpha$ ,  $\theta$ ,  $\theta'$  (фиг. 3.8) определяют положение объекта S, опорного источника при регистрации  $S_R$  и источника  $S'_R$  при восстановлении соответственно. Тогда для углов  $\alpha'$  и  $\alpha''$ , определяющих положе-



 $\Phi$  и г. 3.8. Отсчет углов, опредсляющих положение точки-объекта S, опорного источника  $S_R$  (при регистрации) и источника  $S_R'$  (при восстановлении).

ния главного и сопряженного изображений, получны следующие выражения:

$$\alpha' = \frac{*\lambda'}{\lambda}(\alpha - \theta) + \theta'$$
 (главное изображение), (3.51)

$$lpha^\circ = rac{\lambda^\prime}{\lambda} \left( -\alpha + \theta \right) + \theta^\prime$$
 (сопряженное изображение). (3.52)

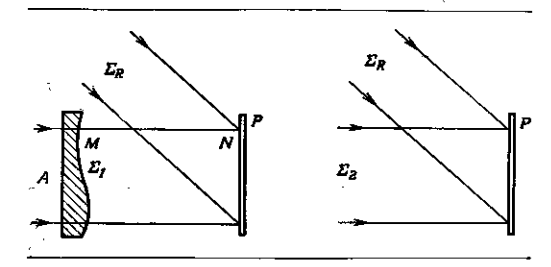
Углы отсчитываются, как обычно, против часовой стрелки. Чтобы получить эти формулы, достаточно ввести в показатели экспонент члены, учитывающие отклонение пучков от прямого направления\*.

#### § 6. ГОЛОГРАФИЧЕСКАЯ ИНТЕРФЕРОМЕТРИЯ 1)

Рассмотрим прозрачный объект A, освещенный параллельным пучком света (фиг. 3.9). Фотопластинка P

<sup>1)</sup> См. литературу к гл. 2, § 15.

освещается светом, прошедшим сквозь A, и опорной волной  $\Sigma_R$ , как в обычной голографии. Пусть  $F_1(\eta,\xi)$  — комплексная амплитуда волны  $\Sigma_1$ , прошедшей сквозь объект A, в некоторой точке  $(\eta, \xi)$  фотопластинки. Амплитуда когерентной волны  $\Sigma_R$  в той же точке фотопластинки будет  $a(\eta, \xi)$ . Экспонируем пластинку



 $\Phi$  и г. 3.9. Первая экспозиция — в присутствии  $\Phi$ азового объекта A.

фиг. 3.10. Вторая экспозиция — без фазового объекта A.

в этих условиях. Ее освещенность равна

$$E_1 = (a+F_1)(a^*+F_1^*) = |a|^3 + |F_1|^3 + a^*F_1 + aF_1^*, \quad (3.53)$$
 а энергия, падающая на пластинку за время экспозиции  $T_1$ .

$$W_1 = T_1 E_1 - T_1 |a|^2 + T_1 |F_1|^2 + T_1 a^* F_1 + T_1 a F_1^*$$
 (3.54)

Не проявляя пластинку, уберем объект A и экснонируем пластинку еще раз (фиг. 3.10).

Теперь на пластинку P падает плоская волна  $\Sigma_2$  и когерентная волна  $\Sigma_R$ . Если в отсутствие объекта A амплитуда плоской волны  $\Sigma_2$  в некоторой точке  $(\eta, \xi)$  фотопластинки равна  $F_z(\eta, \xi)$ , то освещенность фото-

пластинки будет равна

$$E_2 = (a+F_2)(a^*+F_2^*) = |a|^2 + |F_2|^2 + a^*F_2 + aF_2^*$$
, (3.55) а энергия

$$W_2 := T_2 E_2 = T_2 |\alpha|^2 + T_2 |F_2|^3 + T_2 a^* F_2 + T_2 a F_2^*, (3.56)$$

где  $T_2$ — время второго экспонирования. Полная энергия, падающая на пластинку, равна

$$\mathbf{W} = \mathbf{W}_1 + \mathbf{W}_2. \tag{3.57}$$

Если мы не выходим за пределы линейного участка кривой фиг. 3.3, то амплитудное пропускание  $t_N$  голограммы [см. (3.5)] запишется в виде

$$\begin{array}{l} t_{N}-t_{0}-\beta \left[T_{1}\left|F_{1}\right|^{2}+T_{2}\left|F_{2}\right|^{2}+a^{*}\left(T_{1}F_{1}+T_{2}F_{2}\right)+\right.\\ \left.+a\left(T_{1}F_{1}^{*}+T_{2}F_{2}^{*}\right)\right]. \end{array} \tag{3.58}$$

Если осветить голограмму волной  $a(\eta, \xi)$ , то амплитуда света главного изображения (третий член выражения в квадратных скобках) будет пропорциональна сумме  $T_1F_1+T_2F_2$ . Мы получим, таким образом, два мнимых изображения,  $T_1F_1$  и  $T_2F_2$ , которые могут интерферировать. Если объект A представляет собой пластинку переменной толшины e с показателем преломления n, мы будем наблюдать вариации ее оптической толшины (n-1)e. Здесь можно отметнть следующий замечательный факт:  $\partial e$  волны  $F_1$  и  $F_2$ , зарегистрированные в разные моменты времени, могут тем не менее интерферировать\*.

Если теперь осветить голограмму волной  $a^*(\eta, \xi)$ , то восстановятся два действительных изображения,  $T_1F_1^*$  и  $T_2F_2^*$ , которые могут интерферировать. Этим изображениям соответствует четвертое слагаемое в квадратных скобках в (3.58). Полученные результаты носят общий характер. Экспонируем пластинку

N раз подряд, используя разные объекты, но один и тот же когерентный фон. Во время первого экспонирования амплитуда волны, испускаемой объектом, в плоскости пластинки равна  $F_1(\eta, \xi)$ , во время второго экспонирования она равна  $F_2(\eta, \xi)$  и т. д. Выражение (3.58) примет тогда вид

ГЛАВА З

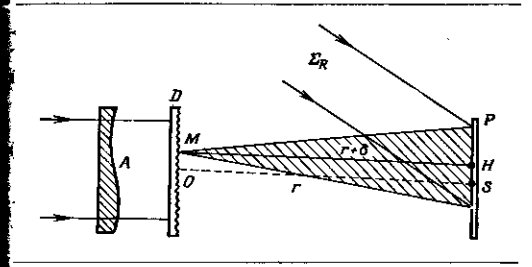
$$t_N = t_0 - \beta \left[ \sum_{1}^{N} T |F|^2 + a^2 \sum_{1}^{N} TF + a \sum_{1}^{N} TF^2 \right].$$
 (3.59)

Если голограмма освещается плоской волной  $a(\eta, \xi)$ , то член  $a^*\sum_{i=1}^{\infty}TF$  описывает результат интерференции N действительных изображений:  $T_1F_1^*$ ,  $T_2F_2^*$  и т. д. Следует отметить, что в эксперименте по схеме фиг. 3.9 для восстановления полного изображения поверхности прозрачного объекта A необходимо использовать всю поверхность голограммы. Действительно, прозрачный объект A практически не рассеивает света, значит свет от некоторой точки M объекта A (фиг. 3.9) попадет только в точку N фотопластинки, лежащую на пути распространения геометрического луча. Наблюдать мнимые изображения можно так, как показано на фиг. 2.36.

# § 7. ГОЛОГРАФИЧЕСКАЯ ИНТЕРФЕРОМЕТРИЯ, ИСПОЛЬЗУЮЩАЯ МАТОВЫЕ СТЕКЛА $^{1}$ )

Рассмотрим прозрачный объект A (фиг. 3.11), освещенный параллельным пучком света. Пусть это будет, например, плоскопараллельная стеклянная пластинка неоднородной толщины. Сразу после объекта A поместим матовое стекло D, затем на некотором расстоянин от него — фотопластинку P, на которой будем

регистрировать голограмму. Как обычно,  $\Sigma_R$ — опорная волна, падающая на фотопластнику P. Пусть M — некоторая точка диффузора, а H — некоторая точка фотопластники P. В дальнейшем полагаем, что



🍅 и г. 3.11. Интерферометрия с помощью рассеивающего экрана D.

расстояние между матовым стеклом D и фотопластинкой P много больше их линейных размеров. Будем считать, что положение точки H фиксировано, а точка M может занимать на диффузоре любое положение, и зададимся целью вычислить амплитуду света, дифрагированного матовым стеклом, в плоскости пластинки P. Вследствие измененяя толщины диффузора D расстояние от его различных точек M до пластинки Pраспределено хаотически вокруг среднего значения r. Положим

$$\overline{MH} = r + \delta, \tag{3.60}$$

где  $\delta$  — отклонение расстояния MH от среднего знанения r за счет шероховатости матового стекла. В отсутствие объекта A амплитуда света, дифрагирован-

<sup>&</sup>lt;sup>1</sup>) Cm, [24, 191].

вого точкой M в точку H, будет равна

$$\frac{1}{\hbar r} \exp{(jKr + j\Phi)}, \tag{3.61}$$

где величина  $\Phi = K\delta$  описывает флуктуации фазы за счет шероховатости диффузора. Если теперь поместить в параллельный падающий пучок объект A, то он будет вносить в точке M дополнительный сдвиг фазы  $\Phi$ , так что амплитуда волны, дифрагированной этой точкой в точку H, будет равна

$$-\frac{1}{j\lambda T}e^{j(\varphi+\Phi)}e^{jKr}.$$
 (3.62)

Для полной гмплитуды световой волны, дифрагированной диффузором, в точке H в соответствии с принципом Гюйгенса — Френеля получим выражение

$$F_{\Gamma}(\eta, \xi) = \frac{e^{iKt}}{jkr} \iint e^{i(\varphi+\Phi)} \, dy \, dz. \tag{3.63}$$

Если  $a(\eta, \xi)$  — комплексная амплитуда когерентной волны в точке H, то освещенность фотопластинки составит

TABLET
$$E_1 = (a + F_1)(a^* + F_1^*) = |a|^2 + |F_1|^2 + a^*F_1 + aF_1^* \quad (3.64)$$

Уберем объект A и зарегистрируем вторую голограмму. Амплитуда света, дифрагированного диффузором, в плоскости P в этом случае равна

$$F_{2}(\eta, \xi) = \frac{e^{iKr}}{j\lambda r} \iint e^{i\Phi} \, dy \, dz, \qquad (3.65)$$

а освещенность фотопластинки —

a ocsementation deformable 
$$E_2 = (a + F_2)(a^* + F_2^*) - |a|^2 + |F_2|^2 + a^*F_2 + aF_2^*. (3.66)$$

Если время экспозиции T одно и то же как при экспонировании пластинки в присутствии объекта A ,

так и без него, то энергия, падающая на пластинку, будет равна  $W=(E_1+E_2)T$ . Считая по-прежнему, что мы находимся на линейном участке характеристической кривой (фиг. 3.3), можно записать амплитудное пропускание  $t_N$  голограммы

$$t_{N} = t_{0} - \beta' \left[ |F_{1}|^{2} + |F_{2}|^{3} + a^{*}(F_{1} + F_{2}) + a(F_{1}^{*} + F_{2}^{*}) \right].$$
(3.67)

Третий член в квадратных скобках соответствует восстановленному мнимому изображению диффузора, структуру которого мы исследуем. Из (3.63) и (3.65) получим

$$F_1 + F_2 = \frac{e^{jK\dot{r}}}{j\lambda\dot{r}} \iint (1 + e^{j\phi}) e^{j\Phi} dy dz.$$
 (3.68)

Амплитуда света в каждой точке восстановленного изображения матового стекла с точностью до постоянного множителя равна

$$\mathcal{A} = (1 + e^{i\varphi}) e^{i\Phi}, \qquad (3.69)$$

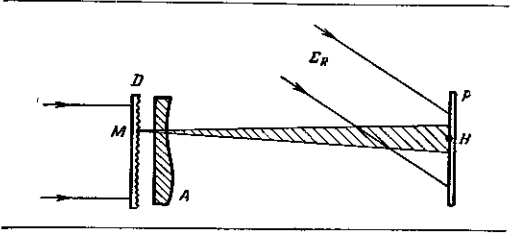
а интенсивность -

$$I = \mathcal{A}\mathcal{A}^* = \cos^2\frac{\varphi}{2} . \tag{3.70}$$

Мы увйдим, следовательно, спроектированную на диффузор интерференционную картину, характерную для неоднородного объекта А. Если п — показатель превомления пластинки А, а е — ее толщина, то интерференционные полосы будут представлять собой линии равных оптических путей:

$$(n-1)e$$
 — const.

∴ Преимущество этого метода перед голографической интерферометрией без рассенвающих экранов состоит втом, что мы можем использовать для восстановления макую-нибудь часть голограммы. Действительно, каждая точка M диффузора посылает дифрагированный свет на всю поверхность голограммы. Мы можем восстановить изображение произвольной точки M, т. е. изображение диффузора, не используя всю поверхность голограммы (как это приходится делать в обычном методе, без диффузора, при направленном излучении; см. гл. 3, § 6). Мнимое изображение можно, следовательно, рассматривать непосредственно глазом, без вспомогательной линзы. Следует отметить, что хотя свет, дифрагированный диффузором, деполяризован \*, а когереитное излучение лазера поляризовано, нет



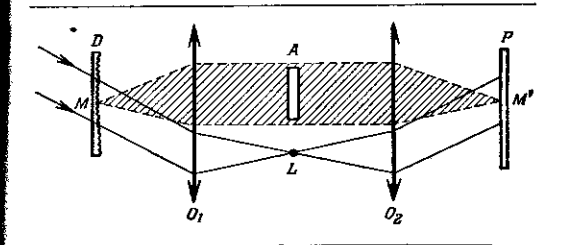
Ф и г. 3.12. Фазовый объект помещен между диффузором и фотопластинкой.

никакой необходимости поляризовать рассеянный диффузором свет, помещая поляризатор в дифрагированный пучок. В самом деде, мы можем разложить поляризованные колебания когерентного фона в двух взаимно перпендикулярных направлениях, составляющих углы 45° с направлением поляризации колебаний. Естественный свет, рассеянный диффузором, можно представить в виде суммы колебаний, поляризованных в тех же двух взаимно перпендикулярных направлениях. На голограмме будут зарегистрированы две идентичные, но некогерентные интерференционные картины. Однако при восстановлении они станут когерентными, так что интерференция будет отчетливо видна.

Наконец, можно поместить прозрачный объект между матовым стеклом и голограммой, как показано на фиг. 3.12. При восстановлении глаз диафрагмирует голограмму таким образом, что при наблюдении мнимого изображения в каждой точке изображения диффузора линии равной разности хода достаточно хорошо различимы\*.

# § 8. ГОЛОГРАФИЧЕСКАЯ ИИТЕРФЕРОМЕТРИЯ, ИСПОЛЬЗУЮЩАЯ РАССЕИВАЮЩИЕ ЭКРАНЫ С БОЛЬШИМ КОЭФФИЦИЕНТОМ НАПРАВЛЕННОГО ПРОПУСКАНИЯ 1)

Бэрч [349, 350] создал первый интерферометр, использующий диффузоры с большим коэффициентом направленного пропускания. Применение таких диффузоров в голографической интерферометрии пред-



Ф и г. 3.13. Схема голографической интерферометрии, в которой в качестве светоделителя используется рассеивающий экран, имеющий большой коэффициент направленного пропускания.

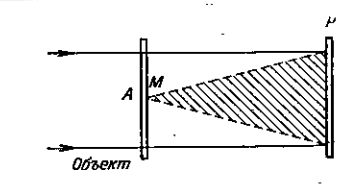
<sup>1)</sup> C<sub>M</sub>. [98].

ставляет особый интерес. Схема, предложениая Дж.  $\Gamma$ ейтсом, показана на фиг. 3.13. Диффузор D находится в фокусе объектива  $O_1$ , а фотопластинка P — в фокусе объектива  $O_2$ . Пучок, прошедший сквозь D без отклонений, образует в точке L фокальной плоскости объектива О, изображение источника света. Это изображение находится в фокусе объектива  $O_2$ . Произвольная точка М диффузора D рассеивает свет, покрывающий всю поверхность прозрачного объекта A, который мы хотим исследовать. Пластинка P регистрирует голограмму объекта A, причем L служит когерентным опорным источником. Делают два снимка подряд. Один с объектом А, другой без объекта \*. Полученная голограмма позволяет определить изменение оптических путей световых лучей при прохождении объекта. Можно получить тот же результат другим способом (интерферометрия в реальном времени). Зарегистрируем голограмму в отсутствие объекта А. Если при восстановлении, не смещая объекта, точно возвратить голограмму на прежнее место, то мы сможем непосредственно наблюдать интерференционные полосы, соответствующие изменению оптических путей, от момента регистрации голограммы до момента наблюдения\*\*.

#### § 9. НЕСКОЛЬКО ОПЫТОВ, ОСНОВАННЫХ НА ГАВОРОВОЙ ГОЛОГРАФИИ 1)

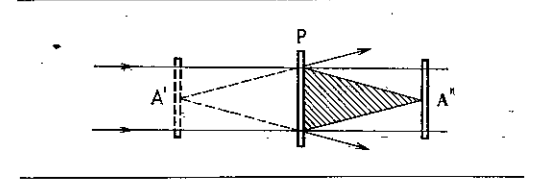
На фиг. 3.14 показана принципиальная схема регистрации габоровых голограмм. Если осветить объект A нараллельным монохроматическим пучком света, то большая часть светового пучка будет проходить сквозь объект A без искажения. Меньшая же часть света будет рассеиваться на амплитудных неоднородностях,

которые и образуют амплитудный объект в собственном смысле слова. Свет, проходящий сквозь объект без изменения ваправления, образует когерентный



 $\Phi$  и г. 3.14. Регистрация габоровой голограммы объекта A .

фон, подобно тому, как его образует волна  $\Sigma_R$  (фиг. 3.2, 3.8, 3.10 и 3.11). Только в данном случае это — волна, прошедшая сквозь некоторые участки самого объекта.

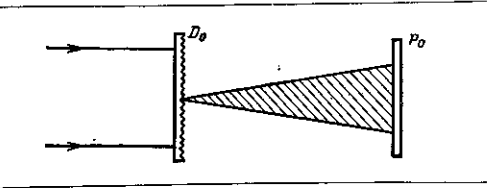


Ф и г. 3.15. Восстановление двух изображений, А' и А".

Ова интерферирует с волнами, дифрагированными разиыми точками объекта A (например, точкой М). Если после проявления пластинки осветить голограмму, как и при регистрации, параллельным пучком света, нормальным к плоскости пластинки (фиг. 3.15), то

<sup>&</sup>lt;sup>1</sup>) Cm. [58, 59].

мы получим два изображения — мнимое A' и действительное A'', — симметричных относительно плоскости голограммы  $^{1}$ ).

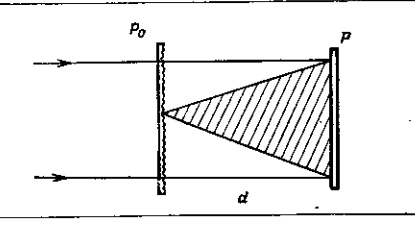


Ф н г. 3.16. Получение диффузора с большим коэффициентом направленного пропускания.

Для того чтобы осуществить последующие опыты, нам необходим диффузор с большим коэффициентом направленного пропускания. Такой диффузор легко получить, как показано на фиг. 3.16. Матовое стекло  $D_0$  освещают пучком света от лазера. На некотором расстоянии от него, примерно в 30—40 см, помещают фотопластинку  $P_0$ . После проявления пластинки получаем негатив с малыми изменениями коэффициента пропускания. Этот негатив мы и будем использовать в дальнейшем в качестве диффузора.

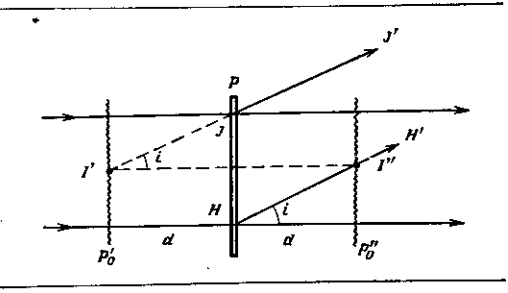
Первый опыт. Освещают диффузор  $P_0$  и фотопластинку P параллельным монохроматическим пучком и делают единственный снимок (фиг. 3.17). Полученный негатив представляет собой габорову голограмму, которая восстанавливает два идентичных изображения диффузора  $P_0$ . Рассмотрим два луча, диф

рагированных в точках J и H голограммы (фиг. 3.18). Луч JJ' кажется исходящим из точки I' мнимого изображения диффузора  $P_0$ . Луч HH' проходит через



ф н г. 3.17. Получение габоровой голограммы диффузора.

точку I'' действительного изображения диффузора  $P_0^*$ . Если I'и I''— изображения одной и той же точки диффузора, то лучи JJ' и HH' могут интерферировать.



Фиг. 3.18. Схема наблюдения интерференции минимого и действительного изображений диффузора, восстановленных габоровой голограммой.

<sup>1)</sup> См. § 3 настоящей главы.

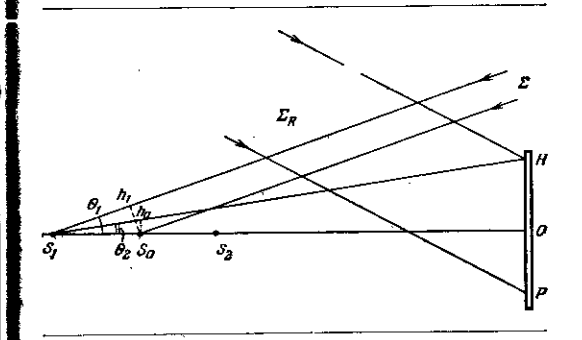
Простой расчет показывает, что разность хода лучей JJ' и HH', составляющих малый угол i с направлением падающего параллельного пучка, равна  $2i^2d$ , где d — расстояние от диффузора до фотопластинки. Рассматривая удаленный источник сквозь голограмму P, мы увидим кольца, распределение интенсивности в которых меняется по закону  $\cos^2(2\pi i^2d/\lambda)$ . Эти кольца видны в белом свете и очень красивы.

Второй опыт. Этот опыт ставим по той же схеме, но делаем ряд последовательных снимков, каждый раз меняя расстояние d на величину  $\varepsilon$ . После проявления голограмма восстанавливает целый ряд одинаковых диффузоров. Если рассматривать сквозь голограмму удаленный точечный источник, то мы увидим очень тонкие кольца, имеющие такой же вид, как при многолучевой интерференции в эталоне Фабри — Перо. Это явление тоже можно наблюдать в белом свете.

Третий опыт. Заменим теперь беспорядочно рассеивающий диффузор двумерной решеткой с большим коэффициентом пропускания. Если дифрагирующие элементы решетки не очень малы, то они будут рассеивать свет по всей поверхности фотопластинки. Экспонируем пластинку несколько раз подряд, изменяя каждый раз расстояние между решеткой и фотопластинкой. После проявления голограмма восстановит целый ряд плоских решеток, которые в совокупности образуют трехмерную решетку. Рассматривая удаленный точечный источник сквозь голограмму, мы будем наблюдать явление дифракции на трехмерной решетке. Можно скомбинировать разные типы решеток так, чтобы при восстановлении получилась структура, подобная кристаллу, и наблюдать явление дифракции на этой оптической модели кристалла,

#### § 10. ГОЛОГРАФИРОВАНИЕ ДВИЖУЩИХСЯ ОБЪЕКТОВ 1)

Рассмотрим схему, изображенную на фиг. 3.19. Для простоты в качестве объекта взят точечный источник  $S_n$ . Он освещает фотопластинку, находящуюся



ф и г. 3.19. Регистрация голограммы движущегося объекта.

в плоскости ( $\eta$ ,  $\xi$ ), на которую также непосредственно падает когерентная волна  $\Sigma_R$ . Во время регистрации точечный источник  $S_0$  перемещается, и мы хотим узнать, что получится при восстановлении. Амплитуда света, излучаемого точечным источником  $S_0$ , в некоторой точке H с координатами ( $\eta$ ,  $\xi$ ) может быть записана в виде

$$\frac{\exp\left(iK\overline{S_0H}\right)}{i\lambda S_0\overline{H}}.$$
 (3.71)

Точка  $S_{m 0}$ , которая может быть, например, точкой какого-нибудь рассе:вающего свет объекта, освещается

<sup>1)</sup> См. литературу к гл. 2, § 18.

личину

параллельным пучком света  $\Sigma$ , направление которого составляет угол  $\theta_1$  с направлением  $S_0O$ . Пусть точка  $S_0$  совершает синусоидальные колебания между двумя крайними положениями  $S_1$  и  $S_2$ , причем  $p_0 = S_0S_1 = S_0S_2$ . Мы считаем, что расстояние  $S_1S_2$  мало по сравнению с  $S_0O$  (на фиг. 3.19 оно показано в увеличенном виде). Поэтому прямые  $S_1H$ ,  $S_0H$  и  $S_2H$  образуют практически один и тот же угол  $\theta_2$  с направлением  $S_0O$ . Когда светящаяся точка переходит из положения  $S_0$  в положение  $S_1$ , оптический путь лучей, испускаемых ею в направлении пластинки P, возрастает на ве-

ГЛАВА 3

$$\overline{S_1 h_1} + \overline{S_1 h_0} = p_0 (\cos \theta_1 + \cos \theta_2). \tag{3.72}$$

Он уменьшается на ту же величину, когда светящаяся точка переходит из  $S_0$  в  $S_2$ . Если  $\overline{S_0H}=p$ , то можно записать амплитуду света в точке H:

$$F(\eta, \xi, t) = \exp\{jK[p + p_0(\cos\theta_1 + \cos\theta_2)\cos(\omega t + \varphi)]\};$$
 (3.73)

 $2\pi/\omega$  — период колебаний точки  $S_{m o}$  и  $\omega$ — круговая частота этих колебаний.

Так как свет монохроматичен, световые колебания, приходящие в точку H от  $S_0$ , можно представить в виде  $F(\eta, \xi, t)e^{i \pi r v t}$ . (3.74)

где  $\nu$  — частота используемого света. Для создания когерентного фона используется монохроматическая волна  $\Sigma_R$  с той же самой частотой  $\nu$ . Световые колебания в точке H, соответствующие опорной волне, запишем в виде

$$a(\eta, \xi) e^{i2\pi vt};$$
 (3.75)

тогда интенсивность будег равна

$$E = (a+F)(a^*+F^*) = |a|^3 + |F|^3 + a^*F + aF^*$$
. (3.76) Энергия, падающая на фотопластнику за время эк-

спонирования T,

$$W = \int_{-T/2}^{T/2} E dt = T |a_i|^2 + \int_{-T/2}^{T/2} |F|^2 dt + a^* \int_{-T/2}^{T/2} F dt + a \int_{-T/2}^{T/2} F^* dt.$$
(3.77)

На основании (3.74) и (3.75) можно записать третий член уравнения (3.77), соответствующий мнимому изображению источника,

$$a^* \int_{-T/2}^{T/2} F dt = a^* \int_{-T/2}^{T/2} F(\eta, \xi, t) dt;$$
 (3.78)

учитывая (3.73), выражение (3.78) можно переписать так:

$$a^*e^{jKp} \int_{-T/2}^{T/2} \exp\left[jKp_0 \left(\cos\theta_1 + \cos\theta_2\right)\cos\left(\omega t + \varphi\right)\right] dt. \tag{3.79}$$

После разложения в ряд получим \*  $\exp \left[ jKp_0 \left( \cos \theta_1 + \cos \theta_2 \right) \cos \left( \omega t + \phi \right) \right] =$   $= J_0 \left[ Kp_0 \left( \cos \theta_1 + \cos \theta_2 \right) \right] +$ 

$$+2\sum_{n=1}^{\infty} j^{n}J_{n} [Kp_{0}(\cos\theta_{1}+\cos\theta_{2})] \cos n (\omega t+\varphi). \quad (3.80)$$

Мнимое изображение описывается членом

$$a^{*}e^{jKp} \int_{-T/2}^{T/2} \left\{ J_{0} \left[ K p_{0} \left( \cos \theta_{1} + \cos \theta_{2} \right) \right] + 2 \sum_{n=1}^{\infty} j^{n} J_{n} \left[ K p_{0} \left( \cos \theta_{1} + \cos \theta_{2} \right) \right] \cos n \left( \omega t + \varphi \right) \right\} dt.$$
(3.81)

Если время экспозиции T гораздо больше  $2\pi/\omega$ , второе слагаемое в (3.81) практически равно нулю:

$$\sum_{n=1}^{\infty} i^{n} J_{n} \left[ K p_{0} \left( \cos \theta_{1} + \cos \theta_{2} \right) \right] \int_{-T/2}^{T/2} \cos n \left( \omega t + \varphi \right) dt = 0.$$
(3.82)

Таким образом, амплитуда света мнимого изображения просто пропорциональна

$$J_0[Kp_0(\cos\theta_1+\cos\theta_2)]. \tag{3.83}$$

Освещенность мнимого изображения будет пропорциональна  $J_0^*|Kp_0(\cos\theta_1+\cos\theta_2)|$  или просто  $J_0^2(2Kp_0)$ , если углы  $\theta_1$  и  $\theta_2$  малы. Таким образом, интенсивность в некоторой точке изображения вибрирующего протяженного объекта определяется амплитудой  $p_0$  механических колебаний в этой точке\*.

Соотношение (3.82) представляет собой общий результат и может быть записано в другом виде. Если объект движется произвольным образом, то по теореме Фурье\*\*

$$F(\eta, \xi, t) = \int_{-\infty}^{\infty} f(y, z, v') e^{j2\pi v't} dv',$$
 (3.84)

где f(y, z, v') — амплитуда составляющей движения объекта, имеющей частоту v'.

Если ввести прямоугольную функцию g(t):

$$g(t) = \begin{cases} 1, & |t| \leq \frac{T}{2}, \\ 0, & |t| > \frac{T}{2}, \end{cases}$$
 (3.85)

то выражение (3.78) для освещенности мнимого изображения можно переписать в виде

$$a^* \int_{-T/2}^{T/2} F(\eta, \xi, t) dt = a^* \int_{-\infty}^{\infty} g(t) F(\eta, \xi, t) dt$$
 (3.86)   
н, далее, учитывая теорему Фурье (3.84),

$$a^{*} \int_{-\infty}^{\infty} g(t) F(\eta, \xi, t) dt =$$

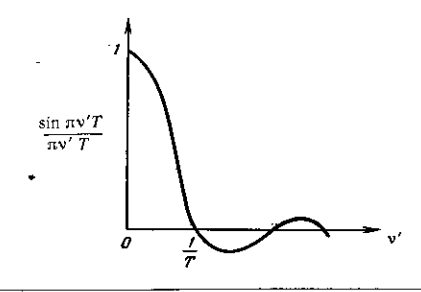
$$= a^{*} \int_{-\infty}^{\infty} g(t) \left[ \int_{-\infty}^{\infty} f(y, z, v') e^{j2\pi v't} dv' \right] dt. \quad (3.87)$$

Изменим здесь порядок интегрирования и возьмем интеграл, стоящий в скобках:

$$a^* \int_{-\infty}^{x} f(y, z, v') \left[ \int_{-\infty}^{x} g(t) e^{-i2\pi v't} dt \right] dv' =$$

$$= Ta^* \int_{-\infty}^{\infty} \frac{\sin \pi v'T}{\pi v'T} f(y, z, v') dv'. \tag{3.88}$$

Амплитуда f(y, z, v') составляющей движения объекта с частотой v' в некоторой точке  $(\eta, \xi)$  должна быть умножена на  $\sin (\pi v'T)/(\pi v'T)$ . Этот множитель осуществляет временное преобразование (фиг. 3.20).



 $\Phi$  и г. 3.20. Функция временного преобразования в эксперименте фиг. 3.19.

Если время экспозиции T много больше периода  $2\pi/\omega$ , соответствующего частоте  $\mathbf{v}'$ :

$$T \gg \frac{1}{v'} = \frac{2\pi}{\omega}$$
,  $v' \gg \frac{1}{T}$ , (3.89)

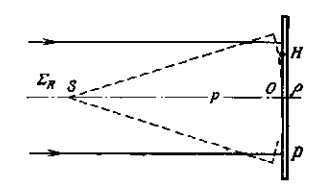
то составляющую движения объекта с частотой у

мы практически наблюдать не сможем. Это как раз рассмотренный выше случай синусоидального движения точечного источника Ѕ (фиг. 3.19). Можно наблюдать только картину, соответствующую члену с  $J_{0}(2Kp_{0})$ , не зависящему от времени.

#### § 11. ЗОННАЯ РЕШЕТКА В ГОЛОГРАФИИ 1)

В гл. 1 мы использовали зонную решетку для того, чтобы дать простое объяснение физического принципа голографии. Уточним теперь несколько вопросов. касающихся образования изображений с помощью синусоидальной зонной решетки [351].

Чтобы осуществить синусоидальную зонную решетку, осветим фотопластинку Р (фиг. 3.21) плоской



Ф и г. 3.21. Регистрация круглой зонной решетки, у которой коэффициент пропускания изменяется по закону типа  $\cos^2 x^2$ .

волной  $\Sigma_R$  и сферической волной от точечного источника S, расположенного на расстоянии p от пластинки Р. Эти волны когерентны, и разность их хода равна б. Если они имеют в плоскости фотопластинки одинаковые амплитуды, то освещенность в точке H, находящейся на расстоянии р от точки О, будет равна

$$E = \cos^2\left[\frac{\pi}{\lambda}\left(\delta + \frac{\rho^2}{2\rho}\right)\right] \tag{3.90}$$

или, с точностью до постоянного множителя,

$$E = 1 + \cos\left[K\left(\delta + \frac{\rho^2}{2p}\right)\right]. \tag{3.91}$$

За время экспозиции Т энергия W, падающая на пластинку, составит

$$W = ET = T \left\{ 1 + \cos \left[ K \left( \delta + \frac{\rho^2}{2\rho} \right) \right] \right\}. \quad (3.92)$$

Для того чтобы не выйти за пределы линейного участка кривой  $t_N = f(W)$  (фиг. 3.22), связывающей амплитуду света, прохо-

дящего сквозь негатив, сэнергией, падающей на фотопластинку, нужно, чтобы освещенность Е пластинки всюлу отличалась от нуля. Если т - константа, большая единицы, то можно написать

$$W = T \left\{ m + \cos \left[ K \left( \delta + \frac{\rho^2}{\rho} \right) \right] \right\}. \quad (3.93)$$

Положим

$$W_0 = Tm. \quad (3.94)$$

Если в - наклоп (угло-. вой коэффициент) прямолинейного участка кривой  $t_N = f(W)$  (фиг. 3.22), то ам-

Фиг. 3.22. Кривая тудного пропускания

<sup>1)</sup> CM, [77].

плитуда света, прошедшего сквозь негатив, будет равна

$$t_N = t_0 - \beta (W - W_0),$$
 (3.95)

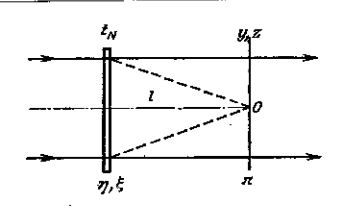
где  $t_0$ — амплитуда, соответствующая  $W_0$ . Из (3.93) получим

$$t_N = t_0 - \beta T \cos \left[ K \left( \delta + \frac{\rho^2}{2p} \right) \right]$$
 (3.96)

или, полагая  $\beta' = \beta T$ ,

$$t_N = t_0 - \beta' \cos \left[ K \left( \delta + \frac{\rho^2}{2p} \right) \right]. \tag{3.97}$$

Осветим голограмму паралельным пучком лучей (фиг. 3.23) и будем наблюдать интерференционную картину в плоскости л., расположенной на расстоянии *l* 



 $\Phi$  и г. 3.23. Расчет амплитуды в точке (y,z) плоскости  $\pi$ , освещенной светом, дифрагированным круглой решеткой с амплитудным пропусканием  $t_N$ .

от голограммы. В некоторой точке экрана  $\pi$  амплитуда дается формулой Френеля — Кирхгефа  $^{1}$ )

$$f(y, z) = \frac{e^{jKt}}{pM} \exp \left[ j \frac{K}{2I} (y^2 + z^3) \right] \times \\ \times \iint t_N \exp \left[ j \frac{K}{2I} (\eta^2 + \xi^2) \right] \exp \left[ -j \frac{K}{I} (y\eta + z\xi) \right] d\eta d\xi;$$
(3.98)

η, § — координаты произвольной точки голограммы, у, г — координаты точки в плоскости наблюдения π. На оси зонной решетки, которую мы получили на негативе, т. е. в точке O, амплитуда может быть записана на основании (3.98) с точностью до постоянного множителя в виде

$$f(0, 0) = \iint t_N \exp\left(j\frac{K}{2t}\rho^2\right)\rho d\rho d0,$$
 (3.99)

где

$$\rho^2 = \eta^2 = \xi^2.$$
(3.100)

153

Используя (3.97), получаем

$$f(0, 0) = \frac{1}{2} \iint \left\{ t_0 - \beta' \cos \left[ K \left( \delta + \frac{\rho^2}{2p} \right) \right] \right\} \times \exp \left( j \frac{K}{2l} \rho^2 \right) d\rho^2 d\theta.$$
 (3.101)

Для зонной решетки радиусом р₀

$$f(0, 0) = \pi \int_{0}^{\rho_{0}} \left\{ t_{0} - \beta' \cos \left[ K \left( \delta + \frac{\rho^{2}}{2\rho} \right) \right] \right\} \times \exp \left( j \frac{K}{2l} \rho^{2} \right) d\rho^{2}.$$
 (3.102)

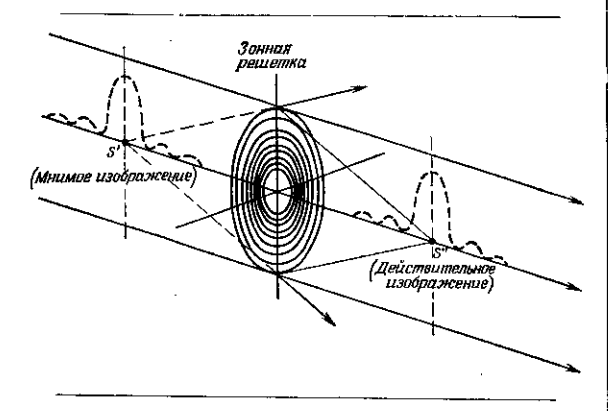
Отсюда

$$f(0, 0) = \pi t_0 \rho_0^2 \exp\left(j\frac{K}{4t}\rho_0^2\right) \frac{\sin\frac{K\rho_0^2}{4t}}{\frac{K\rho_0^2}{4t}} - \frac{\pi \beta' \rho_0^2}{2} \exp\left\{jK\left[\left(\frac{1}{p} + \frac{1}{t}\right)\frac{\rho_0^2}{4} + \delta\right]\right\} \times \frac{\sin\frac{K}{4}\left(\frac{1}{p} + \frac{1}{t}\right)\rho_0^2}{\frac{K}{4}\left(\frac{1}{p} + \frac{1}{t}\right)\rho_0^2} - \frac{\pi \beta' \rho_0^2}{2} \times \frac{\sin\frac{K}{4}\left(\frac{1}{p} + \frac{1}{t}\right)\rho_0^2}{2} = \frac{\pi \beta' \rho_0^2}{2} \times \frac{\sin\frac{K}{$$

$$\times \exp\left\{-jK\left[\left(\frac{1}{\rho}-\frac{1}{l}\right)\frac{\rho_{0}^{2}}{4}+\delta\right]\right\}\frac{\sin\frac{K}{4}\left(\frac{1}{\rho}-\frac{1}{l}\right)\rho_{0}^{2}}{\frac{K}{4}\left(\frac{1}{\rho}-\frac{1}{l}\right)\rho_{0}^{2}}.$$
(3.103)

¹) См. гл. 5, § 1.

Первый член дает амплитуду плоской волны, которая проходит сквозь зонную решетку, не отклоняясь. При  $I = \infty$  этот член имеет максимум. Он соответствует классической картине дифракции Эйри. По условию, p здесь — отрицательная величина, так что второй



Ф и г. 3.24. Образование двух изображений S' и S" с помощью круглой решетки с амплитудным пропусканием, изменяющимся по закону типа  $\cos^2 x^2$ .

член дает амплитулу света для действительного изображения S'' при I=-p, а третий член дает амплитулу света для мнимого изображения S' при I=p (фиг. 3.24).

Изображения S' и S'' симметричны по отношению к голограмме. Так как изображения достаточно удалены друг от друга, их можно рассматривать отдельно. В окрестности мнимого изображения S' распределение

интенсивности вдоль оси описывается выражением

$$I_{S'} = \left[ \frac{\sin \frac{K}{4} \left( \frac{1}{\rho} - \frac{1}{l} \right) \rho_0^2}{\frac{K}{4} \left( \frac{1}{\rho} - \frac{1}{l} \right) \rho_0^2} \right]^2.$$
 (3.104)

Для распределения же интенсивности вдоль осн в окрестности действительного изображения имеем

$$I_{S''} = \left[ \frac{\sin\frac{K}{4} \left( \frac{1}{p} + \frac{1}{l} \right) \rho_0^3}{\frac{K}{4} \left( \frac{1}{p} + \frac{1}{l} \right) \rho_0^2} \right]^2.$$
 (3.105)

Если при восстановлении осветить голограмму пучком параллельных лучей, как и при регистрации, по взять при этом другую длину волны  $\mathcal{N}$ , то амплитуда (3.102) переиншется в виде

$$f(0, 0) = \pi \int_{0}^{0} \left\{ t_{0} - \beta' \cos \left[ K \left( \delta + \frac{\rho^{2}}{2p} \right) \right] \right\} \times \exp \left( i \frac{K'}{2i} \rho^{2} \right) d\rho^{2}, \tag{3.106}$$

где

$$K' := \frac{2\pi}{\lambda'} . \tag{3.107}$$

Выполняя в (3.106) интегрирование, находим

$$f(0, 0) = \pi t_0 \rho_0^2 \exp\left(j\frac{K'}{4l}\rho_0^2\right) \frac{\sin\frac{K'\rho_0^2}{4l}}{\frac{K'\rho_0^2}{4l}} - \frac{\pi \beta' \rho_0^2}{2} \exp\left\{jK\left[\left(\frac{1}{\rho} + \frac{K'}{Kl}\right)\frac{\rho_0^2}{4} + \delta\right]\right\} \times \frac{\sin\frac{K}{4}\left(\frac{1}{\rho} + \frac{K'}{Kl}\right)\rho_0^2}{\frac{K}{4}\left(\frac{1}{\rho} + \frac{K'}{Kl}\right)\rho_0^2} - \frac{\pi \beta' \rho_0^2}{2} \exp X$$

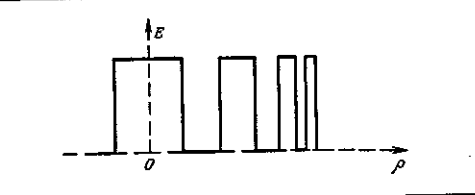
$$\times \left\{ -jK \left[ \left( \frac{1}{p} - \frac{K'}{Kl} \right) \frac{\rho_0^2}{4} + \delta \right] \right\} \frac{\sin \frac{K}{4} \left( \frac{1}{p} - \frac{K'}{Kl} \right) \rho_0^2}{\frac{K}{4} \left( \frac{1}{p} - \frac{K'}{Kl} \right) \rho_0^2} . \tag{3.108}$$

Пля мнимого изображения (последний член)

$$I = p \frac{\lambda}{\lambda'}. \tag{3.109}$$

Изображение приближается к голограмме, если длина волны при восстановлении больше, чем при регистрации.

Если профиль зонной решетки (коэффициент пропускания) отклоняется от закона (3.90), то с помощью



Ф и г. 3.25. Профиль круглой решетки Сорэ.

разложения в ряд можно представить исследуемую решетку в виде суперпозиции решеток с профилями типа (3.90). Например, для решетки Сорэ, коэффициент пропускания которой иллюстрируется фиг. 3.25, можво написать

$$t_N = a + \frac{2}{\pi} \Big[ \sin \pi a \cos b \rho^2 + \frac{1}{2} \sin 2\pi a \cos 2b \rho^2 + \dots \Big],$$
(3.110)

ОБРАЗОВАНИЕ ИЗОБРАЖЕНИЙ В ГОЛОГРАФИИ где a и b — константы, характеризующие решетку.

Произведя для каждого члена суммы расчет, подобный предыдущему, получим бесконечное число точечных изображений. Причем каждый член даст два изображения, аналогичных изображениям S' н S" фиг. 3.24.

В голографии эти изображения играют роль помех. Для того чтобы их не было, нужно чтобы пропускание всех зонных решеток, образованных на голограмме точками объекта, нигде не равнялось нулю [как, например, в случае решетки с профилем (3.93)]. Для того чтобы решетки, полученные в результате интерференции, были сравнительно слабо контрастными, нужно, чтобы амплитуда опорной волны, падающей прямо на голограмму, была больше амплитуды волны, испускаемой объектом.

#### использование электронных

#### ВЫЧИСЛИТЕЛЬНЫХ МАШИН

В ГОЛОГРАФИИ 1)

#### § 1. ВВЕДЕНИЕ

Поскольку голограмма, запечатленная на фотопластинке, есть не что иное, как неоднородное почернение пластинки, мы можем, естественно, создать такое почернение искусственно, т. е. синтезировать голограмму.

Искусственные голограммы позволяют расширить возможности классической голографии. Объект, голограмму которого мы хотим получить, может не существовать в действительности. Можно представить какой-нибудь объект, задав его положение и интенсивность света, испускаемого его точками. Полученная голограмма даст возможность визуализировать воображаемый объект в трех измерениях. Таким способом можно создать пространственные изображения математических фигур или представить предмет, который находится еще в процессе изготовления, не строя его материальной модели. В других областях искусственные голограммы дают возможность воссоздать

поверхности волнового фронта заданной формы, например поверхности фронта несферических волн, которые могут служить для контроля оптических элементов интерференционным методом. Искусственные голограммы предлагают оригинальные решения для оптической фильтрации и вообще для оптической обработки информации.

Для того чтобы нолучить искусственную голограмму, поступают следующим образом:

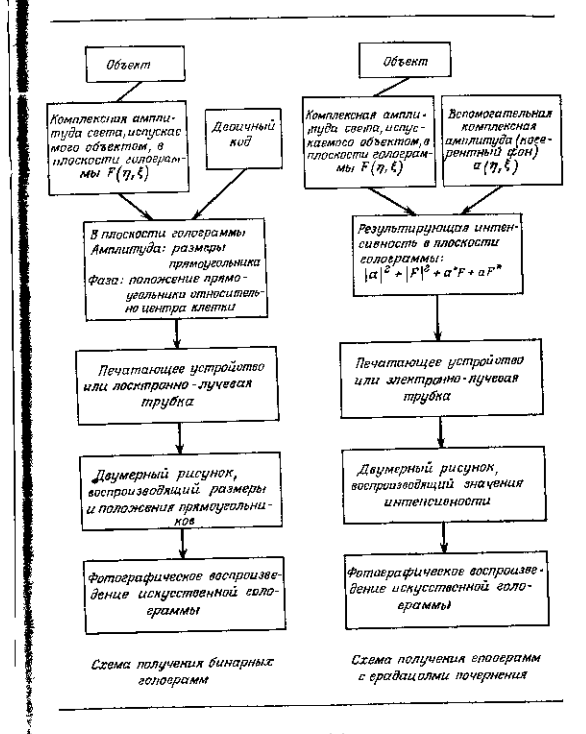
- 1) Задавшись объектом, голограмму которого нужно получить, рассчитывают комплексную амплитуду испускаемого им света в плоскости, находящейся на определенном расстоянии от него. Эта плоскость будет плоскостью голограммы. Расчеты производятся на электронной вычислительной машине.
- 2) Рассчитанная таким образом комплексная амплитуда кодируется так, чтобы она была действительной и положительной функцие й. Например, вычислительная машина производит сложение амплитуды света, испускаемого объектом с какой-нибудь комплексной амплитудой, которая играет роль когерентного фона. Результирующая интенсивность будет в этом случае действительной и положительной функцией.
- 3) Соответствующее устройство, управляемое электронной вычислительной машиной, изображает графически распределение значений этой функции в некоторой плоскости. Это может быть, например, электронно-лучевая трубка, печатающее устройство и т. п.
- 4) Полученный чертеж фотографируется; негатив и представляет собой синтетическую голограмму. Для того чтобы голограмма хорощо дифрагировала свет, нужно, чтобы структура чертежа была достаточно тонкой. Поэтому обычно фотографируют чертеж со значительным уменьшением.

<sup>&</sup>lt;sup>1</sup>) C<sub>M</sub>. [187, 1\*, 5\*, 11\*, 34\*, 323\*—328\*].

Комплексная амплитуда света, излучасмого объектом, в плоскости голограммы может кодироваться электронной вычислительной машиной разными способами.

- а) С помощью бинарной системы, когда распределение амплитуды и фазы света, испускаемого объектом, в плоскости голограммы представлено размерами и расположением черных и белых пятен. Полученная голограмма не похожа на экспериментальную, но картина дифракции на лей практически такая же.
- б) Суммируя комплексную амплитуду света, испускаемого объектом, с некоторой другой комплексной амплитудой (когерентный фон), электронная вычислительная машина находит результирующую интепсивность. Ее вариации и формируют структуру голограммы точно так же, как и в реальном эксперименте.
- в) Умножают функцию, описывающую фазу волны, испускаемой объектом, в плоскости голограммы на функцию, которая обращает фазу волны в нуль всякий раз, когда она проходит через значение 2л. Это может быть осуществлено электронной вычислительной машиной, и полученная голограмма даст единственное изображение объекта. Голограмма такого типа называется «кипоформ».

Возможности электронных відчислительных машин все же ограничены. Вышеу казанные расчеты могут быть выполнены лишь для конечного числа точек. Объект задан координатами определенного числа своих точек и амплитудами колебаний, испускаемых этими точками. Расчет комплексной амплитуды в плоскости голограммы осуществляется тоже для некоторого определенного числа точек, которое по меньшей мере равно числу заданных точек объекта. Рассмотрим, например, голограмму Фурье. Голографируемый



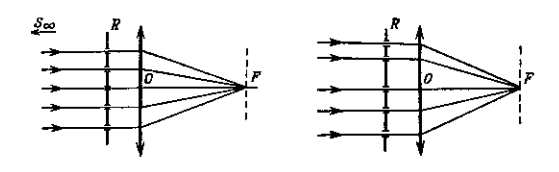
Фиг. 4.1.

объект имеет конечные размеры, а голограмма — ограниченный спектр пространственных частот. Благодаря этому комплексную амплитуду в плоскости голограммы можно точно рассчитать, исходя из ее дискретных значений во множестве эквидистантных точек. Комплексная амплитуда в промежуточных точках получается путем простой интерполяции.

Итак, следует рассмотреть три основных типа искусственных голограмм: бинарные голограммы, голограммы с несколькими уровнями витенсивности и голограммы типа «киноформ». Фиг. 4.1 иллюстрирует последовательность операций при получении голограмм первых двух типов.

#### § 2. БИНАРНЫЕ ФУРЬЕ-ГОЛОГРАММЫ

Рассмотрим в качестве примера получение бинарной синтезированной голограммы, описанное Ломаном и др. [186, 187].



Ф и г. 4.2. Образование нулевого порядка при дифракции света на решетке с эквидистантными штрихами.

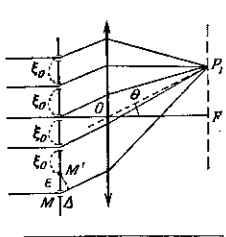
 Ф и г. 4.3. Образование нулевого порядка при дифракции света на решетке с неэквидистантными штрихами.

В обычной голограмме фазы регистрируются с помощью когерентного фона. В плоскости голограммы колебания, испускаемые объектом, интерферируют с

колебаниями когерентного фона. Изменения фаз волн, испускаемых объектом, преобразуются в изменсния интенсивности, которые регистрируются на фотопластинке. Непрерывное поле интенсивности нельзя воспроизвести механически, но можно заменить его большим количеством элементов, каждый из которых имеет определеные размеры и положение. После проявления фотопластинки бинарная голограмма ведет себя как непрозрачный экран с большим количеством отверстий, имеющих определенные размеры

и расположенных определенным образом. Естественно предположить, что амплитуда света, проходящего через данный участок голограммы, пропорциональна размерам отверстия. Что касается фазы, то, как мы увидим ниже, она определяется положением отверстия.

Сблоставим бинарную голограмму с решеткой. На фиг. 4.2 изображена решетка R, состоящая из отверстий, разделенных равными интервалами. Решетка освещена параллельным нучком света от точечного, бесконечно



Фит. 4.4. Образование максимума первого порядка решеткий, в которой один штрих смещен относительно регулярного положения.

света от точечного, бесконечно удаленного источника. Все лучи, образующие нулевой порядок (прямое изображение) F в фокусе объектива O, приходят в точку F в фазе. Ничего не изменится, если расстояния между отверстиями не будут равны друг другу (фиг. 4.3). Все лучи в точке F по-прежнему будут в фазе. Для максимумов других порядков это не так.

164

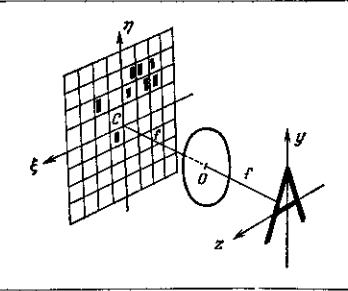
Возьмем, например, максимум первого порядка  $P_1$ (фиг. 4.4). Если ξ₀ — период нашей решетки, то разность хода между соседними лучами в направлении в, соответствующем максимуму первого порядка, будет равна

$$\theta_{S_0}^* - \lambda$$
. (4.1)

Пусть отверстие М смещено на в относительно отверстия M' решетки. В точке  $P_1$  разность хода луча, дифрагировавшего на отверстии М, и соседних лучей будет отличаться от  $\lambda$  на  $\Delta \!=\! \theta' \epsilon$  или, принимая во внимание (4.1), ва

$$\Delta = \varepsilon \frac{\lambda}{\xi_0} \ . \tag{4.2}$$

Всякое смещение отверстия по отношению к своему положению теоретическому (регулярному) разность хода  $\varepsilon \lambda/\xi_0$  и соответственно приводит к изме-

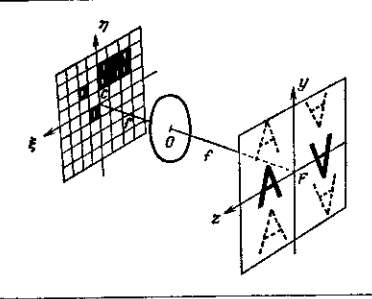


Ф и г. 4.5. Схема расчета бинарной голограммы объекта А.

нению фазы на  $2\pi\epsilon/\xi_0$ . Это и используется для регистрации бинарной голограммы.

Рассмотрим какой-нибудь объект, например букву A(фиг. 4.5). Сделаем его дискретным, т. е. заменим непрерывные линии, образующие объект, большим количеством точек, расположенных, однако, так близко одна от другой, чтобы глаз воспринимал линци непрерывными, как и прежде. Электронная вычислительная машина выполняет фурье-преобразование объекта, расположенного в плоскости уг. Само преобразование Фурье тоже дискретно, так как его рассчитывают для некоторого числа точек, по меньшей мере равного числу точек объекта. Для этого разбивают плоскость η, ξ на квадратные клетки, число которых обычно равно числу точек объекта, для которых мы выполняем фурье-преобразование. В каждой клетке есть небольшой черный прямоугольник на белом фоне. Размеры примоугольника проворциональны амплитуде в рассматриваемой точке, фаза же зависит от положения прямоугольника относительно центра клетки. Все множество маленьких черных прямоугольников нанесено на лист белой бумаги печатающим устройством вычислительной машины. Можно заменить печатающее устройство электронно-лучевой трубкой, на экране которой появится рисунок. Если сфотог рафировать его на фотопластинку, то после проявления получим бинарную голограмму, которая представляет собой непрозрачный экран с множеством маленьких прямоугольных отверстий, расположенных там, где находились черные прямоугольники. Осветим полученную таким образом голограмму параллельным пучком света, нормальным плоскости голограммы (фиг. 4.6). В точке F, лежащей на оси падающего пучка, смещение отверстий не сказывается. Поэтому мы наблюдаем в точке F изображение точечного источника М. Мы не можем этого утверждать относительно паправления 0, в котором находится максимум первого порядка. Угол  $0 = \lambda \xi$  соответствует периоду  $\xi_{\theta}$  повторения клеток. Максимум первого порядка восстанавливает изображение объекта, как, впрочем, и симметричный ему максимум.

Из самой бинарной структуры голограммы следует, что она дает также максимумы более высоких порядков. Восстановленные ими изображения показаны

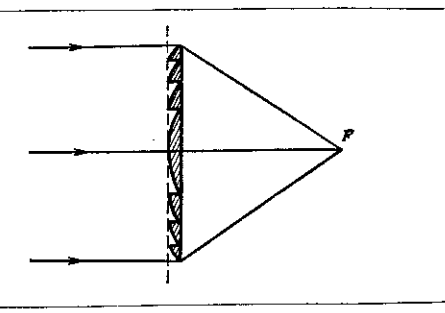


Фиг. 4.6. Восстановление изображений синтезированной бинарной голограммой.

пунктиром на фиг. 4.6. Следует отметить, что бинарный характер голограммы исключает трудности, связанные с необходимостью работать в пределах линейного участка характеристической кривой фотоэмульсии.

#### § 3. ГОЛОГРАММА С ГРАДАЦИЯМИ ИНТЕНСИВНОСТИ. КИНОФОРМ

После того, как электронная вычислительная машина определила значение комплексной амплитуды света, испускаемого объектом, в плоскости голограммы, она может сложить ее с вспомогательной комплексной амплитудой, которая играет роль опорного сигпада. Вычислительная машина рассчитывает результирующую интенсивность, распределение которой можно воспроизвести на печатающем устройстве или на экране электронно-лучевой трубки. Структура полученного изображения тем ближе к структуре реальной



Ф я г. 4.7. Лянза Френеля как прототип киноформа.

голограммы, чем больше число строк печатающего устройства или электронно-лучевой трубки. Фотография полученного изображения и есть голограмма.

Все голограммы восстанавливают два изображения объекта — действительное и мнимое. Голограммы тина «киноформ» восстанавливают только одно изображение. Это представляет тем больший интерес, что 
весь световой поток концентрируется на этом изображении.

Мы уже упоминали раньше о фазовых голограммах (гл. 2, § 14). Пусть мы получили с вычислительной машины чертеж с таким распределением почернения, что после отбеливания его пегатива возникло такое

веля (фиг. 4.7). Последняя есть плоская линза, тол-

шина которой меняется так, что изменяет фазу проходящей сквозь нее волны в пределах от 0 до  $2\pi$ .

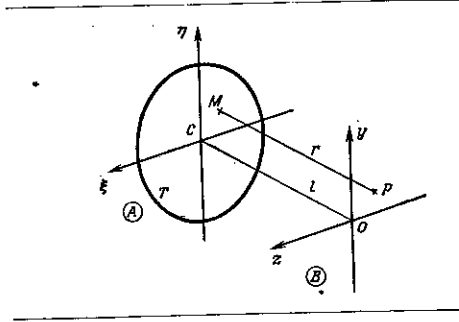
Можно считать линзу Френеля голограммой точечного объекта. Осветив ее параллельным пучком света, мы получим, очевидно, только одно изображение источника в точке F. Можно обобщить это на случай протяженного объекта. Тогда получается голограмма, называемая киноформ, которая ведет себя как суперпозиция линз Френеля и восстанавливает только одно, лействительное или миимое, изображение объекта. Глава 5

#### ОПТИЧЕСКАЯ ФИЛЬТРАЦИЯ

#### И РАСПОЗНАВАНИЕ ОБРАЗОВ

#### § 1. ФОРМУЛА ФРЕНЕЛЯ — КИРХГОФА <sup>1</sup>)

При изучении явления дифракции часто сталкиваются со следующей проблемой (фиг. 5.1). Известно комплексное распределение амплитуд  $F(\eta, \xi)$  в каком-



 $\Phi$  и г. 5.1. Расчет освещенности, создаваемой отверстием  $T_{\star}$ в гочке Р.

I) Cm. [14, 107, 208, 18\*].

нибудь отверстии T плоскости A. Нужно найти распределение амилитуд в плоскости B, находящейся на расстоянии l от A. Формула Френеля — Кирхгофа дает возможность решить такую задачу. Пусть  $\lambda$  — длина волны используемого света, а r — расстояние от некоторой точки  $M(\eta, \xi)$  плоскости A до точки P(y, z) илоскости B. Амплитуда f(y, z) в точке P равна

$$f(y, z) = \frac{1}{j\lambda} \iint_{T} F(\eta, \xi) \frac{e^{jKr}}{r} d\eta d\xi, \qquad (5.1)$$

где T — отверстие в плоскости A. Предполагается, что линейные размеры отверстия T малы по сравнению с расстоянцем t. В этом приближении

$$r = V \overline{l^2 + (y - \eta)^2 + (z - \xi)^2} \approx t \left[ 1 + \frac{1}{2} \left( \frac{y - \eta}{l} \right)^2 + \frac{1}{2} \left( \frac{z - \xi}{l} \right)^2 \right].$$
 (5.2)

Тогда выражение для амплитуды в точке P запишется в виде

$$f(y, z) = \frac{e^{jKt}}{j\lambda t} \iint_F F(\eta, \xi) \times \exp \left\{ j \frac{K}{2t} [(y-\eta)^2 + (z-\xi)^2] \right\} d\eta d\xi; \qquad (5.3)$$

r в знаменателе в (5.1) заменено на t. Амплитуду f(y,z) можно рассматривать как свертку \* двух функций и символически записать так:

$$f(y, z) = \frac{e^{jKt}}{j\lambda t} F(y, \xi) \otimes \exp\left[j\frac{K}{2t}(y^2 + z^2)\right]. \quad (5.4)$$

Возвращаясь к выражению (5.3) и полагая, что амплитуда  $F(\eta, \xi)$  тождественно равна нулю всюду, кроме отверстия T, получаем после раскрытия скобок в показателе экспоненты и вынесения за знак

витеграда множителя, не зависящего от переменных интегрирования:

$$f(y, z) = \frac{e^{jKT}}{jkT} \exp\left[i\frac{K}{2T}(y^2 + z^2)\right] \times \\ \times \int_{-\infty}^{\infty} F(\eta, \xi) \exp\left[i\frac{K}{2T}(\eta^2 - \xi^2)\right] \times \\ \times \exp\left[-i\frac{K}{T}(y\eta + z\xi)\right] d\eta d\xi.$$
 (5.5)

Теперь видво, что функция f(y, z) с точностью до множителя, стоящего перед интегралом, представляет собой преобразование Фурье\* функции  $F(\eta, \xi) \times \exp |j(K/2l)|$  ( $\eta^2 + \xi^2$ ). Если  $l \gg \frac{1}{2} K$  ( $\eta^2 + \xi^2$ ), то функция f(y, z) будет преобразованием Фурье функции  $F(\eta, \xi)$ , и мы переходим к дифракции Фраунгофера:

$$f(y, z) = ct \int_{-\infty}^{\infty} F(\eta, \xi) \exp\left[-f \frac{K}{l} (y\eta + z\xi)\right] d\eta d\xi. \quad (5.6)$$

#### § 2. ИЗМЕНЕНИЕ ФАЗЫ ВОЛНЫ →ПРИ ПРОХОЖДЕНИИ СКВОЗЬ ТОНКУЮ ЛИНЗУ¹)

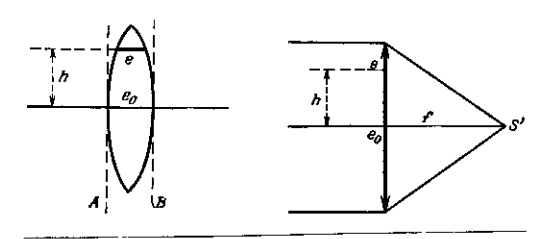
Рассмотрим линзу, толщина которой в центре равна  $e_0$  (фиг. 5.2), а на некотором расстоянии h от центра она равна e. Если n— показатель преломления материала лицзы, то оптический путь луча, проходящего сквозь нее по оптической оси, будет  $ne_0$ . Так как линза тонкая, мы пренебрегаем отклонением луча между плоскостями A и B. Координаты точек пересечения произвольного луча с плоскостями A и B практически совпадают (фиг. 5.3). Луч, параллельный оптической оси и находящийся на расстоянии h от нее, проходит оптический цуть  $ne_1$  ( $e_0$ —e). Следовательно, тонкая

<sup>1)</sup> См. [107].

линза вносит изменение фазы

$$\varphi = K [ne \cdot | \cdot (e_0 - e)]. \tag{5.7}$$

Пусть  $F(\eta, \xi)$  — амилитуда падающей волны перед самой линзой (в плоскости А на фиг. 5.2), тогда ам-



Фиг. 5.3. Случай тонкой лин-Ф и г. 5.2. Изменение фазы зы, освещаемой плоской волной. прохождении сквозь тоцкую линзу.

илитуда волны  $F'(\eta, \xi)$  сразу после линзы (в плоскости B) будет

$$F'(\eta, \xi) = F(\eta, \xi)e^{jKe_0}e^{jK(n-1)e}$$
. (5.8)

Классический расчет позволяет выразить е как функцию е орадиусов кривизны R1 и R2 поверхностей линзы и координат η, ξ точки линзы, в которой толщина ее равна е. Имеем

$$e = e_0 - \frac{\eta^2 + \xi^2}{2} \left( \frac{1}{R_1} - \frac{1}{R_2} \right),$$
 (5.9)

поэтому амплитуда (5.8) запишется в виде

$$F'(\eta, \xi) - F(\eta, \xi) e^{jKe_0} \times \exp \left\{ jK(n-1) \left[ e_0 - \frac{\eta^2 + \xi^2}{2} \left( \frac{1}{R_1} - \frac{1}{R_2} \right) \right] \right\}$$
 (5.10)

или, вводя сюда фокусное расстояние липзы f, получим

ОПТИЧ, ФИЛЬТРАЦИЯ И РАСПОЗНАВАНИЕ ОБРАЗОВ 173

$$\frac{1}{f} = (n-1)\left(\frac{1}{R_1} - \frac{1}{R_2}\right),$$
 (5.11)

$$F'(\eta, \xi) = F(\eta, \xi) e^{jKne_0} \exp\left[-j\frac{K}{2J}(\eta^2 + \xi^2)\right].$$
 (5.12)

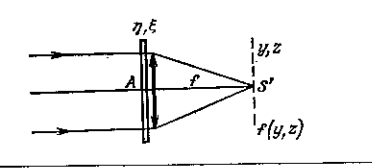
Если на линзу падает плоская волна, как показано на фиг. 5.3, то  $F(\eta, \xi)$ —const, и воздействие линзы на волну выразится формулой

$$F'(\eta, \xi) = e^{jKne_0} \exp\left[-j\frac{K}{2f}(\eta^2 + \xi^2)\right].$$
 (5.13)

В рассматриваемом здесь приближении функция  $\exp[-i(K/2f)(\eta^2+\xi^2)]$  описывает сферическую волну, еходящуюся при f>0 и расходящуюся при f<0.

#### § 3. АМПЛИТУДА ВОЛНЫ В ФОКАЛЬНОЙ плоскости линзы, когда транспарант РАСПОЛОЖЕН ВПЛОТНУЮ К ЛИНЗЕ

Транспарант А расположен, как показано на фиг. 5.4;  $F(\eta, \xi)$  — амплитуда волны, прошедшей сквозь транспарант.



Фиг. 5.4. Фурье-образ объекта А, соприкасающегося с линзой.

оптич, фильтрация и распознавание образов 175

 $\mathcal{M}_3$  (5.12) следует, что амплитуда волны сразу после линзы равна (с точностью до множителя  $e^{jKne_i}$ )

$$F'(\eta, \xi) = F(\eta, \xi) \exp\left[-j\frac{K}{2j}(\eta^2 + \xi^2)\right].$$
 (5.14)

Чтобы найти амилитуду f(y,z) в фокальной плоскости, расположенной на расстоянии f от плоскости линзы, в которой амплитуда равна  $F'(\eta,\xi)$ , пужно применить формулу Френеля — Кирхгофа (5.5). Предположим, что транспарант меньше линзы и что конечные размеры линзы ие играют роли. Используя (5.14), получаем

$$f(y, z) = \frac{\exp\left[i\frac{K}{2f}(y^2 + z^2)\right]}{iM} \underbrace{\int_{-\infty}^{\infty} F(\eta, \xi) \times}_{\infty} \times \exp\left[-i\frac{K}{f}(y\eta + z\xi)\right] d\eta d\xi.$$
 (5.15)

С точностью до множителя  $\exp |f|(K'2f)|(g^2+z^2)|$  это выражение представляет собой преобразование Фурье функции  $F(\eta, \xi)$ . Таким образом, из выражения (5.15) следует, что распределение комплексных амплитуд на поверхности сферы раднусом f, касающейся фокальной плоскости в точке S', представляет собой преобразование Фурье амплитуды  $F(\eta, \xi)$ . Следует отметить, что при решении дифракционных задач, пе имеющих отношения к голографии, обычно ищут распределение интенсивности  $f^*$ , так что множитель перед интегралом, учитывающий фазу, исчезает.

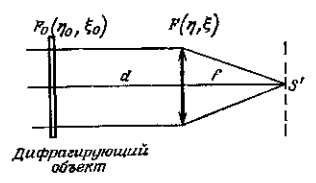
# $\S$ 4. АМПЛИТУДА ВОЛНЫ, КОГДА ТРАНСПАРАНТ ПОМЕЩЕН НА РАССТОЯНИИ d от линзы

Пусть  $F_0(\eta_0, \xi_0)$  — амплитуда света, прошеднего сквозь транспарант (фиг. 5.5). Амплитуда  $F(\eta, \xi)$  сразу после прохождевия тонкой линзы выражается

по формуле Френеля— Кирхгофа (5.3), которую здесь мы запишем в виде

$$F_{(\eta_{0}, \xi)} = \frac{e^{jKd}}{j\lambda d} \int_{-\infty}^{\pi} F_{0}(\eta_{0}, \xi_{0}) \times \\ \times \exp\left\{ \frac{i}{j} \frac{K}{2d} \left[ (\eta_{1} - \eta_{0})^{2} + (\xi - \xi_{0})^{2} \right] \right\} d\eta_{0} d\xi_{0}. \quad (5.16)$$

Қақ п рацьше, мы пренебрегаем конечными размерами лицзы.



ф  $\mathbf{h}$  у. 5,5. Объект находится на произвольном расстоянин d от лицзы.

Используя символическую форму запися (5.4), получаем

$$F(\eta, \xi) = F_0(\eta, \xi) \bigotimes \exp\left[j\frac{K}{2d}(\eta^2 + \xi^2)\right]. \quad (5.17)$$

Опуская член  $e^{jKd}/j\lambda d$ , который присутствует как мпожитель во всех расчетах, получаем\*

$$\Pi.\Phi.\left[F\left(\eta,\,\xi\right)\right] + \Pi.\Phi.\left[F_{\theta}\left(\eta,\,\xi\right)\right] \times \\
\times \Pi.\Phi.\left\{\exp\left[j\frac{K}{2d}\left(\eta^{2} + \xi^{2}\right)\right]\right\}.$$
(5.18)

По определению \*,

$$\Pi.\Phi.\left[F\left(\eta,\,\xi\right)\right] = \int_{-\infty}^{\infty} F\left(\eta,\,\xi\right) \times \\ \times \exp\left[-j\frac{K}{f}\left(y\eta + z\xi\right)\right] d\eta d\xi. \tag{5.19}$$

Амплітуда f(y, z) в фокальной плоскости линзы записывается теперь на основации (5.15), (5.18) и (5.19) так:

$$f(y,z) = \frac{\exp\left[i\frac{K}{2l}(y^2 + z^2)\right]}{ikl}\Pi.\Phi.\left[F_0\left(\eta,\xi\right)\right] \times \Pi.\Phi.\left\{\exp\left[i\frac{K}{2d}(\eta^3 + \xi^2)\right]\right\}.$$
 (5.20)

Положим

$$u = \frac{y}{f}, \qquad v = \frac{z}{f}; \tag{5.21}$$

тогда с точностью до постоянного множителя подучим

$$\Pi.\Phi.\left\{\exp\left[j\frac{K}{2d}(\eta^2+\xi^2)\right]\right\} = \exp\left[-j\frac{K}{2d}(u^2+v^2)\right] = \exp\left[-j\frac{Kd}{2f^2}(y^2+z^2)\right],$$
 (5.22)

откуда

$$f(y, z) = \frac{\exp\left[i\frac{K}{2f}\left(1 - \frac{d}{f}\right)(y^2 + z^2)\right]}{j\lambda f}\Pi.\Phi.\left[F_0(\eta, \xi)\right].$$
(5.23)

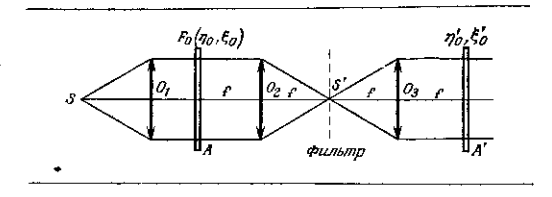
Из (5.19) имеем

$$f(y, z) = \frac{\exp\left[i\frac{K}{2f}\left(1 - \frac{d}{f}\right)(y^3 + z^2)\right]}{i\lambda f} \int_{-\pi}^{\infty} F_0(\eta_0, \xi_0) \times \exp\left[-i\frac{K}{f}(y\eta_0 + z\xi_0)\right] d\eta_0 d\xi_0.$$
 (5.24)

Из этого выражения видно, что если транспарант с амплитудным пропусканием  $F_0(\eta, \xi)$  расположен в передней фокальной плоскости линзы (d-f), то распределение амплитуд f(y, z) в задней фокальной плоскости представляет собой точное преобразование Фурье (фурье-образ) функции прозрачности транспаранта.

### § 5. ОПТИЧЕСКАЯ ФИЛЬТРАЦИЯ ПРИ КОГЕРЕНТНОМ ОСВЕЩЕНИИ<sup>1</sup>)

На фиг. 5.6 показана классическая схема оптической фильтрации. Транспарантом  $F_0(\eta_0, \xi_0)$  служит лиапозитив или негатив, например фотопластинка с изображением пейзажа. Транспарант освещен парал-



Ф и г. 5.6. Схема оптической фильтрации.

лельным пучком монохроматического света. Если он находится от линзы  $O_2$  на расстоянии f, равном ее фокусному расстоянию, то преобразование Фурье записанного на транспаранте изображения лежит в задней фокальной плоскости линзы  $O_2$ . Это преобразование Фурье есть не что иное, как картина дифракции на экране, в данном случае на транспаранте. Поместим в фокальной плоскости линзы  $O_2$  фильтр, который из-

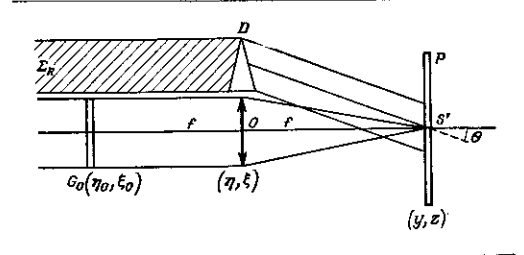
<sup>1)</sup> См. литературу к гл. 2, § 20.

менит распределение комплексных амплитуд в этой плоскости. Таким фильтром может быть маленький непрозрачный экран, который задерживает часть дифрагированного света в непосредственной близости от оптической оси линзы, соответствующую круппым деталям объекта (т. е. низким пространственным частотам). Экрап не мешает распространению лучей. дифрагированных мелкими деталями (высокие пространственные частоты) и распространяющихся дальше от оси. Если третья линза  $O_3$  образует в плоскости A'изображение транспаранта А, то крупные детали не будут воспроизведены на его изображенин. Зато мелкие детали будут относительно усилены и видны лучие, что создаст впечатление увеличения четкости фотографии. Мы привели здесь только один пример, но оптическая фильтрация более эффективна, если использовать разные фильтры. В некоторых областях, например при распознавании образов, о котором мы будем говорить ниже, используют фильтры, которые регистрируют одновременно и фазу, и амплитуду. Эти фильтры представляют собой настоящие голограммы, и мы покажем на примере, как можно их получить.

#### § 6. ФИЛЬТР, СОГЛАСОВАННЫЙ С СИГНАЛОМ 1)

Пусть перед нами стоит задача зарегистрировать фазу и амплитуду фурье-образа некоторого объекта, который мы будем называть сигналом. Схема фиг. 5.7 позволяет получить нужный для этого фильтр. Пусть  $G_0(\eta_0, \xi_0)$  — сигнал, фурье-преобразование которого, т. е. картину дифракции в параллельных лучах, мы хотим зарегистрировать. В фокальной плоскости P объектива O это преобразование представлено функци-

ей g(y,z). Часть падающего пучка покрывает поверхность объектива O, другая часть падает на призму D. Призма отклоняет пучок таким образом, что на плоскость P падает плоская когерентцая волна  $\Sigma_R$ , которая интерферирует со светом, приходящим от объектива O. Поместив в плоскости P фотопластинку, мы получим



 $\Phi$  и г. 5.7. Регистрация голограммы сигнала  $G_0$  ( $\eta_0$ ,  $\xi_0$ ) (по Ван дер Люгту).

устройство для регистрации голограммы. Положение некоторой точки пластинки P определим в системе координат S'y и S'z. Ось S'z лежит в плоскости чертежа, а ось S'y — перпендикулярна ей. Если преломляющее ребро призмы D перпендикулярно плоскости чертежа, то амплитуда опорной волны  $\Sigma_R$  запишется в илоскости P следующим образом:

$$a(y, z) = a_0 e^{jKbz}. (5.25)$$

Освещенность на поверхности пластинки P будет равна

$$E = (a + g) (a^* + g^*) = |a|^2 + |g|^2 + a^*g + ag^*$$
 (5.26)  
пли с учетом (5.25)

$$E = a_0^2 + |g|^2 + a_0 g(y, z) e^{-jK6z} + a_0 g^*(y, z) e^{jK6z}.$$
 (5.27)

<sup>1)</sup> Cm. [321, 322].

Коэффициент пропускания негатива может быть представлен в виде

$$t_{N}\!=\!t_{\rm o}\!-\!\beta'\,\{\,|\,g\,|^{2}\!+\!a_{\rm o}g(y,\,z)\,e^{-jK^{\rm o}z}\!+\!a_{\rm o}g^{*}(y,\,z)\,e^{jK^{\rm o}z}\}. \eqno(5.28)$$

Второй член в фигурных скобках соответствует с точностью до множителя  $e^{-jK\theta z}$  коэффициенту пропускания по амплитуде, пропорциональному g(y, z), т. е. преобразованию Фурье (по амплитуде и по фазе) сигнала  $G_0(\eta_0,\ \xi_0)$ . Для того чтобы наблюдать изображения, восстанавливаемые этой голограммой, действуют по схеме фиг. 2.18. Голограмму освещают паралледыным пучком света и наблюдают изображения в фокальной плоскости объектива  $O_2$ . Член  $t_0 + \beta' |g|^2$ соответствует плоской волне, прошедшей без отклонения, т. е. изображению  $S_{\theta}$  на фиг. 2.18. Двс волны  $\beta' a_n g e^{-jK6z}$  и  $\beta' a_n g^* e^{jK6z}$  дифрагированы в направлениях —  $\theta$  и  $+\theta$ . Они дают два изображения объекта, симметричных относительно  $S_{\mathfrak{o}}$ . Последний член (5.28) соответствует комплексно-сопряженному фурье-образу объекта. Соответствующая волна распространяется в направлении опорного пучка, который был использован для регистрации голограммы. Этим мы воспользуемся ниже.

## § 7. ФИЛЬТРАЦИЯ ОБЪЕКТА С ПОМОЩЬЮ ФИЛЬТРА, ПРЕДСТАВЛЯЮЩЕГО СОБОЙ ФУРЬЕ-ОБРАЗ СИГНАЛА (СОГЛАСОВАННЫЙ ФИЛЬТР)

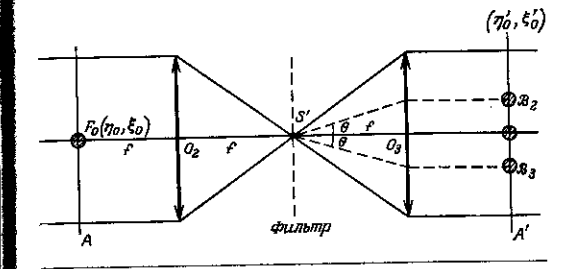
Пусть  $F_0(\eta_0, \xi_0)$  — транспарант, завимающий положение A на фиг. 5.8. Мы хотим профильтровать свет, дифрагированный транспарантом, с помощью фильтра (5.28), помещенного в S'. Согласно вышеизложенному, примем следующие обозначения:

 $F_{0}(\eta_{0},\ \xi_{0})$  — изображение на транспаранте, подлежащее фильтрации;

f(y, z) — его фурье-образ;

 $G_{0}(\eta_{0},\ \xi_{0})$  — сигнал, представляющий собой какойнибудь фрагмент изображения на трацспаранте;

g(y, z) — его фурье-образ.



Ф и г. 5.8. Получение взображений в случае, когда фильтр Ван дер Лютта помещен в точку S'.

Амплитуда света, прошедщего сквозь фильтр в условиях нашего эксперимента, выражается следующим образом:

$$t_N f(y, z) = t_0 f - \beta' \{ f |g|^2 + a_0 f g e^{-jK\theta z} + a_0 f g^2 e^{jK\theta z} \}.$$
 (5.29)

Из схемы фиг. 5.6 видно, что объектив  $O_3$  позволяет получить в плоскости A' преобразование Фурье этого выражения. За исключением  $t_0 f$ , все члены (5.29) представляют собой произведения фурье-образов. В свою очередь их обратные \* преобразования Фурье будут тройными свертками. Для этих трех членов запишем \*\*:

$$\Pi.\Phi^{-1}\left[f|g|^{2}\right] = \mathcal{B}_{1} = G_{0}\left(\eta_{0}', \xi_{0}'\right) \otimes G_{0}^{*}\left(-\eta_{0}', -\xi_{0}'\right) \otimes \left(\xi_{0}', \eta_{0}', \xi_{0}'\right), \tag{5.30}$$

где  $\delta$  — дельта-функция Дирака\*. Действительно, можно рассматривать  $e^{-iK\theta_2}$  как плоскую волну, фурье-образ которой есть точечный сигнал, на плоскости A', соответствующий направлению  $\theta$ . Аналогично

$$\Pi.\Phi.^{-1}[fg^*e^{fk^*gz}] = \mathcal{B}_3 = G_0^*(-\eta_0^*, -\xi_0^*) \otimes F_0(\eta_0^*, \xi_0^*) \otimes \otimes \delta(\eta_0^*, \xi_0^* + f\theta).$$

$$(5.32)$$

Член В, не представляет для нас интереса. Видно, что центр даваемого им изображения находится в начале координат ( $\eta'_0 = 0$ ,  $\xi_0' = 0$ ) на плоскости A. То же самое можно сказать и о фурье-образе слагаемого, восстанавливающего входное изображение  $F_0(\eta_0, \xi_0)$ , т. е. члена Іпf. Следовательно, в центре плоскости мы увидим изображение транспаранта  $F_0(\eta_0, \xi_0)$ , искаженное волной  $\mathcal{B}_{\tau}$ . «Центр» изображения  $\mathcal{B}_{z}$ , представляющего собой свертку $F_{\mathbf{0}}$  и  $G_{\mathbf{0}}$ , находится в точке с координатами  $\eta'_0 = 0$ ,  $\xi'_0 = -f\theta$ . Наконец, «центр» изображения  $\mathcal{B}_{\mathfrak{d}}$ , представляющего собой корреляцию  $G_{\mathfrak{d}}$  и  $F_{\theta}$ , лежит в точке с координатами  $\eta'_{\theta} = 0$ ,  $\xi'_{\theta} = -f\theta$ . Видно, что эти формулы не учитывают того, что коэффициент увеличения изображения равен —1 (фиг. 5.8). Поэтому центром изображения  $\mathcal{B}_{\mathbf{z}}$  будет точка  $(0, -f\theta)$ , а  $\mathcal{B}_1$ —точка  $(0, -f\theta)$ , как показано на фиг.5.8.

Центр изображения  $\mathcal{B}_{a}$ , представляющего собой корреляцию между  $G_{0}$  и  $F_{0}$ , лежит в точке, в которой находилось бы изображение, формируемое в плоскости A' фильтром-голограммой при освещении его опорной волной. Изображения  $\mathcal{B}_{1}$ ,  $\mathcal{B}_{2}$  и  $\mathcal{B}_{3}$  хорошо разделены в пространстве, если угол  $\theta$  достаточно велик, т. е. если в момент регистрации фильтра достаточно больщим был угол падения когерентного опорного пучка.

Пусть изображение  $F_0(\eta_0, \xi_0)$  идентично самому сигналу  $G_0(\eta_0, \xi_0)$ . Тогда два интересующих нас члена занишутся в виде (дельта-функции опускаем)

$$\mathcal{B}_{2}^{\prime} = G_{0}(\eta_{0}^{\prime}, \xi_{0}^{\prime}) \bigotimes G_{0}(\eta_{0}^{\prime}, \xi_{0}^{\prime}),$$
 (5.33)

$$\mathcal{B}'_{a} = G_{a}(\eta'_{o}, \xi'_{o}) \otimes G^{*}_{o}(-\eta'_{o}, -\xi'_{o}).$$
 (5.34)

Изображение  $\mathcal{B}_2'$  представляет собой автосвертку сигнала, а  $B_3'$  — автокорреляцию сигнала\*. В общем случае входное изображение  $F_0(\eta_0, \xi_0)$  содержит как интересующий нас объект-сигнал  $G_0(\eta_0, \xi_0)$ , так и другне объекты, создающие помехи  $B(\eta_0, \xi_0)$ .

В грезультате имеем

$$F_{0}(\eta_{0}, \xi_{0}) = G_{0}(\eta_{0}, \xi_{0}) + B(\eta_{0}, \xi_{0}).$$
 (5.35)

Подставляя (5.35) в (5.32), мы получаем для корреляционного члена  $\mathcal{B}_{\mathfrak{q}}$  выражение

$$\mathcal{B}_{\mathbf{3}} = G_{\mathbf{0}} \left( \mathbf{\eta}_{\mathbf{0}}^{\prime}, \ \boldsymbol{\xi}_{\mathbf{0}}^{\prime} \right) \bigotimes G_{\mathbf{0}}^{\ast} \left( -\mathbf{\eta}_{\mathbf{0}}^{\prime}, \ -\boldsymbol{\xi}_{\mathbf{0}}^{\prime} \right) + B \left( \mathbf{\eta}_{\mathbf{0}}^{\prime}, \ \boldsymbol{\xi}_{\mathbf{0}}^{\prime} \right) \ \widehat{\otimes} G_{\mathbf{0}}^{\ast} \left( -\mathbf{\eta}_{\mathbf{0}}^{\prime}, \ -\boldsymbol{\xi}_{\mathbf{0}}^{\prime} \right). \tag{5.36}$$

Величина  $\mathfrak{B}_{\mathfrak{g}}$  складывается из функций автокорргляции сигнала и функции взаимной корреляции сигнала и шума. Мы используем полученные результаты для опознавания сигналов.

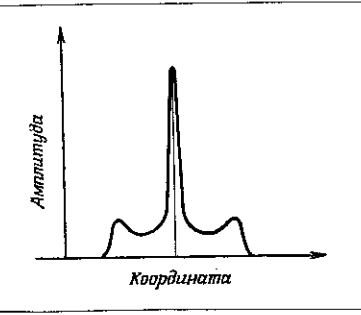
## § 8. ПРИНЦИП РАСПОЗНАВАНИЯ ОБРАЗОВ ПОСРЕДСТВОМ АВТОКОРРЕЛЯЦИИ 1)

Задача состоит в том, чтобы узнать, содержит ли изображение  $F_{\theta}(\eta_{0},\ \xi_{0})$  сигнал  $G_{0}(\eta_{0},\ \xi_{0})$ . Пусть изображение представляет собой фотографию текста, сигнал — букву или слово этого текста. Прежде всего нам нужно нолучить согласованный фильтр, т. е. зарегистрировать преобразование Фурье  $g(y,\ z)$ 

<sup>1)</sup> См. литературу к гл.2, § 20.

(например, буквы e текста) по схеме, приведенной на фиг. 5.7. Текст, выполненный в виде диапозитила (белые буквы на черном фоне), помещают в плосности A, а фильтр (преобразование Фурье буквы e) — в фокальной плоскости S' объектива  $O_2$ . В фокальной плоскости A' объектива  $O_3$  будут наблюдаться три изображения. Нас интересует изображение, соответствующее слагаемому  $\mathcal{B}_3$ , т. е. корреляции изображения с сигналом. Для простоты сначала предположим, что изображение  $F_0(\eta_0, \xi_0)$  состоит только из сигнала  $G_0(\eta_0, \xi_0)$ , т. е. что объектом служит сама буква e. Это, разумеется, наиболее простой случай. Уравцение (5.29) описывает амплитуду световой вол-

ГЛАВА 5



 $\Phi$  и г. 5.9.  $\Phi$ ункция автокорреляции для буквы  $O_r$ 

нь сразу после прохождения волны сквозь фильтр. Его последний член, соответствующий изображению  $\mathcal{B}_3$ , даст для амплитуды значение  $f*g^*=g*g^*$ , поскольку объект состоит только из самого сигнала. Величина  $g*g^*$ —  $\partial e \tilde{u}$ ствештельная, и, следовательно,

волна, прошедшая сквозь фильтр — плоская. Если бы эта плоская водна не была ограцичена апертурой лицзы, она образовала бы в ее фокусе точечное изображение. В действительности, это не так, и мы будем иметь изображение буквы е не в виде светящейся точки. как было бы в идеальном случае, а в виде светового пятна. На фиг. 5.9 приведен отклик, т. е. функция автокоррелянии, в случае когда объектом служит буква О, т.е. прозрачное кольцо на черном фоне. Так как этот объект действителен и симметричен, нет никакой разницы между функциями автокорреляции и автосвертки. Изображения  $\mathcal{B}_2$  и  $\mathcal{B}_3$  оказываются идентичными (фиг. 5. 8). Результат в данном случае негко получить теоретически, вычисляя общую поверхность двух колец, идентичных объекту, как функцию расстояния д между их центрами. Расстояние d зависит от внешнего диаметра D буквы O. Мы выбради кольцо, пирина которого равна одной десятой днаметра D. По оси ординат отложены значения амплитуды. Зпачит, убывание интенсивности будет происходить еще быстрее. Отклик представляет собой светящуюся точку, выделяющуюся на фоне слабо освещенного ореола, размеры которого близки к размерам самого сигнала (здесь буква О). Отклик, соответствующий искомому сигналу, будет маленьким световым пятнышком. Особенно хорошо различима его центральная часть в виде светящейся точки.

Если голографический фильтр недостаточно согласован с буквой, которую мы хотим опознать, то оп описывается функцией h(y, z), отличной от g(y, z). Произведение  $g(y, z) *h^*(y, z)$  не будет действительной величиной, следовательно, поверхность фронта волны, дифрагированной в паправлении  $\theta$ , не плоская. В фокальной плоскости объектива  $O_{\mathfrak{g}}$  получаем нятно

гораздо больших размеров и меньшей интепсивности. Пятно будет тем более размытым, чем меньше корреляция между буквой, которую мы хотим выделить, и буквой, фурье-образ которой зарегистрирован на голограмме. Это получается также в случае, когда нужная буква (объект) неправильно ориентирована или ее размеры не согласованы с полученным голографическим фильтром\*. Следует отметить, что при смещении буквы параллельно самой себе в прелыдущем эксперименте ее преобразование Фурье g(y, z) умножается на  $\exp[j(K/\hbar)(y\eta_1 + z\xi_1)]$ , где  $\eta_1$  и  $\xi_1$  — координаты нового центра сигнала по отношению к старому. Последний член в (5.29) запищется в виде

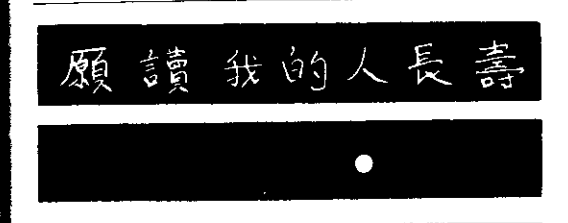
$$\beta' a_0 f g^* e^{jK\theta z} \exp \left[ j \frac{K}{f} (y \eta_1 + z \xi_1) \right],$$

и, следовательно, волна остается плоской, но направление ее распрострацения меняется; она уже не распрострациятся под углом θ. Светящаяся точка меняет свое положение в соответствии с новым положением опознаваемой буквы. Это позволяет понять, что происходит, если объект, помимо искомой буквы, содержит другие сигналы. Например, мы хотим выделить

### из китайского текста нероглиф 🙏

Зарегистрируем голограмму Фурье этого иероглифа по схеме фиг. 5.7. Поместим диапозитив этой буквы (прозрачная буква на черном фоне) в  $G_0(\eta_0, \xi_0)$ . Текст на фиг. 5.10, содержащий несколько разных иероглифов, поместим в плоскости A (фиг. 5.8). На изображении  $\mathcal{B}_3$  получим светящуюся точку как раз в том месте, где находится нужный пам иероглиф. Мы взяли в качестве примера распознавание одной буквы. В действительности можно опознать некоторый набор

букв, фразу или слово, используя голограмму Фурье набора букв, фразы или слова. Совершенно очевидно, что если объект содержит сигналы, близкие по форме к искомому сигналу, то возникнут паразитные отклики. Существуют методы, позволяющие уменьшить вероятность «ложной тревоги» в случае довольно большой корреляции шума и сигнала.



ф я г. 5.10. На изображения  $\mathcal{B}_3$ , соответствующем корреляция объект—сигиал, каждому нероглифу  $\bigstar$  отвечает яркая точка.

Прежде чем закончить, раскроем значение того, что написано нероглифами на фиг. 5.10: «Долгой жизии читателю!»

#### К стр. 46.

\* В этом параграфе автор допускает некоторую неточность. Если растворить серебро, то фотослой станет совершенно однородным и полностью исчезнет не голько амплитулный, но и фазовый рельеф. Отбеливающий раствор не растворяет серебро, а образует с ним прозрачное соединение. Фазовый рельеф образуется как за счет вариаций толцины отбеленного фотослоя, так и за счет вариаций показатели преломления.

Существуют также регистрирующие среды, предпазначенные специально для получения фазовых голограмм. Это, наоример, хромированная желатина, фото- и термопластические слоя и т. д.

#### К стр. 53.

\* Здесь автор не учитывает потерю полуволны при отражепии.

#### К стр. 54.

\* Следует иметь в виду, что на самом деле расстояние между соселними уздами или пучностями стоячей волны в эмульсии будет меньше, чем в воздухе в n раз (n — показатель предомлетия эмульсия) в соответствии с изменением длины световой волны при переходе из одной среды в другую. Выводов настоящего параграфа это не меняет, так как при освещении полученной фотографии стоячих воли на границе раздела воздух — фотослой происходит такое же изменение длины волны. Однако если в вепультате проявления изменился показатель предомления эмульсии или вследствие усадки фотослов изменидись расстояния между соседними слоями, то это привсдет к соответствующему сдвигу длины волны и изменсиию цвета изображения.

#### K стр. 55.

 Схеми голографии в стоячих волнах, объединившая основную идею Габора и цветную фотографию Липпмана, была внервые предложена и осуществлена Ю. П. Деписюком в 1962 г.

#### **К** стр. 56.

\* За это открытие проф. Дэнису Габору в ноябре 1971 г. была присуждена Нобелевская премия по физике.

#### К стр. 57.

\* Основные трудности получения голограммы с помощью ртутной лампы, которой пользовался Габор, связаны не с недостатком монохроматичности, а с протяженностью источ-

\*\* Нетрудно видеть, что в схеме Лейта и Упатниекса используется периферическая часть габоровской годограммы (см. [296]). Другое радикальное решение этой проблемы было дано Ю. Н. Депистоком [60]. Угол между опорызм и предметным пучком был допеден им до 180°, в результате чего образуется только одно изображение.

#### К стр. 64.

\* Введя светочувствительный слой в плоскость, где оно образуется.

#### • К стр. 68.

\* Точное выражение пля расчета расстояния между соседими полосами таково:  $d=\lambda/(\sin\theta'+\sin\theta'')$ , где  $\theta'$  и  $\theta''$ углы падения опорного и предметного пучков. При  $\theta''$ =0 и малом О' можно пользоваться формулой, приведенной в тексте.

\*\* С учетом примечания к стр. 54 для получения голограмм во встречных пучках нужны фотослои, разренающие до 5000 штрихов на мрллиметр.

\*\*\* Или если используется специальная схема освещения. папример, описанная в работах [208 \*-210 \*].

#### К стр. 72.

\* И любой мадый участок голограммы изображает все точки

#### **К** стр. 75.

Они имеют форму гипербол.

#### К стр. 76.

\* Линейная (по предмету) разрешающая способность голограммы определя тся ее угловым размером а. В случае плоской опорной волям при увеличения д цастет пространственная частота структуры голограммы. Можно показать (см. например, 1300, 8 \*1), что такия голограмма не может разрешить дсталей объекта более мелких, чем предсл разрешения фотослоя.

В голограммах Фурье с ростом α пространственияя частота структуры остается приблизительно постоянной и указанное

ограничение снимается.

#### **К стр. 81.**

\* В рассмитринаемом случае учет преломдения света на границе воздух — эмульсия не вносит пикаких изменений. Действительно, в формуле (2.4) при переходе из одвой среды в другую меняется в л раз и данна волны, стоящая в числителе, и синус угла падения, стоящий в знименятеле.

#### К стр. 86.

\* В схеме Г. Липвмана (фиг. 1.40) волна от объекта интерферируст со своям зеркальным отражением. В схеме Ю. Н. Делисока (фиг. 2.29) волна, отриженная объектом, интерферируст с опорной волной, фронт которой имеет правильную форму.

#### **К** стр. 87.

\* См. примечание редактира перевода к стр. 46.

#### **К** стр. 88.

\* Фактически интерферируют не волны, зарегистрированные в разные моменты времени, а их точные колии, восстацовленные одновременно.

#### **К** стр. 90.

\* Такая схема восстановления действительного изображения пригодна линь для случая бескопечно топкой голограммы. Как пиказано в гл. 2, § 5, навыущиме пезультаты получаются, если восстанавливающий пучок сходится в точке, в которой находился опорный источник при получении голограммы (см. фит. 2.15). В этом случае положение действительного изображения объекта совнадлет с самим объектом.

#### К стр. 94.

\* Замстим, что в этом случае как во время нервой, так и во время второй экснозиций голограмма регистрирует свет,

расссянный неподвижным диффузором, а не движущейся пулей. Поэтому, несмотря на то, что пуля смещается во время экспозиции на несколько десятков длин воли, это не влинет на резкость интерференционной структуры, образующейся на голограмме.

#### К стр. 96.

На самом деле, поскольку голограмма-негатив обращает фазу зарегистрированной волны, A и A имеют противноположные фазы и при равенстве их яркостей гасит друг друга.

#### **Кстр.** 98.

\* Описавный здесь метод интерферомстрии с усреднением во времени обладлет тем недостатком, что позволяет наблюдать лишь узловые линии и полосы низших порядков. Видпость полос в соответствии с (2.7) быстро падает с увеличением амплитуды калебаний. Стробо-гмографические методы, в каторых экспо-иирование голограммы производится импульсами, синхронизовинными с колебаниями объекта, лицены этого нелостатка [218 \*, 225 \*].

#### **К** стр. 99.

\* См. примечание редактора перевода к стр. 90,

#### К стр. 103.

\* В даином случае роль восстанивливающего источника играют буквы е в анализируемим тексте, а роль объекта — точечный источник  $S_R$ , яспользовавшийся как опорный при получении съюгряммы (фит. 2.50). Каждля яз имеющихся в тексте букв е висстановит свое изображение точечного источника на соответствующем месте изображения  $A_1'$ .

#### К стр. 110.

« Сходство с оптической голографией станонится сще более явшим, если учесть, что фотографическая эмульсия имеет зернистую структуру и может рассматриваться как матрина детекторов.

#### К стр. 115.

\* Раздвине в акустический прозрачности даст возможность паблюдать теннико тени менее прозрачных органов на фоне других, более светлых. С этой толки эрения трехмерность наблюдаемой картины такая же, как и в случае просвечивании организма другими, например, рентгеновскими, лучами. Однако разлиние и прозрачности мятких тканей для рентгеновских дучей обычаю очень мало и в этом смысле применение акустической голографии для медицинской диагностики имеет бесспорные перспективы [2 \*, 3 \*].

193

#### К стр. 124.

\* Это соответствует приближению гауссовой (параксиальной) оптики, т. е. справеданно, если надающие на голограмму световые пучки составляют малме углы с осью симметряи оптической системы  $(|\eta-\eta_0|\ll \rho)$ ,  $|\xi-\xi_0|<\rho$ ).

#### К стр. 130.

\* Независимо от соотношения между  $\lambda$  и  $\lambda'$ .

\*\* То есть когда выполняются условия, язложенные на стр. 71 (см. также фиг. 2.14 и 2.15).

#### K стр. 131.

 формулы (3.51) и (3.52) непосредственно следуют на (3.43) и (3.45), если, учитивая сделанное выше приближение параксиальной оптики, положить (см. фиг. 3.6—3.8)

$$\begin{split} \alpha' &= \frac{\xi_n}{\rho'} \;, \qquad \alpha'' := \frac{\xi_{\gamma}}{\rho'} \;, \qquad \alpha = \frac{\xi_{\beta}}{\rho} \;; \\ 0 &= \frac{\xi_{\beta}}{\rho} \;, \qquad \theta' := \frac{\xi_{\beta}}{\rho'} \;. \end{split}$$

#### **К** стр. 133.

\* См. примечание редактора перевода к стр. 88.

#### **К стр. 138.**

 Степень полярязации света после прохождения через шлифованное стекло, обычно используемое в качестве диффузора, сохраняется весьма высокой и достигает 99% и более.

#### К стр. 139.

\* Схема фиг. 3.12 обладает тем преимуществом, что разные точки голограммы восстивавливают интерференционную, картиму, соответствующую просвечиванию объекта под разными углами. Это очень важно для исследования фазовых неоднородностей сложной формы (не обладающих осью симметрии). Однако с этим достопиством схемы фиг. 3.12 связана трудность наблюдения контрастных полос. Полосы обычно получаются резкими лишири сильном диафрагмировании голограммы, что в свою очередь делает более грубой зернистую структуру изображения, свойственную когерентному освещению.

Схема фиг. 3.11 лишена и отмеченного достоинства и недостатка, свойственных схеме 3.12.

#### К стр. 140.

или с объектом А, находящемся в ньом состоянии.
\*\* В качестве рассемвателя Гейтс [98] использовал полученную в той же установке (фяг. 3.13) фазовую голограмму матоного стекла. Этим достивалось высокое пропусканые экрава, наиболее энергстически выгодная выдякатриеся рассемня, а также обеспечивалось прямое прохождение части света, необходимой для образования опорного источняка L.

#### **К** стр. 147.

\*  $J_0$ — функция Бесселя нулевого порядка,  $J_n$ — функция Бесселя n-го порядка. Свойства функция Бесселя, в частвости разложение, соответствующее (3.80), см. в квиге: Смирнов В. И., Курс высшей математики, изд. 5-с, т. 111, ч. 11, М.—Л., 1952, стр. 519—534.

#### К стр. 148.

\* Максимумы функции  $J_0^2$  оыстре убывают ( $\approx$ 1: 0,16: 0,09: 0,06 и т. д.). В соответствии с этим яркость полос выещего порядка мала (см. фиг. 2.43 и 2.44).

\*\* См.: Смирнов В. И., Курс бысшей матемитики, изд. 2-е, т. П. М.—Л., 1952, стр. 394.

#### K стр. 170.

\* Двумерной сверткой функций  $f\left(x,y\right)$  и  $\phi\left(x,y\right)$  называется функция  $g\left(x,y\right)$ , определяемая равенством

$$g(x, y) = \int_{-\frac{\pi}{2}}^{\pi} f(u, v) \varphi(x-u, y-v) du dv$$

и условно обозначлемая g—f $\otimes$ q- Здесь u, v— независимые перемевные, по которым производится интегрирование. Подробнее е свертке и ее свойствах см. [300], стр. 200; [7\*], стр. 33.

#### К стр. 171.

\* Двумерным преобразованием Фурьс (фурьс-образом, пространстленно-частотным спектром) некоторой функцан  $g\left(x, y\right)$  называется функция  $G\left(f_{x}, f_{y}\right)$ , определяемая следующим интеральным соотношением:

$$G(f_x, f_y) := \frac{1}{2\pi} \int_{-\pi}^{\pi} \int_{0}^{\pi} g(x, y) \exp\left[-i2\pi (f_x x + f_y y)\right] dx dy$$

и условно обозначаемая П. ф.[ $g\left(x,y\right)$ ]. Злесь  $I_{x},I_{y}$  — позависимые переменные, называемые пространственными частотами.

Обратное преобразование Фурье определиется следующим образом:

$$g(x, y) = \frac{1}{2\pi} \int_{-\infty}^{\infty} G(f_x, f_y) \exp[j2\pi (f_x x + f_y y)] df_x df_y$$

н обозначается П. Ф. <sup>–1</sup> { $G\left(f_{\chi},f_{\eta}\right)$ }. Об условиях существования и свойствах преобразования Фурье см. {107}, стр. 18; [300], стр. 194 и {7 \*}, стр. 68.

К стр. 175.

\* Здесь использована теорема о преобразовании фурье свертки двух функций: преобразование фурье свертки двух функций равно произведению фурье-образов этих функций:

$$\Pi$$
.  $\Phi$ .  $[g \otimes f] = \Pi$ .  $\Phi$ .  $[g[ \times \Pi, \Phi, [f]]$ 

Қ стр. 176.

\* См., папример, [107], стр. 24 и 356 или [300], стр. 202. К стр. 181.

\* Обратные, поскольку система координат и плоскости А' инверско преобразована (см. [107], стр. 232).

\*\* Здесь использована обратная теоремя о фурье-преобразовании свертки: преобразование Фурье от произведсния фурье-образов двух функций равно свертке этих функций

$$\Pi, \ \Phi^{-1}, \left\{\Pi, \ \Phi, [g] \times \Pi, \ \Phi, [f] \right\} = g \bigotimes f.$$

К стр. 182.

\* Двумерной дельта-функцией  $\delta$  (x, y) называется такая функция, которая равил  $\pm \infty$  в точке x=y=0, обращается в нуль во всех других точках и обладает тем свойством, что

$$\int_{-\infty}^{\infty} \delta(x, y) dx dy = 1.$$

В онтике двумерная дельта-функция онисывает идсализированное изображение точечного источника света. [1одробиее о дельта-функции см. [107], стр. 353, а также [7 \*], стр. 41.

K стр. 183.

Функция извимной корреляции двух функций g (x, y) и

 $f\left( x,\;\;y\right)$  определяется следующим интегральным выражением:

$$r(u, v) = \int_{-\infty}^{\infty} g(x, y) \cdot f^*(x-u, y-v) dx dy$$

и условно обозначлется  $r=g\divideontimes f^*$ . В случае f(x,y)=g(x,y) эта функция называется функцией автокорреляции и обозначается  $r=g\divideontimes g^*$ . См. [300], стр. 205—208.

\* О влиянии изменсния размеров и ориентацви объекта, а также неточности установки фильтра на нитенсивность корреляционного максимума см. [336 \*, 346 \*, 348 \*, 350 \*].

#### ЛИТЕРАТУРА

- Abbe E., Arch. f. mikroskopische Anatonic und Entwicklungsmechanik, 9, 413 (1893).
- Armstrong J., [BM Journ. Res. Dev. 9, 171 (1965).
   Fresnel Holograms: Their Imaging Properties and Aberrations.
   Armitage J. D., Lohmann A. W., Appl. Opt., 4(4), 461 (1965).

Character Recognition by Incoherent Spatial Filter.

- Armitage J. D., Lohmann A. W., Appl. Opl., 4, 1666 (1965). Character Recognition by Incoherent Spalial Filter.
- Armitage J. D., Lohmann A. W., Herrick R. B., Appl. Opt., 4 (4), 445 (1965).
   Absolute Contrast Enhancement.
- Baez A. V., Sum H. M. A., в кинге X-Ray Microscopy and Microradiography Proceedings, New York, 1957, р. 347. Effect of finite source size, radiation hand bandwith, and object transmission in microscopy by reconstructed wavefronts.
- Baez A. V., Am. Journ. Phys., 20, 311 (1952).
   Focusing by Diffraction.
- Baez A. V., John Dell. Soc. Ann., 42, 756 (1952).
   A Study in Diffraction Microscopy with Special Reference to X-Rays.
- Buez A. V., Nature, 169, 963 (1952).
   Resolving Power in Diffraction Microscopy with Special Reference to X-Rays.
- Baker B. B., Copson E. T., The Mathematical Theory of Huygen's Principle, 2nd ed., Oxford, 1949.
- Belstad J. O., Appl. Opt., 6, 171 (1967).
   Holograms and spatial filters processed and copied in position.

- Beran M. J., Parrent G. B., Jr., Theory of Partial Coherence, Englewood Cliffs, N. J., 1964.
- Bernstein K. L., Journ. Opt. Soc. Am., 54, 571A (1964).
   Spatial Filtering with Partially Coherent Light.
- Борн М., Вольф Э., Основы оптики, перев. с англ., изд-во «Наука», 1970.
- Bosomworth D. R., Gerritsen, Appl. Opt., 7, 95 (1968).
   Thick Holograms in Photochromic Materials.
- [6. Bouwkamp C. J., Diffraction Theory B KHBIC Progress in Physics, ed. A. C. Strickland, vol. XVII, London, 1954.
- Bracewell R. N., The Fourier Transform and its Applications, New York, 1965.
- Eragg W. L. Zs. Krist. 70, 475 (1929).
   An Optical Method of Representing the Results of X-Ray Analysis.
- Bragg W. L., Nature, 149, 470 (1942).
   The X-Ray Microscope.
- Bragg W. L., Nature, 166, 399 (1950). Microscopy by Reconstructed Wavefronts.
- Bragg W. L., Rogers G. L., Nature, 167, 190 (1951)
   Elimination of Unwarded Image in Diffraction Microscopy.
- Brandt G. B., Appl. Opt. 6, 1535 (1967)
   Hologram moire interferometry for transparent objects.
- Brooks R. E., Heifinger L. O., Wuerker R. F., Briones R. A., Appl. Phys. Lett., 7 (4), 92 (1965).
   Holographic Photography of High-Speed Phonomena with Conventional and Q-Switched Ruby Lusers.
- Brooks R. E., Heflinger L. O., Wuerker R. F., Appl., Phys. Lett., 7, 248 (1965). Interferometry with a Holographically Reconstructed Comparison Beam.
- Brooks R. E., Hellinger L. O., Wuerker R. F., IEEE Journ. Quantum Electr., QE-2, 275 (1966). Pulsed Laser Holograms.
- Brown W. M., Analysis of Linear Time Invariant Systems, New York, 1963.
- 27. Brumm D. B., Appl. Opt., 5, 1946 (1966).
  Copying holograms.
- 28. Bryngdahl O., Journ. Opt. Soc. Am., 57, 545 (1967).
  Polarizing Hotography.
- Burch J. M., Ennos A. E., Wilton R. J., Nature. 209, 1016 (1966).
   Dual and Multiple Beam Interferometry by Wavefrout Reconstruction.
- Burckhardt C. B., Collier R. J., Deherty E. T., Appl. Opt., 7, 627 (1968).
   Formation and inversion of pseudoscopic images.

- Buerger M. J., Proc. Natl Acad. Sci., 27, 117 (1941).
   Optically Reciprocal Gratings and Their Application to Synthesis of Fourier Series.
- Buerger M. J., Journ. Appl. Phys., 21, 909 (1950). Generalized Microscopy and the Two-Wavelength Microscope.
- Buerger M. J., Proc. Natl Acad. Sci., 36, 330 (1950).
   The Photography of Atoms in Crystals.
- Carcel J. T., Rodemann A. H., Florman E., Domeshek S., Appl. Opt., 5, 1199 (1966).
   Simplification of Holographic Procedures.
- Carter W. H., Dougat A. A., IEEE Journ. Quantum Electr., QE-2, 44 (1966).
   Studies of Coherent Laser Illumination in Microscopy and Microholography.
- Carter W. H., Dougat A. A., Field Range and Resolution in Holography, Jonto. Opt. Soc. Ann., 56, 1754 (1966).
- 37. Cathey W. T., Jr., Journ. Opt. Soc. Am., 55, 457 (1965).
  Three-Dimensional Wavefront Reconstruction Using a Phase Hologram.
- Cathey W. T., Jr., Journ. Opt. Soc. Am., 56, 1167 (1966). Spatial Phase Modulation of Wavefront in Spatial Filtering and Holography.
- Champagne E. B., Journ. Opt. Soc. Am., 57, 51 (1967). Non-Paraxial Imaging, Magnification and Aberration Properties in Holography.
- Chau H. H., Norman M. H., Appl. Opt., 5, 1237 (1966). Demonstration of the Application of Wavefront Reconstruction to Interferometry. Chau H. H., Norman M. H., Appl. Opt., 6, 317 (1967). Zone Plate Theory Based on Holography.
- 41 Cochran G., Journ. Opt. Soc. Am., 56, 1513 (1966). New Method of Making Fresnel Transforms with Incoherent Light.
- 42. Collier R. J., IEEE Spectrum, 67 (july 1966). Some Current Views on Holography.
- Collier R. J., Doherty E. T., Pennington K. S., Appl. Phys. Lett., 7, 223 (1965). Applications of Moire Techniques to Holography.
- Collier R. J., Pennington K. S., Appl. Opt., 6, 1091 (1967).
   Multicolor Imaging from Holograms Forused on Two-Dimensional Media.
- 45. Collins L. F., Appl. Opt., 7, 203 (1968).
  Difference Holography
- Corcoran V. J., Herron R. W., Jr., Jaramillo J., Appl. Opt.,
   (4), 668 (1966).
   Generation of a Hologram from a Moving Target.

- Considing P. S., Journ. Opt. Soc. Am., 56, 1001 (1966).
   Air Experimental Study of Coherent Imaging.
- Cosslett V. E., Practical Electron Microscopy, New York, 1951, p. 254.
- Cosslett V. E., Nixon W. C., X-Ray Microscopy, New York, 1960. p. 17.
- Cowley J. M., Acta Cryst., 9, 399 (1956).
   Stereoscopic Three-Dimensional Structure Analysis.
- Cutrona L. J., Leith E. N., Patermo C. J., Porcello L. J., IRE Trans., IT-6, 3, 386 (1960).
   Optical Data Processing and Filtering Systems.
- Cutrona L. J., Recent Developments in Coherent Optical Technology, в книге Optical and Electro-Optical Information Processing, ed. J. T. Tippett, A. Berkowitz, C. Clapp. J. Koester and A. Vanderburgh, Jr., Cambridge, Mass., 1965, p. 83.
- Cutrona L. J., Leith E. N., Porcello L. J., Vivian W. E., Proc. IEEE 1, 54, 1026 (1966).
   On the Applications of Cuberent Optical Processing Techniques to Synthetic Aperture Radars.
- Davenport W. B., Jr., Root W. L., Random Signals and Noise, New York, 1958, ch. 12 and 13.
- De M., Sévigny L., Appl. Phys. Lett., 10 (3), 78 (1967).
   Three Beam Holography.
- De M., Sévigny L., Journ. Opt. Soc. Am., 57, 110 (1967).
   Polarization Holography.
- De Bitetto D. J., Appl. Phys. Lett., 9 (12), 417 (1966).
   White Light Viewing of Surface Holograms by Simple Dispersion Compensation.
- Debrus S., Françon M., May M., Opt. Comm., № 2 (1969).
   Interféremétrie en lumière blanche diffuse.
- Debrus S., Françon M., May M., Compl. Rend., в печаты. Interférométrie en lumière diffuse et à observation directe.
- Денисюк Ю. И., ДАП СССР, 144, 1275 (1962).
   Об отображении оптических свойств объекта в волновом поле рассеянного им излучения.
- Денисюк Ю. Н., Опт. и спектр., 15, 522 (1963).
   Об отображении оптических свойств объекта в волновом поле рассеянного им излучения.
- 62. Денисюк Ю. Н., Опт. и спектр., 18, 275 (1965). Об стображении оптических свойств объекта в возновом пъле рассеянного им излучения, 11.
- С 1961 г. издлется и русском переводс в издлее «Мир»: «Труды института инженеров по электротехникс и радиоэле стронике». — Прим. ред.

- DeVelis J. B., Parent G. B., Jr., Thompson B. J., Journ. Opt. Soc. Am., 56, 423 (1966). Image Reconstruction with Fraunholer Holograms.
- DeVelis J. B., Reynolds G. O., Jaurn. Opt. Soc. Am., 56, 1414
   A (1966).
   Magnification Limitations in Holography.
- Де Велис Дж. Б., Рейнольде Дж. О., Голография (теория и приложения), перев. с англ., М. 1970.
- 66. DeVelis J. B., Thompson B. J., Journ. Opt. Soc. Am., 56, 1440 A (1966). Importance of Photographic Grain in Optical Processing.
- 67. Diomond F. L., Journ. Opt. Soc. Am., 57, 503 (1967).
  Magnification and Resolution in Wavefront Reconstruction.
- Djurle E., Back A., Journ. Opt. Soc. Am., 51, 1029 (1961).
   Some Measurements of the Effects of Air Turbulence on Photographic Images.
- Dootey R. P., Proc. IEEE, 53 (t) 1733 (1965).
   X-Band Holography.
- 70. Dulty D. E., Journ. Opt. Soc. Am., 56, 832 (1966).
  Optical Reconstruction from Microwave Holograms.
- Dyson J., The Optical Synthesizer for the Gabor Diffraction Microscope, Communication 18 a Kaure Proceedings of the First International Congress of Electron Microscopy (Paris, 1960), Paris, 1953, p. 126.
- Dyson J., Journ. Opt. Soc. Am., 47, 386 (1957).
   Common-Path Interferometer for Testing Purposes.
- Eaglesfield C. C., Electronic Lett., 1, 181 (1966). Resolution of X-Ray Microscopy by Hologram.
- Elias P., Grey D. S., Robinson D. Z., Journ. Opt. Soc. Am.,
   127 (1952).
   Fourier Treatment of Optical Processes.
- Elias P., Journ. Opt. Soc. Am., 43, 229 (1953).
   Optics and Communication Theory.
- Ellis G. W., Science, 154, 1195 (1966). Holomicrography.
- 77. El Sum H. M. A., Reconstructed Wavefront Microscopy, диссертникя, Stanford University, 1952. (Обращаться на фирму University Microfilm, Inc., Ann Arbor, Mich.)
- El Sum II. M. A., Information Retrieval from Phase-Modulating Media, в кимте Optical Processing of Information, ed. D. K. Pollock, C. J. Koester and J. T. Tippett, Baltimore, 1963. р. 86.
- El Sam II. M. A., Uses for holograms, No 71, 50 (nov. 1967). Science and Technology.
- Enloe L. H., Murphy J. A., Rubinstein C. B., Beff. System Techn. Journ., 45, 335 (1966). Hotogram Transmission Via Television.

- Falconer D. G., Winthrop J. T., Phys. Left., 14, 190 (1965). Fresnel Transform Spectroscopy.
- Françon M., Lowenthal S., May M., Prat R., Compt. Rend., 263, 237 (1966).
   Application des techniques de l'holographie à l'étude de la fonction de transfert.
- 83. Friesem A. A., Appl. Phys. Lett., 7 (4), 102 (1965). Holograms on Thick Emulsions.
- Friesem A. A., Fedorosoicz R. J., Appl. Opt., 5, 1085 (1966).
   Recent Advances in Multicolor Wavefront Reconstruction.
- Friesen A. A., Zelenka J. S., Appl. Opt., 6, 1755 (1967).
   Effects of Film Nonlinearities in Holography.
- 86. Gabor D., Nature, 161, 777 (1948). A New Microscopic Principle.
- 87. Gubor D., Proc. Roy. Soc., A 197, 454 (1949) (см. перевод в [300]).
  Microscopy by Recrustructed Wave-Fronts.
- 88. Gabor D., Journ. Appl. Phys., 19, 1191 (1948). Diffraction Microscopy.
- 89. Gabor D., Proc. Phys. Soc., **B64** 449 (1951) (см. перевод в [300]).
  Microscopy by Reconstructed Wave-Fronts, 11.
- 90. Gabor D., Research (Loudon), 4, 107 (1951). Diffraction Microscopy.
- 91. Gabor D., Generalized Schemes of Diffraction Microscopy, Communication 19 в квите Proceedings of the First International Congress of Electron Microscopy (Paris, 1950), Paris, 1953, p. 129.
- Gabor D., Light and Information, в книге Progress in Optics, ed. E. Wolf, vol. 1, Amsterdam, 1961.
- 93. Gabor D., New Scientist, 74 (13 янв. 1966). Hotography, or the «Whole Picture».
- Gabor D., Nature, 208, 422 (1965).
   Character Recognition by Holography.
- Gabor D. et al., Phys. Lett., 18, 116 (1965).
   Optical Image Synthesis (Complex Amplitude Addition and Subtraction) by Holographic Fourier Transformation.
- Gabor D., Stroke G. W., Brumm D., Funkhouser A., Labeyrie A., Nature, 208, 1159 (1965). Reconstruction of Phase Objects by Holography.
- Gabor D., Goss W. P., Journ Opt. Sec. Am., 56, 849 (1966). Interference Microscope with Total Wavefront Reconstruction.
- Gates J. W. C., Journ Scient, Instr. (Journ. of Physics E), ser. 2, 1, 989 (1968).
   Holography with Scatter Plates.

- George N., Matthews J. W., Appl. Phys. Lett., 9 (5), 212 (1966).
   Holographic Diffraction Gratings.
- Givens M. P., Siemens W. J., Journ. Opt. Soc. Am., 56, 537 A (1966).
   The Experimental Production of Synthetic Holograms.
- 101. Goldman S., Journ. Opt. Soc. Am., 52, 1131 (1962). Sideband Interpretation of Optical Information and the Diffraction Pattern of Unsymmetrical Pupil Functions.
- 102. Goodman J. W., Proc. IEEE, 53 1688 (1965). Some Effects of Target-Induced Scintillation on Optical Radar Performance.
- Goodman J. W. et al. Appl. Phys. Lett., 8, 311 (1966).
   Wavefront-Reconstruction Imaging through Random Media.
- 104. Goodman J. W., Journ. Opt. Soc. Am., 57, 560 (1967). Effects of Film Nonlinearities on Wavefront-Reconstruction Images of Diffuse Objects.
- Goodman J. W., Appl. Opt., 6, 857 (1967).
   Temporal Filtering Properties of Holograms.
- Goodman J. W., Journ. Opt. Soc. Am., 57, 493 (1967).
   Noise in Wavefront-Reconstruction Imaging.
- Гудмен Дж., Введение в фурьс-оптику, перев. с англ., изд-во «Мир», 1970.
- 108. Goodman J. W., Huntley W. H., Jr., Jackson D. W., Lehman M., Appl. Phys. Lett., 8 (12), 311 (1966). Waverfront Reconstruction Imaging through Random Media.
- Green R. B., Appl. Opt., 7, 711 (1968).
   An Optical Activity Measuring Technique using Holography.
- 110. Grant R. M., Lillie R. L., Barnett N. E., Journ. Opt., Soc. Am., 56, 1142 (1956). Underwater Holography.
- Haine M. E., Dyson J., Nature, 166, 315 (1950).
   A Modification to Gabor's Proposed Diffraction Microscope.
- Haine M. E., Malvey T., John Opt. Soc. Am., 42, 763 (1952).
   The Formation of the Diffraction Image with Electrons in the Gabor Diffraction Microscope.
- 113. Haine M. E., Mulvey T., Nature, 170, 202 (1952). Diffraction Microscopy with X-Rays.
- 114. Haine M. E., Mulvey T., Initial Results in the Practical Realisation of Gabor's Diffraction Microscope, Communication 17 B KHBIE Proceedings of the First International Congress of Electron Microscopy (Paris, 1950), Paris, 1953, p. 120.
- 115. Haines K., Hildebrand B. P., Phys. Lett., 19, 10 (1965). Contour Generalion by Wavefront Reconstruction.
- Haines K. A., Hildebrand B. P., Appl. Opt., 5(4), 595 (1966).

- Surface Deformation Measurements using the Wavefront Reconstruction Technique.
- 117. Haine M. L., The Electron Microscope, New York, 1961, p. 64.
- 118. Hansler R. L., Appl. Opt., 7, 711 (1968). Application of Holographic Interferometry to the Comparison of Highly Polished Reflecting Surfaces.
- Harris F. S., Jr., Sherman G. C., Billings B. H., Appl. Opt.,
   5 (4), 665 (1966).
   Copying Holograms.
- 120. Helder D. W., North R. J., Schlieren Methods, National Physical Laboralory (Notes on Applied Science, № 31), London, England.
- Helstrom C. W., Journ. Opt. Soc. Am., 56 (4), 433 (1966).
   Image Luminance and Ray Tracing in Holography.
- 122. Hildebrand B. P., Haines K. A., Appl. Opt., 5 (1), 172 (1966). Interferometric Measurements Dsing the Wavefront Reconstruction Technique.
- Hildebrand B. P., Haines K. A., Journ. Opt. Soc. Am., 57, 155 (1967).
   Source Holography Applied to Contour Generation.
- Hioki R., Suzuki T., Japan Journ. Phys., 4, 816 (1965).
   Reconstruction of Wavefronts in all Directions.
- 125. Hoent II., Maue A. W., Westpajhat K., Theorie der Bengung, в княге Handbuch der Physik, Bd. 25, Berlin, 1961.
- Hoffmann A. S., Doidge J. G., Mooney D. G., Journ. Opt. Soc. Am., 55, 1559 (1965).
   Inverted Reference-Beam Hologram.
- Horman M. H., Jonen. Opt. Soc. Am., 55, 615 (1965).
   Application of Wavefront Reconstruction to Interferometry.
- Horman M. H., Appl. Opt., 4, 333 (1965).
   An Application of Wavefront Reconstruction to Interferometry.
- Hufnagel R. E., Stanley N. R., Journ. Opt. Soc. Am., 54, 52 (1964).
   Modulation Transfer Function Associated with Image Transmission through Turbulent Media.
- Ingalls A., Journ. Photogr. Sci. Engineers, 4, 135 (1960).
   The Effects of Film Thickness Variations on Coherent Light.
- Jacobson A. D., McClung F. J., Appl. Opt., 4 (11), 1559 (1965).
   Holograms Produced with Pulsed Laser Hilmingjon.
- Jackson P., Appl. Opt. 4 (4), 419 (1965).
   Diffractive Processing of Geophysical Data.
- 133. J.ong T. H., Rudolph P., Luckett A., Journ. Opt. Soc. Am., 56, 1263 (1966). 360° Holography.

205

- 134. Kailath T., B Khine C annel Characterization: Time-variant Dispersive Channels, Lectures on Communication System Theory, ed. E. J. Gaglidady, New York, 1960.
- 135. Какос А., Островская Г. В., Островский Ю. Н., Зайдель А.Н., Phys. Lett., 23, 81 (1966). Interferometry Holographic Investigation of a Laser Spark.
- Kano Y., Wolf E., Proc. Phys. Soc., 80, 1273 (1962).
   Temporal Coherence of Blackbody Radiation.
- 137. Kaspar F. G., Journ. Opt. Soc. Am., 58, 970 (1968). Effects of Some Photographic Characteristics on the Light Flux in a Holographic Image.
- Ketler J. B., Journ. Opt. Soc. Am., 52, 116 (1962).
   Geometrical Theory of Diffraction.
- 139. Kelley D. H., Journ. Opt. Soc. Am., 50, 269 (1960). Systems Analysis of the Photographic Process, 1. A Three-Stage Model.
- 140. Kirchhoff G., Wiedemann Ann., 18 (2), 663 (1883). Zur Theorie der Lichtstrahlen-
- 141. Kirk J. P., Appl. Opt., 5, 1684 (1966). Hologram on Photochronic Glass.
- 142. Kirkpatrick P., El Sum H. M. A., Journ. Opt. Soc. Am., 46, 825 (1956).
  Image Formation by Reconstructed Wavefronts, I. Physical Principles and Methods of Refinement.
- 143. Knight G., Effects of Film Non-linearities in Holography, докторская диссертация, Stanford University, 1967.
- 144. Knox C., Science, 153, 989 (1966). Holographic Microscopy as a Technique for Recording Dynamic Microscopic Subjects.
- [45] Kock W. E., Proc. IEEE, 54 (2), 331 (1966). Hologram Television.
- 146. Kock W. E., Rendetro J., Proc. IEEE, 53, 1787 (1965). Some Carious Properties of Holograms.
- Kock W. E., Rosen L., Rendeiro J., Proc. 1EEE, 54, 1599 (1966).
   Holograms and Zone Plates.
- 148. Kock W. E., Rosen L., Stroke G. W., Proc. IEEE, 55, 80 (1967). Focussed Image Holography.
- 149. Kogelnik H., Bell System. Teclm. Journ., 44, 2451 (1965). Holographic Image Projection Through Inhomogeneous Media.
- 150. Kottler F., Ann. d. Phys., 4, 71, 457 (1923). Electromagnetische Theorie der Beugung an Schwarzen Schirmen.
- Kottler F., Ann. d. Phys., 4, 70, 405 (1923).
   Zur Theorie der Beugung an Schwarzen Schirmen.

152. Kottler F., Diffraction at a Black Screen, в книге Progress in Optics, ed. E. Wolf, vol. IV, Amsterdam, 1965.

**ДИТЕРАТУРА** 

- Kouasnay L. S. G., Arman A., Rev. Sci. Instr., 28, 793 (1957).
   Optical Autocorrelation Measurement of Two-dimensional Random Patterns.
- Kozma A., Kelly D. L., Journ. Opt. Soc. Am., 54, 1395 (1964).
   Spatial Piltering of Signals With Additive Noise.
- Kozma A., Kelly D. L., Appl. Opt., 4, 387 (1965).
   Spatial Filtering for Detection of Signals Submerged in Noise.
- 156. Kozma A., Journ. Opt. Soc. Am., 56, 428 (1966). Photographic Recording of Spatially Modulated Coherent Light.
- Kozma A., Massey N., Journ. Opt. Soc. Am., 56, 537 A (1966).
   Bias Level Reduction of Incoherent Holograms.
- 158. Kreuzer J. L., Ultrasonic Three Dimensional Imaging Using Holographic Techniques, Proc. Symp. Modern Optics, New York, B newark.
- Ладенбург Р. (ред.), Физические измерения в газовой двцамике и при гореции. ИЛ, 1957.
- 160. Landry M. J., Appl. Phys. Lett., 9 (8), 303 (1966). Copying Holograms.
- 161. Lehmann M., Huntley W. H., Jr., Protographic Techniques with Coherent Monochromatic Light, в трудых симпозиума The 10 th Technical Symposium of the Society of Photographic Instrumentation Engineers, San Francisco, California (August 1965).
- 162. Leith E. N., Journ. Photogr. Sci. Engineers., 6, 75 (1962).
  Photographic Film as an Elentent of a Coherent Optical System.
- 163. Leith E. N., Upatnicks J., Journ. Soc. Photogr. Instr. Engineers, 4, 3 (1965). Holograms, Their Properties and Uses.
- 164. Leith E. N., Upatnieks J., Journ. Soc. Photogr. Inst. Engineers, 3, 123 (1965). Imagery with Coherent Optics.
- Leith E. N., Upatnieks J., Journ. Opt. Soc. Am., 52, 1123 (1962).
   Reconstructed Waysfronts and Communication Theory.
- 166. Leith E. N., Upatnieks J., Journ. Opt. Soc. Am., 53, 1377 (1963).
  Wavefront Reconstruction will Continuous Tone Objects.
- 167. Leith E. N., Upatnieks J., Journ. Opt. Soc. Am., 54, 1295 (1964). Wavefront Reconstruction with Diffused Illumination and Three-Dimensional Objects.
- 168. Leith E. N., Upatnieks J., Physics Today, 18, 26 (1965). Wavefront Reconstruction Photography.

ЛИТЕРАТУРА

- 169. Leith E. N., Upatnieks J., Hildebrand B. P., Haines K., Journ. Soc. Motion Picture and Television Engineers, 74, 893 (1965). Requirements for a Wavefront Reconstruction Television Facsimile System.
- Leith E. N., Upatnieks J., Scientific American, 212 (6), 24 (1965) [см. перев.: УФН, 87, 521 (965)]. Photography by Laser.
- [71] Leith E. N., Upathieks J., Haines K., John, Opt. Soc. Am., 55 (8), 981 (1965).
- Microscopy by Wavefront Reconstruction.

  172. Leith E. N., Kozma A., Upatnieks J., Coherent Optical Systems.
- 172. Leith E. N., Kozma A., Opathies J., Content Online Systems for Data Processing, Spatial Filtering and Wacefront Reconstruction, a Knure Optical and Electro-Optical Information Processing, ed. J. T. Tippett, A. Berkowitz, L. C. Clapp. C. J. Koester and A. Vanderburgh, Jr., Cambridge, Mass., 1965. p. 143.
- Leith E. N., Upatnieks J., Kozma A., Massey N., Journ. Soc. Motion Picture and Television Engineers, 75, 323 (1966). Hologram VIsual Displays.
- 174. Leith E. N. et al., Appl. Opt., 5, 1303 (1966). Holographic Data Storage in Three-Dimensional Media.
- 175. Leith E. N., Upatnieks J., Journ. Opt. Soc. Ann., 56, 523 (1966).
   Holographic Imagery through Diffusing Media.
- 176. Leith E. N., Upatnicks J., Vander Lugt A., Appl. Opt., 5, 589 (1966).
- 889 (1906).
  Hologram Microscopy and Lens Aberration Compensation by the Use of Holograms.
- 177. Leith E., Electronics, 25, 88 (1966). Holography's Practical Dimension.
- 178. Ligithill M. J., Introduction to Fourier Analysis and Generalized Functions, New York, 1960.
- 179. Lin L. H., Lo Bianco C. V., Appl. Opt., 6 (7), 1255 (1967) Experimental Techniques in Making Multicolor White Light Reconstructed Holograms.
- 180. Lin L. H., Pennington K. S., Stroke G. W., Labeyrie A. L., Bell. Syst. Techn. Journ., 45 (4), 659 (1966). Multicolor Holographic Image Reconstruction with White Light Illumination.
- 181. Linfoot E. N., Recent Advances in Optics, Oxford, 1955.
- 182. Lippmann G., Journ. de phys., 3, 97 (1894). Sur la théorie de la photographie des couleurs simples et composées par la méthode interférentielle.
- Lohmann A. W., Journ. Opt. Soc. Am., 55, 1555 (1965).
   Wavefront Reconstruction for Incoherent Objects.
- 184. Lohmann A. W., Paris D. P., Journ. Opt. Soc. Am., 55, 1007 (1965).
  Space-Variant Image Formation.

- 185. Lohmann A., Appl. Opt., 4, 1667 (1965). Reconstruction of Vectorial Wavefronts.
- Lohmann A., Brown B. R., Appl. Opt., 5, 967 (1966).
   Complex Spatial Filtering with Binary Masks.
- Lohmann A., Paris D. P., Journ. Opt. Soc. Am., 56, 537A (1966).
   Binary Image Holograms.
- 188. Lowenthal S., Belvaux Y., Compl. Rend., 262, 413 (1966). Recommissance des formes en optique par trailement des signaux dérivés.
- Lowenthal S., Belvaux Y., Compt. Rend., 263, 9904 (1966).
   Holographie interférométrique en lumière diffuse.
- Lowenthal S., Werts A., Compt. Rend., 264, 971 (1967). Restilition d'hologrammes en lumière partiellement cohèrente.
- Ловенталь С., Бельво И., Пространственная фильтрация и голография — новое в котсрентной оптике, персв. с франц., М., 1970.
- 192. Lowenthat S., Werts A., Compt. Rend., 266, 542 (1968). Filtrage des fréquences spatiales en lumière incohérente à l'aide d'hologrammes.
- 193. Lowenthal S., Werts A., Compt. Rend., 268, 841 (1969). Congrés d'optique de Florence: utilisation de la lumiére spatialement incohérente en holographie.
- 194. Lowenthat S., Frochty C., Serres J., Compt. Rend.. 269, 1481 (1969). Spectrographic a haute luminosité et faible bruit par application des techniques holographiques.
- 195. Lurie M., Journ. Opt. Soc. Am., 56, 1369 (1966). Effects of Partial Coherence on Holography with Diffuse Illumination.
- Macchia J. T., White D. L., Appl. Opt., 91 (jan. 1968).
   Coded Multiple Exposure Holograms.
- Mandel L., Journ. Opt. Soc. Am., 55, 1697 (1965).
   Color Imagery by Wavefront Reconstruction.
- 198. Mandet L., Wolf E., Rev. Mod. Phys., 37, 231 (1965) [см. перевол: УФН, 87, 491 (1965); 88, 347, 691 (1966)]. Coherence Properties of Optical Fields.
- Mandel L., Journ. Opt. Soc. Am., 56, 1636 (1966).
   Wavefront Reconstruction with Light of Finite Coherence Length.
- Maron E., Journ. Opt. Soc. Ann., 57, 101 (1967).
   Color Imagery by Wavefront Reconstruction.
- Marquet M., Royer H., Compt. Rend., 260, 6051 (1965).
   Etudes des aberrations géométriques des images reconstituées par holographic.

- 202. Marquet M., Saget J. C., Compt. Rend., 261, 4681 (1965).
  The Influence of the Object Support in Coherent Optics.
- Marquet M., Fortunato G., Royer H., Compt. Rend., 261, 3555 (1965).
   Theoretical Study of the Object-Image Correspondence in

Holography.

204. Marquel M., Bourgeon M. A., Saget J. C., Revue d'Optique,

- 45 (45) (11), 501 (1966). Interférométrie par notographie.
- Marquet M., Linjitations dues au récepteur photographique en holographie, Bulletin de Photogrammétrie (juin 1968).
- Marquet M., Odier M., Compt. Rend., 288, 916 (1969). Stockage par holographic d'informations tridimensionnelles de mesure. Application à la scintigraphic.
- Marechal A., Croxe P., Compt. Rend., 237, 607 (1953).
   A Filter of Spatial Frequencies for the Improvement of the Contrast of Optical Images.
- Марешаль А., Франсон М., Структура оптического взображения. Дифракциониза теория и влияние когерентности света, перев. с франц., взд-во «Мир», 1964.
- 209. Martienssen W., Spiller S. Phys. Lett., 24A (2), 126 (1967). Holographic Reconstruction without Granutation.
- 210. Mees C. E. K., The Theory of the Photographic Process (исправленное изд.), New York, 1954.
- 211. Maier R. W., Journ. Opt. Soc. Am., 55, 1693 (1965).
  Depth of Focus and Depth of Field in Holography.
- Meier R. W., Journ. Opt. Soc. Am., 55, 987 (1965).
   Magnification and Third-Order Aberrations in Holography.
- Magnification and third-Order Abstractions in thoughpuy-213. Meier R. W., Journ. Opt. Soc. Am., 56, 219 (1966). Cardinal Points and the Novel Imaging Properties of a Ho-
- lographic System.

  214. Mertz L., Young N. O., Fresnel Transformations of Images,
  B Khure Proc. Conf. Optical Instruments and Techniques, ed.
- K. J. Habell, New York, 1963, p. 305.
  215. Mertz L., Transformations in Optics, New York, 1965 (cm.
- перевод: Л. Мерти, Интегральные преобразования в оптикс, изд-во «Мир., 1969).

  216. Metherell A. F. El Sum H. M. A., Dreker J. J., Larmore L.,
- 210. Melnerell A. F., Et Shill H. M. A., Dreket V. L., Landon J., Phys. Lett., 24 (10), 547 (1967). Optical Reconstruction from sampled Holograms made with Sound Waves.
- 217. Metherett A. F., Et Sum H. M. A., Larmore L., Acoustical Holography, New York, 1968.
- 218. Meyer-Arendt J. R., Journ. Opt. Soc. Am., 51, 1468 A (1961). An Approach to Stereoscopic Wavefront Reconstruction.

- Meyer-Arendt J. R., Appl. Opt., 2, 409 (1963).
   Three-Dimensional Wavefront Reconstruction.
- Mueller R. K., Sheridon N. K., Appl. Phys. Lett., 9, 328 (1966).
   Sound Holograms and Optical Reconstruction.
- 221. Mueller R. K., Marom E., Fritzler D., Appl. Phys. Lett. 12 (11), 394 (1968). Electronic simulation of a variable inclination reference for acoustic holography via the ultrasonic camera.
- O'Neill E. L., Selected Topics in Optics and Communication Theory, Boston University, Department of Physics, 1957.
- О'Нейл Э., Введение в статистическую оптику, перев. с аптл., изд-во «Мир», 1966.
- 224. O'Neill E. L., Trans. IRE, PGIT-2, 56 (1956). Spatial Filtering in Optics.
- O'Neill E. J. (ed.), Communication and Information Theory Aspects of Modern Optics, General Electric Co., Electronics Laboratory, Syracuse, N. Y., 1962.
- G'Neill E. L., An Infroduction to Quantum Optics, Publication of Department of Physics, University of California, Berkeley, 1965.
- Neumann D. B., Journ. Opt. Soc. Am., 56, 858 (1966).
   Geometrical Relationships Between the Original Object and the Two Images of a Hologram Reconstruction.
- 228. Offiner A., Journ. Opt. Soc. Am., 56, 1509 (1966). Ray Tracing Through a Holographic System.
- 229. Oliver B. M., Proc. IEEE, 51, 220 (1963).
  Sparkling Spots in Random Diffraction.
- Orr L. W., Tehon S. W., Barnett N. E., Appl. Opt., 203 (1968).
   Isophase surfaces in Interference Holography.
- Osterberg H., John Opt. Soc. Am., 56, 723 (1966).
   Reconstruction of Objects from Their Diffraction Images.
- 232. Parrent G. B., Thompson B. J., Opt. Acta, 11, 183 (1964). On the Fraunboler (Far Field) Diffraction Patterns of Opaque and Transparent Objects with Coherent Background.
- 233. Parrent G. B., Reynolds G. O., Jouen. Opt. Soc. Am., 55, 1566 A (1965); Journ. Soc. Photogr. Instr. Engineers, 3, 219 (1965). Resolution Limitations of Lepsless Photography.
- 234. Parrent G. B., Reynolds G. O., Journ. Opt. Soc. Am., 56, 1400 (1966).
  A Space Bandwidth Theorem for Holograms.
- 235. Papoulis A., The Fourier Integral and Its Applications, New York, 1963, p. 27.
- Paques H., Smigietski P., Opt. Acta, 12, 359 (1965).
   Holographie.

- 237. Paques H., Smigielski P., Compt. Rend., 260, 6562 (1965). Cincholography.
- 238. Pearcey T., Table of the Fresnel Integral, New York, 1956.
- 239. Peters P. J., Appl. Phys. Lett., 8 (8), 209 (1966). Incoherent Holograms with Mercury Light Source,
- 240. Pennington K. S., Collier R. J., Appl. Phys. Lett., 8 (1), 14 Hologram Generated Gliost Image Experiments.
- 24]. Pennington K. S., Collier R. J., Appl. Phys. Lett., 8, 44 Ghost Imaging by Holograms Formed in the Near Field,
- 242. Pennington K. S., Lin L. H., Appl. Phys. Lett., 7, 56 (1965). Multicolor Wavefront Reconstruction.
- 243. Pinnock P. R., Taylor C. A., Acta Cryst., 8, 687 (1955). The Determination of the Signs of Structure Factors by Optical Methods.
- 244, Pole R. V., Appl. Phys. Lett., 10 (1), 20 (1967). 3-D Imagery and Holograms of Objects Illuminated in White Light.
- 245. Pollack D. K., Koester C. J., Tippett J. T. (eds), Optical Processing of Information, Baltimore, 1963.
- 246. Powell R. L., Stetson K. A., Journ. Opt. Soc. Am., 55, 612 (1965).Interferometric Vibration Analysis of Three-Dimensional Objects by Wavefront Reconstruction.
- 247. Powell R. L., Stetson K. A., Johnn. Opl. Soc. Am., 55, 1593 (1965).Interferometric Vibration Analysis by Wavefront Reconstruc-
- 248. Preston K., Jr., Electronics 1), 38 (18), 72 (1965). Computing at the Speed of Light.
- 249. Preston K., Jr., Use of the Fourier Transformable Properties of Lenses for Signal Spectrum Analysis, в книге Optical and Electrooptical Information Processing, ed. J. T. Tippett et al., Cambridge, Mass., 1965.
- 250. Ratcliffe J. A., Some Aspects of Diffraction Theory and Their Application to the Ionosphere, a knure Reports on Progress in Physics, ed. A. C. Strickland, vol. XIX, London, 1956.
- 251. Rayleigh L., Phit. Mag., 43, 259 (1897). On the Passage of Waves Through Apertures in Plane Screens and Allied Problems.
- 252. Reynolds G. O., Skinner T. J., Journ. Opt. Soc. Am., 54, 1302 (1964).
- 1) С 1961 г. издается в русском переводе в изд-ве «Мирж «Электроника» — Прим. ред.

- Mutual Coherence Function Applied to Imaging through a Random Medium.
- 253. Reynolds G. O. Mueller P. F., Journ. Opt. Soc. Am., 56, 1438 A (1966). Image Restoration by Removal of Random Media Distor-
- tions. 254. Reynolds G. O., DeVelis J. B., IEEE Traips., AP-15, 41 (1967). Hologram Coherence Effects.
- 255. Rhodes J., Am. Journ. Phys., 21, 337 (1953). Analysis and Synthesis of Optical Images.
- 256. Rigter A. K., Journ. Opt. Soc. Am., 55 (12), 1693 (1965). Wavefront Reconstruction by Reflection.
- 257. Rigden J. D., Gordon E. I., Proc. IRE, 50, 2367 (1962). The Granularity of Scattered Optical Laser Light.
- 258. Rogers G. L., Nature, 166, 237 (1950). Gabor Diffraction Microscopy: the Hologram as a Generalized Zone Plate.
- 259. Rogers G. L., Proc. Roy. Soc. (Edinburgh), A63, 193 (1950-Experiments in Diffraction Microscopy.
- 260. Rogers G. L., Nature, 166, 1027 (1950). The Black and White Hologram.
- 261. Rogers G. L., Journ. Opt. Soc. Am., 56, 831 (1966). Polarization Effects in Holography.
- 262. Rogers G. L., Proc. Roy. Soc. (Edithurgh), A63, 313 (1951-1952). Artificial Holograms and Astigmatism.
- 263. Rogers G. L., Proc. Roy. Soc. (Edinburgh), A64, 209 (1954-1955). Two Hologram Methods in Diffraction Microscopy.
- 264. Rogers G. L., Journ. Opt. Soc. Am., 55, 1181 (1965). Phase-Contrast Holomains.
- 265. Rogers G. L., Journ. Scient. Instr., 43, 677 (1966). The Design of Experiments for Recording and Reconstructing Three-Dimensional Objects in Coherent Light (Holography).
- 266. Rose H. W., Journ. Opt. Soc. Am., 55, 1565 A (1965). Effect of Carrier Frequency on Quality of Reconstructed Wavefronts.
- 267. Rosen L., Appl. Phys. Lett., 9 (9), 337 (1966). Focused-Image Holography with Extended Sources.
- 268. Rosen L., Proc. IEEE, 55, 79 (1967).
- Holograms of the Aerial Image of a Lons. 269. Rosen L., Proc. IEEE, 55, 118 (1967).
- The Pseudoscopic Inversion of Holograms.
- 270. Rosen L., Clark W., Appl. Phys. Lett., 10 (5), 140 (1967). Film Plane Holograms without External Source Reference Beams.

- Rotz F. B., Friesem A. A., Appl. Phys. Lett., 8 (6), 146; 8 (9), 240 (1966).
   Holograms with Non-Pseudoscopic Real Images.
- Rouer H., Compt. Rend., 261, 4003 (1965).
   Δ Contribution to the Study of Information in Holography.
- 273. Rubinowicz A., The Miyamoto Wolf Diffraction Waye, B Kumre Progress in Optics, ed. E. Wolf, vol. IV, Amsterdam, 1965.
- 274. Russo V., Sottini S., Appl. Opt., 7, 202 (1968). Bleached Holograms.
- 275. Sakoi H., Vanasse G. A., Jonen. Opt. Soc. Am., 56, 131 (1966). Hilbert Transform in Fourier Spectroscopy.
- Silver S., Journ. Opt. Soc. Am., 52, 131 (1962).
   Microwave Aperture Antennas and Diffraction Theory.
- Silverman B. A., Thompson B. J., Ward J., Journ. Appl. Meteorol., 3, 792 (1964).
- A Laser Fog Disdronieter
- Sherman G. C., Journ. Opt. Soc. Am., 57, 1160 (1967).
   Reconstructed Wave Forms with Large Diffraction Angles.
- 279. Skinner T. J., Energy Considerations, Propagation on a Random Medium and Imaging in Scalar Coherence Theory, Ph. D. Thesis, Boston University, 1965.
- Sommerfeld A., Math. Ann., 47, 317 (1896).
   Mathematische Theorie der Diffraction.
- 28]. Sommerfeld A., Optics, Lectures on Theoretical Physics, vol. IV. New York, 1954.
- Сороко Л. М., УФН, 90 (1) (1966).
   Голография и интерференционная обработка информации.
- 283. Stelson K. A., Powell R. L., Journ. Opt. Soc. Am., 56 (9), 1161 (1966).
  Hologram Interferometry.
- 264. Sterson K. A., Powell R. L., Journ. Opt. Soc. Am., 55, 1694 (1965). Interferometric Hologram Evaluation and Real-Time Vibration Analysis of Diffuse Objects.
- Stroke G. W., Falconer D. G., Phys. Lett., 13, 306 (1964).
   Attainment of High Resolutions in Wavefront-Reconstruction Imaging.
- Stroke G. W., Falconer D. G., Journ. Opt. Soc. Am., 55, 595
   A (1965).
   Attainment of High Resolutions In Wavefront-Reconstruction Imaging, 11.
- 287. Stroke G. W., Restrick R., Funkhouser A., Brumm D., Gabor D., Phys. Lett.. 18 (2), 116 (1965). Oplical Image Synthesis (Complex Applitude Addition and Subtraction) by Holographic Fourier Transformation.

- 288. Stroke G. W., Restrick R. C., Appl. Phys. Lett., 7, 229 (1965).
  Holography with Spatially Non-coherent Light.
- 289. Stroke G. W., Appl. Phys. Lett., 6, 201 (1965). Lensless Fourier Transform Method for Optical Holography.
- 290. Stroke G. W., International Science and Technology, № 41, 52 (1965). Lensless Photography.
- 291. Stroke G. W., Phys. Lett., 23, 325 (1966).
  White Light Reconstruction of Hotographic Images.
- 292. Strake G. W., Falconer D. G., Phys. Lett., 15 (3), 238 (1965).
- Attainment of High Resolutions in Holography by Multidirectional Humination and Moving Scatterers. 293. Stroke G. W., Labeyrie A., Appl. Phys. Lett., 8, 42 (1966).
- Two-Beam Interferometry by Successive Recording of Intensities in a Single Hotogram.
- Stroke G. W., Zech R. G., Appl. Phys. Lett., 9 (5), 215 (1966).
   White Light Reconstructions of Color Images from Black and White Volume Holograms Recorded on Sheet Film.
   Stroke G. W., Westervelt F. H., Zech R. G., Proc. IEEE, 55,
- 109 (1967).
  Holographic Synthesis of Computer Generated Holograps.
- 296. Stroke G. W., Brumm D., Funkhouser A., Lubeyrie A., Restrick R., Brit. Journ. Appl. Phys., 17, 497 (1966). On the Absence of Phase-Recording or «Twin-Images Separation Problems in «Gabors (In-Line) Holography.
- 297. Stroke G. W., Funkhouser A. Leonard C., Indebetow G., Zech R. G., Journ. Opt. Soc. Am., 57, 110 (1967). Hand-Held Holography.
- Stroke G. W., Labegrie A. E., Phys. Lett., 20 (4), 368 (1966).
   White Light Reconstruction of Holographic Images Using the Lippman-Bragg Diffraction Effect.
- Stroke G. W., Labeyrie A., Phys. Lett., 20, 157 (1966).
   Interferometric Reconstruction of Phase Objects using Diffuse Coding and two Fiolograms
- Стироук Дж., Введение в когерентную оптику и голографию, перев. с литл., изд-во «Мир». 1967.
- 301. Tanner L. H., Journ. Sci. Instr. 43, 81 (1966). Some Applications of Holography in Fluid Mechanics. Tanner L. H., Journ. Sci. Instr., 43, 353 (1966). The Application of Lasers to Time-Resolved Flow Visualization. Tanner L. H., Journ. Sci. Instr., 43, 346 (1966). On the Holography of Phase Objects.
- 302. Thompson B. J., Journ. Opt. Soc. Am., 48, 95 (1958). Illustration of the Phase Change in Two Beam Interference will Partially Coherent Light.
- Thompson B. J., A New Method of Measuring Particle Size by Diffraction Techniques, Proc. Conf. on Photographic and

ЛИТЕРАТУРА

- SpecIroscopic Optics, 1964; см. также Japan. Journ. Appl. Phys., 4, 362 (1965), Suppl. I.
- 304. Thompson B. J., Parrent G. B., Justh B., Ward J., Journ. Appl. Meteorol., 5, 243 (1966). A Readout Technique for the Laser Fog Disdrometer.
- 305. Thompson B. J., Journ. Soc. Photogr. Instr. Engineers, 4,7 (1965).
  Advantages and Problems of Coherence as Applied to Photographic Situations.
- 306. Thompson B. J., Wolf E., Journ. Opt. Soc. Am., 47, 895 (1957). Two-Beam Interference with Partially Coherent Light.
- Thompson B. J., Ward J. H., Zinky W. R., Appl. Opt., 6, 519 (1967).
   Application of flologram Techniques for Particle Size Analysis.
- 308. Thompson B. J., Parrent G. B., Jr., Sci. Journ., 3 (1), 42 (1967).
  Holography.
- 309. Thiry H., Journ. Photogr. Sci. Engineers, 11, 69 (1963). Power Spectrum of Granularity as Determined by Diffraction. Thiry H., Appl. Opt., 3, 39 (1964). Some Qualitative and Quantitative Results on Spatial Filtering or Granularity.
- Tippett J. T. et al. (eds), Optical and Electro-optical Information Processing, Cambridge, Mass., 1965.
- 311. Tollin P., Main P., Rossmann M. G., Stroke G. W., Restrick R. C., Nature, 209, 603 (1966). Holography and its Crystallographic Equivalent.
- Trabka F. A., Roctling P. G., John Opt. Soc. Am., 54, 1242 (1964).
   Image Transformations for Pattern Recognition Using Incoherent Illumination and Bipolar Aperture Masks.
- 313. Tricoles G., Rope E. L., Journ. Opt. Soc., Am., 56, 542 A (1966). Wavefront Reconstruction with Centimeter Waves.
- 314. Tricoles G., Rope E. L., Journ. Opt. Soc. Ann., 57, 97 (1967). Reconstructions of Visible images from Reduced-Scale Replicas of Microwave Holograms.
- 315. Turin G. L., IRE Trans., 17-6, 311 (1960). An Introduction to Matched Filters.
- Tyter G. L., Journ. Geophys. Res., 71, 1559 (1966).
   The Bistatic, Continuous Wave Radar Method for the Study of Planetary Surfaces.
- Upatnieks J., Vander Lugt A., Leith E. N., Appl. Opt., 5 (4), 589 (1966).
   Correction of Leus Aberrations by Means of Holograms.

- 318. Urbach J. C., Meier R. W., Appl. Opt., 5 (4) 666(1966). Thermoplastic Xerographic Holography.
- Urbach J. C. John Soc. Photogr. Scientists and Engineers, 10, 287 (1966).
   The Role of Screening in Thermoplastic Xerography.
- Vunder Lugt A. B., Signal Detection by Complex Spatial Filtering, Radar Lab., Rept. No 4594-22-T, Institute of Science and Technology, The University of Michigan, Ann Arbor, 1963.
- 321. Vander Lugt A. B., IEEE Trans., 17-10, 2 (1964). Signal Detection by Complex Spatial Filtering.
- 322. Vander Lugt A., Rolz F. B., Klooster A., Jr., Character Reading by Optical Spatial Filtering B KHRE Optical Filtering, Optical and Electro-Optical Information Processing (ed. J. T. Tippett, D. A. Berkowitz, L. C. Clapp, C. J. Koester and A. Vanderburgh, Jr.), Cambridge, Mass., 1965, p. 125.
- 323. Vander Lugt A., Appl. Phys. Lett., 8 (2), 42 (1966).
- 324. Vander Lugt A., Opt. Acta., 15 (I), 1 (1968).
  A Review of Optical Data, Processing Techniques.
- 325. Van Heerden P. J., Appl. Opt., 2, 387 (1963).
  A New Optical Method of Storing and Retrieving Information.
- Van Heerden P. J., Appl. Opt., 2, 393 (1963).
   Theory of Optical Information Storage in Solids.
- 327. Van Ligten R. F., Journ. Opt. Soc. Am., 56, 1 (1966). Influence of Photographic Film on Wavefront Reconstruction, 1. Plane Wavefronts.
- 328. Van Ligten R. F., Journ. Opt. Soc. Am., 56, 1009 (1966). Influence of Photographic Film on Wavefront Reconstruction, 11. Cylindrical Wavefronts.
- 329. Van Ligten R. F., Osterberg H., Nature, 211, 282 (1966). Holographic Microscopy.
- 330. Viênot J. Ch., Bulabais J., Revue d'Optique, 44 (12), 621 (1965).
  Filtrage par hologramme d'un signal optique complexe; application au recalage des cartes de radar.
- 331. Viênot J. Ch., Monneret J., Compt. Rend., 262B, 671 (1966). Application de l'holographie au contraste de phase et à la strioscopie.
- Viénot J. Ch., Bulabois J., Opt. Acta, 14 (1), 57 (1967).
   Différenciation spectrale et filtrage par hologramme des signaux optiques faiblement décorrèles.
- 333. Vilinot J. Ch., Freehly C., Monneret J., Pasteur J., Hologram Interferometry Surface Displacement Fringe Analysis as an Approach to the study of Mechanical Strains and other Applications to the Delermination of Anisotropy in Transparent

- Objects, B KHHIC The Engineering Uses of Holography, ed. E. Robertson and J. Harvey, Cambridge, 1970, p. 133.
- 334. Viénot J. Ch., Froehly C., Monneret J., Pasteur J., Étude des faibles déplacements d'objets opaques et de la distorsion optique dans les lasers à solide par interféremétrie holographique, в трудах симиознума: Symposium on Applications of Coherent Light (Florence, 23—27 sept. 1968); Optica Acta., 16, 343 (1969).
- 335. Viénot J. Ch., Pertin G., Compt. Rend., 267В, 1137 (ноябрь 1968).

  Transmission des hologrammes au moyen d'une chaîne de Jélevision.
- 336. Viènot J. Ch., Monneret J., Revue d'Optique, 46 (2), 75 (1967).
  Interférométrie et photoélasticimétrie holographiques.
- 337. Vičnot J. Ch., Smigielski P., Royer J., Holographic optique, Paris, 1971.
- 338. Vogl T. P., Rigler A. K., Journ. Opt. Soc. Am., 55, 1566 (1965). Some Techniques for Increasing the Brightness and Angular Coverage of Wavefront Reconstructions.
- 339. Walters A., Opt. Acta (1), 41 (1963).
  The Question of Phase Retrieval in Optics.
- Ward J. H., Thompson B. J., Journ. Opt. Soc. Am., 57, 275 (1967).
   In-Line Hologram System for Bubble Chamber Recording.
- Waters J. P., Appl. Phys. Lett., 9 (11), 405 (1966).
   Holographic Image Synthesis Utilizing Theoretical Methods.
- 342. Welford W. T., Appl. Opt., 5 (5), 872 (1966). Obtaining Increased Focal Depth in Bubble Chamber Photography by an Application of the Hotogram Principle.
- 343. Winthrop J. T., Worthington C. R., Phys. Lett., 15, 124 (1965).
  X-Ray Microscopy by Successive Fourier Transformation.
- Winthrop J. T., Worthington C. R., Journ. Opt. Soc. Am., 56, 588 (1966).
   Convolution Formulation of Fresnel Diffraction. Winthrop J. T., Worthington C. R., Journ. Opt. Soc. Am., 56, 1362 (1966).
   Fresnel Transform Representation of Holograms and Hologram Classification.
- 345. Wolf E., Marchand E. W., John. Opt. Soc. Am., 54, 587 (1964).
  Comparison of the Kirchhoff and the Rayleigh-Sommerfeld Theories of Diffraction at an Aperture.
- Worthington H. R. Jr., Journ. Opt. Soc. Am., 56, 1397 (1966).
   Production of Holograms with Incoherent Illumination.

- 347. Young N. O., Sky and Telescope, 25, 8 (1963). Photography Without Lenses or Mirrors.
- 348. Zernike F., Zs. Techn. Phys., 16, 454 (1935).
  Phasenkontrastverfahren bei der mikroskepischen Beohachtung.
- 349. Burch J. M., Interferometry, NRZ Simposium Ne 11, London, 1950, p. 227.
- 350. Burch J. M., Gates J. W., Hall R. G. N., Tanner L. H., Nature, 212, № 5068, 1347 (1966). Holography With a Scatter-plate as Beam Splitter and a Pulsed Ruby Laser as Light Source.
- Boinin A., Théorie et calcut des figures de diffraction de révolution, Paris, 1964.

# дополнительная литература о

## **КНИГИ**, СБОРНИКИ ДОКЛАДОВ, ТРУДЫ КОНФЕРЕНЦИЙ

- 1\* Caulfield H. J., Sun Lu, The Applications of Holography, New York, 1970.
- 2\*. Acoustical Holography, ed. A. F. Metherell, H. M. El Sum and L. Larmore, vol. I, New York, 1969. Acoustical Holography, ed. A. F. Metherell and L. Larmore, vol. II, New York, 1970. Acoustical Holography, ed. A. F. Metherell, vol. iii, New York, 1971.
- 3\* Applications of Holography, Proc. of the United States -Japan Seminar on Information Processing by Holography (October, 1969), New York - London, 1971.
- 4\*. Kiemle H., Röss D., Einführung in die Technik der Holographie, Frankfurt/ М. 1969 (имеется также американское издание: Kiemle II., Ross D., Introduction to Holography Techniques, New York, 1971).
- 5\*. The Engineering Uses of Holography, ed. E. R. Robertson and J. M. Harvey, Cambridge, 1970.
- 6\*. Мерти Л., Интегральные преобразования в оптике, персв. с англ., изд-во «Мир», 1969.
- 7\*. Папулис А., Теория систем и преобразоваций в онтике, перев. с англ., изд-во «Мир», 1971.
- 8\*, Остроеский Ю. И., Голография, изд-во «Наука», 1970
- 9\*. Кок У., Лазеры и голография, перев. с англ., изд-во «Мир»,
- 1) Литература, отмеченная звездочкой, добавлена редактором перевода ОМП — Оптико-механическая промышленность; ЖНИПФИК - Журнал научной и прикладной фотографии и кинематографии). — Прим. ред.

- 10\*. Сороко Л. М., Основы толографии и когерентной оптики, изд-во «Наука», 1971.
- 11\*. Collier R. J., Burckhardt C. B., Lin L. H., Optical Holography, New York - London, 1971,
- Франсон М., Фазово-контрастный и интерференционный микроскоп, перев. с франц. Физматгиз. [96].
- 13\*. Франсон М., Сланский С., Когерентность в оптике, перев, . с франц., изд-во «Наука», 1967.
- 14\*. Smith H. M., Principles of Holography, New York, 1969.
- 15\*. Зверев В. А., Орлов Е. Ф., Оптические анализаторы, М., 1971.
- 16\*. Pelzer-Bawin G., De Lamotte F., Interprétation geometrique de l'holographic applications en photoejastimelrie, Liege, 1970.
- 17\*, Ландоберг Г. С., Оптика, М., 1957.
- 18\*. Дитибёрн Р. У., Физическая оптика, церев, с англ., изд-во «Наука», 1965.
- 19\*. Материалы первой и второй всесоюзных школ по голографии. Л., 1971.
- 20\*. Françon M., Optical Interferometry, New York, 1966.
- 21\*. «Holography», Soc. of Photo-optical Instr. Engineers (SPIE). Seminar proceedings, vol. 15, 1968.
- 22\*. Голография и ее использование в оптике. Материалы семишара, под ред. Ю. Н. Денисюка, т. I и 11. Л., 1970.
- 23\*. Applications of Holography, Proc. of the International Simposium (Besançon, 1970), Besançon, 1971.
- 24\*. Голография и оптическая обработка информации. Библнографический указатель (721 ссылка), ОИЯИ, Дубна, 1968.
- 25\*. Использование оптических квантовых генератороя в современной технике. Сб. докладов конференции (31 мая — 3 июня 1971 г., Лен. Дом научно-технической пропаганды), Л. 1971, ч. 2 и 3,

# ОБЗОРЫ НА ОБЩИЕ ТЕМЫ, ПОПУЛЯРНЫЕ СТАТЬИ

- 26\*, Gabor D., Stroke G. W., Endeavour, 28, 40 (1969). Holography and its applications.
- 27\*, Gabor D., Proc. R. Instr. Gt. Br., 43, 35 (1970). The Hologram.
- 28\*. Gabor D., Kock W., Stroke G., Science, 173, 11 (1971). Holography.
- 29\*. Gabor D., Opt. Acta, 16, 519 (1969).
- Information Processing with Coherent Light.
- 30\*. Ramberg E. G., RCA Rev., 27, 467 (1966). The Hologram - Properties and Applications.

- 31\*. Rogers G. L., Opt. Spectra, Nov., p. 20 (1970). When to Use Holography and when not to-
- . 32\*. Денисюк Ю. Н., ОМП, № 11, 18 (1967). Голография и работы ГОИ по се развитию.
- 33\*. Денисюк Ю. Н., Природа. № 2, 2 (1971). Образы внешнего мира.
- 34\*. Сороко Л. М., Природа, № 5, 50 (1971). От линзы к запрограммированному оптическому рельефу.

#### общие вопросы голографии

- 35\*. Brungdahl O., Lohman A., Journ. Opt. Soc. Am., 58, 620 (1968). Single-Sideband Holography
- 36\* Brungdahl O. Journ. Opt. Soc. Am. 59, 1645 (1969). Holography with Evanescent Waves.
- 37\*. Brungdahl O. Lohmann A., Appl. Opt., 9, 231 (1970). Variable Magnification in Incoherent Holography.
- 38\*, Goodman J. W., Journ. Opt. Soc. Am., 60, 506 (1970). Analogy between Holography and Interferometric Image Formation.
- 39\*. Hildebrand B. P., Journ. Opt. Soc. Am., 60, 1511 (1970). General Theory of Holography.
- 40\*. Hutzler P., Lanzl F., Woidelich W., Opt. Comm., 2, 402 (1971). Extension of the Spatial Frequency Range of Fourier Holograms by Double Exposure.
- 41\*. Kinder E., Rüll II., Optik, 33, 25 (1971). Darstellung und Deutung der Hologramm struktur einfacher periodischer Objekte in der Geradeausholographie.
- 42\*. Lee T. C., Gossen D., Appl. Opt., 10, 961 (1971). Generalized Fourier-Transform Holography and Its Applicalious.
- 43\*. Nassenstein H., Optik, 29, 456 (1969). Evanescent Interference Fringes.
- 44\*. Nussenstein H., Optik, 29, 598: 30, 44 (1969). Interference, Diffraction and Holography with Surface Waves («Suhwaves»), I, II.
- 45\*. Stewart W. C., Cosentino L. S., Appl. Opt., 9, 2271 (1970). Optics for a Read-Write Holographic Memory.
- 46\*. Trolinger J. D., Gee T. II., Appl. Opl., 10, 1319 (1971). Resolution Factors in Edgeline Holography.
- 47\*. Ueda M., Sato T., John Opt. Soc. Ani., 61, 418 (1971). Superresolution by Holography.

- 48\*. Upatnieks J., Leonard C. D., IBM Journ. Res. Dev., 14. 527 (1970). Characteristics of Dielectric Holograms.
- 49\*. Winthrop J. T., 1BM Journ. Res. Dev., 14, 501 (1970). Structural-information storage in Holograms.
- 50\*. Буйнов  $\Gamma$ . Н., Лукин А. В., Мустафин К. С., Опт. н спектр. 28, 762 (1970). Функция рассеяния и качество изображения в голографии.
- 51\*. Буйнов Г. Н., Лукин А. В. Мустафин К. С. Опт. и спектр. 28 [018 (1970). Влияние пространственной когерентности на характери-
- стики голографии. 52\*. Гинэбург В. М., Толпина С. П., Левин Г. Г., Радиотехи. и электр, 15, 1556 (1970).
- Некоторые свойства цилиндрических голограмм. 53\*. Гусев О. Б. Константинов В. Б., ЖТФ, 41, 222 (1971).
- Мстодика определения частотно-контрастных характеристик голографических систем. 54\*. Давыдова И. Н., Денисюк Ю. Н., Опт. и спектр., 26, 408
- О голографии интенсивностей.
- 55\*. Давыдова И. II., Денисюк Ю. Н., Опт. и спектр., 26, 828 О разрешающей способысти и поле арения голографического устройства, предпазначенного для регистрации изображения сквозь неоднородную атмосферу.
- 56°. Денисюк Ю. И. Стаселько Д. И., ДАН СССР, 176, 1274 (1967). О возможности получения голограмм с использованием референтного луча, длина волим которого отличается от длины волим излучения рассеянного объектом.
- 57\*. Денисюк Ю. Н., Стаселько Д. И., Минина В. П., ОМП, № 11, 73 (1968). Оголографической регистрации объектов, перемещающихся во время экспозиции.
- 58\*. Денисюк Ю. Н., Давыдова И. Н., Опт. и спектр., 28, 331 (1970).Об осреднения волновых фронтов методами голографии.
- 59\*. Клименко И. С., Матинян Е. Г., Рукман Г. И., Цисьма в ред. ЖЭТФ, 6, 535 (1967). О восстановлении в белом свете изображений интерференционных картин, формируемых голограммами полученными методом двойной экспозиции.
- 60\*. Клименко И. С., Матинян Е. Г., Опт. и сцектр., 28, 556 О некоторых особенностях голограмм сфокусированных
  - изображений.

- 61\*. Клименко И. С., Матинян Е. Г., Опт. и спектр., 29, 1132 (1970).
  Об использовании опорной волны произвольной формы при голографировании сфокусированных изображений.
- 62\*. Ковальский Л. В., Полянский В. К., Ост. и спектр., 28, 338 (1970). Исследование возможностей метода голографии без использования опорного пучка.
- 63\*. Кондурова Л. Н., Смирнов А. И., ЖТФ, 41, 1043 (1971). О возможности голографического исследования перводических микрообъектов.
- 64\*. Константинов Б. П., Зайдель А. Н., Константинов В. Б., Островский Ю. И., ЖТФ, 36, 1718 (1966). Фотографирование в когерентном свете. Экспериментальная техника и разрешающая способность метода.
- 65\*. Мандросов В. И., Онт. и сцектр., 26, 464 (1969). Свойства поверхностных внеосевых голограмм точечного объекта.
- 66\*. Миказаян А. Л., Бобринев В. И., Письма в ред. ЖЭТФ, 4. 172 (1966). Пумовые ограничения при получении объемцых изображений.
- 67\*. Пистолькорс А. А., ДАН СССР, 176, 816 (1967). К теории голографического микроскопа.
- 68\*. Пистолькорс А. А., ДАЕ СССР, 178, 334 (1967). О разрецающей способности голограммы.
- 69\*. Стаселько Л. И., Ленисюк Ю. И., Онт. и снектр., 28, 323 (1970)
  - О влиянии структуры поперсчных мод источника излучения на изображение, создаваемое голограммой.

# ЭКСПЕРИМЕНТАЛЬНАЯ ТЕХНИКА

- 70\*. Ansley D. A., Appl. Opt., 9, No 4 (1970). Techniques for Pulsed Laser Holography of People.
- 71\* Benton S. A., Mingace H. S., Jr., Appl. Opt., 9, 2812 (1970). Silhouette Holograms Without Vertical Parallax.
- 72\*. Brown R. M., Appl. Opt., 9, 1726 (1970). A Variable Beam Splitter for Lasers.
- Bryngdahl O., Lohmann A., Journ. Opt. Soc. Am., 59, 1175 (1969).
   Holographic Compensation of Motion Blur by Shutter Modu-
- 74\* Bryngdahl O., Journ Opt Soc. Am., 59, 1245 (1969). Holographic Penetration of an Inhomogeneous Medium.
- 75\* Burckhardt C. B., Doherty E. T., Appl. Opt., 8, 2329 (1969). Beaded Plate Recording of Integral Photographs.

- 76\*. Caulfield H. J., Appl. Phys. Lett., 16, 234 (1970). Holography of Randomly Moving Objects.
- 77\*. Chau H. M., Appl. Opt., 9, 1479 (1970). A Full-View Holographic System.
- 78\*. Прейден Г. В., Островский Ю. И., Шедова Е. И., Зайдель А. Н., Орі. Comni., 4, 209 (1972).
  Holographic Interferograms in Stimulated Raman Light.
- 79\* Gates J. W., Hall R. G. N., Ross I. N., Journ. Scient. Instr. (Journ. of Physics E), 3, 89 (1970). Holographic recording using frequency-doubled radiation at 530 nm.
- 80\*. Goodman J. W., Jackson D. W., Lehmann M., Knotts J., Appl. Opt., 8, 1581 (1969). Experiments in Long-Distance Holographic Imagery.
- 81\*. Hsu T. R., Moyer R. G., Appl. Opl., 10, 669 (1971). Application of Fiber Optics in Holography.
- 82\*, Leonard C. D., Smirt A. L., Appl. Opt., 10, 625 (1971). Holographic Recording with Limited Laser Light.
- 83\*. Lin J., II., Beanchamp H. L., Rev. Sci. Instr<sup>()</sup>., 41, 1438 (1970). An Automatic Shutter for Holography.
- 84\*. Lin L. H., Doherty E. T., Appl. Opt.. 10, 1314 (1971). Efficient and Abertation-Free Wavefront Reconstruction from Holograms Huminaled at Wavelengths Differing from the Forming Wavelength.
- Lowenthal S., Leiba E., Lucas M., Werts A., Compt. Rend., 266, 1363 (1968).
   Holographie en lumière infraronge à 10 μ.
- 86\*. McClung F. J., Jacobson A. D., Close D. H., Appl. Opt., 9, 103 (1970).
  Some Experiments Performed with a Reflected-Light Pulsed-Laser Holography System.
- 87\* Nagata R., Iwata K., Matsumoto T., Appl. Opt., 9, 2185 (1970).
  Holographic Section Profiting of a Three-Dimensional Object by Humination with Interference Fringes.
- Nishida N., Sakaguchi M., Appl. Opt., 10, 439 (1971).
   Improvement of Nonuniformity of the Reconstructed Beam Intensity from a Multiple-Exposure Hologram.
- 89\*. Ost J., Storck E., Opt. Technology, 1, 251 (1969). Techniques for generation and adjustment of reference and reconstructing waves in precision holography.
- 90\*. Palais J. C., Appl. Opt., 9, 709 (1970). Scanned Beam Holography.

 $<sup>^{(1)}</sup>$  С 1961 г. издается в русском переводе в издате «Мир»; «Приборы для научных исследований». — Прим. ред.

91\*. Som S. C., Lessard R. A., Appl. Phys. Lett., 17, 171 (1970). Fourier Transform Holograms of Three-Dimensional Objects.

дополнительная литература

- 92\*. Tsuruta T., Itoh Y., Japan Journ. Appl. Phys., 8, 96 (1969). Hologram Schlieren and Phase-Contrast Methods.
- 93°. Бутусов М. М., Демченко В. Я., Туркевич Ю. Г., ПТЭ, Nº 2, 203 (1971). Голографический стробоской на рубниовом дазере с пассивным затвором.
- 94\*. Бутусов М. М., Туркевич Ю. Г., ЖНИПФИК, 16, 303 (1971).Простая схема для получения голографических интерфе-
- рограмм в реальном масштабе времени. 95\*. Буйнов Г. Е., Лукин А. В., Мустафин К. С., ОМП, № 10,
- 70 (1970). Голографический интерферометр с волоковным световодом.
- 96\*. Герке Р. Р., Денисюк Ю. Н., Локинин В. И., ОМП. № 7. 22 (1968). Метод контроли когсрентности излучения ОКГ, применяемых в голографии.
- 97\*. Гинэбург В. М., Мещанкин В. М. Радиотехн. и электр., 15, 778 (1970). Голографирование в СВЧ-диапазоне с искусственным формировацием опорной волны.
- 98\*. Гинзбург В. М., Федоровский Б. И., ЖТФ, 40, 2221 (1970). Разрешающая способность голография для реальных фотоматериалов.
- 99\*. Гусев О. Б., Константинов В. Б. ЖТФ, 39, 354 (1969). Рассеиватели в голографии.
- 100\*. Дёмкин В. К., Никашин В. А., Сахаров В. К., Тарасов В. К., ЖТФ. 40, 1424 (1970). Применение рассеивателей при голографическом исследовании фазовых объектов.
- 101\*. Дрейден Г. В., Островский Ю. И., Шедова Е. Н., Опт. и спектр., 32, 367 (1972). Интерференционный метод исследовация степени простра :ственной котерентности.
- 102\*. Какичашвили Ш. Д., ОМП, № 10, 15 (1970). фокусированное голографирование интегральных изображений протяженных объектов.
- 103\*. Какичашвили Ш. Д., Какичашвили В. И., ЖТФ, 41 1508 Реконструкция фокусированных голограмм с нормальной перспективой.
- 104\*. Клименко И. С., Матинян Е. Г., Налимов И. П., Онт. н спектр., 26, 1019 (1969). Голографическая регистрация сфокусированных изображений и их восстановление в белом свете.

- 105\*. Комар А. П., Турухано Б. Г., Турухано П., ДАН СССР, 186 1312 (1969). Габоровские голограммы с чистым опорным пучком.
- 106\*. Мещанкин В. М., Радиотехи. и электр., 15, 1540 (1970). Голография в радиоднапазоне с опорной волной частоты, не равной частоте сигнала.
- 107\*, Микаэлян А. Л., Разумов Л. Н., Сахарови И.А., Турков Ю.С., Письма в ред. ЖЭТФ, 5, 145 (1967). О получении голограмм фурье с помощью импульсного рубинового лазера.
- 108\*. Стаселько Д. И., Денисюк Ю. П., Смирнов А. Г., Опт. в свектр., 26, 413 (1969). О голографической регистрации картины временной когсрентности цуга воли импульсного источника излучения.
- 109\*. Типихано Б. Г. ЖТФ, 40, 181 (1970). Накопление информации на голограмме по глубяне восстановленного изображения и загрузка пузырьковой камеры треками.

#### МАТЕРИАЛЫ ДЛЯ ЗАПИСИ ГОЛОГРАММ. их свойства и испытание

- 110\*. Amodei J. J., Staebler D. L., Stephens A. W., Appl. Phys. Lett. 18, 507 (1971). Holographic Storage in Doped Barium Sodium Niohate  $(Ba_2NaNb_5O_{t5})$ .
- 111\*. Amodei J. J., Staebler D. L., Appl. Phys. Lett., 18, 540 Holographic Pattern Fixing in Electre-Optic Cristals.
- 112\*. Biedermann K., Appl. Opt., 19, 584 (1971). Attempts to Increase the Hotographic Exposure litdex of Photographic Materials.
- 113\*. Brandes R. G., Francois E. E., Shankoff T. A., Appl. Opt., 8, 2346 (1969). Preparation of Dichromated Gelatin Films for Holography.
- 114\*, Chenoweth A. J., Appl. Opt., 10, 913 (1971). Huntidity Testing of Bleached Holograms.
- 115\*, Cox M. E., Buckles R., Appl. Opt., 10, 916 (1971). Influence of Selected Processing Variables on Holographic Film Parameters: Kodak SO-243.
- 116\*. Curran R. K., Shankoff T. A., Appl. Opt., 9, 1651 (1970). The Mechanism of Hologram Formation in Dichromated Getatin.
- 117\*. Dalisa A. L., Zwicker W. K., DeBitetto D. J., Harnack P., Appl. Phys. Lett., 17, 208 (1970). Photoanodic Engraving of Hotograms on Silicon.

118\*. DeBelder M., Photogr. Sci. and Eng. 13, 351 (1969). Quality criteria of photographic materials for use in holography.

119\*. Gara A. D., Yu F. T. S., Appl. Opt., 10, 1324 (1971). Effect of Emulsion Thickness Variations on Wavefront Reconstruction.

120\*. Goetz G. G., Appl. Phys. Lett., 17, 63 (1970).
Real-Time Holographic Reconstruction by Electro-Optic
Modifation.

121\*. Hashiue M., Opt. Comm., 3, 53 (1971). Vacuum Evaporated Silver Halide as a Holographic Recording Material.

122\*. Jenney J. A., Journ. Opt. Soc. Am., 60, 1155 (1970). Holographic Recording with Pholopolymers.

123\*. Iizuka K., Proc. 1EEE, 57, 813 (1969). Microwave Hologram by Photoengraving.

124\* Keneman S. A., Taylor G. W., Miller A., Fonger W. H., Appl. Phys. Lett., 17, 173 (1970). Storage of Holograms in a Ferroelectric — Photoconductor Device.

125\*. Kiemle H., Opt. Technology, 1, 146 (1969).
Phase Holograms in Photographic Emulsions for Digital

Data Storage.

126\*. Kiemle H., Wolff U., Opt. Comm., 3, 26 (1971).
Application de Cristaux fiquides en holographie optique.

127\* Lamberts R. L., Kurtz C. N., Appl. Opl., 10, 1342 (1971). Reversal Bleaching for Flare Light in Holograms.

128\*. Laming F. P., Levine S. L., Sincerbox G., Appl. Opl., 10, 1181 (1971). Lifetime Extension of Bleached Holograms.

129\* Lanzl F., Röder U., Waidelich W., Appl. Phys. Lett., 18, 56 (1971).
 Hologram Recording by Anisotropic Color Centers.

130\*. Lin L. H., Appl. Opt., 8, 963 (1969). Hologram Formation in Hardened Dichromated Gelatin Films.

131\* Lin L. H., Beanchamp H. L., Appl. Opt., 9, 2088 (1970). Write-Read-Erase in Situ Optical Memory Using Thermoplastic Holograms.

132\*. Lin L. H., Journ. Opt. Soc. Am., 81, 203 (1971). Method of characterizing hologram-recording materials.

133\* Lo D. S., Manikowski D. M., Hanson M. M., Appl. Opt., 10, 978 (1971). Holographic Recording in α<sub>2</sub>-Salicylideneaniline Photochromic Material.

134\*. Meyerhofer D., Appl. Opt., 10, 416 (1971). Spatial Resolution of Relief Holograms in Dichromated Gelatin. 135\*. Mezrick R. S., Appl. Opt., 9, 2275 (1970). Magnetic Holography.

136\*. Nishida N., Appl. Opt., 9, 238 (1970). Correction of the Shrinkage of a Photoraphic Emulsion with Triethanolamine.

137\*. Nassenstein II., Optik, 30, 201 (1969). Rekonstruktion von Hologrammen mit h\u00f6herem Beugungswirkungsgrad.

138\*. Nassenstein H., Buschmann H. T., Geldmacher J., Optik, 30, 527 (1970).

The Diffraction Efficiency of Absorption Gratings, 139\*. Pennington K. S., Harper J. S., Appl. Opt., 9, 1643 (1970).

Techniques for Producing Low-Noise, Improved Efficiency Holograms.

140\*. Pennington K. S., Hurper J. S., Laming F. P., Appl. Phys. Lett., 18, 80 (1971).
New Photolechnology Suitable for Recording Phase Holograms and Similar Information in Hardened Gelalin.

141\*. Schmackpfeffer A., Jarisch W., Kulcke W. W., IBM Journ. Res. Dev. 14, 533 (1970). High-efficiency Phase-hologram Gratings.

142\*. Shankoff T. A., Appl. Opt., 8, 2282 (1969). Recording Holograms in Luminescent Malerials.

143\*. Woerdman J. P., Opt. Comm., 2, 212 (1970). Formation of a Transient Free Carrier Hologram in Si.

144\*. Young M., Kittredge F. H., Journ. Opt. Soc. Am., 59, 1492 (1969). Amplitude and Phase Holograms Exposed on Agia-Gevacrt 10 € 75 Plates.

145\*. Бобринее В. И., Потапола Н. В., Решеницкова Г. И., ЖНИПФИК, 14, 376 (1969). Исследование разрешающей способности фотоматериалов, применяемых в голографии.

146\* Денисок Ю. Н., Пропас И. Р., Опт. и спектр., 14, 721 (1963).
Усъвершенствованные липпмановские фотографичсские пластицки для регистрации столчих световых воли.

147\*. Зайдель А. Н., Константинов В. Б., Островский Ю. И., ЖНИПФИК, 11, 381 (1966). Лазерная резольномстрия.

148\*. Кириллов Н. И., Васильева Н. В., Зеликман В. Л., ЖНИПФИК, 15, 441 (1970).
Получение концентрированных фотографических эмульсий путем их последовательного замораживания и оттепвания.

149\*. Каимов Л. М., Померанцев Н. М., Фабриков В. А., Изв. АН СССР, сер. физ., 31, 386 (1967). Применение магнитных пленок в голографии.

- 150\*. Комар А. Л., Стабников М. В., Турухано Б. Г., Опт. я спектр., 23, 827 (1967). Голографические решетки на толкой металлической пленке.
- 151\*. Островский Ю. И., Записки Ленингр. Горн. Инст. вм. Г. В. Плеханова, 51 (3), 136 (1970). Интерференционная резольвометрия.
- 152\*. Пальцев Г. П., Стожарова К. А., ОМП, № 1, 52 (1971). Иммерсионные жилкости для голограмм на пленках.
- 153\*. Синцов В. Н., ЖНИПФИК, 15, 298 (1970). Использование необычных регистрирующих сред в голографии.
- 154\*. Синцов В. Н., ЖНИПФИК, 15, 379 (1970). Влияние свойств фотографического материала на качество изображения, восстановленного на голограммы.
- 155\* Стаселько Л. И., Смирнов А. Г., ЖНИПФИК, 15, 66 (1970). Особенности поведения высокоразрешающих эмульсий при голотрафировании с использованием импульсного истучника излучения.
- 1 6\* Спепанов Б. И., Ивакип Е. В., Рубанов А. С., ДАН СССР, 196, 567 (1971). О регистрании плоских и объемных линамических голограмм в просветияющихся веществах.
- 157\*, *Прусс П. Х.*, ЖНИПФИК, **13**, 52 (1968). Разрешающая способность высокоразрешающих фотоматериалов.

# ИССЛЕДОВАНИЕ И ИСПОЛЬЗОВАНИЕ НЕЛИНЕЙНЫХ СВОЙСТВ РЕГИСТРИРУЮЩЕЙ СРЕДЫ

- 158\*. Bryngdahl O., Lohman A. W., Journ. Opt. Soc. Am., 58, 141 (1968). Interfere grains are Image Holograms.
- 159\* Bryngdahl O., Lohmann A., Journ. Opt. Soc., Am., 58, 1325 (1968). Nonlinear Effects in Holography.
- 160\*. Bryngdahl O., Journ. Opt. Soc. Am., 60, 865 (1970). Phase Multiplication in Holographic Interierometry.
- 161\* Clausen C. Dammann H., Opt. Comm., 2, 263 (1970). Effects of Intrinsic Non-linearities on Efficiency and Image Contrast of Bleached Holograms.
- 162\*. Knight G. R., Appl. Opt., 7, 205 (1968). An Extension of Effects of Film Nonlinearities in Holography.
- 163\*. Kozma A., Juli G. W., Hill K. O., Appl. Opt., 9, 721 (1970). An Amplitical and Experimental Study of Nonlinearities in Hologram Recording.

- 164\*. Matsumoto K., Takashima M., Journ. Opt. Soc. Am., 60, 33 (1970). Phase-Difference Amplification by Nonlinear Holograms.
- 165\*. Palermo C. J., Leith E. N., Harger R. O., Loucka W. A., Appl. Opt., 9, 2813 (1970). Suppression of the Flolographic Twin Image by Nonlinear Techniques.
- 166\*. Schwider J., Burow R., Journ. Opt. Soc. Am., 60, 1421 (1970). Nonlinearities in Image Holography.
- 167\*. Schwider J., Burow R., Exper. Techn. der Phys., 18, 255 (1970).
  Sleigerung der phasenempfindlichkeit mittels nieutlinearer prozesse.
- 168\*. Vander Lugt A., Rotz F. B., Appl. Opt., 9, 215 (1970). The Use of Film Nonlinearities in Optical Spatial Filtering.
- 169\*. Velzet C. H. F., Opt. Comm. 2, 289 (1970). Small Phase differences in holographic interferometry.
- 170\* Vetzel C. H. F., Opt. Comm., 3, 133 (1971). Influence of non-linear recording on image formation in holography.
- 171\* Wyant J. C., Givens M. P., Journ. Opt. Soc. Am., 59, 1650 (1969).
  Effects of Photographic Gamma on Hologram Reconstructions.
- 172\*. Wyant J. C., Givens M. P., Appl. Opt. 9, 810 (1970). Undesired Light in a Reconstructed Hologram Image Caused by the Nonlinearity of the Photographic Process.
- 173\*. Денасюк Ю. Н., Семенов Г. Б., Савостьяненко Н. А., Опт. и спектр., 29, 994 (1970).
  О влиянин нелинейности фотоматериала на характеристики амплитудных голограмм.
- 174\*. Мустифин К. С., Селезнев В. А., Штырков Е. Н., Опт. в спектр., 28, 1186 (1970).
  Истиользование неятнейных свойств фотоэмульсии для попышения чувствительности голографической интерферомстрии.
- 175\*. Мустифин К. С., Селезнев В. А., Опт. и спектр., 29, 990 (1970).
  Об аберрациях в голографической интерферометрии при использовании высших порядков дифракции.
- 176\*. Славинская В. Н., Опт. и спектр., 31, 985 (1971). Пространственная фильтрация структуры голографического изображения как результат нелинейных искажений при записи голограмым.

#### ГОЛОГРАФИЧЕСКАЯ ИНТЕРФЕРОМЕТРИЯ

177\*. Bryngdahl O., John. Opt. Soc. Am., 59, 1171 (1969). Multiple Beam Interferometry by Wavefront Reconstruction.

- 178\*. Iwata K., Nagata R., Journ. Opt. Soc. Am., 60, 133 (1970). Calculation of Three-Dimensional Refractive-Index Distribution from Interferograms.
- 179\*. Matsumoto K., Journ. Opt. Suc. Am., 59, 777 (1969). Holographic Multiple-Beam Interferometry.
- 180\* Maisumoto K., Journ. Opt. Soc. Am., 61, 176 (1971).
  Analisis of Holographic Multiple-Beam Interferometry.
- 181\* Motin N. E., Stetson K. A., Optik, 31, 3 (1970). Measurement of Frinze Loci and Localization in Hologram Interferometry for Pivot Motion, In-Plane Rotation and In-Plane Translation.
- 182\* Rogers G. L., Journ. Opt. Soc. Am., 61, 784 (1971). Wavelength Tolerances in Frozen-Fringe Holography.
- 183\*. Rowley P. D., Journ. Opt. Soc. Am., 59, 1496 (1969); Erratum, 60, 705 (1970). Quantitative Interpretation of Three-Dimensional Weakly Refractive Phase Objects Using Holographic Interferometry.
- 184\* Sollid J. E., Swint J. B., Appl. Opt., 9, 2717 (1970).
  A Determination of the Optimum Beam Ratio to Produce Maximum Contrast Photographic Reconstructions from Double-Exposure Holographic Interferograms.
- Tsuruta T., Shiotake N., Hoh Y., Japan. John. Appl. Phys.,
   1092 (1968).
   Helogram Interferometry Using Two Reference Beams.
- 186\*. Tsuruta T., Itoh Y., Appl. Opt., 8, 2033 (1969). Holographic Two-Beam Interferometry Using Militiple-Refjected Light Beams.
- 187\* Tsuruta T., Shiotake N., Itoh Y., Opt. Acta, 16, 723 (1969). Formation and lucalization of holographically produced interference fringes.
- 188\* Tsuruta T., Itoh Y., Appl. Phys. Lett., 17, 85 (1970). Holographic Interferometry for Rotating Subject.
- 189\*. Varner J. R., Appl. Opt., 9, 2098 (1970).
  Desensitized Hulogram Interferometry.
- 190\* Velzel C. H. F., Journ. Opt. Soc. Am., 60, 419 (1970). Fringe Contrast and Fringe Localization in Holographic Interferometry.
- 191\*. Vest C. M., Sweeney D. W., Appl. Opt., 9, 2321 (1970). Holographic Interferometry of Transparent Objects with Illumination Derived from Phase Gratings.
- 192\* Vest C. M., Sweeney D. W., Appl. Opt, 9, 2810 (1970). Holographic Interierometry with Both Beams Traversing the Object.
- 193\*. Walles S., Ark. för Fysik., 40, 299 (1969). Visibility and localization of fringes in holographic interferometry of diffusely reflecting surfaces.

- 194\*. Weigl F., Friedrich O. M., Jr., Dougul A. A. IEEE Journ. Quantum Electr., QE-6, 41 (1970). Multipie-Pass Nondiffuse Holographic Interferometry.
- 195\*. Weigt F., Appl. Opt., 10, 187 (1971).
  A Generalized Technique of Two-Wavelength Nondiffuse Holographic Interferometry.
- 196\*. Weigt F., Appl. Opt., 10, 1083 (1971). Two-Wavelength Holographic Interferometry for Transparent Media Using a Diffraction Grating.
- 197\*. Белозеров А. Ф., Черных В. Т., Онт. и спектр., 27, 355 (1969). Пилучение интерферограммы санига и теневых картин оптической неоднородности с однократно экспонированной голограммы.
- 198\*. Власов Н. Г., ЖТФ, 40, 1656 (1970). Классификация мстодов голографической интерферометрин в зависимости от диффузных элементов в исследуемых объектах и освещающих их источниках.
- 199\*. Власов Н. Г., Галайда В. Т., Скронкий Г. В., Опт. и спектр., 28, 838 (1970). Независимое сложение систем интерференционных полос на восстановленном изображении.
- Гикзбург В. М., Мещанкин В. М., Степанов Б. М., Радистехн. и электр., 15, 2612 (1970).
   Гологруфическая витерферометрия в СВЧ-днапазопе.
- 201\*. Гинзбург В. М., Филенко Ю. И., ЖТФ, 40, 2217 (1970). Влияние преломления световых лучей при голографической интерферометрии фазовых объектов.
- 202\*. Дреаден Г. В., Островский Ю. И., Сухоруких В. С., Онт. и сусктр., 32, 227 (1972). Пространственная фильтрация витерферирующих волн.
- 203\*. Игнатов А. Б., Комиссарова И. И., Островская Г. В., Шапиро Л. Л., ЖТФ, 41, 417 (1971). Двухдлинковолнован одноэкспоэиционная голографическая интерферометрия плазмы.
- 204\* Клименко И. С., Матинян Е. Г., Онт. в спектр., 27, 367 (1969).
  Восстановление в белам свете интерфераграмм диффузно отражающих объектов с номощью дважды экспонированных голограмм сфокусированных изображений.
- 205\*. Кламенко И. С., Матинян Е. Г., Рукман Г. И., Онт. и спектр., 29, 160 (1971). Голографическая витерферомстрия методом пвойной экспозиции с восстановлением в белом свете.
- 206\*. Мустафин К. С., Селезнев В. А., Ост. и спектр., 30, 154 (1971). Трехлучевая голографическая интерферометрия.

207\* Островская Г. В., Островский Ю. И., ЖТФ, 40, 2419 (1970). Двухдинноволновый голографический метод изучения дисперсионных свойетв фазовых объектов.

# исследование деформаций и напряжений

- 208\*. Abramson N. H., Appl. Opt., 8, 1235 (1969). The «Hojo-diagram». A Practical Device for Making and Evaluating of Holograms.
- 209\*. Abramson N. H., Appl. Opt., 9, 97 (1970). The 4Holo-diagrams, II: A Practical Device for Information Retrieval in Hologram Interferometry.
- 210\*. Abramson N. H., Appl. Opt. 9, 2311 (1970).
  The «Holo-diagrams, 111: A Practical Device for Predicting
  Fringe Patterns in Hologram Interferometry.
- 211\*. Clark J. A., Durelli A. J., Exper. Mech., 10, 1 (1970). A Simple Holographic Interferometer for Static and Dynamic Photomechanics.
- 212\*. Gates J. W. C., Opt. Technology, 1, 247 (1969). Holographic Measurement of Surface Distorsion in Three Dimensions.
- 213\*. Sanjord R. J., Durelli A. J., Exper. Mech., April, 3 (1971).
  Interpretation of Fringes in Stress-Holo-Interferometry.
- 214\*. Sollid J. E., Appl. Opt., 8, 1587 (1969). Holographic Interferometry Applied to Measurements of Small Static Desplacements of Diffusely Reflecting Surfaces.
- 215\*. Viénot J. Ch., Nouv. Revue d'Optique appl., 1, 91 (1970). Sur quelques essais d'interprétation quantitative des hologrammes dans l'étude des contraintes.
- 216\*. Александров Е. Б., Бонд-Еруевич А. М., ЖТФ, 37, 360 (1967). Исследование поверхностных деформаций тел с помощью голограммной техники.
- 217\*. Зайдель А. Н., Листовец В. С., Островский Ю. И., ЖТф, 39, 2225 (1969). Интерференционно-голографический метод исследования распределения напряжений в прозрачных моделях.

## ИССЛЕДОВАНИЕ ВИБРАЦИЙ

- 218\*. Archbold E., Ennos A. E., Nature, 217, 942 (1968).
  Observation of Surface Vibration Modes by Streboscopic
  Hologram Interferometry.
- 219\*. Archbold E., Ennos A. E., Taylor P. A., Opt. Instr. and Techniques (1969), p. 265.

- A Laser Speckle Interferometer for the Detection of Surface Movements and Vibration.
- 220\*. Aprahamian R., Evensen D. A., Journ. Appl. Mech., 287 (1970).
  Appli cations of Holography to Dynamics: High-Frequency Vibrations of Beams.
- 221\*. Hockley B. S., Butters J. N., Journ. Photogr. Sci. Engineers, 18, 16 (1970).
  Coherent Photography (Holography) as an Aid to Engineering Design.
- 222\*. Kiemle H., Ost J., Opt. Comm., 2, 107 (1970). Die Rolle des Doppler-Effektes in der Holographischen Schwingungsanalyse.
- 223\* Wilson A. D., Journ. Opt. Soc. Am., 60, 1068 (1970). Characteristic Functions for Time-Average Holography.
- 224\*. Witson A. D., Journ. Opt. Soc. Am., 60, 1162 (1970). Time Average Holographic Interferometry of a Circular Plate Vibrating Simultaneously in Two Rationally Related Modes.
- 225\*, Зайдель А. Н., Малхасян Л. Г., Маркова Г. В., Островский Ю. И., ЖТФ, 38, 1824 (1968). Стробо-голографический метод изучения вибраций.

## ИЗУЧЕНИЕ РЕЛЬЕФА ПОВЕРХНОСТЕЙ

- 226\* Shiotake N., Tsuruta T., Itah Y., Tsujiuchi J., Takeya N., Matsuda K., Japan, Journ, Appl. Phys., 7, 904 (1968). Holographic Generation of Contour Map of Diffuscity Reflecting Surface by Using Immersion Method.
- 227\*. \*Tsuruta T., Itoh Y., Opt. Comm., 1, 34 (1969). Interferometric Generation of Contour lines on opaque objects.
- 228\*. Varner J. R., Appl. Opt., 10, 212 (1971). Simplified Multiple-Frequency Hotographic Contouring.
- 229\*, Zelenka J. S., Varner J. R., Appl. Opt., 8, 1431 (1969). Multiple-Index Holographic Contouring.

# исследование плазмы, потоков, ударных волн

- 230\*. Ацеулов Ю. В., Лымников А. Л., Островский Ю. И., Зайдель А. Н., Phys. Lett., 25A, 61 (1967). An Interferometric Holographic Investigation of the Pulsed Discharge Plasma.
- 231\*. Buges J., Plet A., Terneand A., Compt. Rend., 267, 1271 (1968). Interférometrie holographique avec un laser à double impulsion.

- 232\*. Buges J., Terneand A., Bull. d'Inform. Scient, et Technique, Commi, Energie Atomique, Ne 130, 53 (1968). Holographie ultra rapide.
- 233\* Jahoda F. C., Jeffries R. A., Sawyer G. A., Appl. Opt., 6, 1407 (1967). Fractional-fringe Holographic Plasma Interferometry.
- 234\* Jeffries R. A., Phys. Fluids, 13, 210 (1970). Two-Wavelength Holographic Interferometry of Partially lonized Plasmas.
- 235\*. Kiemle H., Die Kurzzeit-Holographie und ihre Anwendung zur Analyse schneller dreidimensjonaler Vorgänge, в трудах конгресса: II Kongress für Photogr. und Film in Industrie und Technik, Köln, 1968, S. 207.
- 236\*. Комиссарова Н. И., Островскоя Г. В., Шапиро Л. Л., Зайдель А. Н., Phys. Lett., 29A, 262 (1969). Two-wavelength Holography of a Laser Spark.
- 237\*. Reinheimer C. J., Wiswall C. E., Schmiege R. A., Harris R. J., Dueker J. E., Appl. Opt., 9, 2059 (1970). flolographic Subsonic Flow Visualization.
- 238\*. Sigel R., Phys. Lett., 30A, 103 (1969). Investigation of a Laser Produced Hydrogen Plasma Using Holographic Interferometry.
- 239\*. Sigel R., Zs. Naturforsch, 25a, 488 (1970). Experimental Investigation of Plasma Production by Irradiating Solid Hydrogen Foils with an Intense Pulse Laser.
- 240\*. Бурмаков А. П., Островская Г. В., ЖТФ, 40, 660 (1970). Интерференционно-голографическое исследование плазменной струи с помощью основной частоты и второй гармоники рубниового лазера.
- 241\*. Зайдель А. И., Островская Г. В., Островский Ю. И., Челидзе Т. Я., ЖТФ, 36, 2208 (1966). Голографирование лазерной искры с временным разрешением.
- 242\*. Зайдель А. Н., Островская Г. В., Островский Ю. И., ЖТф, 38, 1405 (1968). Голотрафическая диагностика плазмы (обзор).
- 243\*. Игнатов А. Б., Комиссарова И. И., Островкая Г. В., Шапиро Л. Л., ЖТФ, 41, 701 (1971). Голографические всследования лазерной некры, 111: Искра в гелии.
- 244\*. Комиссарова И. И., Островская Г. В., Шапиро Л. Л., ЖТФ, 38, 1369 (1968). Голографическое исследование лазерной искры.
- 245\*. Комиссарова И. И., Островская Г. В., Шапиро Л. Л., ЖТФ, 40, 1072 (1970).

- Голографические исследования лазерной искры, П. Двух-длинноволновая интерферометрия.
- 246\*. Островская Г. В., Островский Ю. И., Письма в ред. ЖЭТФ,
   4, 121 (1966).
   Голографическое исследование дазерной вскры.

#### ГЕОМЕТРИЧЕСКАЯ ОПТИКА, АБЕРРАЦИИ, КОПИРОВАНИЕ ГОЛОГРАММ, МУЛЬТИПЛИКАЦИЯ ИЗОБРАЖЕНИЙ

- 247\*, Belvaux Y., Ann. de Radioelectricite, 22, 105 (1967). Duplication des hologrammes.
- 248\*, Champagne E. B., Massey N. G., Appl. Opt., 8, 1879 (1969). Resolution in Holography.
- 249\*, Groh G., Appl. Opt., 7, 1643 (1968). Multiple Imaging by Means of Point Holograms.
- 250\*. Groh G., Opto-Electr., 2, 73 (1970). A New Method for Producing Point Holograms.
- 251\* Kiemle H., Intern. Elektr. Rundschau, № 7, 176 (1970). Projektion von Atzmasken für Ha!bleiferbanelemente mittels Hologramme.
- 252\*. Latta J. N., Appl. Opt., 10, 599 (1971). Compuler-Based Analysis of Hologram Imagery and Aberrations, 1: Hologram Types and Their Nonchromatic Aberrations.
- 263\* Lowenthal S., Werts A., Rembault M., Compt. Rend., 267, i20 (1968).
  Formation des réseaux d'images a l'aide d'up hologrammemultiplicateur éclaire en lumière spatialement incohèrente.
- 254\*. Moran J. M., Appl. Opt., 10, 1909 (1971). Compensation of Aberrations due to a Wavelength Shift in Holography.
- 255\*. Palais J. C. Wise J. A., Appl. Opt., 10, 667 (1971). Improving the Efficiency of Very Low Efficiency Holograms by Copying.
- 256\*. Som S. C., Lessard R. A., Opt. Comm., 2, 128 (1970). Multiplex Fourier Transform Holography.
- 257\*. Som S. C., Lessard R. A., Opt. Comm., 2, 259 (1970). Hotographic Multiplexing by Use of Fresnel Holograms.
- 258\* Бейнарович Л. Н., Ларионов Н. П., Лукин А. В., Мустафин К. С., Опт. и сцейтр., 30, 345 (1971). Получение высококачественных конни голограмм.
- 259\*. Гальперн А. Д., Денисюк Ю. Н., ОМП, № 10, 29 (1969). О трансформационных свойствах голограмыы.

#### ТРЕХМЕРНЫЕ ГОЛОГРАММЫ

- 260\*. Аристов В., Шехтман В., Тимофеев В., Phys. Lett., 28A, 700 (1969), The Bortmann Effect and Extinction in Holography.
- 261\* Friesem A. A., Walker J. L., Appl. Opt., 9, 201 (1970). Thick Absorption Recording Media in Holography.
- 262\*. Gabor D., Stroke G., Proc. Roy. Soc., A304, 275 (1968). The theory of deep holograms.
- 263\*. Kiemle H., Opt. Technology, 1, 203 (1969). Experiments on Technology and Performance of Lippman-Bragg Phase Holograms.
- 264\* Som S. C., Lessard R. A., Appl. Phys. Lett., 17, 381 (1970). Holographic Record of Polarization in Volume Hologram.
- 265\*, Андреча О. В., Суканов В. И., Ст., и спектр., 30, 786 (1971). Получение веотбеленых трехмергых гелограмм с высокой дифракционной эффективностью.
- 266\*. Аристов В. В., Шехтман В. Ш., УФН, 104, 51 (1971). Свойства трехмерных голограмм.
- 267\*. Аристов В. В., Броуде В. Л., Ковальский Л. В., Полянский В. К., Тимофеев В. Б., Шехт ман В. Ш., ДАН СССР 177, 65 (1967).
  О голографии без опорного цучка.
- 268\*. Аристов В. В., Лысенко В. Т., Тимофеев В. Б., Шехтман В. Ш., Онт. и спектр., 29, 604 (1970). Реконструкция трехмерных гологгамм протяженным источником.
- 269\*. Ащеулов Ю. В., Суханов В. И., Опт. и спектр. 30, 1148 (1971).
  Процесс активации фотохромного стекло, как предварительный этап для записи трехмерных голограмм.
- 270\*. Денцскі Ю. П., ЖНИПФИК, 11, 46 (1966). К вопросу о фотографии, воспроязводящей полную иллюзию действичельности изображдемого объекта.
- 271\*. Денисюк Ю. И., Суханов В. И., Онт. и спектр., 28, 426 (1970).
  О связи пространственно-частотных спектров трехмерного физового объекта и его трехмерной голограммы.
- 272\* Ленисюк Ю. Н., Суханов В. И., Опт. и спектр., 25, 308 (1968).
  Об одном свойстве трехмерных голограмм, зарегистрированных в непосредственной близости от объекта.
- 273\*, Соломатин В, Ф., ЖТФ, 40, 2423 (1970). Восстановление с объемных голограмм.

## ГОЛОГРАФИЯ ПРИ НЕКОГЕРЕНТНОМ ОСВЕЩЕНИИ

- 274\*. Bryngdahl O., Lohmann A., Journ. Opt. Soc. Am., 58, 625 (1968). One-Dimensional Holography with Spatially Incoherent Light.
- 275\*. Bryngdahl O., Journ. Opt. Soc. Am., 60, 281 (1970). Holography in White Light.
- 276\*. Bryngdahl O., Journ, Opt. Soc. Am., 60, 510 (1970). Holographic Encoding with Completely Incoherent Light.
- 277\*. Lowenthal S., Serres G., Froehly C., Compt. Rend., 268, 841 (1969).
  Enregistrement d'hologrammes en lumière sputialement incohérente.
- 278\*. Lowenthal S., Serres J., Froehly C., Journ. Opt. Soc. Am., 60, 421 (1970). Double-Exposure Interferometry by Spatially Incoherent Recorded Holography.
- 279\*. Lowenthal S., Serres J., Arsenault H., Opt. Comm., 1, 438 (1970). Resolution and Film-Grain Noise in Fourier Transform Holograms Recorded with Coherent or Spatially incoherent Light.
- 280\*, Mallick S., Roblin M. L., Appl. Opt., 10, 596 (1971). Fourier Transform Holography Using a Quasimonochromatic Incoherent Source.
- 281\*. Tsuruta T., Journ. Opt. Soc. Am., 60, 44 (1970). Holography Using an Extended Spatially Incoherent Source.
- 282\*, Коняев К. В., Опт. и спектр., 27, 1005 (1969).
   Голография при пространственно-некогерентном освещении и фотография,

#### УЛЬТРАЗВУКОВАЯ ГОЛОГРАФИЯ

- 283\*. Landry J., Powers J., Wade G., Appl. Phys. Lett., 15, 186 (1969). Ultrasonic Imaging of Internal Structure by Bragg Diffraction.
- 284\*. Steenhuysen L. W. G., Termenten J., Appl. Opt., 10, 981 (1971).
  Holographic Recarding of Acoustic Fields in Transparencies by Means of a Frequency Modulated Reference Beam.
- 285\*. Whitman R. L., Appl. Opt., 9, 1375 (1970). Acoustic Hologram Formation with a Frequency Shifted Reference Beam.
- 286\*. Денисмк Ю. Н., Пархоменко М. М., Опт. и спектр., 25, 775 (1968).
   Об одном следствии теоремы взаимности в голографии.

287\*. Клименко И. С., Телешевский В. И., Акуст. журп., 16, 613 (1970).

О голографическом методе исследования дифракции света на ультразвуке.

# СПЕКТРОСКОПИЯ И ДИФРАКЦИОННЫЕ РЕШЕТКИ

- 288\*. Antikidis J. Gires F., Compt. Rend., 270, 1210 (1970). Un spectrographe interférentiel adapté aux impulsions jumineuses ultra-courtes.
- 289\*. Bryng.lahl O., Journ. Opt. Soc. Am., 60, 140 (1970). Formation of Blazed Gratings.
- 290\* Chang M., George N., Appl. Opt., 9, 713 (1970). Holographic Dielectric Grating: Theory and Practice.
- 291\*. Cordelle J., Laude J., Petit R., Pienchard G., Nouv. Revue d'Optique appl., 1, 149 (1970). Réseaux classiques — réseaux holographiques.
- 292\*. Lowenthal S., Froehly C., Serres J., Compt. Rend., 268 1481 (1969). Spectrographie de Fourier a haute lunijnosité et faible hruit par application des techniques holographiques.
- 293\* Rudolph D., Schmahl G., Optik, 30, 475 (1970). Spektroskopische Beugungsgitter h\u00f6her Teilungsgenauingkeit erzeugt mit Hilfe von Laserlicht und Photoresistschichten.

#### РАЗНЫЕ ПРИМЕНЕНИЯ

- 294\* Ashton R. A., Slovin D., Gerritsen H. J., Appl. Opt., 10, 440 (1971).
  Interferometric Holography Applied to Etastic Stress and Surface Cortosion.
- 295\*. Cox M. E., Buckles R. G., Whittow D., Appl. Opt., 10, 128 (1971). Cineholomicroscopy of Small Animal Microcirculation.
- 296\*. Deitz P. H., Evans J. M., Appl. Opt., 10, 1080 (1971). Holographic Method of Measuring Scintillation Effects.
- 297\* Hussmann E. K., Appl. Opt., 10, 182 (1971).

  A Holographic Interferometer for Measuring Radiation Energy Deposition Profiles in Transparent Liquids.
- 298\* Lomas G. M., Appl. Opt., 8, 2037 (1969). Interference Phenomena in Fraunhofer Holograms and in Their Reconstructions of Tapered Glass Fibers.
- 299\* Kogelnik H., Shank C. V., Sosnowski T. P., Dienes A., Appl. Phys. Lett., 16, 499 (1970). Hologram Wavelength Selector for Dye Lasers.
- 300\*. Mac Govern A. J. Wyant J. C., Appl. Opt., 10, 619 (1971). Computer Generated Holograms for Testing Optical Elements.

- 301\*. Masumura A., Matsukowa M., Asakura T., Opt. and Laser Technology, Febr., p. 36 (1971). Holographic interferometry for testing homogeneity of large optical glass blanks.
- 302\*. McFee R. H., Appl. Opt. 9, 1834 (1970). Holographic Interferometry of Birefringent Crystal Growth from the Met.
- 303\*. Michelsen A., Zs. für vergleichende Physiologie, 71, 49 (1971). The Physiology of the Locust Ear. (Резопансные свойства ушной мембраны изучаниеь с помощью голографического метода.)
- 304\*. Moran J. M., Appt. Opt., 10, 412 (1971). Laser Machining with a Hotographic Lens.,
- 305\*. Остроеския Г. В., Зайдель А. И., Phys. Lett., 26A, 393 (1968).
  A Holographic measurement of the Light Absorption.
- 306\*. Rosenberg R. L., Chandross E. A., Appl. Opt., 10, 1986 (1971).
  Hotographic Fiber Optics.
- 307\*. Snow K., Vandewarker R., Appl. Opt., 9, 822 (1970). On Using Holograms for Test Glasses.
- 308\*. Stroke G. W., Halioua M., Phys. Lett., 33A, 3 (1970).
  A New Holographic Image Deblurring Method.
- 309\*. Ward J. E., Auth D. C., Carlson F. P., Appl. Opt., 10, 896 (1971).
  Lens Aberration Correction by Holography.
- 310\*. Wardle M. W., Gerritsen H. J., Appl. Opt., 9, 1639 (1970).
   Application of Holographic Interferometry to the Static
   Meniscus.
- 311\*. Zambuto M., Lurie M., Appl. Opt., 9, 2066 (1970). Holographic Measurement of General Forms of Motion.
- 312\*. Бахрах Л. Д., Курочкин А. П., ДАН СССР, 171, 1309 (1966). Об исполъзования оптических систем и метода голографии для восстановления диаграми направленности антенн СВЧ по взисрениям поля в зоне Фревсая.
- Бондаренко М. Д. Гнатовский А. В. Соскин М. С., ДАН СССР, 187, 538 (1969).
   Голографический метод преобразования когерентных световых полей.
- 314\* Буйнов Г. Н., Ларионов И. П., Лукик А. В., Мустафин К. С., Рафиков Р. А., ОМП, № 4, 6 (1971). Голографический интерференционный контроль асферических поверхностей.
- 315\*. Герке Р. Р., Денисюк Ю. И., Стаселько Д. И., ОМП, № 7, 19 (1971).
  Голограммный метод исследования поцеречных мод ОКГ.

- 316\*. Гуревич С. Б., Гаврилов Г. А., Константинов А. Б., Константинов В. Б., Остроеский Ю. И., Черных Д. Ф., ЖТФ, 38, 513 (1968). Голографическая передача изображений через телевизионную систему.
- 317\*. Клименко И. С., Рукман Г. И., ЖТФ, 37, 1532 (1967). К вопросу о восстановлении воднолого фронта с помощью голограмм, переданных по телевизмонному тракту.
- 318\*, Константинов Б. П., Гуревич С. Б., Гаврилов Г. А., Колесников А. А., Константинов А. Б., Константинов В. Б., Ризкин А. А., Черных Д. Ф., ЖТФ, 39, 347 (1969). Передача голограмм по стандартному фототелеграфному каналу с ограниченным числом полутонов.
- 319\*. Константинов Б. П., УФН, 100, 185 (1970). Голография в кино и телевидении.
- 320\*. Соскин М. С., Бондаренко М. Д., Гнатовский А. В., Укр. фвз. журн., 14, 303 (1969). Голографическое восстановление пространственного распределения светового поля ОКГ.
- 321\*. Стаселько Д. И., Денисюк Ю. Н., Смирнов А. Г., ЖНИПФИК, 15, 147 (1970). Голограммый портрет человека.
- 322\*. Хесин Г. Л., Сахаров В. Н. Жаворонок И. В., Энергетическое строительство, № 7 (97), 50 (1969). О применения голографии при исследованиях гидротехнических сооружений полиризационно-оптическим методом.

## СИНТЕТИЧЕСКИЕ ГОЛОГРАММЫ

- 323\* Dallas W. J., Appl. Opt., 10, 673, 674 (1971).
  Phose Quantization in Holograms a Few [flustrations.
- 324\*. Ichioka Y., Izumi M., Suzuki T., Appl. Opt., 10, 403 (1971).
  Scanning Halftone Plotter and Computer-Generaled Continuors-Tone Hologram.
- 325\*. King M. C., Noll A. M., Berry D. II., Appl. Opt., 9, 471 (1970).
  A New Approach to Computer-Generated Holography.
- 326\*. Lee Wal Non, Appl. Opt., 9, 639 (1970). Sampled Fourier Transform Hologram Generated by Comnuter.
- 327\*. Lesem L. B., Hirsch P. M., Jordan J. A., Jr., IBM Journ. Res. Dev., 13, 150 (1969). The Kinoform: A New Wavefront Reconstruction Device.
- 328\*. Хайкин Б. Е., Хитрова В. С., Онт. и спектр., 30, 375 (1971). Об одном методе машинного синтеза голограмм.

#### ГОЛОГРАФИЧЕСКАЯ ПАМЯТЬ, ПРОСТРАНСТВЕННАЯ ФИЛЬТРАЦИЯ

- Binns R. A., Dickinson A., Watrasiewicz B. M., Appl. Opt., 7, No. 6, 1047 (1968).
   Methods of increasing discrimination in optical filtering.
- 330\*. Bulabois J., Caron A., Viénot J. Ch., Opt. Technology, I. No. 4, 191 (1969). Selectivity of Hologram Filters as a Function of Pass-band

331\*. Cathey W. T., Jr., Journ. Opt. Soc. Am., 61, № 4, 478 (1971).
Probability Weighting of Spatial Fitters.

- 332\*. Caulfield H. J., Maloney W. T., Appl. Opt., 8, No. 11, 2354 (1969).
  Improved Discrimination in Optical Character Recognition.
- 333\*. Gabor D., 1BM Journ. Res. Dev., 13, 156 (1969). Associative Holographic Memories.

Characteristics.

- 334\*. Feleppa E. J., Physics Today, 22, № 7, 25 (1969). Biomedical Applications of Holography.
- 335\*. Grot G. Opt. Comm. 1, № 9, 454 (1970). Optical Multiplex System for Pattern Recognition Utilizing Point Hologram.
- 336\*. Grott a., Marie G., Opt. Comm., 2, No. 3, 133 (1970). Information Input in an Optical Pattern Recognition System Using a Relay Tube Based on the Pockels Effects.

337\*. Holeman J. M., Welch J. D., Space/Aeronautics, № 6, 104 (1967) Space Navigation by Spatial. Fiftering of Landmarks.

- 338. Huhn D., Spitler E., Wagner V., Phys. Lett., A27, № 1, 51 (1968).

  Improved holographic correlation measurements by use of an additional spatial filter.
- 339\*. Lee S. H., Yao S. K., Milnes A. G., Journ. Opt., Soc., Am., 80, 1037 (1970).
  Optical Image Synthesis (Complex Amplitude Addition and Substraction in Real Time by a Diffraction-Grating Inferferometric Method.
- 340\*. Leijer I., Rogers G. L., Stephans N. W. F., Opt. Acta, 16, № 5, 535 (1969). Incoherent Fourier Transformation: a New Approach to Character Recognition.
- 341\*. Lohmann A. W., Werlich H. W., Appl. Opt., 10, 670 (1971). Incoherent Matched Filtering with Fourier Holograms.
- 342\*, Perkins H. B., Appl. Opt., 8, 2339 (1969).
  Correlation Signals Produced by Phase Type Matched Filters.
- 343\*. Petrosky K. L., Lee S. H., Appl. Opt., 10, 1969 (1971).

- New Method of Producing Gradient Correlation Filters for Signal Detection.
- 344\* Presion K., Electronics, 38, № 18, 72 (1965). Computing at the Speed of Light.
- 345\*. Vander Lugt A., Appl. Opl., 5, № 11, 1760 (1966).
  Practical considerations for the use of spatial carrier-frequency filters.
- 346\*. Vander Lugt A., Appl. Opt., 6, № 7, 1221 (1967). The effects of small displacements of spatial filters.
- 347\*. Vander Lugt A., Rotz F. B., Appl. Opt., 9, Ne 1, 215 (1970). The Use of Film Nonlinearities in Optical Spatial Filtering.
- 348\*. Viénot J. Ch., Onde électrique, 48, 226 (1968). Applications de l'holographie et du filtrage de fréquences spatiales à quelques problèmes d'optique cohérente.
- 349\* Vienot J. Ch., Bulabois J., Guy L. R., Opt. Comm., 2, № 9, 431 (1971).
  Three Dimensional Object Recognition in Real Time by Multiplex Spatial Filtering.
- 350\*. Watrasiewicz B. M., Opt. Acta, 16, № 3, 321 (1969). Effect of spatial coherence on the correlation spot intensity.
- 351\*. Wai-Hon Lee, Pattern Recognition, 2, 127 (1970). Filter Design for Optical Data Processor.
- 352\*. Wagner U., Opt. Comm., 3, 130 (1971). A New Method for optical Pattern Recognition by Correlation Measurements.
- 353\*. Бакут П. А., Чумак В. Г., Рядиотехн. и электр., 15, вып. 9, 1916 (1970). Овтико-акустический коррелятор для сигнала с динейной частотной модуляцией.
- 354\*. Воскобойник Г. А., Гибин И. С., Коронкевич В. П., Нежевенкс Е. С., Твердохлеб П. Е., Чугуй Ю. В., Онт. и спектр., 30, 1152 (1971). Устройство с голограммной памятью для поиска веществ по их инфракрасцым спектрам.
- 355\*. Клименко И. С., Рукман Г. И., Электроиная техника, сер. 1, «Электроинка СВЧ», вып. 3, 112 (1968). К вопросу об интерференционной обработке информации, хранищейся в голографической ламити.
- 356\*. Клиженко И. С., ЖТФ, 40, 1753 (1970).
  Параллельная согласованная фильтрация с помощью оптически совмещенных голограмм Фурье.
- Коростелев А. А., Касаткин А. С., Вопросы радиоэлектроники, сер. общетехнич., вып. 22, 26 (1969).
   Оптическая согласованная фильтрация с использованием векторных голограмм.

- 358\*. Косоуров Г. И., Качалов О. В., Приборы и техника эксперимента, № 1, 197 (1970).
  Голографическое распознавание подобных образов.
- 359\*. Куниский А. С., Дубров А. П., ДАН СССР, 188, № 2, 1969. Использование двумерной согласованной фильтрации для автоматического анализа хромосомных нарушений в клетках животных и растений.
- 360\*. Куниский А. С., О двумерной фильтрации микроскопических изображений, в сб. «Современные проблемы машинного анализа биологических структур», изд-во «Наука», 1970.

## ОГЛАВЛЕНИЕ

предисловие редактора перевода	ó
	7
	9
§ 1. изменение амилитуды и фазы волны, промно ли обнаружить изменение фазы волны, прошедшей сквозь прозрачный объект?       1         § 3. Пространственияя когерентность       1         § 4. Временная когерентность       2         § 5. Когерентность лазеров       2	8
<ul> <li>§ 6. Дифракция на бесконечности и на конечном расстоянии</li></ul>	36
§ 11. Отбеленные фстографии  § 12. Дифракция на круглой решетке. Фотография круглой решетки  в 13. Фидерация пространственных частея	16
III III Colored	5(

оглавление	<b>24</b> 5
<ul> <li>2 Восстановление изображения светящейся точки</li> <li>3 Восстановление изображения объекта в трех</li> </ul>	57
измерениях. Голограмма Френеля ,	62
<ol> <li>Значение разрешающей способности фотоэмуль-</li> </ol>	
сяи для регистрации голограмм	67
§ 5. Длина когерентности используемого источника	68
§ 6. Котерентный фон, создаваемый сферической	
волной.	69
§ 7. Соответствие точек объекта точкам голограммы	71
§ 8. Геомотрическая оптика восстановления	72
§ 9. Аберрации голограмм , , , , ,	73
§ 10. Голограммы Фурье	74
§ 11. Голографирование объекта, различные точки	
которого некогерситны	77
§ 12. Влияцие толщины фотоэмульсии	, . 79
§ 13. Цветная годография	84
<ul><li>§ 14. Фазовые голограммы , в интерферометрии .</li></ul>	86
§ 16. Интерферометрия с рассеивающим экрапом.	87
§ 17. Интерферометрия объектов, диффузно рассеи-	91
плющих свет диффузно рассен	
§ 18. Интерферометрия вибрирующих объектов	94
§ 19. Голограмма, зарегистрированная сквозь фазо-	96
вую неоднородность ,	00
§ 20. Голограммы Фурье и оптическая фильтрация	98
§ 21. Применение голографии в микроскопии	101
§ 22. Акустическан голосрафия	104
\$7.10.1.2 OF 11.200 to 14.5 to 25.5 to 15.5	105
\$лава з. образование изображений в голографии в 1. Регистрация амплитуды и фазы волны, испус-	116
каемой точечным источником , ,	116
<ol> <li>2. Восстановление изображения точечного источ-</li> </ol>	
няка , . ,	119
<ol> <li>3. Восстановление изображения объекта произ-</li> </ol>	
вольных размеров . , , , , , ,	121
<ol> <li>4. Некоторые замечания по поводу изображений,</li> </ol>	
даваемых голограммой	123
§ 5. Геометрия регистрации голограмм и восста-	
новления изображений	124
§ 6. Голографическая интерферометрия , ,	131
<ol> <li>7. Голографическая интерферометрия, использу-</li> </ol>	
ющая матовые стекла	t34

§ 8. Голографическая интерферометрия, использу-	
того приссенвающие экраны с оольшим коэффи	139
циситом направленного пропускания	
_ § 9. Несколько опытов, основанных на габоровой	140
голографии	145
§ 10. Голографирование движущихся объектов	150
§ 11. Зонная решетка в голографии	
глава 4. использование электронных вычисли-	
ТЕЛЬНЫХ МАШИН В ГОЛОГРАФИИ	158
	158
	162
§ 3. Голограмма с градациями интенсива	166
ГЛАВА 5. ОПТИЧЕСКАЯ ФИЛЬТРАЦИЯ И РАСПОЗНАВАНИЕ	
OBPASOB	169
The Areyong - Kuryroha	169
§ 2. Изменение фазы волиы при прохождение сиссем тонкую линзу	171
- в верги в фокольной плоскости ЛИП	
<ul> <li>3. Амплитуда волны в фоказопол имеете у зы, когда транспарант расположен вплотную</li> </ul>	
к линзе	173
<ul> <li>к линзе</li> <li>4. Амплитуда волны, когда транспарант помещен</li> </ul>	
на расстоянии в от линзы	174
- NORTH PROPERTY OF A PROPERTY	
§ 5. Оптическая фильтрация при котерентном месь пеням	177
OR CHENTON OF CHENTON	178
<ol> <li>Фильтрация объекта с помощью фильтра, пред ставляющего собой фурье образ сигнала (со-</li> </ol>	
гласованный фяльтр)	180
<ul> <li>8. Принцип распознавания образов посредством</li> </ul>	
автокорреляция	183
примечания редактора перевода	188
литература	19
дополнительная литература	21
AOUOVITIA I GARAGA AAAA	

## УВАЖАЕМЫЙ ЧИТАТЕЛЫ!

Ваши замечания о содержании кинги, ее оформлении, качестве перевода и другие просим присылать по адресу:

129820, Москва, ГСП, И-110, 1-й Рижский пер., д. 2 Издательство «Мир».